



ЦНИИПСК
им. МЕЛЬНИКОВА
(Основан в 1880 г.)



УТВЕРЖДАЮ:

директор института
Н.И.ПРЕСНЯКОВ



2012г

Расчет фасадных систем ООО «Компания Металл Профиль»

Руководитель работы

Белев В.Ф. Беляев

Руководитель бригады

Ладзь Н.Ю. Ладзь

Инженер

Шуваева В.С. Шуваева

Содержание:

1. Введение	- 2
2. Исходные данные	- 3
3. Нагрузки и воздействия	- 7
4. Расчетные схемы элементов каркаса	- 17
5. Примеры расчета каркаса системы	- 60
6. Область применения облицовочных материалов	- 71
7. Применение систем «Металл Профиль» при материале стены с плотностью менее 600 кгс/м ³	- 125
8. Список литературы	- 131
9. Приложение 1 (справочный материал для предварительного подбора шагов и пролетов элементов каркаса	- 136
10.Приложение 2 (геометрические характеристики сечений)	- 150

Методика расчета фасадных систем «Металл Профиль»

1. ВВЕДЕНИЕ

В данном отчёте представлен расчет конструктивных элементов навесных фасадных систем с воздушным зазором «Металл Профиль». Работа выполнена в соответствии с договором № 11-748 с ООО «ПК Металл Профиль-Лобня» и в соответствии с заданием выданным заказчиком и материалами предоставленными им.

Конструкция каркасов фасадных систем «Металл Профиль» представляет собой распространённое конструктивное решение с вертикальными или горизонтальными направляющими, шарнирно закреплёнными на кронштейнах. Все кронштейны системы равноценны и должны быть защемлены в несущей стене здания.

Системы предназначены для различных видов облицовки возводимых и реконструируемых зданий. Материал несущих стен зданий, предназначенных под облицовку, может быть самым разнообразным, это - монолитный и сборный бетон, лёгкий бетон, кирпич керамический и силикатный, блоки их легкого и пористого бетона и т.п. Непременным требованием к материалу стены является то, что объёмный вес материала стены не может быть меньше 600 кг/м³.

Особенно внимательно при проектировании фасадной системы из блоков лёгкого бетона следует относиться к несущей способности анкерных элементов, защемляющих кронштейн в стене. В этом случае рекомендуется для укрепления основания фасадной системы в зонах крепления кронштейнов системы устраивать железобетонные или бетонные пояса. В отдельных случаях при экономическом обосновании возможно применение стальных конструкций.

Расчет предназначен для специалистов, выполняющих разработку проектов систем с воздушным зазором для облицовки фасадов зданий и сооружений различного назначения.

Фасадные системы предназначены для отделки и утепления зданий и сооружений различного назначения при их возведении, капитальном ремонте и реконструкции, расположенных во всех ветровых районах.

Системы применяются для облицовки зданий высотой до 150 метров. Конструкция рассчитана на применение утеплителя толщиной от 40 до 240 мм.

Фасадная система может использоваться в I-VII ветровых районах с предельной отрицательной температурой выше минус 50 °C и при положительной температуре до плюс 40 °C в сочетании с температурой солнечной инсоляции на поверхности облицовки до плюс 80 °C.

2 Исходные данные

2.1 В данной методике рассматриваются пять фасадных систем.

2.1.1 Система 1(см. рисунок 1):

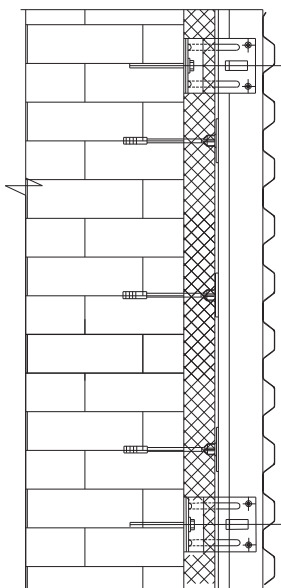


Рисунок 1

А) Облицовка:

- сайдинг МП СК-14x226 ($t=0,4;0,5\text{мм}$); сайдинг L брус -15x240, сайдинг Inleco-28x330;
- линейные панели МП ЛП-24x197/20, МП ЛП-24x217/0($t=0,5\text{мм}$), МП ЛП-24x300/20, МП ЛП-24x324/0, МП ЛП-24x384/20, МП ЛП-24x404/0 ($t=0,7\text{мм}$), primepanel - O-B-24xC/R, primepanel - T-Г-24xC/R;
- профилированный лист С-8x1150; МП-18x1100, МП-20x1100, С-21x1000, МП-35x1035, МП – 47x950, С-44x1000 ($t=0,4;0,5; 0,7\text{мм}$).

Б) Направляющие(вертикальное расположение):

- КПГ-60x44 ($t=0,9\text{мм}; t=1,2\text{мм}$);

В) Кронштейны:

- KK-(50 - 180)x50 мм ($t=1,2\text{мм}; 2 \text{ мм}$);
- ККУ-(90 – 230)x80 мм ($t=1,2; 2 \text{ мм}$);

2.1.2 Система 2 (см. рисунок 2):

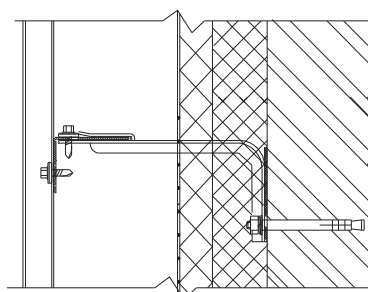


Рисунок 2

А) Облицовка:

- сайдинг МП СК-14x226 ($t=0,4;0,5$ мм), сайдинг L брус -15x240, сайдинг Inleco-28x330;
- линеарные панели МП ЛП-24x197/20, МП ЛП-24x217/0($t=0,5$ мм), МП ЛП-24x300/20, МП ЛП-24x324/0, МП ЛП-24x384/20, МП ЛП-24x404/0 ($t=0,7$ мм) primepanel - О-В-24xC/R, primepanel - Т-Г-24xC/R;
- профилированный лист С-8x1150; МП-18x1100, МП-20x1100, С-21x1000, МП-35x1035, МП-47x950, С-44x1000 ($t=0,4;0,5; 0,7$ мм).

Б) Направляющие(горизонтальное расположение):

- КПГ-60x44 ($t=0,9$ мм; $t=1,2$ мм);

В) Кронштейны:

- КК-(50 - 180)x50 мм ($t=1,2$ мм; 2 мм);
- ККУ-(90 – 230)x80 мм ($t=1,2$; 2 мм);

2.1.3 Система 3(см. рисунок 3):

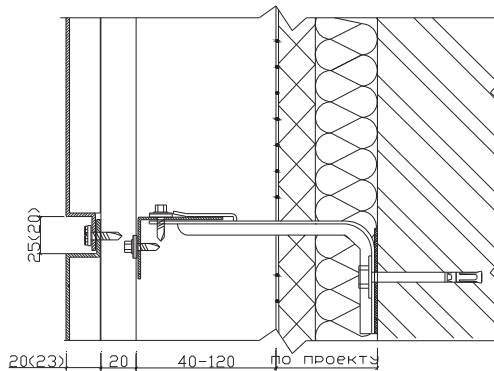


Рисунок 3

А) Облицовка:

- фасадные кассеты МП 1005, МП 2005

Б) Направляющие(горизонтальное расположение):

- КПГ-60x44 ($t=0,9$ мм; $t=1,2$ мм);

Направляющие(вертикальное расположение):

- КПШ-90x20 ($t=0,9$ мм; 1,2 мм) – на стыке кассет;
- КПШ-50x20 ($t=0,9$ мм; 1,2 мм) – по середине кассеты шириной более 700 мм

В) Кронштейны:

- ККУ-(90 – 230)x80 мм ($t=1,2$; 2 мм).

2.1.4 Система 4(см. рисунок 4):

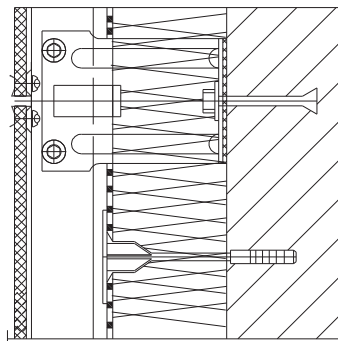


Рисунок 4

А) Облицовка:

- плитка керамогранитная 600x600 мм (или других размеров) $t=10\text{мм}$.

Б) Направляющие (вертикально расположение):

- КПГ-60x44 ($t=0,9 \text{ мм}; 1,2 \text{ мм}$);
- КПГ-60x81 ($t=0,9 \text{ мм}; 1,2 \text{мм}$).

В) Кронштейны:

- ККУ-(90 – 230)x80 мм ($t=1,2; 2 \text{ мм}$);
- кляммер $t=1,0 \text{ мм}; t=1,2 \text{ мм}$

2.1.5 Система 5(см. рисунок 5)

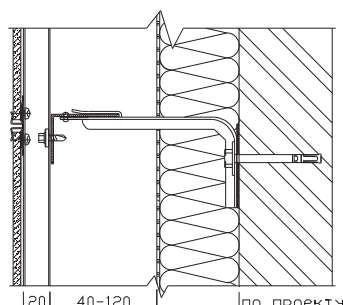


Рисунок 5

А) Облицовка:

- плитка керамогранитная 600x600 мм $t=10 \text{ мм}$.

Б) Направляющие (горизонтальное расположение):

- КПГ-60x44 ($t=0,9 \text{ мм}; t=1,2 \text{ мм}$);

Направляющие (вертикальное расположение):

- КПШ-90x20 ($t=0,9 \text{ мм}; 1,2 \text{ мм}$) – на стыке плиток;
- КПШ-50x20 ($t=0,9 \text{ мм}; 1,2 \text{ мм}$) – по середине плитки.

В) Кронштейны:

- ККУ-(90 – 230)х80 мм (t=1,2; 2 мм);

- кляммер t=1,0 мм; t=1,2 мм.

2.2 Материал конструкции каркаса

Все основные несущие элементы каркаса системы «Металл Профиль» изготавливаются из тонкого металлического оцинкованного листа и коррозионностойкой стали. Механические свойства стали приведены в таблице 1.

Т а б л и ц а 1

Гарантируемые мехсвойства			γ_m	Расчётные сопротивления		
Марка стали	R_{up} , МПа	R_{un} , МПа		R_y , МПа	R_s , МПа	R_{bp} , МПа
Оцинкованная углеродистая сталь по ГОСТ 14918-80						
08Ю и 08ПС	230	355	1,05	220	125	455
Коррозионностойкая сталь по ГОСТ 5282-75						
12Х18Н10Т	216	550	1,05	205	120	707
08Х18Н10Т	185	510	1,05	175	105	655
12Х15Г9НД (ТУ РМО-006/05)	280	600	1,05	265	155	770
ASIS 304	205	515	1,1	185	105	635
ASIS 321	205	515	1,1	185	105	635

где:

- R_{up} - нормативный предел текучести стали;

- R_{un} - нормативное временное сопротивление стали;

- γ_m – коэффициент надежности по материалу (табл. 2*[2]);

- $R_y = R_{up} / \gamma_m$ – расчетное сопротивление по пределу текучести;

- $R_s = 0,58 * R_{up} / \gamma_m$ – расчетное сопротивление сдвигу;

- $R_{bp} = 1,35 * R_u$ - расчетное сопротивление смятию соединяемых элементов;

- $E = 2,06 * 10^5$ МПа – модуль упругости

2.3 Поперечные сечения профилей и их основные геометрические характеристики приведены в таблицах 16, 17, 18, 19, 20.

2.4 Каркас фасадных систем состоит из следующих конструктивных элементов:

- вертикальная или горизонтальная направляющая;

- кронштейны несущие.

2.5 Кронштейны каркаса фасадов комплектуются дюбелями производства фирм, имеющих сертификат соответствия или техническое свидетельство, выданные Федеральным центром сертификации в установленном законом порядке.

2.5.1 Несущую способность анкерных дюбелей (анкеров) применительно к реальному основанию характеризуют допускаемым значением осевого усилия на дюбель или анкер. В качестве допускаемого осевого усилия принимается меньшее из двух значений:

- значение, полученное на основе обработки результатов испытаний или приведенное в ТС на основе данных поставщика для дюбеля (анкера) данной марки, вида;

- значение, полученное по прочности стенового материала.

2.6 Крепление направляющих друг к другу и направляющих к кронштейнам осуществляется самонарезающими винтами 4,8*28 с прокладкой из ЭПДМ – резины; или заклепками Ø4,8 мм из коррозионностойкой стали А2/А2.

2.7 Термопрокладки изготавливаются из паронита или изолона объёмный вес – 0,9 г/см³, твердость при вдавливании шарика составляет 20МПа, температура охрупчивания до – 47⁰С.

3 Нагрузки и воздействия

3.1 На каркас навесных фасадов действуют следующие нагрузки:

- собственный вес облицовки и каркаса подконструкции;
- ветровые нагрузки;
- нагрузки от обледенения облицовки;
- температурные воздействия.

3.2 Собственный вес различного вида облицовок принимается по таблице 2.

Т а б л и ц а 2

№№	Вид облицовки	Единица измерения	Нормативная нагрузка, G_n^h	γ_f	Расчётная нагрузка, G_n
1	2	3	4	5	6
1	Сайдинг МП СК – 14x226; сайдинг L брус -15x240, сайдинг Inleco-28x330		5,0	1,05	5,3
2	Профилированный настил С-8x1150, С-21x1000, МП-20x1100, МП-	кг/м ²	4-8,4	1,05	4,2-8,8

	35x1035, МП-47x950, С-44x1000				
3	Линейные панели МП ЛП-24x384/20, МП ЛП-24x300/20,	кг/м ²	5,0-7,0	1,05	5,3-7,4

Продолжение таблицы 2

№№	Вид облицовки	Единица измерения	Нормативная нагрузка, G_n^h	γ_f	Расчётная нагрузка, G_n
1	2	3	4	5	6
	МП ЛП-24x197/20; МП ЛП-24x404/0; МП ЛП-24x320/0, МП ЛП-24x1217/0; primepanel - О-В-24xC/R, primepanel - Т-Г-24xC/R.	кг/м ²			
4	Фасадные кассеты МП 1005, МП 2005		12,0	1,05	12,6
5	Керамогранитные плитки: 10мм		25,0	1,1	27,5

где:

- γ_f – коэффициент надежности по нагрузке, принимаемый по табл. 8.2 [1].

3.3 Не допускается передавать на каркасы фасадов, рассчитанные на крепление только фасадной облицовки, нагрузки от рекламы, осветительных приборов, обслуживающих площадок, дополнительного оборудования и т. п. При необходимости крепления подобного оборудования к фасаду, в соответствии с полученным от заказчика заданием на проектирование, разрабатывается специальный усиленный каркас, либо используют другие конструктивные решения.

3.4 Снеговые нагрузки следует учитывать тогда, когда возможно их отложение на элементах конструкций облицовки.

3.5 Для элементов ограждения и узлов их крепления необходимо учитывать пиковые положительные w_+ и отрицательные w_- воздействия ветровой нагрузки, нормативные значения которых определяются по формуле

$$w_{+(-)} = w_0 * k(z_e) * [1 + \zeta(z_e)] C_{p,+(-)} * v_{+(-)} * \gamma_f \text{ кПа (кгс/м}^2\text{)} \quad (1)$$

где w_0 – нормативное значение давления ветра принимается в зависимости от ветрового района по таблице 3 данных рекомендаций (таблица 11.1 [1]);

Таблица 3

Ветровые районы по [1]	Ia	I	II	III	IV	V	VI	VII
w_0 кПа (кгс/м ²)	0,17(17)	0,23(23)	0,30(30)	0,38(38)	0,48(48)	0,60(60)	0,73(73)	0,85(85)

z_e - эквивалентная высота

Эквивалентная высота z_e (м) для расчётных зон сооружений определяется следующим образом:

1. Для башенных сооружений, мачт, труб и т.п. сооружений

$$z_e = z$$

2. Для зданий:

a) при $h \leq d \rightarrow z_e = h$;

б) при $d < h \leq 2d$:

для $z \geq h - d \rightarrow z_e = h$;

для $0 < z < h - d \rightarrow z_e = d$

в) при $h > 2d$:

для $z \geq h - d \rightarrow z_e = h$;

для $d \leq z \leq h - b \rightarrow z_e = z$;

для $0 < z \leq d \rightarrow z_e = d$

Здесь z – высота от поверхности земли;

d – размер здания (без учета его стилобатной части) в направлении, перпендикулярном расчетному направлению ветра (поперечный размер);

h – высота здания.

$k(z_e)$ – коэффициент, учитывающий изменение средней составляющей давления ветра для высоты z_e на местности типа А, В, С.

Тип местности А – открытые побережья морей, озер и водохранилищ, сельские местности, в том числе с постройками высотой менее 10 м, пустыни, степи, лесостепи, тундра.

Тип местности В – городские территории, лесные массивы и другие местности, равномерно покрытые препятствиями высотой более 10 м.

Тип местности С – городские районы с плотной застройкой зданиями высотой более 25 м.

$k(z_e)$ определяется по таблице 4 данных рекомендаций (таблица 11.2 [1]); или по формуле (2)

Таблица 4

Высота z_e , м	Коэффициент k для типов местности		
	A	B	C
≤ 5	0,75	0,5	0,4
10	1,0	0,65	0,4
20	1,25	0,85	0,55
40	1,5	1,1	0,8
60	1,7	1,3	1,0
80	1,85	1,45	1,15
100	2,0	1,6	1,25
150	2,25	1,9	1,55
200	2,45	2,1	1,8
250	2,65	2,3	2,0
300	2,75	2,5	2,2
350	2,75	2,75	2,35
≥ 480	2,75	2,75	2,75

$$k(z_e) = k_{10} (z_e/10)^{2a} \quad (2)$$

Значения параметров k_{10} и a для различных типов местностей приведены в таблице 5 данных рекомендаций (таблица 11.3 [1]);

Таблица 5

Параметр	Тип местности		
	A	B	C
α	0,15	0,20	0,25
k_{10}	1,0	0,65	0,4
ζ_{10}	0,76	1,06	1,78

$\zeta(z_e)$ – коэффициент пульсации давления ветра, принимаемый по таблице 6 данных рекомендаций (таблица 11.4 [1]); или по формуле 3 для эквивалентной высоты z_e

Таблица 6

Высота z_e , м	Коэффициент пульсаций давления ветра ζ для типов местности		
	A	B	C
≤ 5	0,85	1,22	1,78
10	0,76	1,06	1,78
20	0,69	0,92	1,50
40	0,62	0,80	1,26
60	0,58	0,74	1,14
80	0,56	0,70	1,06
100	0,54	0,67	1,00

150	0,51	0,62	0,90
200	0,49	0,58	0,84
250	0,47	0,56	0,80
300	0,46	0,54	0,76
350	2,75	2,75	2,35
≥ 480	2,75	2,75	2,75

$$\zeta(z_e) = \zeta_{10} (z_e/10)^{-\alpha} \quad (3)$$

Значения параметров ζ_{10} и α для различных типов местностей приведены в таблице 5.

$c_{p,+(-)}$ – пиковые значения аэродинамических коэффициентов положительного давления (+) или отсоса (-).

Для стен прямоугольных в плане зданий пиковое положительное значение аэродинамического коэффициента $c_{p,+} = 1,2$

Пиковые значения отрицательного аэродинамического коэффициента $c_{p,-}$ для стен и плоских покрытий (см. рисунок 6) приведены в таблице 7 данных рекомендаций (таблица Д.12 [1])

Т а б л и ц а 7

Участок	A	B	C	D	E
$c_{p,-}$	-2,2	-1,2	-3,4	-2,4	-1,5

$v_{+(-)}$ – коэффициенты корреляции ветровой нагрузки, соответствующие положительному давлению (+) и отсосу (-); значения этих коэффициентов приведены в таблице 8 данных рекомендаций (таблица 11.8 [1]) в зависимости от площади ограждения A, с которой собирается ветровая нагрузка.

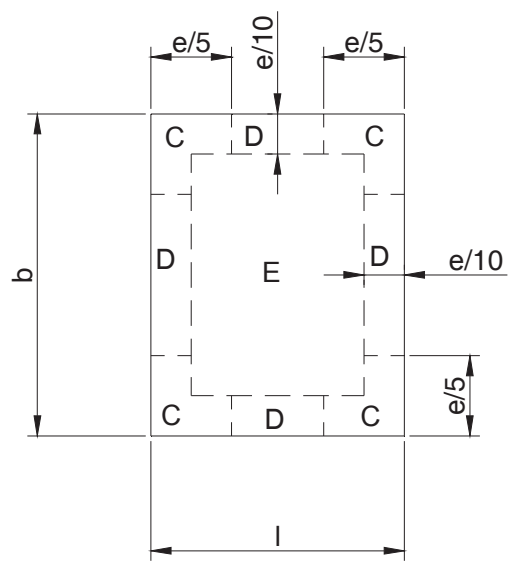
Т а б л и ц а 8

A, м ²	<2	5	10	>20
v_+	1,0	0,9	0,8	0,75
v_-	1,0	0,85	0,75	0,65

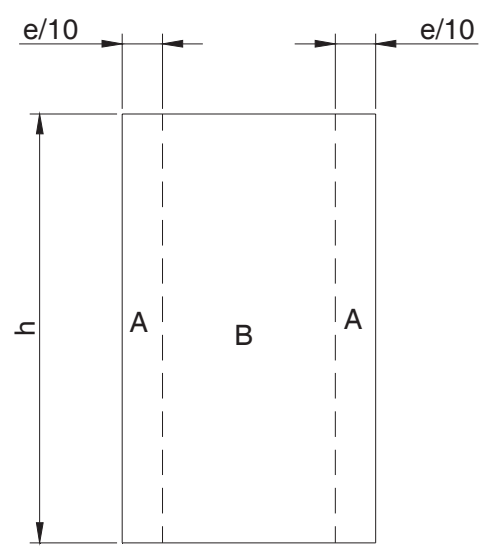
γ_f – коэффициент надёжности по нагрузке равный 1,4.

Расчетное значение ветровых нагрузок при $v_{+(-)} = 1$ приведено в таблицах 9...11.

План кровли



Стена



Величина e равна меньшему из b и l

Рисунок 6

Таблица 9

Расчетная ветровая нагрузка, кгс/м²

Блоки, к	Ветровые районы, тип местности А												W _m ⁺ – W _m ⁻						
	I			II			III			IV			V		VI				
	W _m ⁺	W _m ⁻	W _m ⁺ – W _m ⁻	W _m ⁺	W _m ⁻	W _m ⁺ – W _m ⁻	центр	угол	центр	угол	центр	угол	центр	угол	центр	угол	центр	угол	
5	53,6	53,6	98,3	69,9	69,9	128	88,6	88,6	162	112	205	140	256	170	312	198	198	198	363
10	68,0	68,0	125	88,7	88,7	162	112	112	206	142	260	177	325	216	396	251	251	251	461
15	75,0	75,0	137	97,8	97,8	179	124	124	227	156	287	196	359	238	436	277	277	277	508
20	81,6	81,6	145	106	106	195	135	135	247	170	312	213	390	259	475	302	302	302	553
25	84,7	84,7	155	110	110	202	140	140	256	177	324	221	405	269	493	313	313	313	574
30	88,2	88,2	162	115	115	210	146	146	267	184	337	230	422	280	513	326	326	326	598
35	91,1	91,1	167	119	119	218	150	150	276	190	348	238	436	289	530	337	337	337	617
40	93,9	93,9	172	122	122	224	155	155	284	196	359	245	449	298	546	347	347	347	636
45	96,4	96,4	177	126	126	231	159	159	292	201	369	251	461	306	561	356	356	356	653
50	98,9	98,9	181	129	129	236	163	163	300	206	378	258	473	314	576	366	366	366	670
55	101	101	186	132	132	242	167	167	307	212	388	264	484	322	590	375	375	375	687
60	104	104	190	135	135	248	171	171	314	217	397	271	496	329	604	384	384	384	703
65	106	106	194	138	138	253	175	175	320	221	405	276	506	336	615	391	391	391	716
70	108	108	197	140	140	258	178	178	326	225	412	281	515	342	627	398	398	398	730
75	110	110	201	143	143	262	181	181	332	229	419	286	524	348	638	405	405	405	743
80	111	111	204	145	145	267	184	184	338	233	427	291	533	354	649	412	412	412	756
85	113	113	208	148	148	271	187	187	343	237	434	296	542	360	660	419	419	419	768
90	115	115	211	150	150	276	190	190	349	241	441	301	551	366	671	426	426	426	781
95	117	117	215	153	153	280	194	194	355	245	448	306	560	372	682	433	433	433	794
100	119	119	218	155	155	285	197	197	360	248	455	311	569	378	693	440	440	440	806
110	121	121	223	158	158	291	201	201	368	254	465	317	581	386	707	449	449	449	823
120	124	124	227	162	162	297	205	205	376	259	474	323	593	394	722	458	458	458	840
130	126	126	232	165	165	302	209	209	383	264	484	330	605	401	736	467	467	467	856
140	129	129	236	168	168	308	213	213	390	269	493	336	616	409	750	476	476	476	873
150	131	131	241	171	171	314	217	217	398	274	502	343	628	417	764	485	485	485	889

Таблица 10

Расчетная ветровая нагрузка, кгс/м²

Ветровые районы, тип местности В	Ветровые районы, тип местности В												Ветровые районы, тип местности В															
	I				II				III				IV				V				VI				VII			
	w_m^+	w_m^-	w_m^+	w_m^-	w_m^+	w_m^-	w_m^+	w_m^-	центр	угол	w_m^+	w_m^-	центр	угол	w_m^+	w_m^-	центр	угол	w_m^+	w_m^-	центр	угол	w_m^+	w_m^-	центр	угол		
Блоки, м																												
5	42,9	42,9	78,6	55,9	103	70,9	70,9	89,5	89,5	164	112	112	205	136	136	250	159	159	291									
10	51,7	51,7	94,9	67,5	124	85,5	85,5	157	108	198	135	135	247	164	164	301	191	191	351									
15	57,7	57,7	106	75,2	138	95,3	95,3	175	120	221	150	150	276	183	183	336	213	213	391									
20	63,1	63,1	116	82,3	151	104	104	191	132	241	165	165	302	200	200	367	233	233	427									
25	66,6	66,6	122	86,9	159	110	110	202	139	255	174	174	319	212	212	388	246	246	452									
30	70,1	70,1	128	91,4	168	116	116	212	146	268	183	183	335	222	222	408	259	259	475									
35	73,4	73,4	134	95,7	175	121	121	222	153	281	191	191	351	233	233	427	271	271	497									
40	76,5	76,5	140	99,8	183	126	126	232	160	293	200	200	366	243	243	445	283	283	518									
45	79,3	79,3	145	103	190	131	131	240	166	303	207	207	379	252	252	462	293	293	537									
50	82,1	82,1	150	107	196	136	136	249	171	314	214	214	393	260	260	478	303	303	556									
55	84,8	84,8	155	111	203	140	140	257	177	324	221	221	405	269	269	493	313	313	574									
60	87,4	87,4	160	114	209	144	144	265	182	334	228	228	418	277	277	509	323	323	592									
65	89,4	89,4	164	117	214	148	148	271	187	342	233	233	428	284	284	520	330	330	606									
70	91,4	91,4	168	119	219	151	151	277	191	350	238	238	437	290	290	532	338	338	619									
75	93,3	93,3	171	122	223	154	154	283	195	357	243	243	446	296	296	543	345	345	632									
80	95,2	95,2	175	124	228	157	157	289	199	364	248	248	456	302	302	554	352	352	645									
85	97,3	97,3	178	127	233	161	161	295	203	372	254	254	465	309	309	566	360	360	659									
90	99,3	99,3	182	130	237	164	164	301	207	380	259	259	475	315	315	578	367	367	673									
95	101	101	186	132	242	167	167	307	211	388	264	264	484	321	321	589	374	374	686									
100	103	103	189	135	247	171	171	313	215	395	269	269	494	328	328	601	382	382	700									
110	106	106	195	139	255	176	176	323	222	407	278	278	509	338	338	620	393	393	721									
120	110	110	201	143	262	181	181	332	229	420	286	286	524	348	348	638	405	405	743									
130	113	113	207	147	270	186	186	342	235	432	294	294	539	358	358	656	417	417	764									
140	116	116	212	151	277	191	191	351	242	443	302	302	554	368	368	674	428	428	785									
150	119	119	218	155	284	196	196	360	248	455	310	310	569	377	377	692	440	440	806									

Таблица 11

Расчетная ветровая нагрузка, кгс/м²

Ветровые районы, тип местности С	Ветровые районы, тип местности С												Ветровые районы, тип местности С											
	I				II				III				IV				V				VI			
	w_m^+	w_m^-	w_m^+	w_m^-	w_m^+	w_m^-	w_m^+	w_m^-	центр	угол	центр	угол	центр	угол	центр	угол	центр	угол	центр	угол	центр	угол	центр	угол
5	43,0	43,0	78,8	56,0	56,0	103	71,0	71,0	130	89,7	89,7	164	112	112	205	136	136	250	159	159	250	159	159	291
10	43,0	43,0	78,8	56,0	56,0	103	71,0	71,0	130	89,7	89,7	164	112	112	205	136	136	250	159	159	250	159	159	291
15	48,5	48,5	88,8	63,2	63,2	116	80,1	80,1	147	101	101	185	126	126	232	154	154	282	179	179	282	179	179	328
20	53,1	53,1	97,4	69,3	69,3	127	87,8	87,8	161	111	111	203	139	139	254	169	169	309	196	196	309	196	196	360
25	57,7	57,7	106	75,3	75,3	138	95,4	95,4	175	121	121	221	151	151	276	183	183	336	213	213	336	213	213	391
30	62,1	62,1	114	81,0	81,0	148	103	103	188	130	130	238	162	162	297	197	197	361	229	229	361	229	229	421
35	66,1	66,1	121	86,2	86,2	158	109	109	200	138	138	253	172	172	316	210	210	385	244	244	385	244	244	448
40	69,9	69,9	128	91,1	91,1	167	115	115	212	146	146	267	182	182	334	222	222	407	258	258	407	258	258	473
45	73,2	73,2	134	95,5	95,5	175	121	121	222	153	153	280	191	191	350	232	232	426	271	271	426	271	271	496
50	76,5	76,5	140	99,8	99,8	183	126	126	232	160	160	293	200	200	366	243	243	445	283	283	445	283	283	518
55	79,7	79,7	146	104	104	190	132	132	241	166	166	305	208	208	381	253	253	464	294	294	464	294	294	540
60	82,7	82,7	152	108	108	198	137	137	250	173	173	316	216	216	395	262	262	481	306	306	481	306	306	560
65	85,0	85,0	156	111	111	203	140	140	257	177	177	325	222	222	406	270	270	495	314	314	495	314	314	576
70	87,2	87,2	160	114	114	209	144	144	264	182	182	334	228	228	417	277	277	508	322	322	508	322	322	591
75	89,4	89,4	164	117	117	214	148	148	271	187	187	342	233	233	428	284	284	520	330	330	520	330	330	606
80	91,5	91,5	168	119	119	219	151	151	277	191	191	350	239	239	438	291	291	533	338	338	533	338	338	620
85	92,8	92,8	170	121	121	222	153	153	281	194	194	355	242	242	444	295	295	540	343	343	540	343	343	629
90	94,1	94,1	173	123	123	225	156	156	285	196	196	360	246	246	450	299	299	548	348	348	548	348	348	638
95	95,4	95,4	175	124	124	228	158	158	289	199	199	365	249	249	456	303	303	555	352	352	555	352	352	646
100	96,6	96,6	177	126	126	231	160	160	293	202	202	370	252	252	462	307	307	562	357	357	562	357	357	655
110	100	100	184	131	131	240	166	166	304	209	209	383	261	261	479	318	318	583	370	370	583	370	370	679
120	104	104	190	135	135	248	171	171	314	217	217	397	271	271	496	329	329	604	383	383	383	383	383	703
130	107	107	197	140	140	256	177	177	325	224	224	410	280	280	513	340	340	624	396	396	340	396	396	726
140	111	111	203	144	144	264	183	183	335	231	231	423	288	288	529	351	351	643	409	409	351	409	409	749
150	114	114	209	148	148	272	188	188	345	237	237	435	297	297	544	361	361	662	421	421	361	361	361	771

3.6 Нагрузку от обледенения фасадных конструкций следует принимать по фактическим данным для соответствующей местности. В случае отсутствия таких данных и при прогнозировании возможности образования наледи величину нагрузки определяют в соответствии с [1] по формуле:

$$i = \gamma_f \times b \times k \times \mu_2 \times \rho \times g, \text{ Па} \quad (4)$$

где:

$\gamma_f = 1,3$ - коэффициент надёжности по гололёдной нагрузке принимается по п. 12.5 [1] ;

- b – толщина наледи в мм по таблицам 12 и 13 (в соответствии с таблицами 12.1, 12.2 и карты 4 приложения Ж [1])

- k – коэффициент по таблице 14 данных рекомендаций (в соответствии с таблицей 12.3 [1]);

- μ_2 – коэффициент, учитывающий отношение площади поверхности элемента, подверженной обледенению, к полной площади поверхности элемента и принимаемый равным 0,6;

- ρ – плотность льда, принимаемая 0,9 г/см³;

- g – ускорение свободного падения, $g = 9,81$ м/сек².

3.7 При расчёте на гололёд ветровая нагрузка принимается равной 25% от нормативного значения ветрового давления w_0 , определяемого по пункту 3.5 настоящих рекомендаций.

Т а б л и ц а 12

Гололёдные районы [1]	I	II	III	IV	V
Толщина стенки гололёда b , мм	Не менее 3	5	10	15	Не менее 20

Таблица 13

Высота над поверхностью земли	Толщина стенки гололёда b , мм для разных районов			
	I района гололёдности азиатской части России	V района гололёдности и горных районов	Северной части европейской территории России	Остальных
200	15	Принимается на основании специальных обследований	[1]	35
300	20	То же		45
400	25	То же		60

Таблица 14

Высота над поверхностью земли, м	5	10	20	30	50	70	100
Коэффициент k	0,8	1,0	1,2	1,4	1,6	1,8	2,0

3.8 Расчетная гололедная нагрузка приведена в таблице 15

Таблица 15

Гололедный район	Толщина гололеда, мм	Высота здания, м	
		50	75
		Расчетная гололедная нагрузка i , кгс/м ²	
I	3	3,4	3,9
II	5	5,6	6,4
III	10	11,2	12,9
IV	15	16,8	19,3
V	20	22,5	25,7

4 Расчётные схемы элементов каркаса

4.1 Расчет элементов подоблицовочной конструкции производится в соответствии:

- СП20.13330.2011 «СНиП 2.01.07-85* Нагрузки и воздействия»;
- СП16.13330.2011 «СНиП II-23-81* Стальные конструкции»;
- ISO 15983:2002(E) Вытяжные заклёпки с открытым торцом, отрывным стержнем и выступающим бортиком –A2/A2.
- ISO 15979:2002(E) Вытяжные заклёпки с открытым торцом, отрывным стержнем и выступающим бортиком – St /St.

- СТО 0065-2011 Винты самонарезающие и самосверлящие «HARPOON» для крепления стеновых и кровельных конструкций из стального оцинкованного холоднокатаного листа. Проектирование, изготовление, монтаж. ЗАО 2ЦНИИПСК им. Мельникова, Московский Государственный Строительный Университет, ООО «Глобал Ривет Инжиниринг».

- указаний настоящей методики расчета.

4.2 Расчет элементов каркаса выполнен на воздействие постоянных и временных нагрузок.

4.3 В качестве постоянных принимались нагрузки от собственного веса элементов каркаса и фасадных панелей.

4.4 В качестве временной нагрузки принята ветровая нагрузка по СП20.13330.2011 для двух вариантов:

- 1) в углах прямоугольных зданий;
- 2) в средних частях по фасадам здания.

4.5 Гололедная нагрузка учитывается в сочетании с ветровой нагрузкой, равной 25% от расчетной.

4.6 Прочностные расчеты включают проверку прочности и деформаций вертикального несущего профиля, кронштейнов, заклепочного соединения несущих нагрузки от их собственной массы, массы фасадных панелей, от давления ветра и гололедных нагрузок. Нагрузку от собственной массы профилей в случаях, когда она относительно мала, возможно, не учитывать. В связи с тем, что утеплитель крепится специальными тарельчатыми дюбелями непосредственно к стенам здания, в расчете каркаса его масса не учитывается.

4.7 Физико-механические характеристики материалов профилей, их соединений и крепежных элементов следует принимать по СП16.13330.2011 «СНиП II-23-81* Стальные конструкции», Несущую способность вытяжных заклёпок и параметры соединений в соответствии с международными стандартами ISO 15983 и ISO 15979. Несущая способность самонарезающих и самосверлящих винтов по СТО 0065-20011.

4.8 Усилия: изгибающие моменты, поперечные и продольные силы, прогибы определяются с использованием основных положений сопротивления материалов.

4.9 При проверке прочности элементов и соединений коэффициенты надежности по нагрузкам γ_f , принимаются по СП20.13330.2011, единый коэффициент надежности по назначению γ_n принимается по МДС 20-1.2006.

4.10 При выполнении расчетов и выборе расчетных схем несущего каркаса, определении шага кронштейнов по вертикали необходимо учитывать результаты испытаний на усилия вырывания дюбелей из стены, проведенные для различных участков фасада конкретного здания.

4.11 Все ветровые нагрузки и аэродинамические коэффициенты, приведенные для фасадов в разделе 3, определены для зданий прямоугольных в плане. Для зданий других форм поперечного сечения и высотой более 150 метров значения этих величин следует устанавливать на основе данных соответствующих экспериментальных или численных исследований и с учётом опыта эксплуатации вентилируемых фасадов.

4.12 При проектировании каркаса облицовки зданий расчёт конструкций следует вести на максимальные нагрузки, действующие по фасаду здания. Для прямоугольных в плане зданий, фасад следует разбить на зоны. Горизонтальные границы зон должны располагаться примерно через 6 м или по высоте этажа. Вертикальные границы должны отделять угловые зоны от рядовой части фасадов.

4.13 Для крепления элементов облицовки используют направляющие. Длина типовой направляющей составляет 3,0 м. Расчетная схема направляющих - однопролетная или многопролетная балка с шарнирными опорами, загруженная ветровой нагрузкой и нагрузкой от собственного веса облицовки, гололедной нагрузки.

4.14 Шаг направляющих по горизонтали (система 1) или по вертикали (системы 2,3) соответствует расчетному пролету облицовочных элементов. Расчетный пролет облицовочных элементов приведен в разделе 6 данной методики. Шаг направляющих по горизонтали (система 4) соответствует ширине керамогранитной плитки. По вертикали (система 5) соответствует расчетному пролету вертикальных направляющих.

4.15 Пролеты по вертикали (расстояние между кронштейнами) определяются исходя из длины применяемых направляющих в соответствии с расчетными схемами приведенными ниже.

4.16 Расчетные схемы направляющей

4.16.1 Вертикальное положение направляющих. (Система 1; система 4)

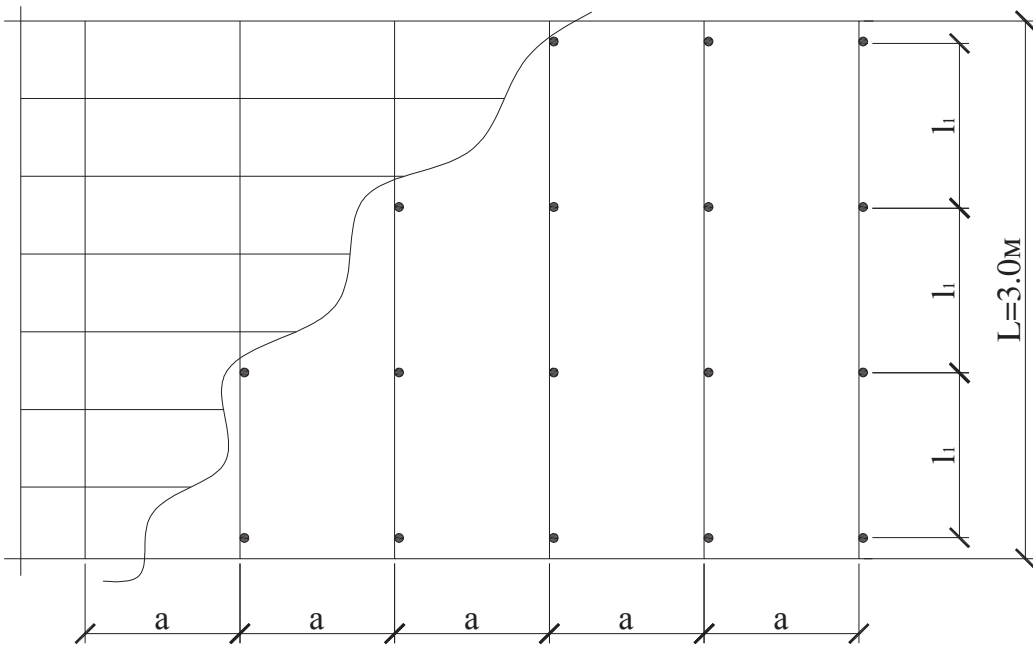


Рисунок 7

Где:

- а – шаг направляющих, м;
- l₁ – пролет направляющей (расстояние между кронштейнами), м (на рисунке 7 условно приведена трехпролетная схема);
- L – длина направляющей, м (типовая равна 3 м, у проемов и между проемами может быть меньшей длины).

4.16.2 Для расчета сечения направляющей от действия внешних нагрузок (собственный вес облицовки, направляющей, гололедной нагрузки – Р, кгс; ветрового давления q_w, кгс/м) определяются усилия в направляющей:

- M_{пр.} – пролетный момент, кгс*м;
- M_{оп.} – опорный момент, кгс*м;
- Q_w – максимальная опорная реакция, кгс;
- N=ΣP, кгс – нормальная сила в направляющей.

M_{пр.}, M_{оп.}, Q_w – усилия полученные от действия ветрового давления. Усилия определены по формулам, приведенным в расчетно-теоретическом справочнике, также могут быть определены расчетом балок по существующим программам ЭВМ.

4.16.3 Моменты и поперечные силы, возникающие в направляющей от действия вертикальной нагрузки Р не учтены ввиду малых значений.

4.16.4 На приведенных ниже схемах направление действия ветра условно показано для реактивного (отсос) воздействия ветра, при активном ветре направление ветрового давления меняет знак на противоположный и, соответственно, эпюры отображаются зеркально по отношению к приведенным на данных схемах.

4.16.5 В расчетах направляющих сочетание гололедной и ветровой нагрузок не является определяющей и поэтому на это сочетание нагрузок направляющую можно не проверять.

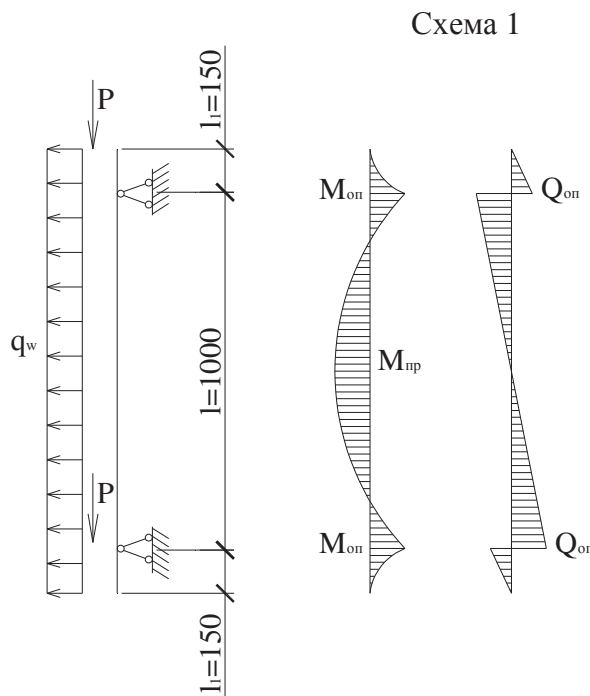


Рисунок 8

Применение направляющей $L = 1,3\text{м}$ с максимально принятым пролетом $l = 1\text{м}$ возможно между проемами.

$$M_{np} = \frac{q_w l^2}{8} - q_w \times l_1^2 \times 0.5, \text{ кгс}\cdot\text{м}; \quad (5)$$

$$Q_{оп} = \frac{q_w l}{2} + q_w \times l_1, \text{ кгс}; \quad (6)$$

где:

q_w — расчетная погонная ветровая нагрузка

$$q_w = W_m \times a \times k_{нр}, \text{ кгс}/\text{м}; \quad (7)$$

где:

- W_m – расчетное значение средней составляющей ветровой нагрузки приведено в таблицах 9...11;

- a - шаг направляющих, м;

- $k_{\text{нep}}$ - коэффициент неразрезности, учитывающий передачу ветровой нагрузки с облицовки как с многопролетной балки (при длине облицовки большей, чем шаг направляющих) на направляющую принимаемый равным:

- при двухпролетной схеме $k_{\text{нep}}=1,25$;

- при трехпролетной схеме $k_{\text{нep}}=1,1$;

- при четырехпролетной схеме $k_{\text{нep}}=1,143$;

- при пяти и более пролетной схеме $k_{\text{нep}}=1,132$

$N=2*P_1$ – нормальная сила в направляющей от действия вертикальной силы P_1 .

$$P_1 = G_n * (0,5 \times l + l_1) * a + G_{\text{нап.}} \times \gamma_f \times (0,5 \times l + l_1), \text{ кгс;} \quad (8)$$

Где:

- G_n – нагрузка от собственного веса облицовки, $\text{кгс}/\text{м}^2$, принимаемая по табл. 2;

- a – шаг направляющих, м;

- $G_{\text{нап.}}$ – масса направляющей, $\text{кгс}/\text{м}$, принимаемый по табл. 16;

- γ_f - коэффициент надежности по нагрузке, принимаемый по табл.8.2 [1]

$$\gamma_f = 1,05$$

Схема 2

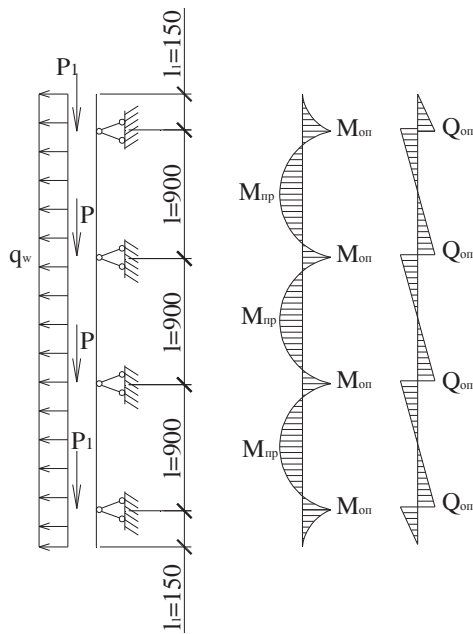


Рисунок 9

$$M_{\text{np}} = 0,08 \times q_w \times l^2 \quad \text{кгс*м;} \quad (9)$$

$$M_{\text{он}} = 0,1 \times q_w \times l^2 \quad \text{кгс*м;} \quad (10)$$

$$Q_{\text{оп}} = 1,1 \times q_w \times l, \text{ кгс} \quad (11)$$

$$q_w = W_m \times a \times k_{\text{неп}}, \text{ кгс/м}; \quad (12)$$

$N=2*(P+P_1)$ (13) – нормальная сила в направляющей то действия вертикальной силы P_1 .

$$P = G_{\text{обл.}} * l * a + G_{\text{нап.}} \times \gamma_f \times l, \text{ кгс} \quad (14)$$

$$P_1 = G_{\text{обл.}} * (0,5 \times l + l_1) * a + G_{\text{нап.}} \times \gamma_f \times (0,5 \times l + l_1), \text{ кгс} \quad (15)$$

Условные обозначения см. выше

Схема 3

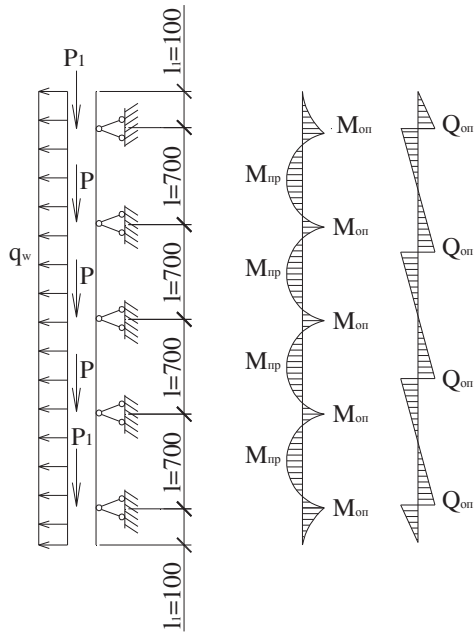


Рисунок 10

$$M_{\text{np}} = 0,077 \times q_w \times l^2, \text{ кгс*м}; \quad (16)$$

$$M_{\text{оп}} = 0,107 \times q_w \times l^2, \text{ кгс*м}; \quad (17)$$

$$Q_{\text{оп}} = 1,143 \times q_w \times l, \text{ кгс}; \quad (18)$$

$$q_w = W_m \times a \times k_{\text{неп}}; \text{ кгс/м} \quad (19)$$

$N=3*P+2*P_1$ (20) – нормальная сила в направляющей то действия вертикальной силы P .

$$P = G_{\text{обл.}} * l * a + G_{\text{нап.}} \times \gamma_f \times l, \text{ кгс}; \quad (21)$$

$$P_1 = G_{\text{обл.}} * (0,5 \times l + l_1) * a + G_{\text{нап.}} \times \gamma_f \times (0,5 \times l + l_1), \text{ кгс} \quad (22)$$

Условные обозначения см. выше

Схема 4

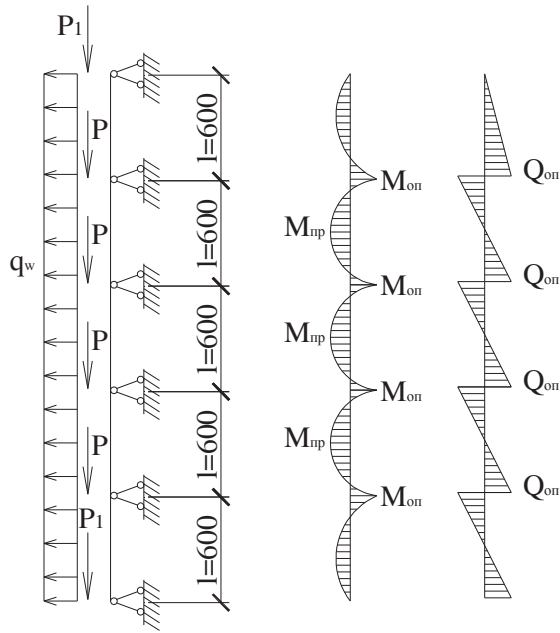


Рисунок 11

$$M_{np} = 0,078 \times q_w \times l^2, \text{ кгс*м}; \quad (23)$$

$$M_{on} = 0,105 \times q_w, \text{ кгс*м}; \quad (24)$$

$$Q_{on} = 1,132 \times q_w \times l, \text{ кгс}; \quad (25)$$

$$q_w = W_m \times a \times k_{\text{нep}}, \text{ кгс/м}; \quad (26)$$

$N=4*P+2*P_1$ (27) – нормальная сила в направляющей то действия вертикальной силы P

$$P = G_{o\bar{o}l.} * l * a + G_{hanp.} \times \gamma_f \times l, \text{ кгс} \quad (28)$$

$$P_1 = G_{o\bar{o}l.} * 0,5 \times l * a + G_{hanp.} \times \gamma_f \times 0,5 \times l, \text{ кгс} \quad (29)$$

Условные обозначения см. выше

4.17 Сечение направляющей КПГ-60x44x3000

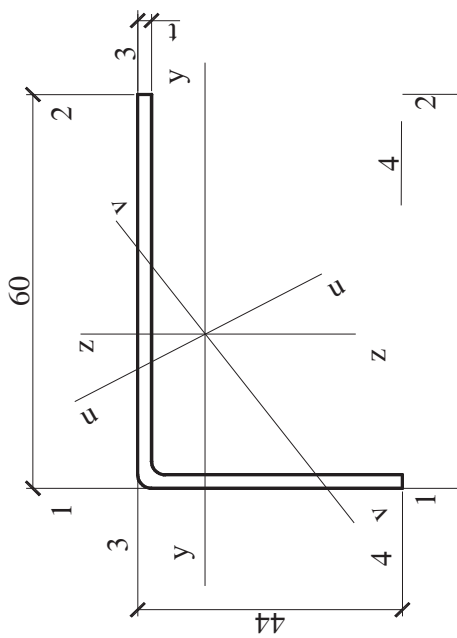


Рисунок 12

Таблица 16.1
Изгиб сечения относительно оси Z-Z

Обозначение	t, mm	$G_{\text{нап}}^p$ кг/м	Геометрические характеристики сечения				Сжата полка по оси 1-1				Сжата стенка по оси 2-2					
					J_{z1} cm^4	J_{y1} cm^4	W_{u1} cm^3	W_{v1} cm^3	W_{z1} cm^3	A_1 cm^2	J_{z2} cm^4	J_{y2} cm^4	W_{u2} cm^3	W_{v2} cm^3	W_{y2} cm^3	A_2 cm^2
KПГ-60x44	0,9	0,74	3,45	1,31	0,984	0,334	0,413	0,83	0,88	0,63	1,38	0,556	0,205	0,45	0,26	0,67
KПГ-60x44	1,2	0,98	4,7	2,222	1,39	0,52	0,651	1,12	1,22	1,19	1,9	0,822	0,344	0,61	0,4	0,93
KПГ-60x44	1,5	1,23	5,84	2,75	1,72	0,647	0,809	1,39	1,52	1,98	2,45	1,15	0,524	0,767	0,66	1,22

Таблица 16.2

Изгиб сечения относительно оси У-У

Обозначе ние	$t, \text{мм}$	$G_{\text{нап}}^p$ кг/м	Геометрические характеристики сечения											
			Сжатая полка по оси 3-3				Сжата стена по оси 4-4							
			J_{z1} см^4	J_{y1} см^4	W_{ul} см^3	W_{v1} см^3	W_{z1} см^3	A_1 см^2	J_{z2} см^4	J_{y2} см^4	W_{u2} см^3	W_{v2} см^3	W_{z2} см^3	A_2 см^2
КПГ-60x44	0,9	0,74	0,25	1,23	0,46	0,11	0,426	0,14	0,58	3,49	1,44	1,0	0,358	0,44
КПГ-60x44	1,2	0,98	0,62	1,75	0,68	0,22	0,585	0,28	0,84	4,7	2,22	1,39	0,523	0,65
КПГ-60x44	1,5	1,23	2,32	1,31	0,98	0,392	0,75	0,5	1,14	5,84	2,75	1,73	0,647	0,809

Сечение направляющей КПГIII-81

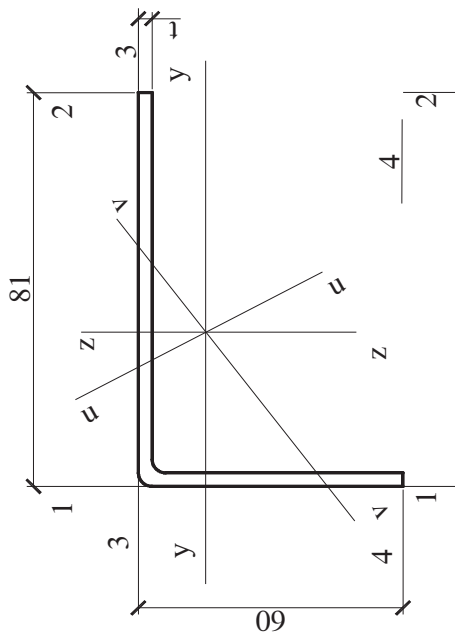


Рисунок 13

Таблица 16.3

Изгиб сечения относительно оси Z-Z

Обозначение	t, мм	$G_{\text{напр}}$ кг/м	Геометрические характеристики сечения													
			Сжатая полка по оси 3-3				Сжата стенка по оси 4-4									
			J_{z1} cm^4	J_{y1} cm^4	W_{ul} cm^3	W_{v1} cm^3	W_{z1} cm^3	A_1 cm^2	J_{z2} cm^4	J_{y2} cm^4	W_{u2} cm^3	W_{v2} cm^3	W_{z2} cm^3	A_2 cm^2		
КПГШ-60x81	1,2	1,63	5,21	4,93	1,903	0,937	1,11	1,18	1,42	1,07	9,73	1,94	0,325	0,385	1,87	1,36

Таблица 16.4

Изгиб сечения относительно оси Y-Y

Обозначение	t, мм	$G_{\text{напр}}$ кг/м	Геометрические характеристики сечения												
			Сжатая полка по оси 1-1				Сжата стенка по оси 2-2								
			J_{z1} cm^4	J_{y1} cm^4	W_{ul} cm^3	W_{v1} cm^3	W_{z1} cm^3	A_1 cm^2	J_{z2} cm^4	J_{y2} cm^4	W_{u2} cm^3	W_{v2} cm^3	W_{z2} cm^3	A_2 cm^2	
КПГШ-60x81	1,2	1,63	9,29	0,71	1,87	0,25	1,83	1,31	5,3	5,64	2,0	0,98	1,18	1,2	1,47

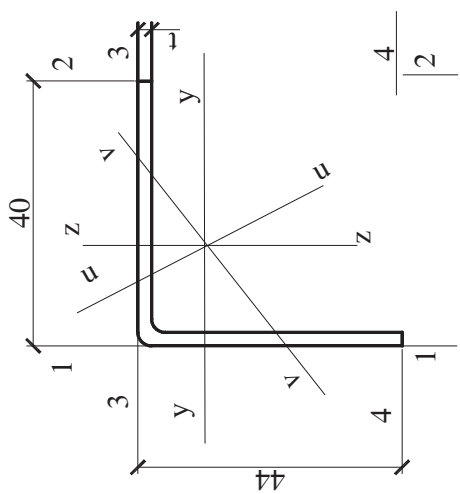


Рисунок 14

Таблица 16.5

Изгиб сечения относительно оси Z-Z
Геометрические характеристики сечения

Обозначение	t, мм	$G_{\text{напр}}$ кг/м	Сжата полка по оси 1-1						Сжата стена по оси 2-2						
			J_{z1} cm^4	J_{y1} cm^4	W_{u1} cm^3	W_{v1} cm^3	W_{z1} cm^3	A_1 cm^2	J_{z2} cm^4	J_{y2} cm^4	W_{u2} cm^3	W_{v2} cm^3	W_{z2} cm^3	A_2 cm^2	
КПГ-40x40	0,9	0,58	0,84	0,09	0,055	0,502	0,041	0,34	0,48	0,26	1,23	0,461	0,111	0,469	0,087
КПГ-40x40	1,2	0,77	1,2	0,23	0,114	0,496	0,084	0,50	0,7	0,58	1,74	0,672	0,211	0,670	0,145

Таблица 16.6

Изгиб сечения относительно оси У-У

Обозначение	t, мм	$G_{напр}$ кг/м	Геометрические характеристики сечения									
			Сжатая полка по оси 3-3						Сжата стенка по оси 4-4			
			J_{z1}	J_{y1}	W_{u1}	W_{v1}	W_{z1}	A_1	J_{z2}	J_{y2}	W_{u2}	
КПГ-40x40	0,9	0,58	0,08	1,07	0,406	0,054	0,406	0,04	0,52	0,97	0,29	0,12
КПГ-40x40	1,2	0,77	0,23	1,58	0,68	0,116	0,61	0,09	0,76	1,37	0,60	0,22

t –толщина направляющей;

 $G_{напр}$ – масса 1 погонного метра направляющей J_z, J_y – момент инерции сечения относительно осей z, y; W_u, W_v, W_y, W_z – момент сопротивления сечения относительно осей u, v, y, z; A – площадь сечения

4.17.1 Геометрические характеристики сечений направляющих определены по программе SCAD Soft (см. приложение 2). Сечение направляющей принято с учетом редукционного коэффициента сжатой стенки или сжатой полки (см. приложение 2).

4.17.2 Проверка сечения направляющих

а) по прочности

1) При реактивном ветре (отсос) в пролете сжата стенка

$$\sigma = \frac{N}{A_2} + \frac{M_{\text{np}}}{W_{z2}} \leq \frac{R_y}{\gamma_n} \quad (30)$$

2) При реактивном ветре (отсос) на опоре сжата полка

$$\sigma = \frac{N}{A_1} + \frac{M_{\text{оп}}}{W_{z1}} \leq \frac{R_y}{\gamma_n} \quad (31)$$

3) При активном ветре в пролете сжата полка

$$\sigma = \frac{N}{A_1} + \frac{M_{\text{np}}}{W_{z1}} \leq \frac{R_y}{\gamma_n} \quad (32)$$

4) При активном ветре на опоре сжата стенка

$$\sigma = \frac{N}{A_2} + \frac{M_{\text{оп}}}{W_{z2}} \leq \frac{R_y}{\gamma_n} \quad (33)$$

Материал: оцинкованная сталь 08пс.

$R_y=220 \text{ МПа}=2250 \text{ кгс/см}^2$ (см. табл.1)

γ_n - коэффициент надежности по ответственности $\gamma_n=1.0$ для расчета элементов ограждения (п.9 [6]);

б) по деформациям

$$f = \frac{5 \times q_w^h \times l^4}{384 \times E \times J_{z1}} \leq \frac{l}{200} \quad - \text{схема 1 (рис.7)} \quad (34)$$

$$f = \frac{0.00675 \times q_w^h \times l^4}{E \times J_{z1}} \leq \frac{l}{200} \quad - \text{схема 2 (рис.8)} \quad (35)$$

$$f = \frac{0.0063 \times q_w^h \times l^4}{E \times J_{z1}} \leq \frac{l}{200} \quad - \text{схема 3 (рис.9)} \quad (36)$$

$$f = \frac{0.006 \times q_w^h \times l^4}{E \times J_{z1}} \leq \frac{l}{200} \quad - \text{схема 4 (рис.10)} \quad (37)$$

Где: q_w^h - нормативная погонная ветровая нагрузка, кгс/м

$$q_w^h = \frac{q_w}{[1 + \zeta] \times \gamma_f} \quad (38)$$

- q_w - расчетная погонная нагрузка (определенна выше), кгс/м

- $\zeta(z_e)$ – коэффициент пульсации давления ветра, принимаемый по таблице 6;

- γ_f - коэффициент надежности по нагрузке $\gamma_f = 1.4$;
 - l – пролет направляющей (расстояние между кронштейнами), м;
 - E – модуль упругости $E=2,1 \cdot 10^6$, кгс/см²;
 - J_{z1} – момент инерции сечения направляющей, см⁴ (см. табл.16);
 - f – прогиб, см
- $\frac{l}{200}$ – предельный прогиб (Е.2 [1]).

4.18 Горизонтальное положение направляющих

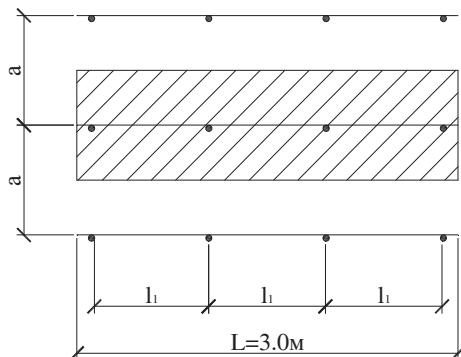


Рисунок 15

Где:

- a – шаг направляющих, м;
- l_1 – пролет направляющей, м (расстояние между кронштейнами) (на рисунке 15 условно приведена трехпролетная схема);
- L – длина направляющей, м (типовая равна 3 м).

Вертикальная направляющая (профиль КПШ) должна устанавливаться на горизонтальную направляющую в точках крепления горизонтальной направляющей к кронштейнам, с возможным максимальным отклонением 300мм.

4.18.1 Для расчета сечения горизонтальной направляющей от действия внешних нагрузок (собственный вес облицовки, направляющей, гололедной нагрузки – P , кгс действующей по оси Z ; ветрового давления P_w , кгс действующих по оси Y), определяются усилия в направляющей:

- $M_{\text{пр.}}$ – пролетный момент , кгс*м;
- $M_{\text{оп.}}$ – опорный момент, кгс*м;
- Q_w – максимальная опорная реакция, кгс.

4.18.2 Усилия в горизонтальной направляющей определены по формулам, приведенным в расчетно-теоретическом справочнике при расположении вертикальных направляющих (схема 3) с шагом 600мм - ширина керамогранитной плиты (схема 5).

4.18.3 Усилия в горизонтальной направляющей при отличном шаге вертикальных направляющих, определяются расчетом балок по существующим программам ЭВМ.

4.18.4 На приведенных ниже схемах направление действия ветра условно показано для реактивного (отсос) воздействия ветра, при активном ветре направление ветрового давления меняет знак на противоположный.

4.18.5 На схемах эпюры усилий приведены от действия вертикальных нагрузок, эпюры усилий от горизонтальных нагрузок находится в другой плоскости и аналогичны приведенным.

Системы 3,5

Схема 5 (для шага кронштейнов 900 мм)

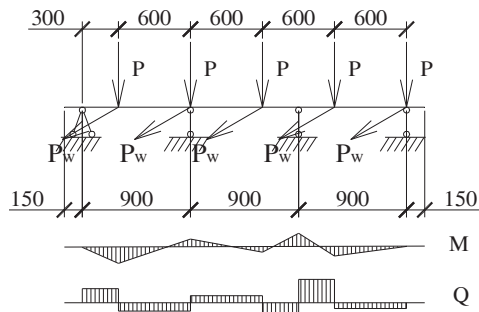


Рисунок 16

Усилия от веса облицовки:

$$M_{\text{пр.п}} = 0,084 \times P, \text{ кгс*м} \quad (39)$$

$$M_{\text{оп.п}} = 0,167 \times P, \text{ кгс*м} \quad (40)$$

$$Q_{\text{оп.п}} = 1,54 \times P, \text{ кгс} \quad (41)$$

А) без учета гололедной нагрузки

$$P = G_n \times a \times \nu + G_{\text{напр.}} \times \gamma_f \times a + G_{\text{напр.1}} \times \gamma_f \times \nu, \text{ кгс} \quad (42)$$

Б) с учетом гололедной нагрузки

$$P = G_n \times a \times \nu + G_{\text{напр.}} \times \gamma_f \times a + G_{\text{напр.1}} \times \gamma_f \times \nu + i \times a \times \nu \times \psi_{t1}, \text{ кгс} \quad (43)$$

Усилия от ветровой нагрузки

$$M_{\text{пр.в}} = 0,084 \times P_w, \text{ кгс*м} \quad (44) \quad M_{\text{оп.в}} = 0,167 \times P_w, \text{ кгс*м} \quad (45)$$

$$Q_{\text{оп.в}} = 1,54 \times P_w, \text{ кгс} \quad (46)$$

А) без учета гололедной нагрузки

$$P_w = W_m \times a \times \gamma_f \times k_{\text{нep}}, \text{ кгс} \quad (47)$$

б) с учетом гололедной нагрузки

$$P_w = 0,25 \times W_m \times a \times \gamma_f \times k_{\text{нep}} \times \psi_{f2}, \text{ кгс} \quad (48)$$

Где:

M , кгс*м, и Q , кгс – расчетные усилия в вертикальной от P ; и горизонтальной плоскости от P_w

- W_m – расчетное значение средней составляющей ветровой нагрузки приведено в таблицах 9...11;

- a -шаг направляющих, м;

- $k_{\text{нep}}$ - коэффициент неразрезности, учитывающий передачу ветровой нагрузки с облицовки как с многопролетной балки (при длине облицовки большей, чем шаг направляющих) на направляющую принимаемый равным:

- при двухпролетной схеме $k_{\text{нep}}=1,25$;

- при трехпролетной схеме $k_{\text{нep}}=1,1$;

- при четырехпролетной схеме $k_{\text{нep}}=1,143$;

- при пяти и более пролетной схеме $k_{\text{нep}}=1,132$

- 1 - пролет направляющих (расстояние между кронштейнами), м;

- P - расчетная вертикальная нагрузка от веса облицовки, веса вертикальных направляющих, гололедных нагрузок, кгс;

- P_w – расчетная горизонтальная ветровая нагрузка, кгс;

- $G_{\text{п}}$ – нагрузка от собственного веса облицовки, кгс/м², принимаемая по табл. 2;

- a – шаг горизонтальных направляющих, м;

- b - шаг вертикальных направляющих, м - (условно принят 600 мм с расположением направляющих по наихудшему варианту, при проектировании системы для конкретного здания усилия в горизонтальной направляющей определять исходя из реального расположения вертикальных направляющих);

- $G_{\text{напr.}}$ – вес вертикальной направляющей, кгс/м, принимаемый по табл. 17, 18;

- $G_{\text{напr.1}}$ – вес горизонтальной направляющей, кгс/м, принимаемый по табл. 16;

- γ_f - коэффициент надежности по нагрузке принимаемый по табл.8.2 [1]

$$\gamma_f = 1,05$$

- i – расчетная гололедная нагрузка, принимаемая по табл. 15.

- $\psi_{t1}=1,0$ – коэффициент сочетаний (см.п.6.4 [1])

- $\psi_{t2}=0,9$ – коэффициент сочетаний (см.п.6.4 [1])

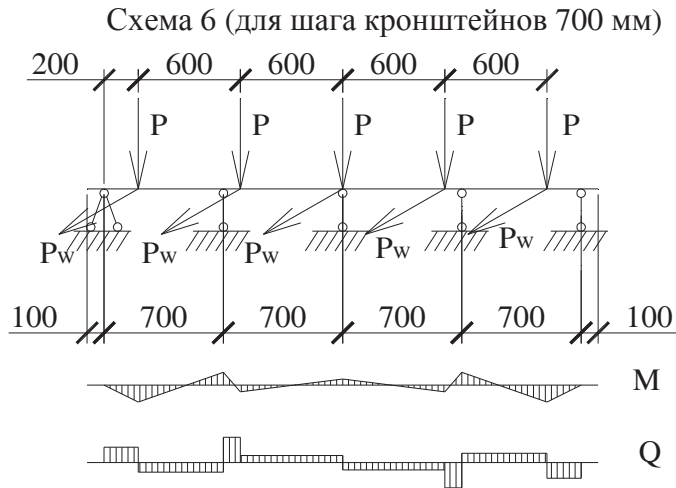


Рисунок 17

Усилия от веса облицовки:

$$M_{\text{пп.п.}} = 0,084 \times P, \text{ кгс}\cdot\text{м} \quad (49)$$

$$M_{\text{оп.п.}} = 0,12 \times P, \text{ кгс}\cdot\text{м} \quad (50)$$

$$Q_{\text{оп.п.}} = 1,38 \times P, \text{ кгс} \quad (51)$$

А) без учета гололедной нагрузки

$$P = G_n \times a \times \sigma + G_{\text{напр.}} \times \gamma_f \times a + G_{\text{напр.1}} \times \gamma_f \times \sigma, \text{ кгс} \quad (52)$$

Б) с учетом гололедной нагрузки

$$P = G_n \times a \times \sigma + G_{\text{напр.}} \times \gamma_f \times a + G_{\text{напр.1}} \times \gamma_f \times \sigma + i \times a \times \sigma \times \psi_{t1}, \text{ кгс} \quad (53)$$

Усилия от ветровой нагрузки

$$M_{\text{пп.в.}} = 0,084 \times P_w, \text{ кгс}\cdot\text{м} \quad (54)$$

$$M_{\text{оп.в.}} = 0,12 \times P_w, \text{ кгс}\cdot\text{м} \quad (55)$$

$$Q_{\text{оп.в.}} = 1,38 \times P_w, \text{ кгс} \quad (56)$$

А) без учета гололедной нагрузки

$$P_w = W_m \times a \times \sigma \times k_{\text{неп}}, \text{ кгс} \quad (57)$$

Б) с учетом гололедной нагрузки

$$P_w = 0,25 \times W_m \times a \times \sigma \times k_{\text{неп}} \times \psi_{t2}, \text{ кгс} \quad (58)$$

Условные обозначения приведены выше

Схема 7 (для шага кронштейнов 600 мм)

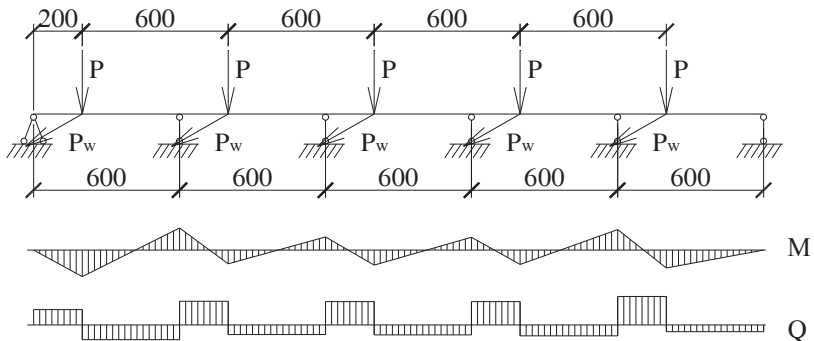


Рисунок 18

Усилия от веса облицовки:

$$M_{\text{пр.п}} = 0,053 \times P, \text{ кгс} \cdot \text{м} \quad (59)$$

$$M_{\text{оп.п}} = 0,105 \times P, \text{ кгс} \cdot \text{м} \quad (60)$$

$$Q_{\text{оп}} = 1,17 \times P, \text{ кгс} \quad (61)$$

А) без учета гололедной нагрузки

$$P = G_n \times a \times \sigma + G_{\text{напр.}} \times \gamma_f \times a + G_{\text{напр.1}} \times \gamma_f \times \sigma, \text{ кгс} \quad (62)$$

Б) с учетом гололедной нагрузки

$$P = G_n \times a \times \sigma + G_{\text{напр.}} \times \gamma_f \times a + G_{\text{напр.1}} \times \gamma_f \times \sigma + i \times a \times b \times \psi_{t1}, \text{ кгс} \quad (63)$$

Усилия от ветровой нагрузки

$$M_{\text{пр.в}} = 0,053 \times P_w, \text{ кгс} \cdot \text{м} \quad (64)$$

$$M_{\text{оп.в}} = 0,105 \times P_w, \text{ кгс} \cdot \text{м} \quad (65)$$

$$Q_{\text{оп.в}} = 1,17 \times P_w, \text{ кгс} \quad (66)$$

А) без учета гололедной нагрузки

$$P_w = W_m \times a \times \sigma \times k_{\text{неп}}, \text{ кгс} \quad (67)$$

Б) с учетом гололедной нагрузки

$$P_w = 0,25 \times W_m \times a \times \sigma \times k_{\text{неп}} \times \psi_{t2}, \text{ кгс} \quad (68)$$

Условные обозначения приведены выше.

4.19 Проверка сечения направляющих КПГ-60x44x3000 t=0,9мм;

КПГ-60x44x3000 t=1,2мм. (Сечение направляющих и геометрические характеристики приведены в п.4.17).

а) по прочности

1) При активном ветре в пролете сжата полка

$$\sigma = \frac{M_{\text{пр.п}}}{W_{v2}} + \frac{M_{np.w}}{W_{v1}} \leq \frac{R_y}{\gamma_n} \quad (69)$$

2) При активном ветре на опоре сжата стенка

$$\sigma = \frac{M_{\text{оп.п}}}{W_{v1}} + \frac{M_{on.w}}{W_{v2}} \leq \frac{R_y}{\gamma_n} \quad (70)$$

3) При реактивном ветре(отсос) в пролете сжата стенка

$$\sigma = \frac{M_{\text{оп.п}}}{W_{v2}} + \frac{M_{np.w}}{W_{v2}} \leq \frac{R_y}{\gamma_n} \quad (71)$$

4) При реактивном ветре(отсос) на опоре сжата полка

$$\sigma = \frac{M_{\text{оп.п}}}{W_{v1}} + \frac{M_{on.w}}{W_{v1}} \leq \frac{R_y}{\gamma_n} \quad (72)$$

б) по деформациям от вертикальной нагрузки Р

$$f = \frac{0.01465 \times P^h \times l^3}{E \times J_{y2}} \leq \frac{l}{200} \quad \text{- схема 5,6,7} \quad (73)$$

Где: $P^h = \frac{G_{n.} \times a \times \varphi}{\gamma_f} + G_{\text{напр.}} \times a + G_{\text{напр.1}} \times \varphi$, кгс (74)

γ_f - коэффициент надежности по нагрузке, принимаемый по табл.8.2 [1];

-l – пролет направляющей (расстояние между кронштейнами), м=100см;

- E – модуль упругости $E=2,1 \times 10^6$, кгс/см²;

- J_{y2} – момент инерции сечения направляющей, см⁴ (см. табл.16);

- f – прогиб, см

$$\frac{l}{200} \text{ – предельный прогиб (см. п.Е.2.4.3 [1])}$$

в) по деформациям от горизонтальной нагрузки P_w^h

$$f = \frac{0.01465 \times P_w^h \times l^3}{E \times J_{z1}} \leq \frac{l}{200} \quad \text{- схема 5,6,7} \quad (75)$$

Где:

$$P_w^H = \frac{W_m \times a \times \sigma \times k_{\text{неп}}}{\gamma_f \times [1 + \zeta]}, \text{ кгс} \quad (76)$$

- W_m , кгс/м² – расчетное значение средней составляющей ветровой нагрузки приведено в таблицах 9...11

- ζ – коэффициент пульсации давления ветра, принимаемый по таблице 6;

- γ_f - коэффициент надежности по нагрузке $\gamma_f = 1.4$;

- l – пролет направляющей (расстояние между кронштейнами), м=100см;

- E – модуль упругости $E=2,1 \times 10^6$, кгс/см²;

- J_{z1} – момент инерции сечения направляющей, см⁴(см. табл.16) ;

- f – прогиб, см.

В) проверка сечения направляющей на отгиб от ветровой нагрузки.

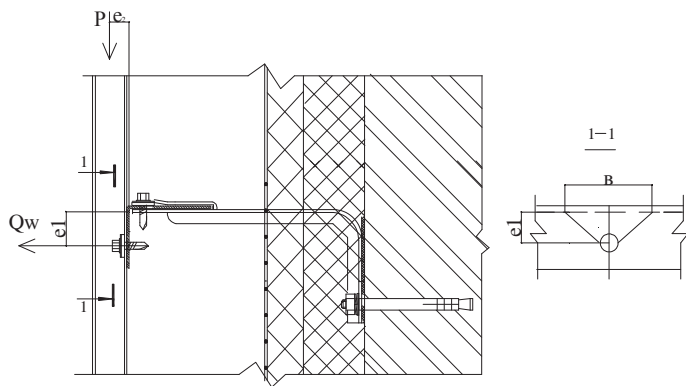


Рисунок 19

$$e_1 = (44 - 20 - t - r) \text{мм} ; \quad (77)$$

где:

- t - толщина профиля;

- r – радиус гиба

$$Q_w = q_w * c, \quad (78)$$

где:

$$- q_w = W_m \times a, \text{ кгс/м}; \quad (79)$$

- c – расстояние между горизонтальными направляющими, м;

- a- расстояние между вертикальными направляющими, м;

- W_m , кгс/м² – расчетное значение средней составляющей ветровой нагрузки приведено в таблицах 9...11.

$$P = G_n \times a \times c, \text{ кгс} \quad (80)$$

$$\sigma = \frac{M}{W} \leq R_y; \quad (81)$$

где:

$$M = Q_w * e_1 - P * e_2 \text{ (кгс*см)}, \quad (82)$$

$$W = \frac{t^2 * \epsilon}{6}; \quad (83)$$

$$\epsilon = 2 * e_1 + d_{зак} \quad (84)$$

$d_{зак}$ – диаметр заклепки

$$R_y = 220 \text{ МПа} = 2250 \text{ кгс/см}^2 \text{ (см. табл.1)}$$

4.20 Сечение вертикальной направляющей КПШ-90x20x3000; КПШ-50x20x3000

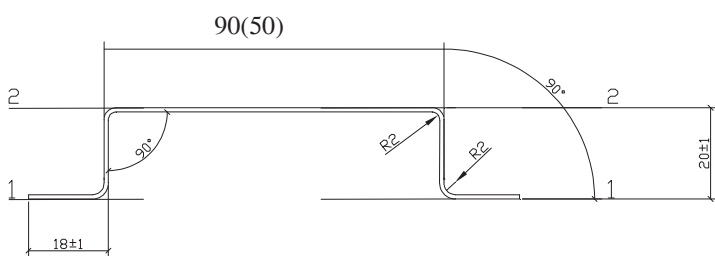


Рисунок 20

Таблица 17

Обозначение	t, мм	Площадь сечения A, см ²	Масса 1 м длины, кг	Оправочные величины						Длина стандартная, м	Ширина заго- товки мм		
				сжаты по оси 1-1		сжаты по оси 2-2		момент инерции $I_x, \text{ см}^4$		момент сопротивления, см ³ $W \times 1$			
				момент инерции $I_x, \text{ см}^4$	момент сопротивления, см ³ $W \times 2$	момент инерции $I_x, \text{ см}^4$	момент сопротивления, см ³ $W \times 1$	момент инерции $I_x, \text{ см}^4$	момент сопротивления, см ³ $W \times 2$				
КПШ-50x20	0,9	1,02	0,8	0,655	0,548	0,81	0,67	0,7	0,65	3000±5	113		
КПШ-50x20	1,2	1,36	1,11	0,98	0,9	1,08	0,98	1,04	0,89	3000±5	113		
КПШ-90x20	0,9	1,4	1,10	0,81	0,58	1,34	0,67	0,7	0,65	3000±5	156		
КПШ-90x20	1,2	1,87	1,54	1,24	0,95	1,79	1,13	1,22	0,91	3000±5	156		

t – толщина направляющей;

$G_{напр.1}$ – масса 1 погонного метра направляющей

J_x – момент инерции сечения;

W_{x1}, W_{x2} – момент сопротивления сечения;

A – площадь сечения

4.20.1 Геометрические характеристики сечений направляющих определены по программе SCAD Soft (см. приложение 2). Сечение направляющей принято с учетом редукционного коэффициента сжатой полки по оси 1 и по оси 2 .

4.21 Проверка прочности сечения направляющих:

а) по прочности

1) При реактивном ветре (отсос) в пролете сжаты полки по оси 1

$$\sigma = \frac{N}{A} + \frac{M_{\text{np}}}{W_x} \leq \frac{R_y}{\gamma_n} \quad (85)$$

2) При реактивном ветре (отсос) на опоре сжата полка по оси 2

$$\sigma = \frac{N}{A} + \frac{M_{\text{оп}}}{W_x} \leq \frac{R_y}{\gamma_n} \quad (86)$$

3) При активном ветре в пролете сжата полка по оси 2

$$\sigma = \frac{N}{A} + \frac{M_{\text{np}}}{W_x} \leq \frac{R_y}{\gamma_n} \quad (87)$$

4) При активном ветре на опоре сжаты стенки по оси 1

$$\sigma = \frac{N}{A} + \frac{M_{\text{оп}}}{W_x} \leq \frac{R_y}{\gamma_n} \quad (88)$$

Усилия определяются по расчетным схемам 1 - 4 (п. 4.16);

W_x - минимальный момент сопротивления сечения W_{x1} или W_{x2} ;

Материал: оцинкованная сталь 08пс.

$R_y=220$ МПа=2250 кгс/см² (см. табл.1)

γ_n - коэффициент надежности по ответственности $\gamma_n = 1.0$ для расчета элементов ограждения (п.9 [6]);

б) по деформациям

$$f = \frac{5 \times q_w^h \times l^4}{384 \times E \times J_x} \leq \frac{l}{200} \quad - \text{схема1 (рис.8)} \quad (89)$$

$$f = \frac{0.00675 \times q_w^h \times l^4}{E \times J_x} \leq \frac{l}{200} \quad - \text{схема2 (рис.9)} \quad (90)$$

$$f = \frac{0.0063 \times q_w^h \times l^4}{E \times J_x} \leq \frac{l}{200} \quad - \text{схема3 (рис.10)} \quad (91)$$

$$f = \frac{0.006 \times q_w^h \times l^4}{E \times J_x} \leq \frac{l}{200} \quad - \text{схема4 (рис.11)} \quad (92)$$

Где: q_w^h - нормативная погонная ветровая нагрузка, кгс/м

$$q_w^h = \frac{q_w}{[1 + \zeta] \times \gamma_f} \quad (93)$$

- q_w - расчетная погонная нагрузка (определенна выше), кгс/м

- $\zeta (z_e)$ – коэффициент пульсации давления ветра, принимаемый по таблице 6;

- γ_f - коэффициент надежности по нагрузке $\gamma_f = 1,4$;

- l – пролет направляющей (расстояние между кронштейнами), м;

- E – модуль упругости $E=2,1 \cdot 10^6$, кгс/см²;

- J_x – момент инерции сечения направляющей, см⁴(см. табл.17);

- f прогиб, см

$$\frac{l}{200} \text{ – предельный прогиб (E.2 [1]) .}$$

Система 2

4.22 На приведенных ниже схемах направление действия ветра условно показано для реактивного (отсос) воздействия ветра, при активном ветре направление ветрового давления меняет знак на противоположный.

4.23 На схемах эпюры усилий приведены от действия вертикальных нагрузок, эпюра усилий от горизонтальных нагрузок находится в другой плоскости и аналогична, приведенным.

Схема 8 (для шага кронштейнов 900 мм)

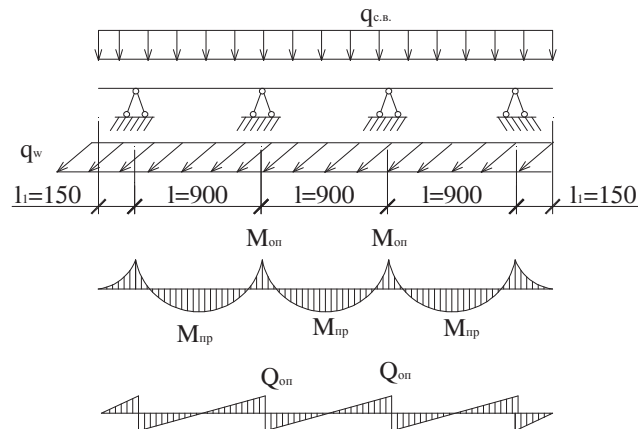


Рисунок 22

Усилия от веса облицовки:

$$M_{\text{пп.п}} = 0,08 \times q_{c.e.} \times l^2, \text{ кгс*м} \quad (94)$$

$$M_{\text{оп.п}} = 0,1 \times q_{c.e.} \times l^2, \text{ кгс*м} \quad (95)$$

$$Q_{\text{оп.п}} = 1,1 \times q_{c.e.} \times l, \text{ кгс} \quad (96)$$

А) без учета гололедной нагрузки

$$q_{c.e.} = G_n \times a \times k_{\text{неп}} + G_{\text{напр.}} \times \gamma_f, \text{ кгс/м} \quad (97)$$

б) с учетом гололедной нагрузки

$$q_{c.e.} = G_n \times a \times k_{\text{неп}} + G_{\text{напр.}} \times \gamma_f + i \times a \times k_{\text{неп}} \times \psi_{t1}, \text{ кгс/м} \quad (98)$$

Усилия от ветровой нагрузки

$$M_{\text{пп.в}} = 0,08 \times q_w \times l^2, \text{ кгс*м} \quad (99)$$

$$M_{\text{оп.в}} = 0,1 \times q_w \times l^2, \text{ кгс*м} \quad (100)$$

$$Q_{\text{оп.в}} = 1,1 \times q_w \times l, \text{ кгс} \quad (101)$$

А) без учета гололедной нагрузки

$$q_w = W_m \times a \times k_{\text{неп}}, \text{ кгс/м} \quad (102)$$

Б) с учетом гололедной нагрузки

$$q_w = 0,25 \times W_m \times a \times k_{\text{неп}} \times \psi_{t2}, \text{ кгс/м} \quad (103)$$

Где:

q_w - расчетная погонная ветровая нагрузка

- W_m - расчетное значение средней составляющей ветровой нагрузки приведено в таблицах 9...11;

- a - шаг направляющих, м;

- $k_{\text{неп}}$ - коэффициент неразрезности, учитывающий передачу ветровой нагрузки с облицовки как с многопролетной балки (при длине облицовки большей, чем шаг направляющих) на направляющую принимаемый равным:

- при двухпролетной схеме $k_{\text{неп}}=1,25$;

- при трехпролетной схеме $k_{\text{неп}}=1,1$;

- при четырехпролетной схеме $k_{\text{неп}}=1,143$;

- при пяти и более пролетной схеме $k_{\text{неп}}=1,132$

- $G_{\text{п}}$ - нагрузка от собственного веса облицовки, кгс/м^2 , принимаемая по табл. 2;

- a – шаг направляющих, м;
- $G_{\text{напр.}}$ – масса направляющей, кгс/м, принимаемая по табл. 16;
- γ_f - коэффициент надежности по нагрузке, принимаемый по табл. 8.2 [1]
- $\gamma_f = 1,05$
- i – расчетная гололедная нагрузка, принимаемая по табл. 15;
- $\psi_{t2}=1,0$ – коэффициент сочетаний (см. п.6.4 [1])
- $\psi_{t2}=0,9$ – коэффициент сочетаний (см. п.6.4 [1])

Схема 9 (для шага кронштейнов 700 мм)

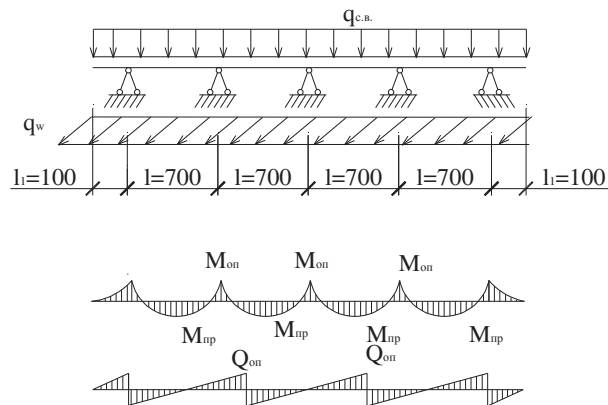


Рисунок 23

Усилия от веса облицовки:

$$M_{\text{пр.п}} = 0,077 \times q_{c.b.} \times l^2, \text{ кгс*м} \quad (104)$$

$$M_{\text{оп.п}} = 0,107 \times q_{c.b.} \times l^2, \text{ кгс*м} \quad (105)$$

$$Q_{\text{оп.п}} = 1,143 \times q_{c.b.} \times l, \text{ кгс} \quad (106)$$

А) без учета гололедной нагрузки

$$q_{c.b.} = G_n \times a \times k_{\text{неп}} + G_{\text{напр.}} \times \gamma_f, \text{ кгс/м} \quad (107)$$

Б) с учетом гололедной нагрузки

$$q_{c.b.} = G_n \times a \times k_{\text{неп}} + G_{\text{напр.}} \times \gamma_f + i \times a \times k_{\text{неп}} \times \psi_{t1}, \text{ кгс/м} \quad (108)$$

Усилия от ветровой нагрузки

$$M_{\text{пр.в}} = 0,077 \times q_w \times l^2, \text{ кгс*м} \quad (109)$$

$$M_{\text{оп.в}} = 0,107 \times q_w \times l^2, \text{ кгс*м} \quad (110)$$

$$Q_{\text{оп.в}} = 1,143 \times q_w \times l, \text{ кгс} \quad (111)$$

А) без учета гололедной нагрузки

$$q_w = W_m \times a \times k_{\text{неп}}, \text{ кгс/м} \quad (112)$$

Б) с учетом гололедной нагрузки

$$q_w = 0,25 \times W_m \times a \times k_{\text{неп}} \times \psi_{t2}, \text{ кгс/м} \quad (113)$$

Условные обозначения приведены выше (схема 8)

Схема 10 (для шага кронштейнов 600 мм)

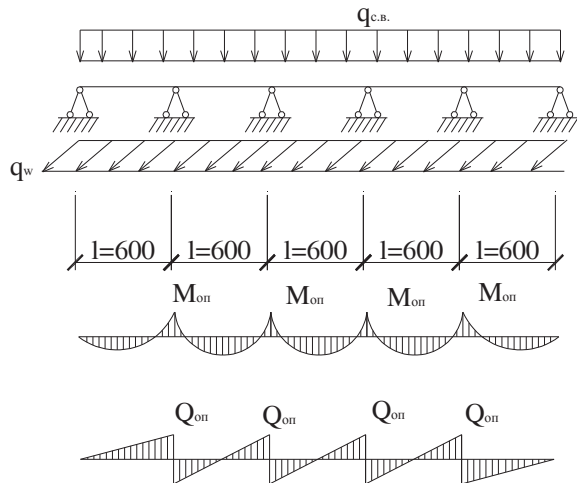


Рисунок 24

Усилия от веса облицовки:

$$M_{\text{пп.п}} = 0,0781 \times q_{c.s.} \times l^2, \text{ кгс*м} \quad (114)$$

$$M_{\text{оп.п}} = 0,105 \times q_{c.s.} \times l^2, \text{ кгс*м} \quad (115)$$

$$Q_{\text{оп.п}} = 1,132 \times q_{c.s.} \times l, \text{ кгс} \quad (116)$$

А) без учета гололедной нагрузки

$$q_{c.s.} = G_n \times a \times k_{\text{неп}} + G_{\text{напр.}} \times \gamma_f, \text{ кгс/м} \quad (117)$$

Б) с учетом гололедной нагрузки

$$q_{c.s.} = G_n \times a \times k_{\text{неп}} + G_{\text{напр.}} \times \gamma_f + i \times a \times k_{\text{неп}} \times \psi_{t1}, \text{ кгс/м} \quad (118)$$

Усилия от ветровой нагрузки

$$M_{\text{пп.в}} = 0,0781 \times q_w \times l^2, \text{ кгс*м} \quad (119)$$

$$M_{\text{оп.в}} = 0,105 \times q_w \times l^2, \text{ кгс*м} \quad (120)$$

$$Q_{\text{оп.в}} = 1,132 \times q_w \times l, \text{ кгс} \quad (121)$$

А) без учета гололедной нагрузки

$$q_w = W_m \times a \times k_{\text{неп}}, \text{ кгс/м} \quad (122)$$

Б) с учетом гололедной нагрузки

$$q_w = 0,25 \times W_m \times a \times k_{\text{неп}} \times \psi_{t2}, \text{ кгс/м} \quad (123)$$

Условные обозначения приведены выше (схема 8)

4.24 Проверка сечения направляющих КПГ-60x44x3000 t=0,9 мм;

КПГ-60x44x3000 t=1,2мм; КПГ-40x44x3000 t=0,9 мм; КПГ-40x44x3000 t=1,2мм (Сечение направляющей и геометрические характеристики приведены в п.4.20).

а) по прочности

1) При активном ветре в пролете сжата полка

$$\sigma = \frac{M_{\text{пп.п}}}{W_{v2}} + \frac{M_{np.w}}{W_{v1}} \leq \frac{R_y}{\gamma_n} \quad (124)$$

2) При активном ветре на опоре сжата стенка

$$\sigma = \frac{M_{\text{оп.п}}}{W_{v1}} + \frac{M_{on.w}}{W_{v2}} \leq \frac{R_y}{\gamma_n} \quad (125)$$

3) При реактивном ветре(отсос) в пролете сжата стенка

$$\sigma = \frac{M_{\text{оп.п}}}{W_{v2}} + \frac{M_{np.w}}{W_{v2}} \leq \frac{R_y}{\gamma_n} \quad (126)$$

4) При реактивном ветре(отсос) на опоре сжата полка

$$\sigma = \frac{M_{\text{оп.п}}}{W_{v1}} + \frac{M_{on.w}}{W_{v1}} \leq \frac{R_y}{\gamma_n}; \quad (127)$$

Где:

- $R_y=2250 \text{ кгс/см}^2$ расчетное сопротивление стали 08пс (см. табл.1)

- γ_n - коэффициент надежности по ответственности $\gamma_n = 1.0$ для расчета элементов ограждения (п.9 [6]);

б) по деформациям от нагрузки $q_{\text{с.в.}}$

$$f = \frac{0.00675 \times q_{c.b.}^{\text{H}} \times l^4}{E \times J_{y2}} \leq \frac{l}{200} \quad - \text{схема 8 (рис.20)} \quad (128)$$

$$f = \frac{0.0063 \times q_{c.b.}^{\text{H}} \times l^4}{E \times J_{y2}} \leq \frac{l}{200} \quad - \text{схема 9 (рис.21)} \quad (129)$$

$$f = \frac{0.006 \times q_{c.b.}^{\text{H}} \times l^4}{E \times J_{y2}} \leq \frac{l}{200} \quad - \text{схема 10 (рис.22)} \quad (130)$$

Где: q_w^h - нормативная погонная ветровая нагрузка, кгс/м

$$q_w^h = \frac{q_w}{[1 + \zeta] \times \gamma_f} \quad (131)$$

- q_w - расчетная погонная нагрузка (определенна выше), кгс/м

- $\zeta (z_e)$ – коэффициент пульсации давления ветра, принимаемый по таблице 6;

- γ_f - коэффициент надежности по нагрузке $\gamma_f = 1,4$;

- l – пролет направляющей (расстояние между кронштейнами), м;

- E – модуль упругости $E=2,1 \cdot 10^6$, кгс/см²;

- J_{y2} – момент инерции сечения направляющей, см⁴(см. табл.16);

- f прогиб, см

$$\frac{l}{200} - \text{пределенный прогиб (E.2 [1])}.$$

в) по деформациям от ветровой нагрузки q_w .

$$f = \frac{0.00675 \times q_w^h \times l^4}{E \times J_{z1}} \leq \frac{l}{200} - \text{схема 8 (рис.20)} \quad (132)$$

$$f = \frac{0.0063 \times q_w^h \times l^4}{E \times J_{z1}} \leq \frac{l}{200} - \text{схема 9 (рис.21)} \quad (133)$$

$$f = \frac{0.006 \times q_w^h \times l^4}{E \times J_{z1}} \leq \frac{l}{200} - \text{схема 10 (рис.22)} \quad (134)$$

Где: q_w^h - нормативная погонная ветровая нагрузка, кгс/м

$$q_w^h = \frac{q_w}{[1 + \zeta] \times \gamma_f} \quad (135)$$

- q_w - расчетная погонная нагрузка (определенна выше), кгс/м

- $\zeta (z_e)$ – коэффициент пульсации давления ветра, принимаемый по таблице 6;

- γ_f - коэффициент надежности по нагрузке $\gamma_f = 1,4$;

- l – пролет направляющей (расстояние между кронштейнами), м;

- E – модуль упругости $E=2,1 \cdot 10^6$, кгс/см²;

- J_{x1} – момент инерции сечения направляющей, см⁴(см. табл.16);

- f прогиб, см

$$\frac{l}{200} - \text{пределенный прогиб (E.2 [1])}.$$

4.25 Несущий кронштейн рассчитывается как консоль, заделанная в стене здания, смотри рисунок 25. Консоль загружена вертикальной нагрузкой P (собственный вес каркаса, облицовки и гололёд), приложенной в центре тяжести каждой из нагрузок и горизонтальной нагрузкой Q_w от ветра.

4.26 При вертикальной направляющей (системы 1,4)

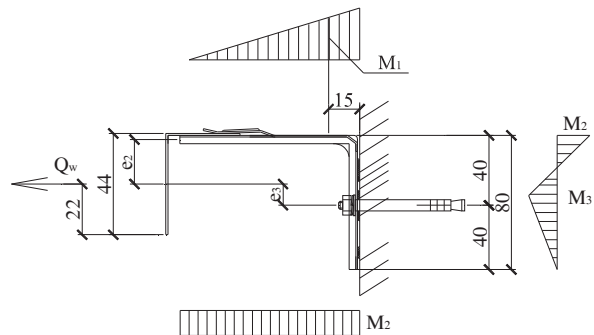
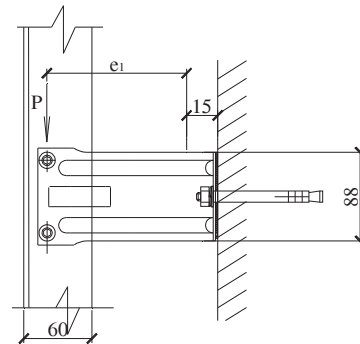


Рисунок 25

$e_1 = 90(120)(150)(180)(230) \text{мм} - 10 \text{ мм} - 15 \text{ мм} = 65 (95) (125) (155) (205) \text{ мм}$ в зависимости от длины кронштейна (для больших длин см. п. 4.32);

$$e_2 = (44 - 22 - 1,2 - 0,6) = 20,2 \text{ мм}$$

$$e_3 = (20,2 + 0,6 - 40) = 19,2 \text{ мм}$$

$$e_4 = 0,5 * 88 - 0,5 * C, \text{ мм}$$

$$e_5 = 40 - 0,5 * c_1, \text{ мм}$$

Где:

$-c = A_{cm}/b$ - высота площадки смятия паронитовой прокладки:

$$-A_{cm} = \frac{P \times (e_1 + 15)}{0,5 * h * R_{cm}}, \text{ см}^2 \text{ -площадь смятия паронитовой прокладки (136);}$$

- b , мм-ширина кронштейна

- R_{cm} – расчетное сопротивление смятию паронитовой прокладки

- $c_1 = A_{cm}/h$ - высота площадки смятия паронитовой прокладки:

- $A_{cm} = Q_w/R_{cm}$ - площадь смятия паронитовой прокладки;

- h , мм - высота кронштейна;

- R_{cm} – расчетное сопротивление смятию паронитовой прокладки.

4.27 Расчетные усилия:

А) без учета гололедных нагрузок

$$M_1 = P \times e_1, \text{ кгс*см} \quad (137)$$

$$M_2 = Q_w \times e_2, \text{ кгс*см} \quad (138)$$

$$M_3 = Q_w \times e_3, \text{ кгс*см} \quad (139)$$

$$M_4 = P \times (e_1 + 15), \text{ кгс*см} \quad (140)$$

Где:

$$- P = G_{oob} * l * a + G_{narp.} \times \gamma_f \times l . \text{ кгс} \quad (141)$$

- $Q_w = Q_{opw}$, кгс – опорная реакция в направляющей для систем 1,4, (см. п.4.18.5);

б) с учетом гололедных нагрузок

$$M_1 = (P + P_{sol} \times \psi_{t1}) \times e_1, \text{ кгс*см} \quad (142)$$

$$M_2 = 0,25 \times Q_w \times \psi_{t2} \times e_2, \text{ кгс*см} \quad (143)$$

$$M_3 = 0,25 \times Q_w \times \psi_{t2} \times e_3, \text{ кгс*см} \quad (144)$$

$$M_4 = (P + P_{sol} \times \psi_{t1}) \times (e_1 + 15), \text{ кгс*см} \quad (145)$$

Где:

$$- P = G_{oob} * l * a + G_{narp.} \times \gamma_f \times l . \text{ кгс;} \quad (146)$$

$$- P_{sol} = i * l * a . \text{ кгс} \quad (147)$$

- i , кгс/м²- расчетная нагрузка от гололеда принимаемая по табл.15

- $\psi_{t1}=1,0$ – коэффициент сочетаний (см. 6.4[1])

- $\psi_{t1}=0,9$ – коэффициент сочетаний (см.6.4 [1])

4.28 Геометрические характеристики сечения кронштейна приведены в табл. 19 определены по программе SCAD Soft (см. приложение 2)

Таблица 19

Марка кронштейна	t, мм	W ₁ , см ³	W ₂ , см ³	W ₃ , см ³	A, см ²	A ₁ , см ²
KK-(50-180)x50	1,2	0,445	0,023	0,02	0,577	0,445
KK-(50-180)x50	2,0	0,834	0,045	0,04	1,063	0,843
KKU-(90-230)x80	1,2	1,66	0,118	0,106	1,124	0,992
KKU-(90-230)x80	2,0	2,77	0,187	0,17	1,873	1,65
KKU-(260-350)x80	2,0	3,00	0,327	0,315	1,99	1,77

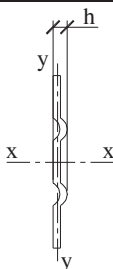


Рисунок 26

$$W_1 = W_x, \text{ см}^3$$

$$W_2 = W_y, \text{ см}^3$$

$$W_3 = \frac{\Sigma J}{h - z_m}, \text{ см}^3; \quad (148)$$

Где:

-h - высота кронштейна, см;

-z_m - координата центра масс по оси z (см. приложение 2 расчет сечения кронштейна по программе SCAD), см;

$$\Sigma J = J_y - \frac{t^3 * 1,4}{12} - t * 1,4 * z_m^2, \text{ см}^4; \quad (149)$$

ΣJ – момент инерции сечения кронштейна с учетом отверстия в пяте кронштейна, см⁴;

-t-толщина кронштейна, см;

- J_y – момент инерции относительно оси Y, см⁴ (см. приложение 2 расчет сечения кронштейна по программе SCAD);

- 1,4 см – размер отверстия в пяте кронштейна

$$A_1 = A - t * 1,4, \text{ см}^2 \quad (150)$$

4.29 Проверка прочности сечения

$$\sigma_1 = \frac{M_1}{W_1} + \frac{M_2}{W_2} + \frac{Q_w}{A} \leq \frac{R_y}{\gamma_n} \quad (151)$$

$$\sigma_2 = \frac{M_3}{W_3} + \frac{P}{A_1} \leq \frac{R_y}{\gamma_n} \quad (152)$$

Где:

- $Q_w = Q_{op}$ – опорная реакция в направляющей для систем 1,4 (см. п.4.18.5) при учете гололедной нагрузки- $Q_w = 0,25 * Q_{op} * \psi$ (153)
- $R_y = 2250$ кгс/см² расчетное сопротивление стали 08пс (см. табл.1)
- γ_n - коэффициент надежности по ответственности $\gamma_n = 1.0$ для расчета элементов ограждения (п.9 [6]);

4.30 При горизонтальной направляющей (системы 2,3,5)

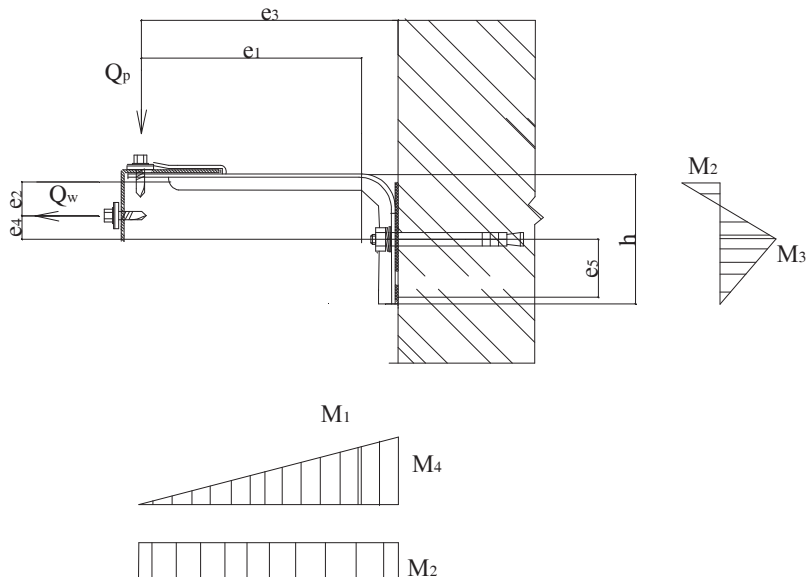


Рисунок 27

$e_1 = 90(120)(150)(180)(230)\text{мм} - 10\text{ мм} - 15\text{ мм} = 65(95)(125)(175)(205)\text{ мм}$ в зависимости от длины кронштейна (для больших длин см. п. 4.32);

$$e_2 = (44 - 22 - 1,2 - 0,6) = 20,2\text{ мм}$$

$e_3 = 90(120)(150)(180)(230)\text{мм} - 10\text{ мм} = 80(110)(140)(170)(220)\text{ мм}$ в зависимости от длины кронштейна (для больших длин см. п. 4.32);

$$e_4 = (80 - 40 - 20,2) = 19,8\text{ мм}$$

$$e_5 = 40 - 0,5 * c_1$$

4.31 Расчетные усилия:

А) без учета гололедной нагрузки:

$$M_1 = Q_p \times e_1, \text{ кгс*см}; \quad (154)$$

$$M_2 = Q_w \times e_2, \text{ кгс*см}; \quad (155)$$

$$M_3 = Q_w \times e_4, \text{ кгс*см}; \quad (156)$$

$$M_4 = Q_p \times e_3, \text{ кгс*см} \quad (157)$$

Где:

- $Q_w = Q_{опw}$; $Q_p = Q_{опр}$, кгс – опорная реакция в направляющей для систем 2,3,5 (см. п.4.18.5, 4.23);

б) с учетом гололедной нагрузки:

$$M_1 = (Q_p + Q_{зол} \times \psi_{t1}) \times e_1, \text{ кгс*см}; \quad (158)$$

$$M_2 = 0,25 \times Q_w \times \psi_{t2} \times e_2, \text{ кгс*см}; \quad (159)$$

$$M_3 = 0,25 \times Q_w \times \psi_{t2} \times e_4, \text{ кгс*см}; \quad (160)$$

$$M_4 = (Q_p + Q_{зол} \times \psi_{t1}) \times e_3, \text{ кгс*см} \quad (161)$$

Где:

$$- Q_{зол} = \frac{Q_{оп} \times i}{G_n} \quad (162)$$

- i , кгс/м² – расчетная нагрузка от гололеда принимаемая по табл.15

$\Psi_{t1}=1,0$ – коэффициент сочетаний (см.6.4 [1]).

$\Psi_{t2}=0,9$ – коэффициент сочетаний (см. 6.4 [1]).

4.32 Проверка прочности сечения

$$\sigma_1 = \frac{M_1}{W_2} - \frac{M_2}{W_2} + \frac{Q_w}{A} \leq \frac{R_y}{\gamma_n} \quad (163)$$

$$\sigma_2 = \frac{M_4}{W_3} + \frac{M_3}{W_3} + \frac{Q_p}{A_l} \leq \frac{R_y}{\gamma_n} \quad (164)$$

Где:

- $Q_w = Q_{onw}$, кгс—расчетная опорная реакция в направляющей для систем 2,3,5 (см. п.4.18.5,

4.23); при проверке прочности с учетом гололедной нагрузки - $Q_w = 0,25 \times Q_{on.w} \times \psi$ (165)

- $R_y = 2250$ кгс/см² расчетное сопротивление стали 08пс (см. табл.1)

- γ_n - коэффициент надежности по ответственности $\gamma_n = 1.0$ для расчета элементов ограждения (п.9 [6]).

4.32 Относ облицовки от стены на расстояния более 250 мм возможно обеспечить установкой удлинителя кронштейна УК-150x96

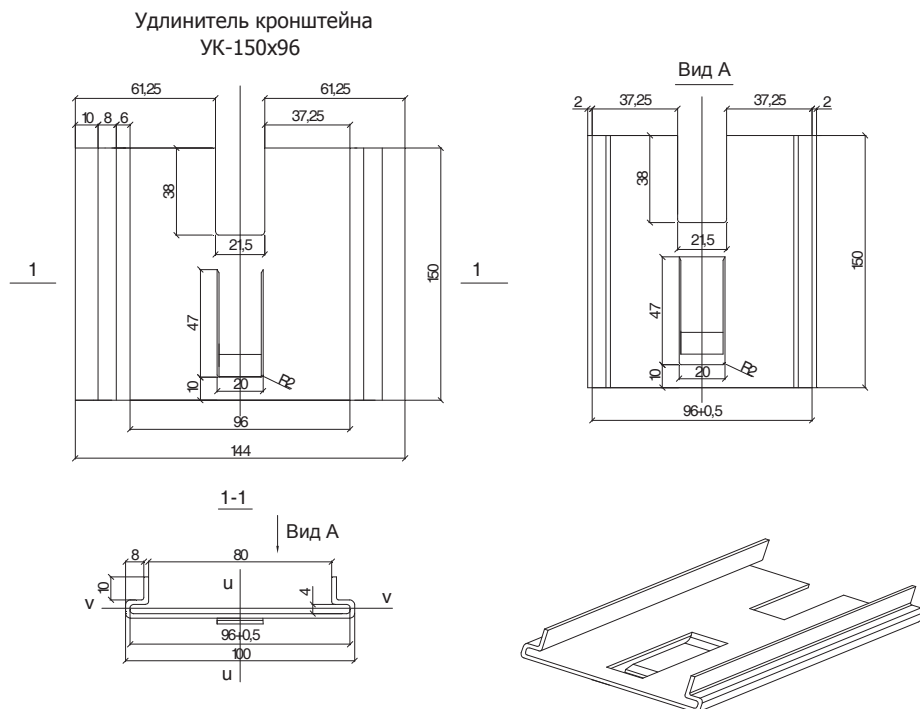


Рисунок 28

Геометрические характеристики сечения приведены в таблице 2

Таблица 20

Обозначение	t, мм	Длина, м	Площадь сечения A, см ²	Масса, кг	Отравочные величины			
					момент инерции, см ⁴		момент сопротивления, см ³	
					J _x	J _y	W _x	W _y
УК-159x96x2	2,0	0,15	2,87	0,33	33,3	0,53	6,65	0,38
УК-159x96x1,2	1,2	0,15	2,87	0,20	21,1	0,26	4,2	0,26

4.33 Применение удлинителя для системы 1,4

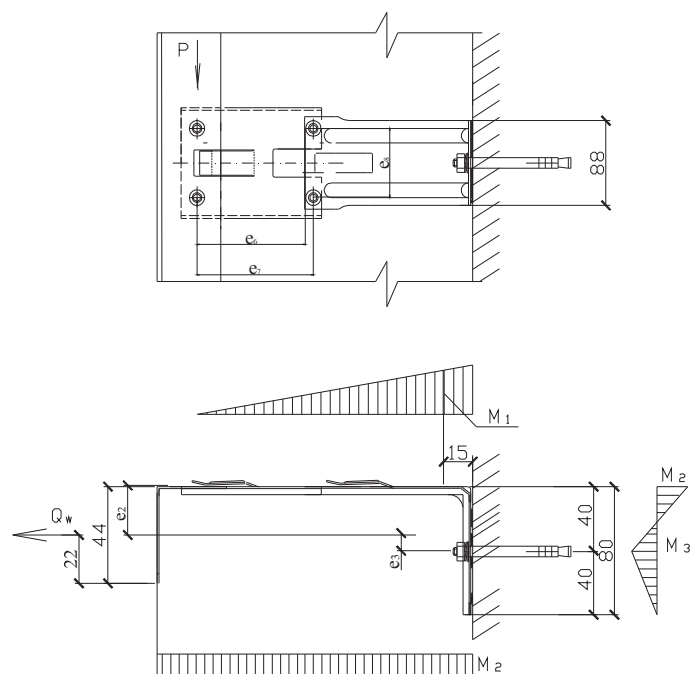


Рисунок 29

$$e_2 = (44 - 22 + 0,6) = 22,6 \text{ мм}$$

$$e_6 = 120 \text{ мм}$$

$$e_7 = 120 + 15 = 135 \text{ мм}$$

$$e_8 = 70 \text{ мм}$$

4.33.1 Расчетные усилия:

А) без учета гололедных нагрузок

$$M_1 = P \times e_6, \text{ кгс*см} \quad (166)$$

$$M_2 = Q_w \times e_2, \text{ кгс*см} \quad (167)$$

$$M_3 = P \times e_7, \text{ кгс*см} \quad (168)$$

Где:

$$- P = G_{o\bar{o}l.} * l * a + G_{n\bar{a}p.} \times \gamma_f \times l . \text{ кгс} \quad (169)$$

- Q_w – опорная реакция в направляющей для систем 1,4, (см. п.4.18.5);

б) с учетом гололедных нагрузок

$$M_1 = (P + P_{e\bar{o}l.} \times \psi_{t1}) \times e_6, \text{ кгс*см} \quad (170)$$

$$M_2 = 0,25 \times Q_w \times \psi_{t2} \times e_2, \text{ кгс*см} \quad (171)$$

$$M_3 = (P + P_{e\bar{o}l.} \times \psi_{t1}) \times e_7, \text{ кгс*см} \quad (172)$$

Где:

$$- P = G_{o\bar{o}l.} * l * a + G_{n\bar{a}p.} \times \gamma_f \times l . \text{ кгс}; \quad (173)$$

$$- P_{e\bar{o}l.} = i * l * a . \text{ кгс} \quad (174)$$

i , кгс/м² - расчетная нагрузка от гололеда принимаемая по табл.15

$\psi_{t1}=1,0$ – коэффициент сочетаний (см.6.4 [1]).

$\psi_{t2}=0,9$ – коэффициент сочетаний (см. 6.4 [1]).

4.33.2 Проверка прочности сечения

$$\sigma_1 = \frac{M_1}{W_x} + \frac{M_2}{W_y} + \frac{Q_w}{A} \leq \frac{R_y}{\gamma_n} \quad (175)$$

$$\sigma_1 = \frac{M_3}{W_x} + \frac{M_2}{W_y} + \frac{Q_w}{A} \leq \frac{R_y}{\gamma_n} \quad (176)$$

Где:

- $Q_w = Q_{op}$ – опорная реакция в направляющей для систем 1,4 (см. п.4.18.5) при учете гололедной нагрузки- $Q_w = 0,25 * Q_{op} * \psi_{t2}$ (177)

- $R_y = 2250$ кгс/см² расчетное сопротивление стали 08пс (см. табл.1)

- γ_n - коэффициент надежности по ответственности $\gamma_n = 1.0$ для расчета элементов ограждения (п.9 [6]).

4.34 Проверка элементов крепления удлинителя к кронштейну

Усилие, воспринимаемое самонарезающим винтом $d=4,8$ мм;:

$$N_e = \sqrt{\left(\frac{P * K_{3an}}{n}\right)^2 + \left(\frac{Q_w * K_{3an}}{n} + \frac{M_3 * K_{3an}}{e_8}\right)^2} \leq N, \text{кгс} ; (178)$$

Где:

$K_3=1.2$ - коэффициент запаса;

n – количество самонарезающих винтов;

-На срез $N_s=R_{bs} * \gamma_b * A * n_s = 3200 * 0,9 * 0,18 * 1 = 520$ кгс (179)

-На смятие $N_{cm}=\gamma_b d * \Sigma t * R_{bp}=0,8 * 0,48 * 0,12 * 4200=194$ кгс (180)

Где:

- d – диаметр стержня винта;

- Σt – наименьшая суммарная толщина элементов сминаемых в одном направлении;

- R_{bp} –расчетное сопротивление смятию элементов конструкций, (см. табл. 1);

- R_{bs} –расчетное сопротивление среза, (см. табл.Г.6 [2]);

- A –расчетная площадь сечения стержня винта $d=4,8$ мм;

- n_s – число расчетных срезов одного болта

- γ_b – коэффициент условий работы принимаемый по табл. 41 [2].

4.35 Проверка элементов крепления удлинителя к направляющей

Усилие, воспринимаемое самонарезающим винтом $d=4,8$ мм; :

$$N_e = \sqrt{\left(\frac{P * \kappa_{san}}{n}\right)^2 + \left(\frac{Q_w * \kappa_{san}}{n} + \frac{P * e_9 * \kappa_{san}}{e_8}\right)^2} \leq N, \text{krc} ; (181)$$

Условные обозначения см. выше.

4.36. Применение удлинителя для системы 2,3,5

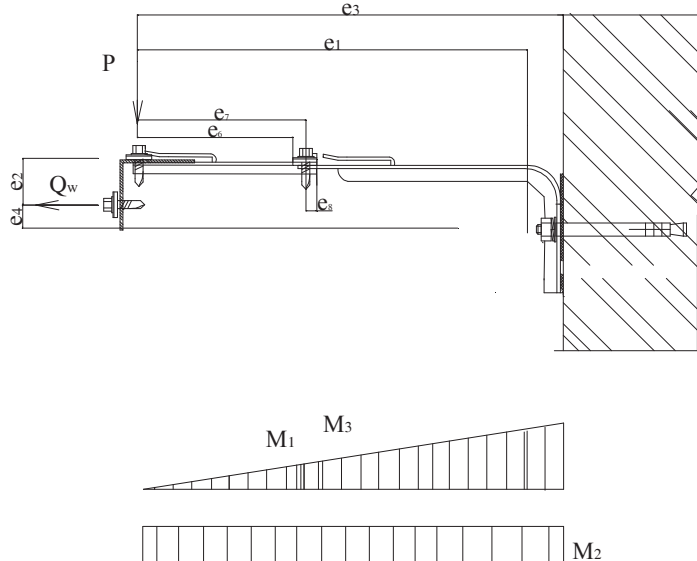


Рисунок 30

$$e_2 = (44 - 22 + 0,6) = 22,6 \text{мм}$$

$$e_6 = 120 \text{мм}$$

$$e_7 = 120 + 15 = 135 \text{мм}$$

4.36.1 Расчетные усилия:

А) без учета гололедных нагрузок

$$M_1 = P \times e_6, \text{ кгс*см} \quad (182)$$

$$M_2 = Q_w \times e_2, \text{ кгс*см} \quad (183)$$

$$M_3 = P \times e_7, \text{ кгс*см} \quad (184)$$

Где:

$$- P = G_{обл.} * l * a + G_{напр.} \times \gamma_f \times l . \text{ кгс} \quad (185)$$

- Q_w = $Q_{опр}$, кгс – опорная реакция в направляющей для систем 2,3,5 (см. п.4.18.5, 4.8.12).

б) с учетом гололедных нагрузок

$$M_1 = (P + P_{\text{гол}} \times \psi_{t1}) \times e_6, \text{ кгс}\cdot\text{см} \quad (186)$$

$$M_2 = 0,25 \times Q_w \times \psi_{t2} \times e_2, \text{ кгс}\cdot\text{см} \quad (187)$$

$$M_3 = (P + P_{\text{гол}} \times \psi_{t1}) \times e_7, \text{ кгс}\cdot\text{см} \quad (188)$$

Где:

$$- P = G_{\text{огл.}} * l * a + G_{\text{нанп.}} \times \gamma_f \times l, \text{ кгс}; \quad (189)$$

$$- P_{\text{гол}} = i * l * a, \text{ кгс} \quad (190)$$

- i , кгс/м² - расчетная нагрузка от гололеда принимаемая по табл.15

$\psi_{t1}=1,0$ – коэффициент сочетаний (см.6.4 [1]).

$\psi_{t2}=0,9$ – коэффициент сочетаний (см. 6.4 [1]).

4.36.2 Проверка прочности сечения

$$\sigma_1 = \frac{M_1}{W_y} - \frac{M_2}{W_y} + \frac{Q_w}{A} \leq \frac{R_y}{\gamma_n} \quad (191)$$

$$\sigma_1 = \frac{M_3}{W_y} - \frac{M_2}{W_y} + \frac{Q_w}{A} \leq \frac{R_y}{\gamma_n} \quad (192)$$

Где:

- $Q_w = Q_{\text{оп}}$ – опорная реакция в направляющей для систем 2,3,5 (см. п.4.18.5, 4.23)

при учете гололедной нагрузки- $Q_w=0,25*Q_{\text{оп}}*\psi_{t2}$ (193)

- $R_y=2250$ кгс/см² расчетное сопротивление стали 08пс (см. табл.1)

- γ_n - коэффициент надежности по ответственности $\gamma_n = 1,0$ для расчета элементов ограждения (п.9 [6]).

4.37 Проверка элементов крепления удлинителя к кронштейну

Усилие воспринимаемое самонарезающим винтом $d=4,8\text{мм};$:

$$N_e = \sqrt{\left(\frac{P * \kappa_{\text{зап}}}{n}\right)^2 + \left(\frac{Q_w * \kappa_{\text{зап}}}{n}\right)^2} \leq N_s, \text{ или } N_{cm}, \text{ кгс}; \quad (194)$$

$$N_e = \frac{P * (e_7 + e_8)}{n * e_8} \leq N_p, \text{ кгс} \quad (195)$$

Где:

$\kappa_{\text{зап}}=1,2$ - коэффициент запаса;

n – количество самонарезающих винтов;

N -Несущая способность винта равная:

-На срез $N_s = R_{bs} * \gamma_b * A * n_s = 3200 * 0,9 * 0,18 * 1 = 520$ кгс (196)

-На смятие $N_{cm} = \gamma_b d * \Sigma t * R_{bp} = 0,8 * 0,48 * 0,12 * 4200 = 194$ кгс (197)

-На растяжение $N_p = R_{bt} * A_{bn} = 4000 * 0,14 = 560$ кгс (198)

Где:

- d – диаметр стержня винта;

- Σt – наименьшая суммарная толщина элементов сминаемых в одном направлении;

- R_{bp} –расчетное сопротивление смятию элементов конструкций, (см. табл. 1);

- R_{bs} –расчетное сопротивление среза, (см. табл.Г.5 [2]);

- R_{bt} –расчетное сопротивление растяжения, (см. табл.Г.5 [2]);

- A –расчетная площадь сечения стержня винта $d=4,8$ мм;

- A_{bn} –площадь сечения стержня винта нетто;

- n_s – число расчетных срезов одного болта

- γ_b – коэффициент условий работы принимаемый по табл. 41 [2].

4.38 Анкер крепления несущего кронштейна рассчитывается в соответствии со схемой приложения нагрузок, указанных на рис.29, (при вертикальном расположении направляющей); 30 (при горизонтальном расположении направляющей). Изгибающий момент в консоли кронштейна воспринимается парой сил. Одна из них - усилия растяжения (вырыв) в винте анкера, а другая равнодействующая от сил смятия по поверхности контакта стен – подошва кронштейна. При наличии термопрокладок в расчет принимается прочность прокладки на смятие.

4.38.1 Крепление кронштейна к стене для систем 1,4 (вертикальное расположение направляющей)

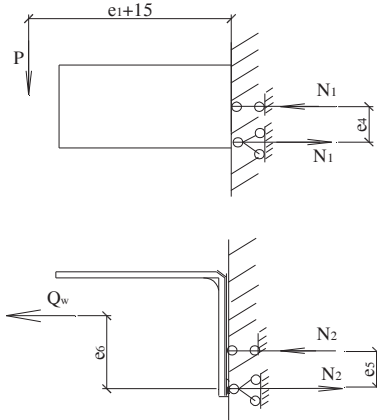


Рисунок 31

4.38.2 Усилие вырыва анкера из стены строящегося здания:

А) без учета гололедной нагрузки:

$$N_1 = \frac{P * (e_1 + 15)}{e_4} \text{ - усилие вырыва от вертикальной нагрузки } P; \quad (199)$$

Где:

$$- P = G_{обл.} * l * a + G_{анп.} \times \gamma_f \times l \text{ . кгс} \quad (200)$$

$$N_2 = \frac{Q_w * e_6}{e_5} \text{ - усилие вырыва от горизонтальной нагрузки } Q_w \quad (201)$$

$$e_6 = e_3 + e_5$$

$$N_1 + N_2 \leq N_{опр.}, \quad (202)$$

Где:

- $N_{опр.}$ - Усилие вырыва анкера из стены, определяется по данным фирм изготовителей анкера, но не более, чем усилие вырыва полученное при испытании на стене строящегося здания (среднее из 15 точек испытания) деленное на $K_{зап.}$:

б) с учетом гололедной нагрузки:

$$N_1 = \frac{(P + P_{зол.} \times \psi_{t1}) * (e_1 + 15)}{e_4} \text{ - усилие вырыва от вертикальной нагрузки } P + P_{зол.}; \quad (203)$$

Где:

$$- P = G_{обл.} * l * a + G_{анп.} \times \gamma_f \times l \text{ . кгс} \quad (204)$$

$$- P_{зол.} = i * l * a \text{ . кгс} \quad (205)$$

- i , кгс/м²- расчетная нагрузка от гололеда принимаемая по табл.15

$$N_2 = \frac{0,25 * Q_w * e_6}{e_5} - \text{усилие вырыва от горизонтальной нагрузки} \quad (206)$$

Q_w , кгс—расчетная опорная реакция в направляющей для систем 1,4 (см.п.4.6.5)

$\gamma_f=1,4$ –коэффициент надежности по нагрузке;

$\psi_{t1}=1,0$ – коэффициент сочетаний (см.п.6.4 [1]).

$$N_1 + N_2 \leq N_{omp.}, \quad (207)$$

Несущую способность анкерных дюбелей (анкеров) применительно к реальному основанию характеризуют допускаемым значением осевого усилия на дюбель или анкер. В качестве допускаемого осевого усилия N_{otp} принимается меньшее из двух значений:

- значение, полученное на основе обработки результатов испытаний или приведенное в ТС на основе данных поставщика для дюбеля (анкера) данной марки, вида;

- значение, определённое по прочности стенового материала.

4.38.3 Крепление анкера для систем 2,3,5 (при горизонтально расположенной направляющей)

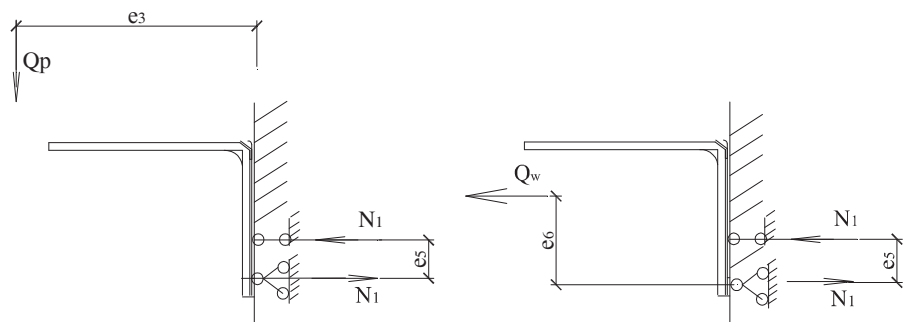


Рисунок 32

4.38.4 Усилие вырыва анкера из стены строящегося здания:

А)без учета гололедной нагрузки:

$$N_1 = \frac{Q_p * e_3}{e_5} + \frac{Q_w * e_6}{e_5} \leq N_{omp.} \quad (209)$$

Где:

- $Q_w = Q_{onw}$; $Q_p = Q_{onp}$, кгс—опорная реакция в направляющей для систем 2,3,5 (см. п.4.18.5, 4.23);

б)с учетом гололедной нагрузки:

$$N_1 = \frac{(Q_p + Q_{\text{оп}} \times \psi) * e_3}{e_5} + \frac{0,25 \times Q_w \times \psi * e_6}{e_5} \leq N_{\text{опр.}} \quad (211)$$

где:

- Q_w , кгс – расчетная опорная реакция в направляющей для систем 2,3,5 (см. п.4.18.5, 4.23)

- $\gamma_f = 1,4$ – коэффициент надежности по нагрузке;

- $\psi = 0,9$ – коэффициент сочетаний (см. [1])

- $Q_p = Q_{\text{опр}}$, кгс – опорная реакция в направляющей для систем 2,3,5 (см. п.4.18.5, 4.23);

$$-Q_{\text{гол}} = \frac{Q_{\text{опр}} \times i}{G_n} \quad (212)$$

- i , кгс/м² – расчетная нагрузка от гололеда принимаемая по табл.15.

Несущую способность анкерных дюбелей (анкеров) применительно к реальному основанию характеризуют допускаемым значением осевого усилия на дюбель или анкер. В качестве допускаемого осевого усилия $N_{\text{опр}}$ принимается меньшее из двух значений:

- значение, полученное на основе обработки результатов испытаний или приведенное в ТС на основе данных поставщика для дюбеля (анкера) данной марки, вида;

- значение, определённое по прочности стенового материала.

4.39 Облицовка – керамические плитки устанавливаются на направляющие при помощи кляммеров, выполненных нержавеющей стали толщиной 1,0 мм.или 1,2мм. Кляммеры устанавливаются на направляющие при помощи саморезов или заклепок.

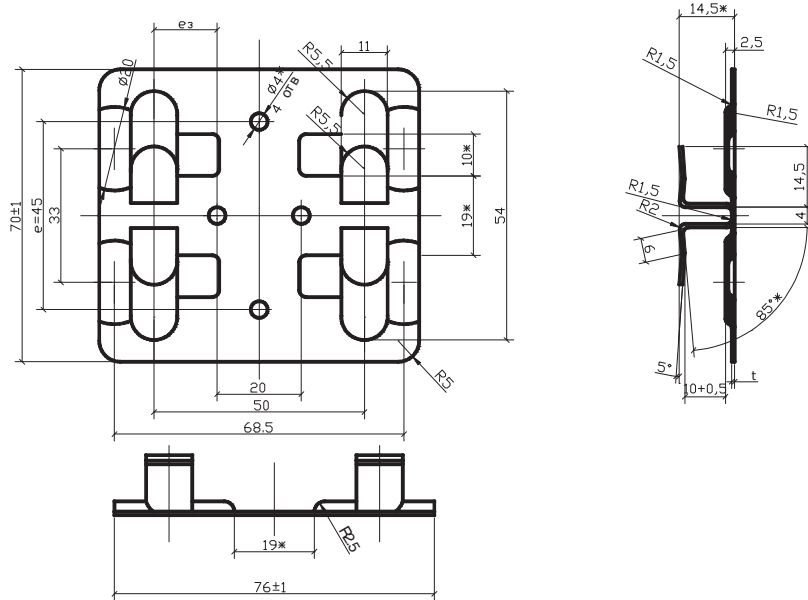


Рисунок 33

4.39.1 Кляммер воспринимает горизонтальную ветровую нагрузку и вертикальную нагрузку от веса облицовочного материала (керамогранитной плитки). Нагрузки передаются в точках опирания грани плитки близких к радиусу закругления лапки (передача нагрузки в этих точках подтверждена экспериментально).

4.39.2 Расчетная схема лапки кляммера.

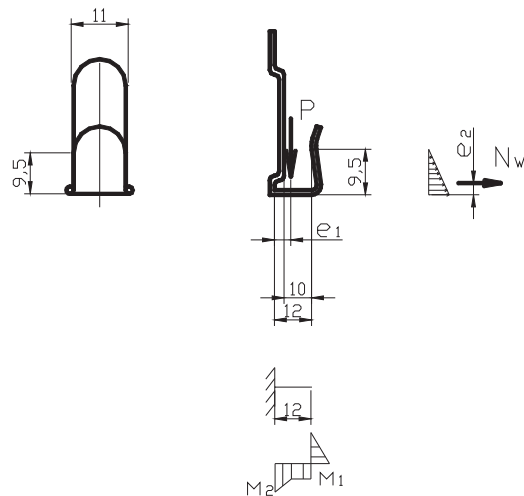


Рисунок 34

4.39.3 Геометрические характеристики сечения лапки:

$$W = \frac{t^2 * h}{6} = \frac{0.1^2 * 1.1}{6} = 0.00183 \text{ см}^3 \quad (214)$$

Где:

t - толщина кляммера, см;

h - ширина крючка кляммера, см

4.39.4 Расчетные нагрузки.

А) Расчетная ветровая нагрузка

$$N_w = W_m * 0.5 * a * 0.5 * \epsilon \quad (215)$$

Б) Расчетная нагрузка от собственного веса плитки

$$P = G_n * 0.5 * a * b; \quad (216)$$

Где:

W_m – расчетная ветровая нагрузка приведенная в табл. 9...11.

$-G_n$ – вес м^2 керамической плитки толщиной 10 мм приведен в табл. 2;

- a – ширина керамогранитной плитки, см;

- b – высота керамогранитной плитки, см

В) Расчетная нагрузка от гололеда

$$P_{\text{гол.}} = i * 0.5 * a * b ; \quad (217)$$

Где:

i – расчетная нагрузка от гололеда приведенная в табл. 15.

- a – ширина керамогранитной плитки, см;

- b – высота керамогранитной плитки, см

4.39.5 Расчетные усилия:

А) без учета гололедной нагрузки

$$M_2 = M_1 + P * e_1, \text{ кгс*см} \quad (218)$$

$$M_1 = N_w * e_2, \text{ кгс*см} \quad (219)$$

б) с учетом гололедной нагрузки

$$M_2 = M_1 + (P + P_{\text{гол.}} \Psi_{t1}) * e_1, \text{ кгс*см} \quad (220)$$

$$M_1 = 0.25 \times N_w \times \Psi_{t2} \times e_2, \text{ кгс*см} \quad (221)$$

Где:

$\Psi_{t1}=1,0$ – коэффициент сочетаний (см.п.6.4 [1])

$\Psi_{t2}=0,9$ – коэффициент сочетаний (см.п.6.4 [1])

4.39.6 Проверка прочности сечения кляммера:

$$\sigma = \frac{M_2}{W} + \frac{N_w}{A} \leq \frac{R_y}{\gamma_n}; \quad (222)$$

Где:

M_2 – максимальный момент (без учета гололедной нагрузки или с учетом гололедной нагрузки);

- $R_y=1900$ кгс/см² расчетное сопротивление стали ASIS 321 (см. табл.1)

- γ_n - коэффициент надежности по ответственности $\gamma_n = 1.0$ для расчета элементов ограждения (п.9 [6]).

- A – площадь сечения $A=t*h$, см²

Крепление кляммера к направляющей

Усилие воспринимаемое заклепкой:

$$N = \sqrt{\left(\frac{P * \kappa_{\text{зан}}}{n}\right)^2 + \left(\frac{N_w * \kappa_{\text{зан}}}{n} + \frac{P * e_1 * \kappa_{\text{зан}}}{e}\right)^2} \leq N_s \text{ или } N_{cM}, \text{ или } N_e, \text{ кгс} ; \quad (223)$$

Где:

А)Расчетная ветровая нагрузка

$$N_w = W_m * a * \sigma \quad (224)$$

Б) Расчетная нагрузка от собственного веса плитки

$$P = G_n * a * v; \quad (225)$$

Где:

W_m – расчетная ветровая нагрузка приведенная в табл. 9...11.

- G_n –вес m^2 керамической плитки толщиной 10 мм приведен в табл. 2;

- а – ширина керамогранитной плитки, см;

- в – высота керамогранитной плитки, см

В) Расчетная нагрузка от гололеда

$$P_{\text{гол.}} = i * a * v; \quad (226)$$

Где:

i – расчетная нагрузка от гололеда приведенная в табл. 15.

- а – ширина керамогранитной плитки, см;

- в – высота керамогранитной плитки, см

Где:

$k_3=1.2$ - коэффициент запаса;

n – количество заклепок A2/A2;

-На срез $N_s = R_{bs} * \gamma_b * A * n_s = 3200 * 0,9 * 0,18 * 1 = 520$ кгс (227)

-На смятие $N_{cm} = \gamma_b d * \Sigma t * R_{bp} = 0,8 * 0,48 * 0,1 * 6400 = 245$ кгс (для $t=1,0$ мм) (228)

-На растяжение $N_p = R_{bt} * A_{bn} = 4000 * 0,14 = 560$ кгс (229)

Где:

- d – диаметр стержня винта;

- Σt – наименьшая суммарная толщина элементов сминаемых в одном направлении;

- R_{bp} –расчетное сопротивление смятию элементов конструкций, (см. табл. 1);

- R_{bs} –расчетное сопротивление среза, (см. табл.Г.5 [2]);

- R_{bt} –расчетное сопротивление растяжения, (см. табл. Г.5 [2]);

- A –расчетная площадь сечения стержня винта $d=4,8$ мм;

- A_{bn} –площадь сечения стержня винта нетто;

- n_s – число расчетных срезов одного болта

- γ_b – коэффициент условий работы принимаемый по табл. 41 [2].

4.39.6 Проверка сечения пластины кляммера.

Крепление кляммера следует производить на 2-е горизонтальных заклепки, при усилиях, возникающих в заклепках более допускаемых следует устанавливать вертикальные заклепки.

A) Расчетная ветровая нагрузка

$$N_w = W_m * 0,5 * a * \sigma \quad (230)$$

$$M_3 = N_w * e_3 \quad \text{кгс*см} \quad (231)$$

С учетом ребер жесткости момент сопротивления пластины $W_3 = 0,0245 \text{ см}^3$

$$\sigma = \frac{M_3}{W_3} \leq \frac{R_y}{\gamma_n}; \quad (233) \text{ W3-?}$$

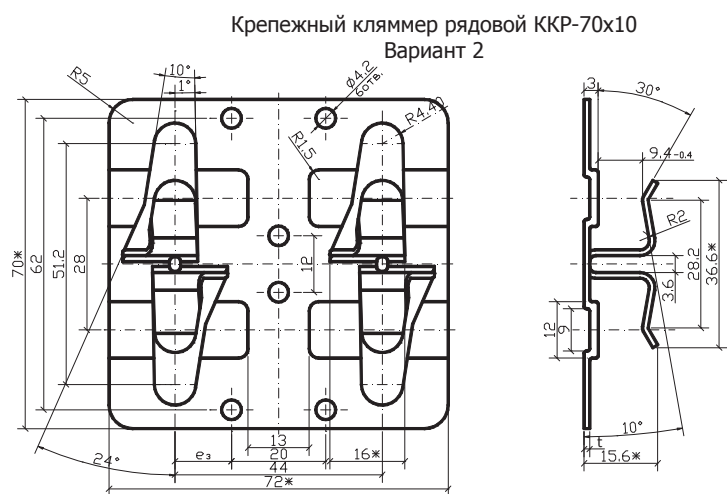


Рисунок 35

Расчет кляммера ККР -70x10 производится по алгоритму расчета кляммера ККР-70x10 вариант 1, при этом геометрические характеристики лапки кляммера определяются в соответствии с ниже приведенным пунктом

4. 39.7 Расчетная схема лапки кляммера.

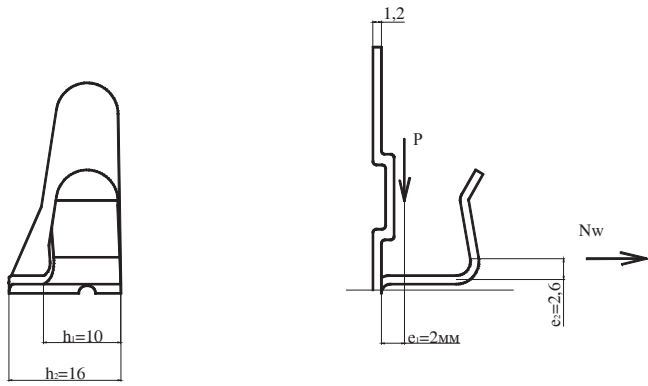


Рисунок 34

Эксцентрикитеты e_1, e_2 – приняты исходя из данных полученных при испытаниях лапок кляммера.

4.39.3 Геометрические характеристики сечения лапки кляммера:

$$W_1 = \frac{t^2 * h_1}{6} = \frac{0.12^2 * 1.0}{6} = 0.0024 \text{ см}^3 \quad (234)$$

$$W_2 = \frac{t^2 * h_2}{6} = \frac{0.12^2 * 1.6}{6} = 0.00384 \text{ см}^3 \quad (235)$$

Где:

t - толщина кляммера, см;

h_1 и h_2 - ширина лапки кляммера, см

4.39.8 Расчетные усилия:

А) без учета гололедной нагрузки

$$M_2 = M_1 + P * e_1, \text{ кгс*см} \quad (236)$$

$$M_1 = N_w * e_2, \text{ кгс*см} \quad (237)$$

Б) с учетом гололедной нагрузки

$$M_2 = M_1 + (P + P_{\text{зол}} \psi_{t1}) * e_1, \text{ кгс*см} \quad (238)$$

$$M_1 = 0,25 \times N_w \times \psi_{t2} \times e_2, \text{ кгс*см} \quad (239)$$

Где:

$\Psi_{t1}=1,0$ – коэффициент сочетаний (см.п.6.4 [1])

$\Psi_{t2}=0,9$ – коэффициент сочетаний (см.п.6.4 [1])

4.39.9 Проверка прочности сечения кляммера:

$$\sigma = \frac{M_1}{W_1} + \frac{N_w}{A_1} \leq \frac{R_y}{\gamma_n}; \quad (240)$$

$$\sigma = \frac{M_2}{W_2} + \frac{N_w}{A_2} \leq \frac{R_y}{\gamma_n}; \quad (241)$$

Где:

M_1, M_2 – максимальный момент (без учета гололедной нагрузки или с учетом гололедной нагрузки);

- $R_y=1900 \text{ кгс}/\text{см}^2$ расчетное сопротивление стали ASIS 321 (см. табл.1)

- γ_n - коэффициент надежности по ответственности $\gamma_n = 1.0$ для расчета элементов ограждения (п.9 [6]).

- A_1 – площадь сечения $A=t*h_1, \text{ см}^2$

- A_2 – площадь сечения $A=t*h_2, \text{ см}^2$

4.39.10 Проверка сечения пластины кляммера.

Крепление кляммера следует производить на 2-е горизонтальных заклепки, при усилиях, возникающих в заклепках более допускаемых следует устремливать вертикальные заклепки.

A) Расчетная ветровая нагрузка

$$N_w = W_m * 0,5 * a * \sigma \quad (242)$$

$$M_3 = N_w * e_3, \text{ кгс*см} \quad (243) \text{ e3-?}$$

С учетом ребер жесткости момент сопротивления пластины $W_3 = 0,041 \text{ см}^3$

$$\sigma = \frac{M_3}{W_3} \leq \frac{R_y}{\gamma_n}; \quad (244)$$

5. Пример расчета каркаса системы

Общие данные

1. Район строительства г. Москва
2. Высота здания 30м
3. Ветровой район I $W_o=23 \text{ кгс}/\text{м}^2$ (Тип местности В)
4. Гололедный район II (толщина стенки гололеда с двух сторон по 6-5мм)
5. Стена строящегося здания – бетон В25.

6. Вылет подконструкции от стены здания – 190мм.

Принимаем для расчета систему 1

Составляющие системы:

1. Направляющие КПГ-60*44 ($t=1.2\text{мм}$). Расположение вертикальное.
2. Кронштейны – ККУ-180 ($t=1.2\text{мм}$), расположенные полкой вертикально.
3. Облицовка – профилированный лист типа С-21*1000*0,5
4. Анкерный дюбель MBR 10мм L=120 мм (MUNGO).

Расчетные нагрузки:

1. Собственный вес облицовки:

$$G_n = G_n^H * \gamma_n$$

$$G_n = 5,42 * 1,05 = 5,7 \text{ кгс/м}^2$$

2. Собственный вес направляющей $G_{нап}=G_{нап}^H * \gamma_n = 0,98 * 1,05 = 1,03 \text{ кгс/м}$; ($G_{нап}^H$ - см. табл. 16)

3. Ветровая нагрузка:

На отм.30м по табл. 10 данной методики

Активный ветер

$$W_m^+ = 70,1 \text{ кгс/м}^2;$$

Рактивный ветер (отсос):

-для центральной части здания:

$$W_m^- = -70,1 \text{ кгс/м}^2$$

-для угловой части здания

$$W_m^- = -128,0 \text{ кгс/м}^2$$

4. Гололедная нагрузка

$$i = \gamma_f \times b \times k \times \mu_2 \times \rho, \text{ кгс/м}^2$$

$$i = 1,3 \times 0,005 \times 1,4 \times 0,6 \times 900 = 4,91 \text{ кг/м}^2$$

Подбор шага и пролета (расстояние между кронштейнами) направляющей.

1. Расчетная ветровая нагрузка для облицовки длиной 1,5м $q=143 \text{ кг/м}^2$

$$W_m^- = -128,0 \text{ кгс/м}^2$$

Принимаем шаг направляющих равным 1,5м (по несущей способности облицовки)

2. Определяем требуемый пролет направляющей из условия прочности направляющей.

$$1) \sigma = \frac{N}{A_2} + \frac{M_{np}}{W_{z2}} \leq \frac{R_y}{\gamma_n}$$

$$\frac{R_y}{1} = \frac{N}{A_2} + \frac{M_{np}}{W_{z2}};$$

$$M_{np} = 0,08 \times q_w \times l^2 = 0,08 \times 219,5 \times l^2 = 17,55 \text{ кгс м}$$

$$q_w = W_m \times a \times k_{nep} = 128,0 \times 1,5 \times 1,143 = 219,5 \text{ кг/м}$$

$$N = -G_n \times L \times a + G_{nep} \times \gamma_f \times L = 5,7 \times 3 \times 1,5 + 0,98 \times 1,05 \times 3 = 28,7 \text{ кгс}$$

Сечение направляющей КПГ-60x44x3000 толщиной t=1.2 мм

$$W_{z2} = 0,4 \text{ см}^3$$

$$A_2 = 0,93 \text{ см}^2$$

$$\frac{2250}{1} = \frac{28,7}{0,93} + \frac{17,55 \times l^2}{0,4};$$

$$l = \sqrt{\frac{(2250 - 30,0) \times 0,4}{17,55 \times 100}} = 0,71 \text{ м} \cong 0,7 \text{ м}$$

2. Определяем требуемый пролет направляющей из условия несущей способности кронштейна .

$$\sigma_1 = \frac{M_1}{W_1} + \frac{M_2}{W_2} + \frac{Q_w}{A} \leq \frac{R_y}{\gamma_n}$$

$$-\frac{R_y}{\gamma_n} = \frac{M_1}{W_1} + \frac{Q_w}{A} + \frac{M_2}{W_2}; \quad \frac{R_y}{\gamma_n} = \frac{P \times e_1}{W_1} + \frac{Q_w}{A} + \frac{Q_w \times e_2}{W_2}$$

$$R_y = 2250 \text{ кгс/м}^2; \quad \gamma_n = 1,0;$$

$$- P = G_n \times l \times a + G_{nep} \times \gamma_f \times l = 5,7 \times l \times 1,5 + 0,98 \times 1,05 \times l = 9,6 \times l \text{ кгс*м}$$

$$-e_1 = 155 \text{ мм} = 15,5 \text{ см};$$

$$-e_2 = 20,2 \text{ мм} = 2,02 \text{ см}$$

$$Q_{op} = 1,143 \times q_w \times l = 1,143 \times 192,0 \times l = 219,5 \text{ лкгс*м}$$

$$q_w = W_m \times a \times k_{nep} = 128 \times 1,5 \times 1,0 = 192,0 \text{ кг/м}$$

$$W_1 = 1,66 \text{ см}^3; \quad W_2 = 0,12 \text{ см}^3; \quad A = 1,124 \text{ см}^2$$

$$\frac{2250}{1} = \frac{9,6 \times l \times 15,5}{1,66} + \frac{219,5 \times l}{1,124} + \frac{219,5 \times l \times 2,02}{0,12};$$

$$2250 = 89,6 \times l + 195,2 \times l + 3694,9 \times l;$$

$$l = \frac{2250}{3979,7} = 0,565 \text{ м} \cong 500 \text{ мм}$$

$$\sigma_2 = \frac{M_3}{W_3} + \frac{P}{A_1} \leq \frac{R_y}{\gamma_n}$$

$$\frac{R_y}{\gamma_n} = \frac{P}{A_1} + \frac{M_3}{W_3}; \quad \frac{R_y}{\gamma_n} = \frac{P}{A_1} + \frac{Q_w \times e_3}{W_3}$$

$$R_y = 2250 \text{ кгс/м}^2; \quad \gamma_n = 1,0;$$

$$- P = G_{n.} \times l \times a + G_{hanp.} \times \gamma_f \times l = 5,7 \times l \times 1,5 + 0,98 \times 1,05 \times l = 9,6 \times l \text{ кгс*м}$$

$$-e_1 = 155 \text{ мм} = 15,5 \text{ см};$$

$$-e_3 = 20,2 \text{ мм} = 2,02 \text{ см}$$

$$Q_w = 1,143 \times q_w \times l = 1,143 \times 192, l = 219,5 \text{ лкгс*м}$$

$$q_w = W_m \times a \times k_{\text{неп}} = 128 \times 1,5 \times 1,0 = 192,0 \text{ кг/м}$$

$$W_3 = 0,106 \text{ см}^3; \quad A = 0,99 \text{ см}^2$$

$$\frac{2250}{1} = \frac{9,6 \times l}{0,99} + \frac{219,5 \times l \times 2,02}{0,106};$$

$$2250 = 9,7 \times l + 4183 \times l;$$

$$l = \frac{2250}{4192,7} = 0,53 \text{ м} = 500 \text{ мм}$$

3. Определяем требуемый пролет направляющей из условия несущей способности анкера на вырыв.

$$N_1 = \frac{P \times (e_1 + 15)}{e_4} - \text{усилие вырыва от вертикальной нагрузки } P;$$

Где:

$$- P = G_{n.} \times l \times a + G_{hanp.} \times \gamma_f \times l = 5,7 \times l \times 1,5 + 0,98 \times 1,05 \times l = 9,6 \times l \text{ кгс}$$

$$-e_1 = 170 \text{ мм} = 17,0 \text{ см};$$

$$-e_4 = 40,0 \text{ мм} = 4,0 \text{ см}$$

$$N_1 = \frac{9,6 \times l \times 17,0}{4,0} = 40,8 \times l \cdot \text{кгс} \times \text{м}$$

$$N_2 = \frac{Q_w \times e_2}{e_5} - \text{усилие вырыва от горизонтальной нагрузки } Q_w$$

$$Q_w = 1,143 \times q_w \times l = 1,143 \times 192,0 \times 1 = 219,5 \text{ кгс} \cdot \text{м}$$

$$q_w = W_m \times a \times k_{\text{нep}} = 128 \times 1,5 \times 1,0 = 192,0 \text{ кг/м}$$

$$-e_2 = 20,2 \text{ мм} = 2,02 \text{ см}$$

$$-e_5 = 40,0 \text{ мм} = 4,0 \text{ см}$$

$$N_2 = \frac{219,5 \times l \times 2,02}{4,0} = 110,8 \times l, \text{ кгс} \cdot \text{м}$$

$$N_1 + N_2 \leq N_{\text{omp}},$$

$$40,8 \times l + 110,8 \times l = 151,6 \times l, \text{ кгс} \cdot \text{м}$$

$N_{\text{отр.}} = 210 \text{ кгс}$ для анкерного дюбеля MBR 10мм L=120 мм (MUNGO).

$$N_1 + N_2 = N_{\text{omp.}}$$

$$151,6 \times l = 210$$

$$l = \frac{210}{151,6} = 1,38 \text{ м}$$

Вывод: пролет направляющей (шаг кронштейнов) определяется несущей способностью кронштейна и равен 500 мм, при этом грузовая площадь $A = a \times l = 1,5 \times 0,5 = 0,75 \text{ м}^2$

Принимаем расчетную схему направляющей – трехпролетная схема с пролетами $l=900 \text{ мм}$,

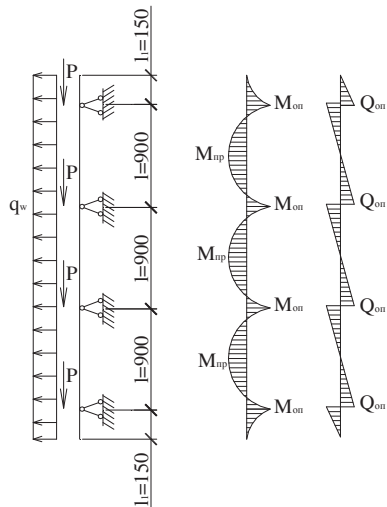
$$\text{тогда: } a = \frac{A}{l \times k_{\text{нep}}} = \frac{0,75}{0,9 \times 1,143} = 0,73 \text{ м} - \text{для кронштейна}$$

$$a = \frac{R_y * W}{0,08 * l^2 * W_m * k_{\text{нep}}} = \frac{2250 * 0,4}{0,08 * 0,9^2 * 128 * 1,143 * 100} = 0,95 \text{ см} - \text{для направляющей}$$

Принимаем шаг направляющих: $a=700 \text{ мм}$, пролет направляющей $l=900 \text{ мм}$

а) Проверка сечения направляющей

Расчетная схема направляющей



$$M_{\text{пп}} = 0,08 \times q_w \times l^2 = 0,08 \times 102,4 \times 0,9^2 = 6,63 \text{ кгс м}$$

$$M_{\text{оп}} = 0,1 \times q_w \times l^2 = 0,1 \times 102,4 \times 0,9^2 = 8,29 \text{ кгс м}$$

$$Q_{\text{оп}} = 1,1 \times q_w \times l = 1,1 \times 102,4 \times 0,9 = 101,4 \text{ кгс.}$$

$$q_w = W_m \times a \times k_{\text{неп}} = 128,0 \times 0,70 \times 1,143 = 102,4 \text{ кг/м}$$

$$- P = G_n \times l \times a + G_{\text{нап.}} \times \gamma_f \times l = 5,7 \times 0,9 \times 0,57 + 0,98 \times 1,05 \times 0,9 = 3,85 \text{ кгс.}$$

$$N = -G_n \times L \times a + G_{\text{нап.}} \times \gamma_f \times L = 5,7 \times 3 \times 0,57 + 0,98 \times 1,05 \times 3 = 12,8 \text{ кгс}$$

Сечение направляющей КПГ-60x44x3000

$$W_{z2} = 0,4 \text{ см}^3$$

$$A_2 = 0,93 \text{ см}^2$$

Проверка прочности сечения направляющей КПГ-60x44x3000

а) по прочности при отсосе

$$1) \sigma = \frac{N}{A_2} + \frac{M_{\text{пп}}}{W_{z2}} = \frac{12,8}{0,93} + \frac{6,63 \times 100}{0,4} = 14 + 1657 = 1675 \text{ кгс/см}^2 < R_y = 2250 \text{ кгс/см}^2$$

$$2) \sigma = \frac{N}{A_1} + \frac{M_{\text{оп}}}{W_{z1}} = \frac{12,8}{1,22} + \frac{8,29 \times 100}{1,12} = 10,5 + 740 = 750 \text{ кгс/см}^2 < R_y = 2250 \text{ кгс/см}^2$$

б) по деформациям

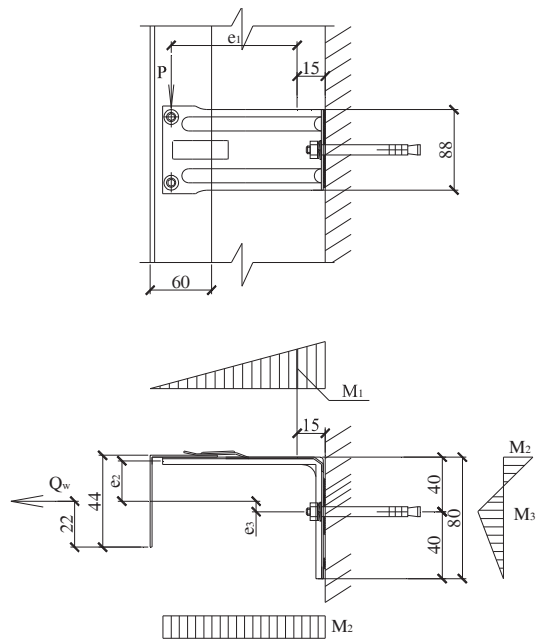
$$f = \frac{0,00675 \times q_w^{\text{h}} \times l^4}{E_x J_{z1}} = \frac{0,00675 \times 39,3 \times 90^4}{2,1 \times 10^6 \times 4,7 \times 100} = 0,018 \text{ см} < \frac{l}{200} = \frac{90}{200} = 0,45 \text{ см}$$

$$\text{Где: } q_w^{\text{h}} = \frac{q_w}{(1 + \zeta) \times \gamma_f} = \frac{102,4}{(1 + 0,86) \times 1,4} = 39,3 \text{ кгс/м}$$

γ_f - коэффициент надежности по назначению $\gamma_f = 1,4$

Вывод: Сечение направляющей удовлетворяет проверке на прочность и деформации

б) Проверка сечения кронштейна



А) без учета гололедной нагрузки

Расчетная ветровая нагрузка

$$W_m = 128,0 \text{ кгс/м}^2$$

$$Q_{\text{оп}} = 1,1 \times q_w \times l = 1,1 \times 102,4 \times 0,9 = 101,4 \text{ кгс.}$$

$$q_w = W_m \times a \times k_{\text{неп}} = 128,0 \times 0,7 \times 1,143 = 102,4 \text{ кг/м}$$

$$P = G_n \times l \times a + G_{\text{нанп.}} \times \gamma_f \times l = 5,7 \times 0,9 \times 0,57 + 0,98 \times 1,05 \times 0,9 = 3,85 \text{ кгс.}$$

$$e_1 = 180 - 10 - 15 = 155 \text{ мм} = 15,5 \text{ см}$$

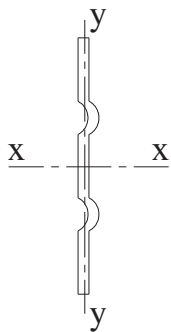
$$e_2 = (44 - 22 - 1,2 - 0,6) = 20,2 \text{ мм} = 2,02 \text{ см}$$

$$e_3 = (40,0 - 0,6 - 20,2) = 19,2 \text{ мм} = 1,92 \text{ см}$$

$$M_1 = P \times e_1 = 3,85 \times 15,5 = 69,7 \text{ кгс·см}$$

$$M_2 = Q_w \times e_2 = 102,4 \times 2,02 = 206,8 \text{ кгс·см}$$

$$M_3 = Q_w \times e_3 = 102,4 \times 1,92 = 196,6 \text{ кгс·см}$$



t, mm	W ₁ , cm ³	W ₂ , cm ³	W ₃ , cm ³	A, cm ²	A ₁ , cm ²
1,2	1,66	0,118	0,106	1,124	0,992

$$\sigma_1 = \frac{M_1}{W_1} + \frac{M_2}{W_2} + \frac{Q_w}{A} = \frac{69,7}{1,66} + \frac{206,8}{0,118} + \frac{102,4}{1,124} = 1885 \text{ кгс/см}^2 < R_y = 2250 \text{ кгс/см}^2$$

$$\sigma_2 = \frac{M_3}{W_3} + \frac{Q_w}{A_1} = \frac{196,6}{0,106} + \frac{102,4}{0,992} = 1955 \text{ кгс/см}^2 < 2250 \text{ кгс/см}^2$$

Где: R_y=2250 кгс/см² расчетное сопротивление стали 08пс

б) с учетом гололедной нагрузки:

$$i = 1,3 \times 0,005 \times 1,4 \times 0,6 \times 900 = 4,9 \text{ кг/м}^2$$

$$- P = G_n \times l \times a + G_{\text{нап.}} \times \gamma_f \times l = 5,7 \times 0,9 \times 0,57 + 0,98 \times 1,05 \times 0,9 = 3,75 \text{ кгс}.$$

$$- P = 2 \times i \times l \times a = 2 \times 4,91 \times 0,9 \times 0,57 = 5,3 \text{ кгс}$$

$$M_1 = (P + P_{\text{эол.}} \times \psi_{t1}) \times e_1 = (3,75 + 5,3 \times 1,0) \times 15,5 = 140,3 \text{ кгс*см};$$

$$M_2 = 0,25 \times Q_w \times \psi_{t2} \times e_2 = 0,25 \times 102,4 \times 0,9 \times 2,02 = 46,5 \text{ кгс*см};$$

$$M_3 = 0,25 \times Q_w \times \psi_{t2} \times e_3 = 0,25 \times 102,4 \times 0,9 \times 1,92 = 44,3 \text{ кгс*см};$$

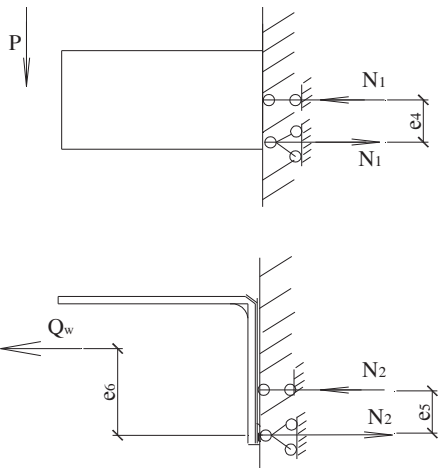
$$\sigma_1 = \frac{M_1}{W_1} + \frac{M_2}{W_2} + \frac{0,25 \times Q_w \times \psi_{t2}}{A} = \frac{140,3}{1,66} + \frac{46,5}{0,118} + \frac{0,25 \times 102,4 \times 0,9}{1,124} = 500 \text{ кгс/см}^2 < R_y = 2250 \text{ кгс/см}^2$$

$$\sigma_2 = \frac{M_3}{W_3} + \frac{0,25 \times Q_w \times \psi_{t2}}{A_1} = \frac{44,3}{0,106} + \frac{0,25 \times 102,4 \times 0,9}{0,992} = 440 \text{ кгс/см}^2 < 2250 \text{ кгс/см}^2$$

Где: R_y=2250 кгс/см² расчетное сопротивление стали 08пс

Вывод: Сечение кронштейна удовлетворяет проверке на прочность

Отрывающее усилие в дюбеле



А) без учета гололедной нагрузки

$$\sum N = \frac{P \times (e_1 + 1,5)}{e_4} + \frac{Q_w \times e_6}{e_5} = \frac{3,75 \times (15,5 + 1,5)}{4,35} + \frac{102,4 \times 5,87}{3,95} = 166,8 \text{ кгс}$$

Определяем площадь смятия полипропиленовой прокладки

$$A_{cm} = \sum N / R_{cm} = 166,8 / 200 = 0,83 \text{ см}^2$$

Высота площадки смятия: $c = A_{cm} / b_{kp} = 0,83 / 8,0 = 0,1 \text{ см}$;

$$e_4 = 0,5h_{kp} - 0,5*c = 0,5*8,8 - 0,5*0,1 = 4,35 \text{ см};$$

$$e_5 = 4,0 - 0,5*c = 4,0 - 0,5*0,1 = 3,95 \text{ см};$$

Б) с учетом гололедной нагрузки

$$\begin{aligned} \sum N = & \frac{(P + P_{zot} \times \psi_{t1}) \times (e_1 + 1,5)}{e_4} + \frac{0,25 \times Q_w \times \psi_{t2} \times e_6}{e_5} = \frac{(3,75 + 5,3 \times 1,0) \times (15,5 + 1,5)}{4,38} + \\ & + \frac{0,25 \times 102,4 \times 0,9 \times 5,87}{3,98} = 69,6 \text{ кгс} \end{aligned}$$

Определяем площадь смятия полипропиленовой прокладки

$$A_{cm} = N / R_{cm} = 69,6 / 200 = 0,35 \text{ см}^2;$$

Высота площадки смятия: $c = A_{cm} / b_{kp} = 0,35 / 8,0 = 0,04 \text{ см}$;

$$e_4 = 0,5h_{kp} - 0,5*c = 0,5*8,8 - 0,5*0,04 = 4,38 \text{ см};$$

$$e_5 = 4,0 - 0,5*c = 4,0 - 0,5*0,04 = 3,98 \text{ см};$$

Несущая способность анкерного дюбеля MBR 10мм L=120 мм (MUNGO)

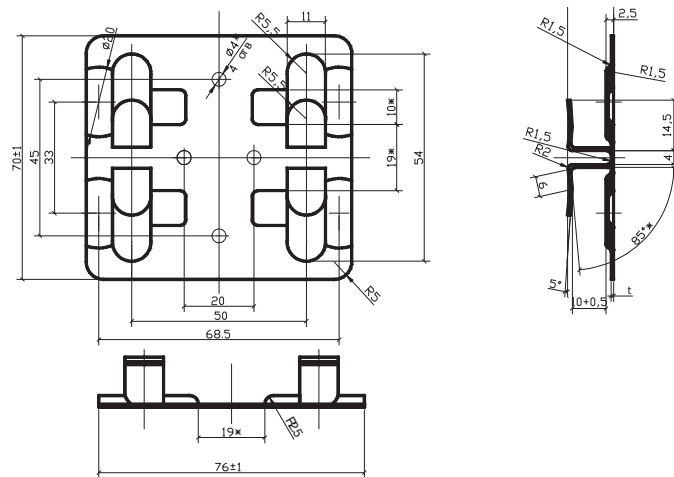
$$\underline{\Sigma N = 151,2 \text{ кгс} < N_{opt}}$$

В качестве допускаемого осевого усилия N_{opt} принимается меньшее из двух значений:

- значение, полученное на основе обработки результатов испытаний или приведенное в ТС на основе данных поставщика для дюбеля (анкера) данной марки, вида;

- значение, определённое по прочности стенового материала.

Пример расчета сечения кляммера

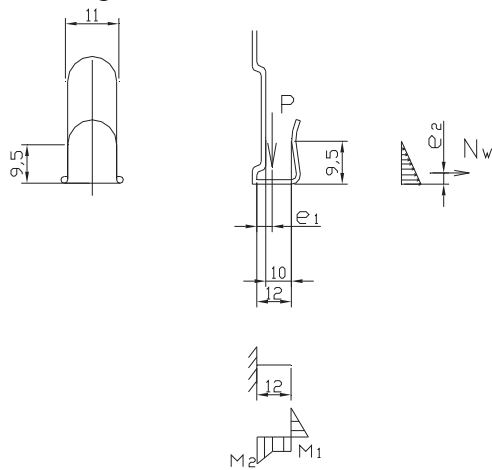


$$t=1,0 \text{ мм}$$

Общие данные

1. Район строительства г. Москва
2. Высота здания 30м
3. Ветровой район I $W_o=23 \text{ кгс/м}^2$ (Тип местности B)
4. Материал кляммера – ASIS 321 $R_y=1900 \text{ кгс/см}^2$

Расчетная схема элемента кляммера



Геометрические характеристики сечения:

$$W = \frac{0.1^2 * 1.1}{6} = 0.00183 \text{ см}^3$$

Расчетная ветровая нагрузка

$$N_w = W_m * 0.5 * a * 0.5 * \varepsilon = 128.0 * 0.5 * 0.6 * 0.5 * 0.6 = 11.52 \text{ кгс}$$

Расчетная нагрузка от собственного веса плитки

$$P = G_{c.b.} * 0.5 * a * b = 27.5 * 0.5 * 0.6 * 0.6 = 4.95 \text{ кгс};$$

Где:

- а=600мм – ширина керамогранитной плитки;

- в=600 – высота керамогранитной плитки

Расчетные усилия:

$$M_2 = M_1 + P * e_1 = 2.88 + 4.95 * 0.2 = 3.87 \text{ кгс*см}$$

$$M_1 = N_w * e_2 = 11.52 * 0.25 = 2.88 \text{ кгс см}$$

Проверка прочности сечения кляммера:

$$\sigma = \frac{M_2}{W} + \frac{N_w}{A} = \frac{3,87}{0,00183} + \frac{11,52}{0,1 * 1,1} = 2220 \text{ кгс/см}^2 > 1900 \text{ кгс/см}^2$$

Вывод: Требуется увеличить толщину лапки кляммера, либо принять марку коррозионностойкой стали 12Х15Г9НД(ТУ РМО-006/05) с расчетным сопротивлением R_y=2700кгс/см²

Проверка сечения пластины кляммера

$$N_w = W_m * 0.5 * a * \varepsilon = 128 * 0.5 * 0.6 * 0.6 = 23,04 \text{ кгс}$$

$$M_3 = N_w * e_3 = 23,04 * 1,2 = 27,6, \text{ кгс*см}$$

С учетом ребер жесткости W₃ = 0,0245 см³

$$\sigma = \frac{M_3}{W_3} = \frac{27,6}{0,0245} = 1130 \text{ кгс/см}^2 < \frac{R_y}{\gamma_n} = 2250 \text{ кгс/см}^2$$

6. Область применения облицовочных материалов

6.1 Облицовочные материалы (сайдинг вертикальный и горизонтальный, профилированный настил, линеарные панели) воспринимают ветровые нагрузки и работают под действием этих нагрузок как разрезные и неразрезные балки пролетом равным расстоянию между направляющими, на которые они опираются.

Расчетные формулы

1. По прочности:

$$\hat{I} = \frac{q * l^2}{8} \text{ для однопролетной схемы; (245)}$$

$$\hat{I} = 0.125 * q * l^2 \text{ опорный для двухпролетной схемы; (246)}$$

$$\hat{I} = 0.07 * q * l^2 \text{ пролетный для двухпролетной схемы; (247)}$$

$$\hat{I} = 0.08 * q * l^2 \text{ пролетный для трехпролетной схемы; (248)}$$

$$\hat{I} = 0.1 * q * l^2 \text{ опорный для трехпролетной схемы; (249)}$$

$$\hat{I} = 0.077 * q * l^2 \text{ пролетный для четырехпролетной схемы; (250)}$$

$$\hat{I} = 0.107 * q * l^2 \text{ опорный для четырехпролетной схемы; (251)}$$

$$\sigma = R_y = \frac{M}{W_x} \quad (252)$$

$$q = \frac{R_y * W_x}{K * l^2} \quad (253)$$

2.По деформациям:

$$f = \frac{5 * q^h * l^4}{384 * E * 100 * J_x} \text{ для однопролетной схемы; (254)}$$

$$q = \frac{384 * E * 100 * J_x * f}{5 * l^4} = \frac{1.6128^{10} * J_x * f}{l^4} npuf = \frac{l}{200} - q = \gamma_f * \frac{0.8064^8 * J_x * f}{l^3} \quad (255)$$

$$f = \frac{0.0052 * q^h * l^4}{E * 100 * J_x} \text{ для двухпролетной схемы; (256)}$$

$$q = \frac{E * 100 * J_x * f}{0.0052 * l^4} = \frac{4.0385^{10} * J_x * f}{l^4} = \gamma_f * \frac{2.01925^8 * J_x}{l^3} - npuf = \frac{l}{200} \quad (257)$$

$$f = \frac{0.00675 * q^h * l^4}{E * 100 * J_x} \text{ для трехпролетной схемы; (258)}$$

$$q = \frac{E * 100 * J_x * f}{0.00675 * l^4} = \frac{3.111^{10} * J_x * f}{l^4} = \gamma_f * \frac{1.555^8 * J_x}{l^3} - npuf = \frac{l}{200} \quad (259)$$

$f = \frac{0.0063 * q^h * l^4}{E * 100 * J_x}$ для четырехпролетной схемы (260).

$$q = \frac{E * 100 * J_x * f}{0.0063 * l^4} = \frac{3.333^{10} * J_x * f}{l^4} = \gamma_f * \frac{1.6665^8 * J_x}{l^3} npuf = \frac{l}{200}; \quad (261)$$

Где: γ_f – коэффициент надежности по нагрузке

$$\gamma_f = 1,4$$

6.1.1 Сайдинг горизонтальный МП СК 14x 226

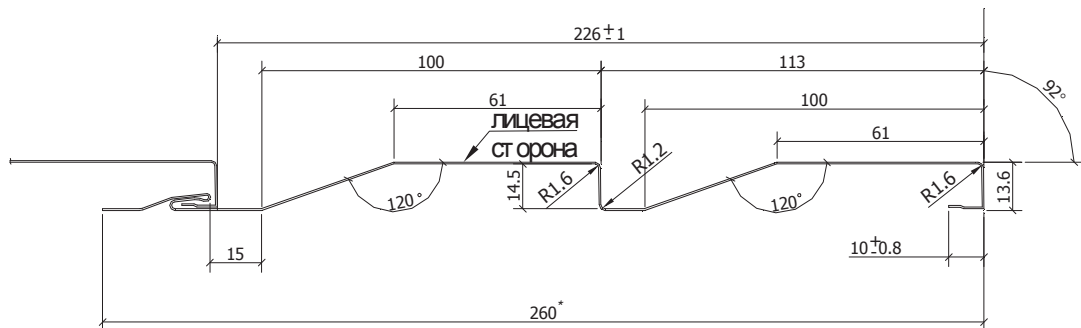


Рисунок 33

Таблица 23

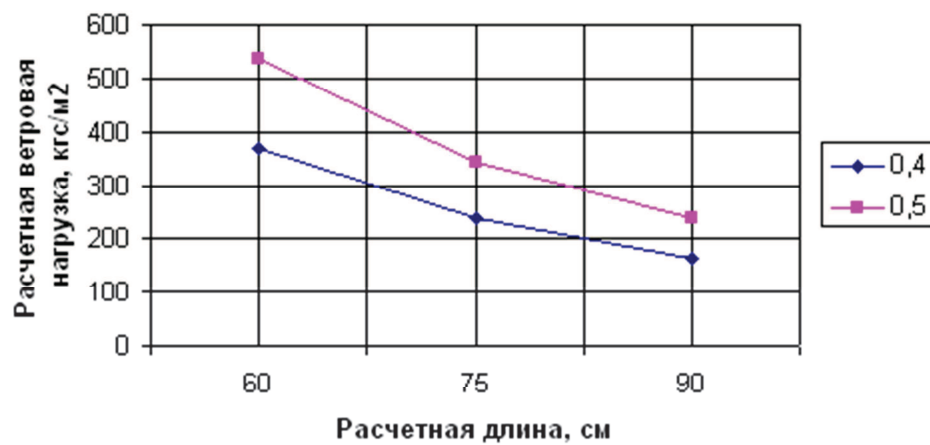
Обозначение	t, мм	Длина, м	Площадь сечения A, см ²	Масса 1м длины, кг	Отравочные величины 1м ширины	
					момент инерции Ix, см ⁴	момент сопротивления, см ³
					Wx1	Wx2
МП СК-14x226	0,4	до 6,0	1,25	0,98	0,64	0,88
	0,5	до 6,0	1,56	1,35	0,85	1,1
						0,74
						1,07

Расчетная нагрузка q , кгс/м²

Таблица 24

Тип профиля	Двухпролетная схема			
	Толщина, мм	Расчетная длина L, см		
		60	75	90
МП СК-14x226	0,4	370	237	164
	0,5	535	342	238

Двухпролетная схема МП СК-14x226



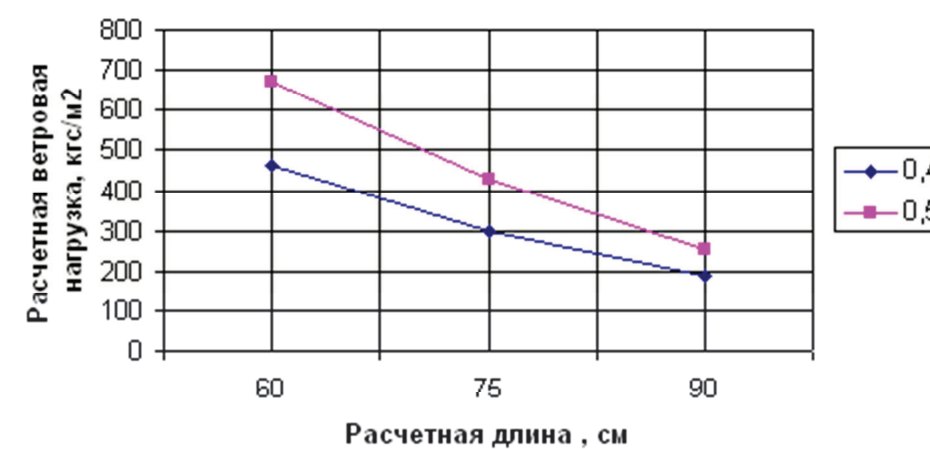
Расчетная нагрузка q , кгс/м 2

Таблица 25

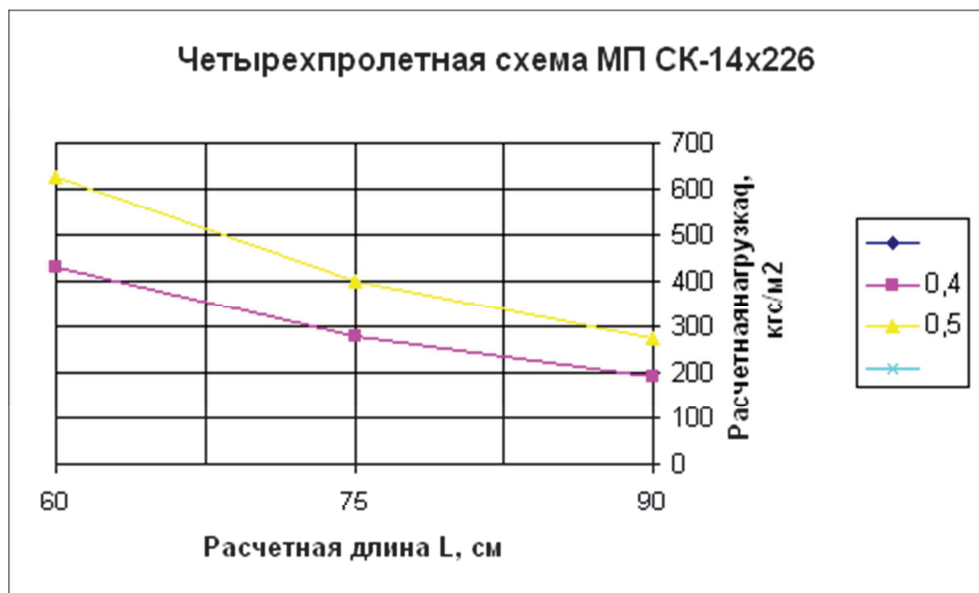
Тип профиля	трехпролетная схема			
	Толщина, мм	Расчетная длина L , см		
		60	75	90
МП СК-14x226	0,4	463	296	191
	0,5	669	428	254

Расчетная
нагрузка
 q , кгс/м 2

Трехпролетная схема МП СК-14x226



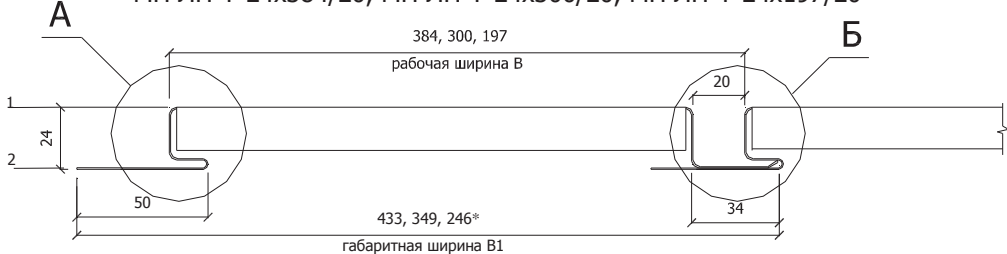
Тип профиля	Толщина,мм	Расчетная длина L, см		
		60	75	90
		432	277	192
МП СК-14x226	0,4	625	400	272
	0,5			



6.1.2 Линеарные панели ВФ МП ЛП

Линейные панели ВФ МП ЛП-Т-24xB/20 (с закрытыми торцами, руст 20 мм)

МП ЛП-Т-24x384/20, МП ЛП-Т-24x300/20, МП ЛП-Т-24x197/20



Линейные панели ВФ МП ЛП-Т-24xB/R (с закрытыми торцами, без руста)

МП ЛП-Т-24x404/0, МП ЛП-Т-24x320/0, МП ЛП-Т-24x217/0

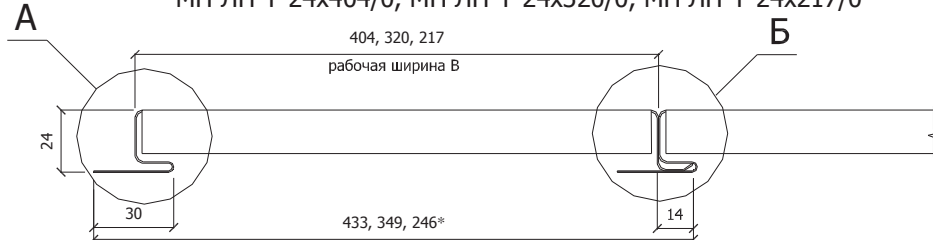


Рисунок 34

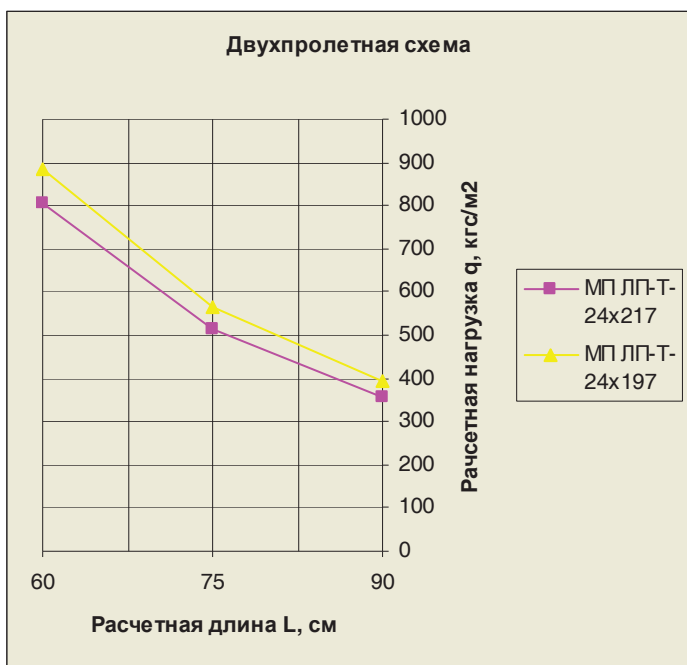
Таблица 27

Обозначение	t, мм	Длина, м	Площадь сечения A, см ²	Масса 1м длины, кг	Оправочные величины 1м ширины		Ширина заготовки, мм	
					момент инерции Ix, см ⁴	момент сопротивления, см ³		
					Wx1	Wx2		
МП ЛП-Т-24x404/0	0,7	0,9 - 4,0	3,50	2,96	2,49	1,36	1,83	500
МП ЛП-Т-24x384/20					2,62	1,436	1,61	
МП ЛП-Т-24x320/0	0,7	0,9 - 4,0	2,91	2,46	3,14	1,72	1,93	416
МП ЛП-Т-24x300/20					3,35	1,83	2,05	
МП ЛП-Т-24x217/0	0,5	0,9 - 4,0	1,57	1,35	2,99	1,61	1,95	313
МП ЛП-Т-24x197/20					3,29	1,77	2,14	

Расчетная нагрузка q, кгс/м²

Таблица 28

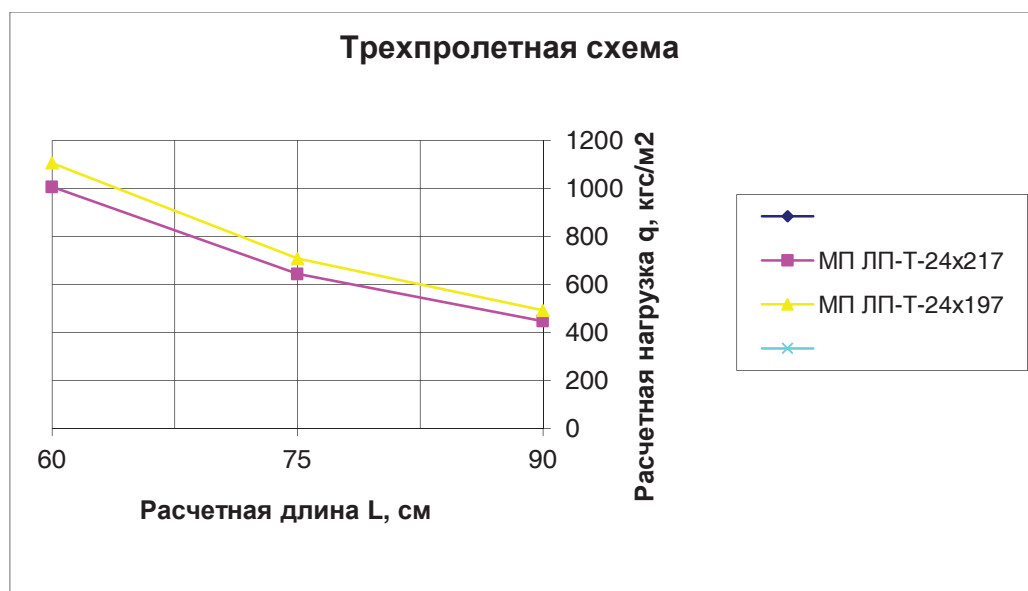
Тип профиля	Двухпролетная схема		
	Расчетная длина L, см		
	60	75	90
МП ЛП-Т-24x217	805	515	358
МП ЛП-Т-24x197	885	566	393



Расчетная нагрузка q , кгс/м²

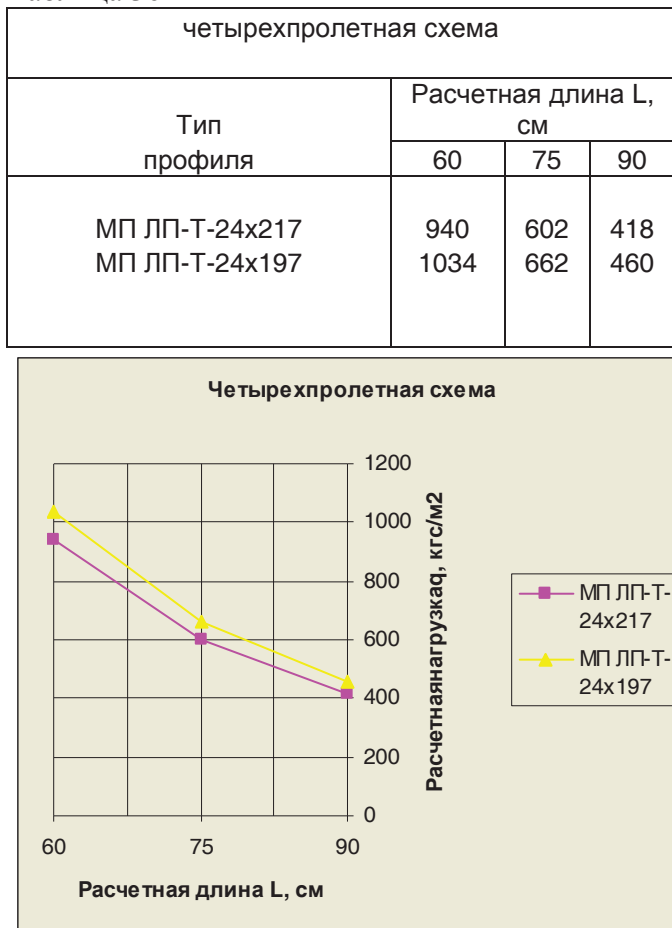
Таблица 29

трехпролетная схема			
Тип профиля	Расчетная длина L , см		
	60	75	90
МП ЛП-Т-24x217	1006	644	447
МП ЛП-Т-24x197	1106	708	492



Расчетная нагрузка q , кгс/м²

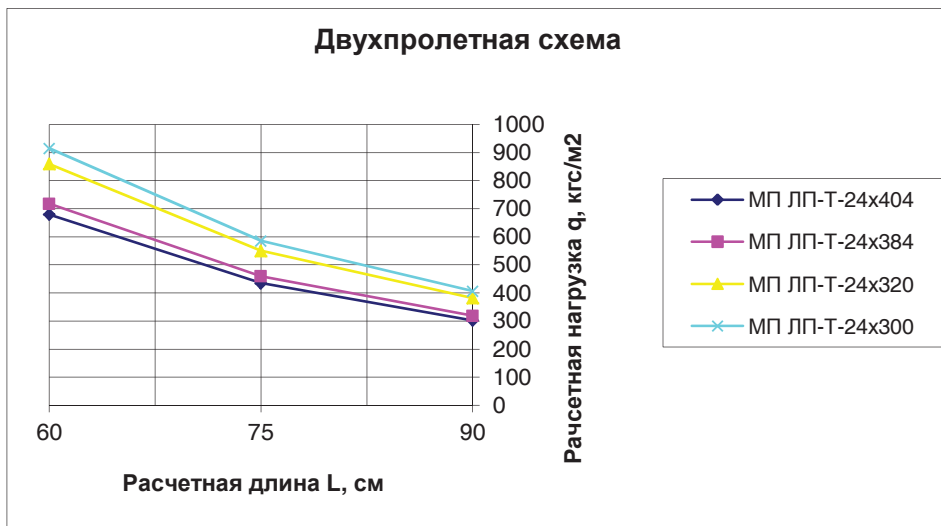
Таблица 30



Расчетная нагрузка q , кгс/м²

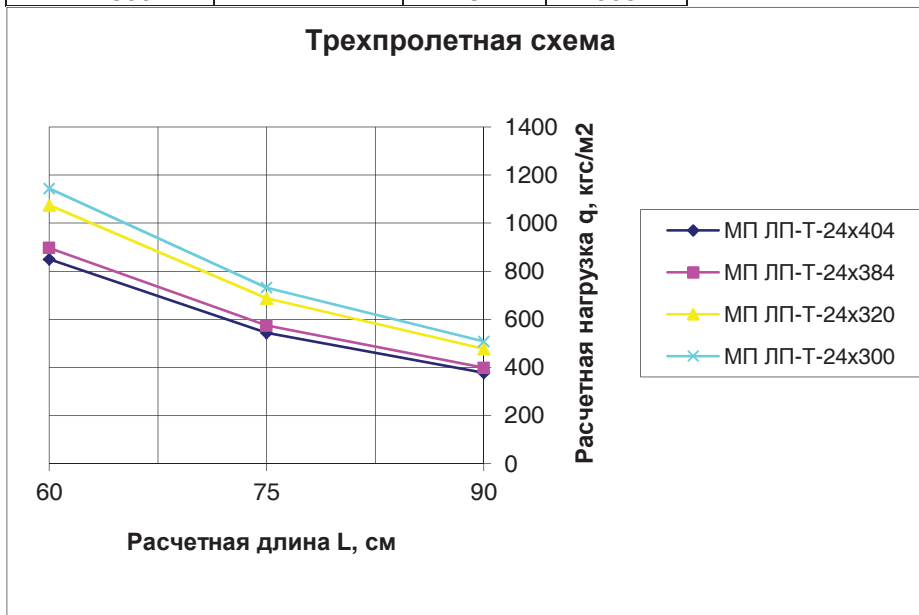
Таблица 31

Тип профиля	Двухпролетная схема		
	Расчетная длина L , см		
	60	75	90
МП ЛП-Т-24x404	680	435	302
МП ЛП-Т-24x384	718	460	319
МП ЛП-Т-24x320	860	550	382
МП ЛП-Т-24x300	915	586	407



Расчетная нагрузка q , кгс/м²
Таблица 32

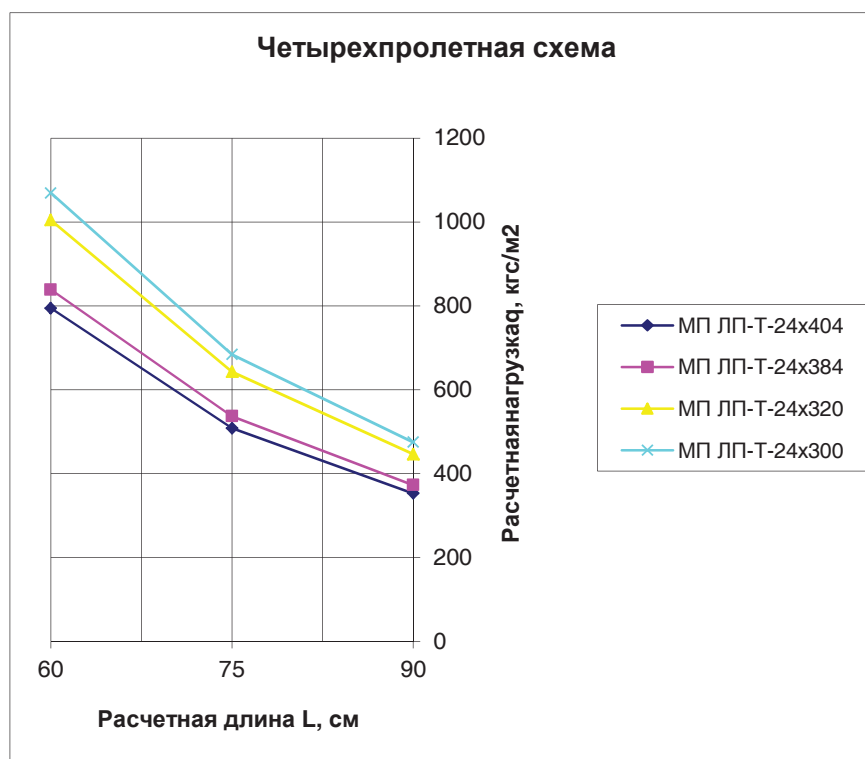
трехпролетная схема			
Тип профиля	Расчетная длина L , см		
	60	75	90
МП ЛП-Т-24x404	850	544	378
МП ЛП-Т-24x384	898	574	399
МП ЛП-Т-24x320	1075	688	478
МП ЛП-Т-24x300	1144	732	508



Расчетная нагрузка q , кгс/м²

Таблица 33

четырехпролетная схема			
Тип профиля	Расчетная длина L , см		
	60	75	90
МП ЛП-Т-24x404	794	508	353
МП ЛП-Т-24x384	839	537	373
МП ЛП-Т-24x320	1005	643	447
МП ЛП-Т-24x300	1069	684	475



6.1.3 Профилированный лист С-8х1150-А, В

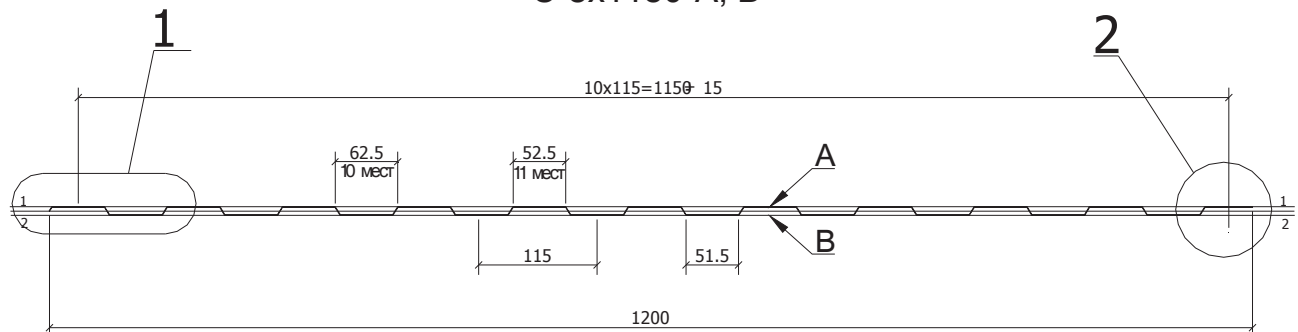


Рисунок 36

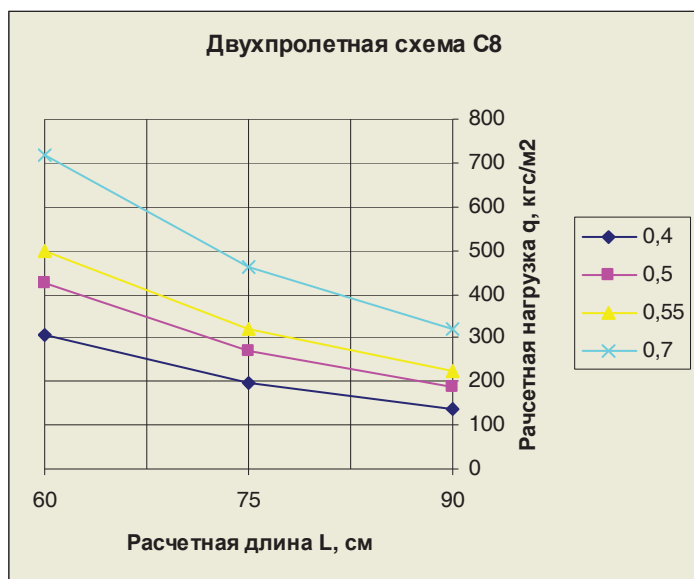
Таблица 38

Обозначение	t, мм	Площадь сечения А, см ²	Масса 1м длины, кг	Стрелочные величины 1м ширины						Масса 1м2 полной ширины, кг	Масса 1м2 полезной ширины, кг	Ширина заготовки, мм		
				скаты по оси 1-1		скаты по оси 2-2		момент инерцииIx, см ⁴	момент сопротивления, см ³ Wx1	момент инерцииIx, см ⁴	момент сопротивления, см ³ Wx2			
				Wx1	Wx2	Wx1	Wx2							
C-8x1150-А,В	0,4	5,00	4,4	0,4	1,25	0,61	0,4	0,61	1,25	3,67	3,83			
C-8x1150-А,В	0,5	6,25	5,4	0,54	1,56	0,85	0,54	0,85	1,56	4,50	4,7			
C-8x1150-А,В	0,55	6,88	5,9	0,61	1,7	1,0	0,61	1,0	1,7	4,92	5,13			
C-8x1150-А,В	0,7	8,75	7,4	0,83	2,1	1,44	0,83	1,44	2,1	6,17	6,43			

Расчетная нагрузка q, кгс/м²

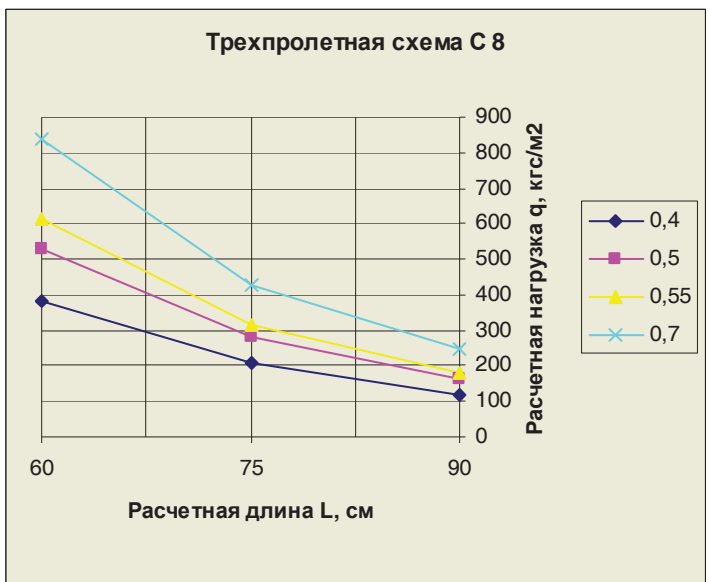
Т а б л и ц а 39

Тип профиля	Двухпролетная схема		
	Толщина, мм	Расчетная длина L, см	
		60	75
C8	0,4	305	195
	0,5	425	272
	0,55	500	320
	0,7	720	461



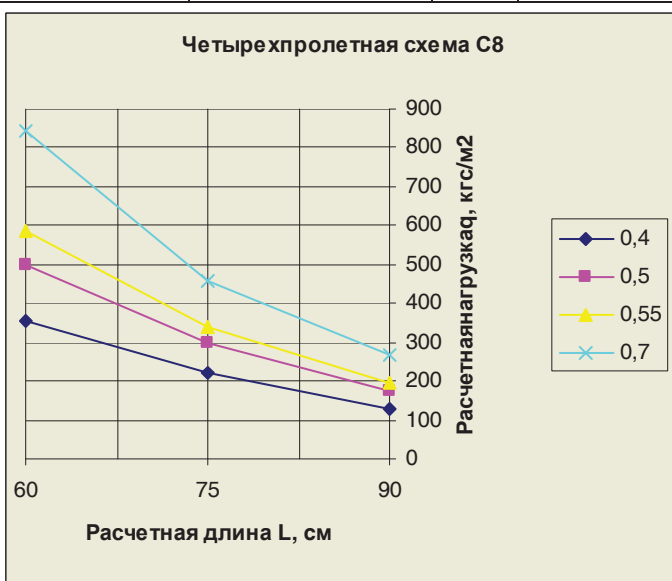
Расчетная нагрузка q , кгс/м²
Т а б л и ц а 40

Тип профиля	трехпролетная схема			
	Толщина, мм	Расчетная длина L , см		
		60	75	90
С8	0,4	381	206	119
	0,5	531	279	161
	0,55	615	315	182
	0,7	837	428	248



Расчетная нагрузка q , кгс/м²
Т а б л и ц а 41

Тип профиля	четырехпролетная схема			
	Толщина, мм	Расчетная длина L, см		
		60	75	90
C8	0,4	356	221	128
	0,5	496	299	173
	0,55	584	337	195
	0,7	841	459	266



6.1.4 Профилированный лист МП-20x1100-А,В

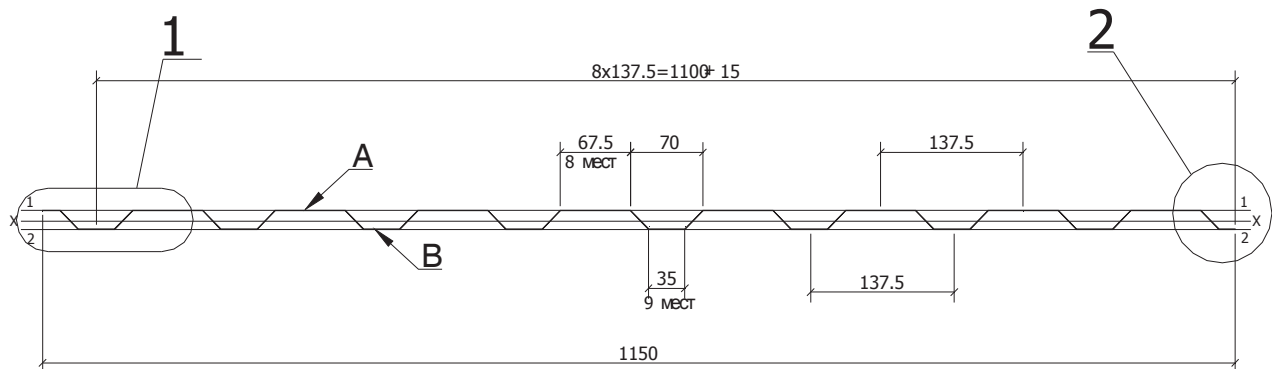


Рисунок 38

Таблица 42

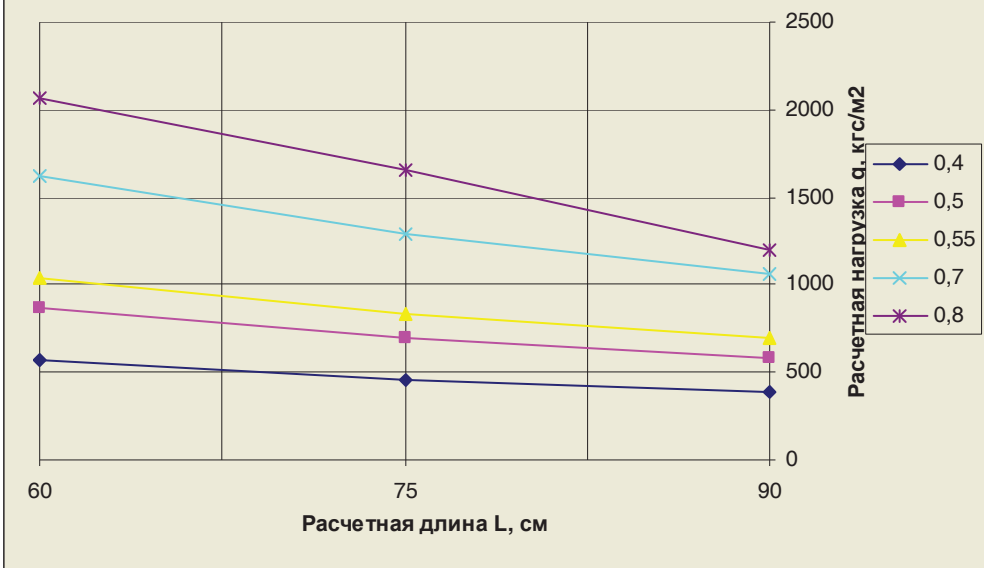
Обозначение	t, мм	Площадь сечения А, см ²	Масса 1м длины, кг	Оправочные величины 1м ширины						Масса 1м2 полной ширины, кг	Масса 1м2 полезной ширины, кг	Шризагс товк мм				
				скаты по оси 1-1		скаты по оси 2-2										
				момент инерции Ix, см ⁴	момент сопротивления, см ³	момент инерции Ix, см ⁴		момент сопротивления, см ³								
						Wx1	Wx2	Ix, см ⁴	Wx1	Wx2						
МП-20x1100-А,В	0,4	5,00	4,4	1,75	2,38	1,63	3,32	2,88	6,45	3,83	4,0					
МП-20x1100-А,В	0,5	6,25	5,4	2,24	2,76	2,07	3,94	3,52	7,17	4,70	4,91					
МП-20x1100-А,В	0,55	6,88	5,9	2,52	2,95	2,31	4,25	3,83	7,47	5,13	5,36					
МП-20x1100-А,В	0,7	8,75	7,4	3,52	3,54	3,13	5,26	4,77	8,24	6,44	6,73					
МП-20x1100-А,В	0,8	10,00	8,4	4,34	3,98	3,78	5,93	5,41	8,69	7,3	7,64					

Расчетная нагрузка q, кгс/м²

Т а б л и ц а 43

Тип профиля	двуяпролетная схема			
	Толщина,мм	Расчетная длина L,см		
		60	75	90
МП 20А	0,4	575	460	384
	0,5	873	698	582
	0,55	1041	833	694
	0,7	1619	1295	1060
	0,8	2063	1651	1202

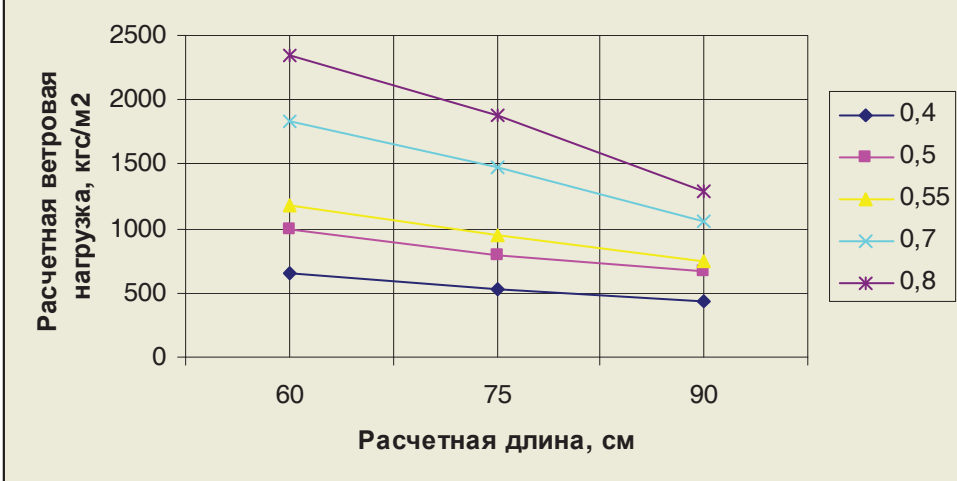
Двухпролетная схема МП 20А



Расчетная нагрузка q , кгс/м²
Таблица 44

Тип профиля	трехпролетная схема			
	Толщина, мм	Расчетная длина L, см		
		60	75	90
МП 20А	0,4	654	523	436
	0,5	992	794	661
	0,55	1183	947	753
	0,7	1840	1472	1051
	0,8	2345	1876	1296

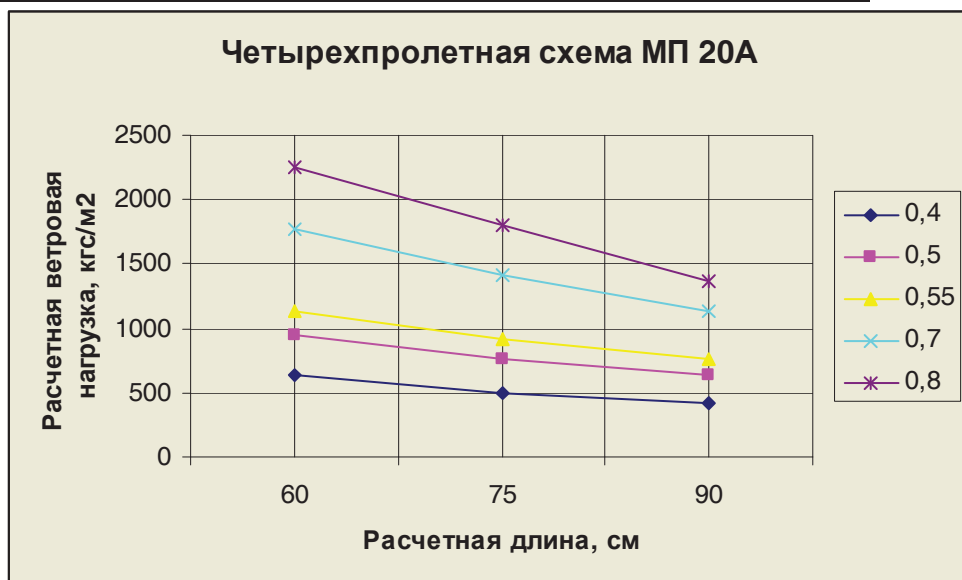
Трехпролетная схема МП 20А



Расчетная нагрузка q , кгс/м²

Таблица 45

Тип профиля	четырехпролетная схема			
	Толщина, мм	Расчетная длина L, см		
		60	75	90
МП 20А	0,4	629	503	420
	0,5	955	764	637
	0,55	1139	911	759
	0,7	1771	1417	1127
	0,8	2257	1805	1364



6.1.5 Профилированный лист С21-1000

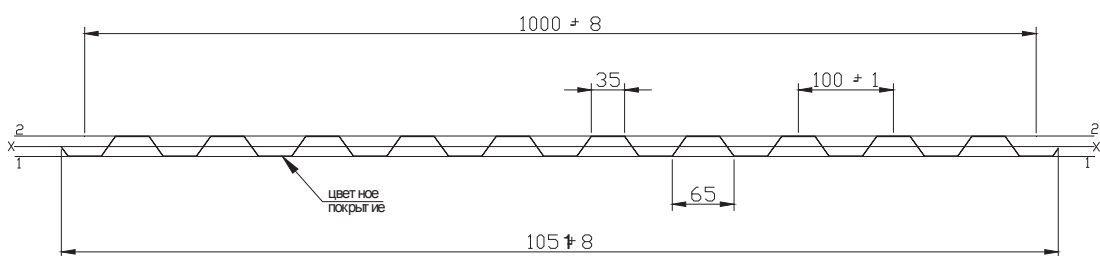


Рисунок 39

Таблица 46

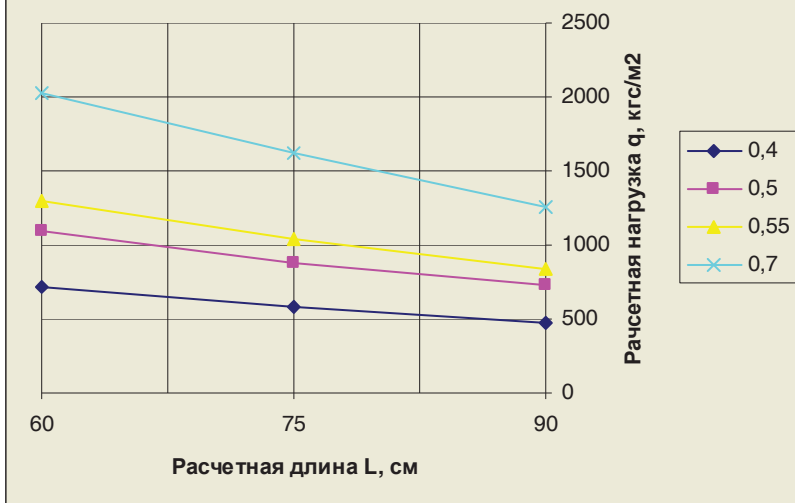
Обозначение	t, м	Площадь момечения A, см ²	Масса 1 м длины, кг	Справочные величины 1м ширины						Масса 1 м ² полной ширины, кг	Масса 1 м ² полезной ширины, кг	Ширина заго- товки мм			
				сжаты по оси 1-1		сжаты по оси 2-2		момент инерции Ix, см ⁴		момент сопротивления, см ³					
				W×1	W×2	W×1	W×2	I _x , см ⁴	W×1	W×2					
C 21 - 1000-0,4	0,4	5,00	4,4	3,32	3,84	2,64	3,32	2,65	3,85	4,19	4,4	1250			
C 21 - 1000-0,5	0,5	6,24	5,42	4,27	4,47	3,37	4,27	3,38	4,49	5,14	5,42				
C 21 - 1000-0,55	0,55	6,88	5,91	4,80	4,79	3,77	4,80	3,78	4,80	5,61	5,91				
C 21 - 1000-0,7	0,7	8,75	7,4	6,32	6,07	5,81	6,28	6,14	5,66	7,04	7,4				

Расчетная нагрузка q, кгс/м²

Таблица 47

Тип профиля	Двухпролетная схема			
	Толщина, мм	Расчетная длина L, см		
		60	75	90
C21	0,4	718	575	479
	0,5	1090	872	727
	0,55	1300	1040	838
	0,7	2021	1617	1258

Двухпролетная схема С21

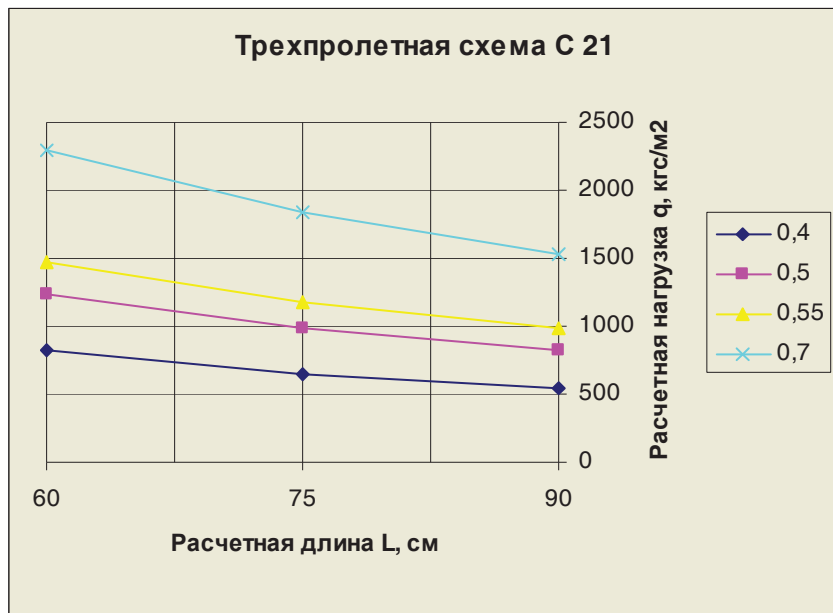


Расчетная нагрузка q, кгс/м²

Таблица 48

Тип профиля	трехпролетная схема					
	Толщина, мм	Расчетная длина L, см				
		60	75	90		
	0,4	816	653	544		
	0,5	1239	991	826		

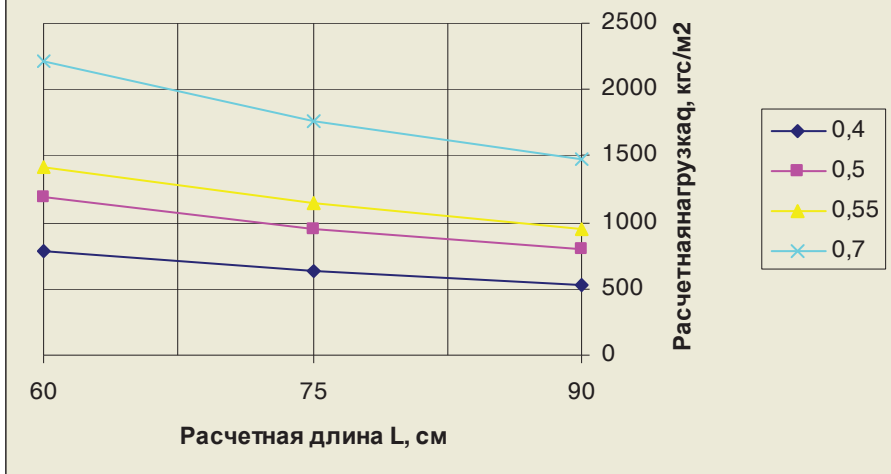
C21	0,55 0,7	1477 2297	1182 1837	985 1531
-----	-------------	--------------	--------------	-------------



Расчетная нагрузка q , кгс/м²
Т а б л и ц а 49

Тип профиля	четырехпролетная схема			
	Толщина, мм	Расчетная длина L, см		
		60	75	90
C21	0,4	786	628	524
	0,5	1192	954	795
	0,55	1421	1137	948
	0,7	2210	1768	1469

Четырехпролетная схема С21



**6.1.6 Профилированный лист
НС-35x1000-А,В**

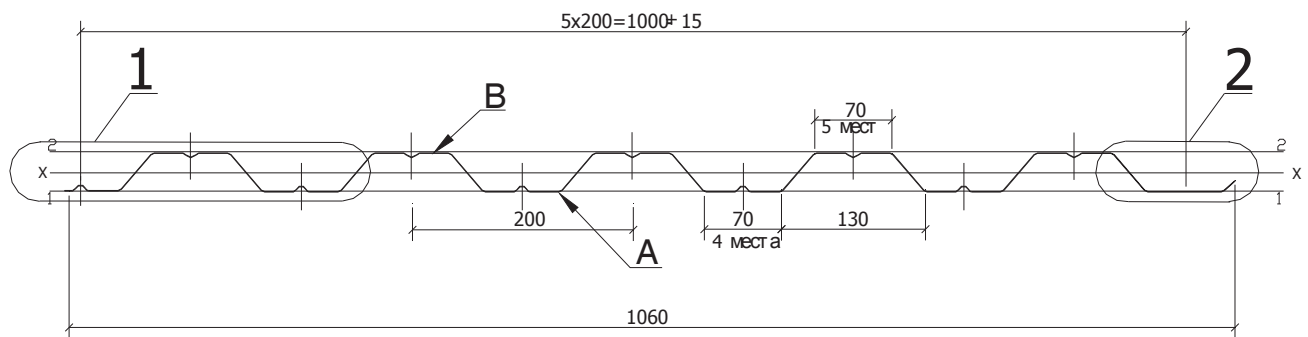


Рисунок 40

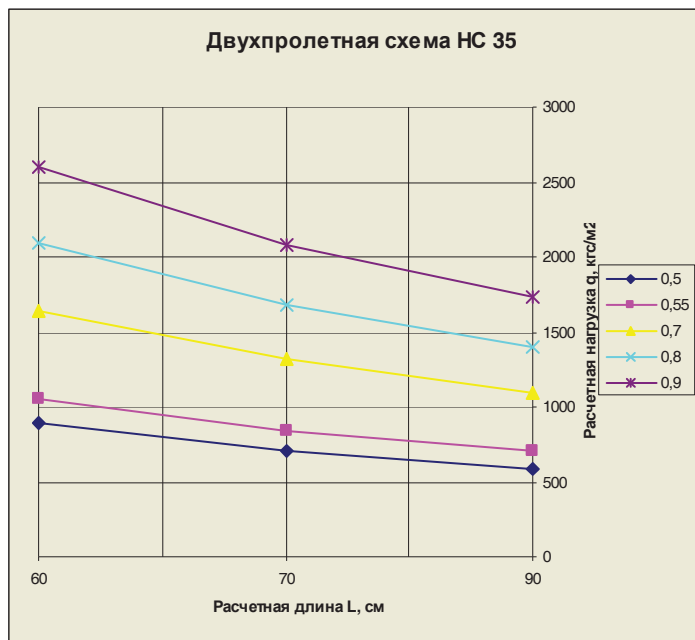
Таблица 50

Обозначение	t, мм	Площадь сечения A, см ²	Масса 1м длины, кг	Стрелочные величины 1м ширины						Масса 1м полной ширины, кг	Масса 1м полезной ширины, кг	Ширина заготовки, мм								
				сжаты по оси 2-2		сжаты по оси 1-1		момент инерцииIx, см ⁴	момент сопротивления, см ³	момент инерцииIx, см ⁴	момент сопротивления, см ³									
				Wx1	Wx2	Wx1	Wx2													
HC-35x1000-A,B	0,5	6,25	5,4	12,89	7,1	6,35	12,89	6,35	7,1	5,09	5,4									
HC-35x1000-A,B	0,55	6,88	5,9	14,18	8,11	7,02	14,18	7,02	8,11	5,57	5,9									
HC-35x1000-A,B	0,7	8,75	7,4	17,36	9,95	9,58	17,87	10,73	9,74	6,98	7,4									
HC-35x1000-A,B	0,8	10,0	8,4	19,89	11,44	10,92	20,25	12,16	11,04	7,93	8,4									
HC-35x1000-A,B	0,9	11,25	9,3	22,36	14,46	11,45	22,36	14,46	11,45	8,77	9,3									

Расчетная нагрузка q, кгс/м²

Таблица 51

Тип профиля	двуихпролетная схема			
	Толщина,мм	Расчетная длина L,см		
		60	70	90
	0,5	887	710	591
HC 35	0,55	1058	846	705
	0,7	1645	1316	1097
	0,8	2096	1677	1397
	0,9	2594	2075	1729

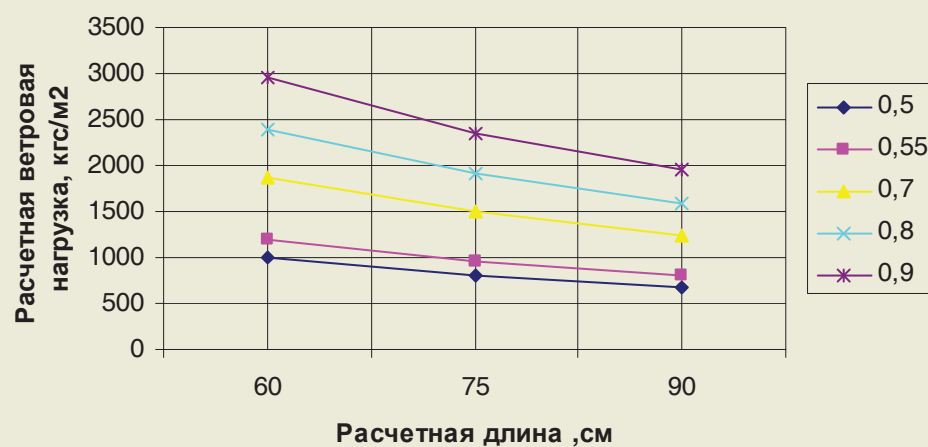


Расчетная нагрузка q , кгс/м²

Таблица 52

Тип профиля	трехпролетная схема			
	Толщина, мм	Расчетная длина L , см		
		60	75	90
HC 35	0,5	1008	806	672
	0,55	1202	962	801
	0,7	1869	1495	1246
	0,8	2382	1906	1588
	0,9	2947	2358	1965

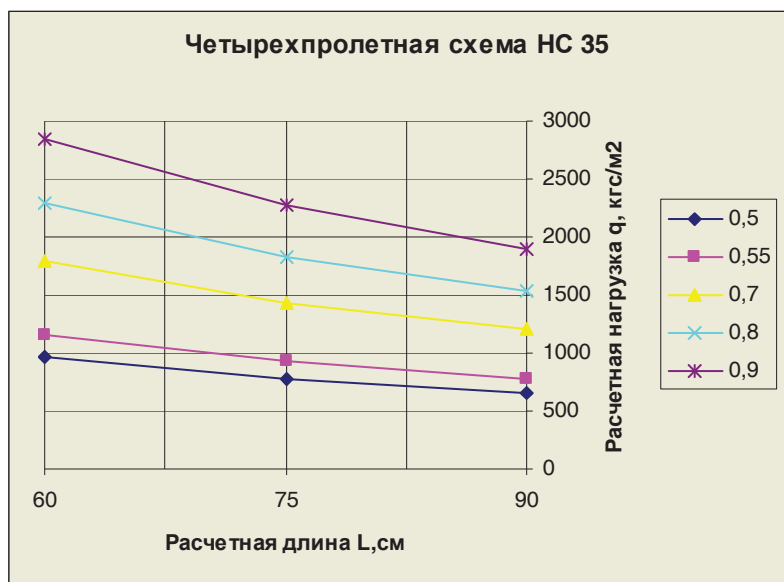
Трехпролетная схема HC 35-1000



Расчетная нагрузка q , кгс/м²

Таблица 53

Тип профиля	четырехпролетная схема			
	Толщина, мм	Расчетная длина L , см		
		60	75	90
HC 35	0,5	970	776	647
	0,55	1157	925	771
	0,7	1799	1439	1199
	0,8	2292	1834	1528
	0,9	2837	2269	1891



6.1.7 Профилированный лист МП-35x1035-А,В

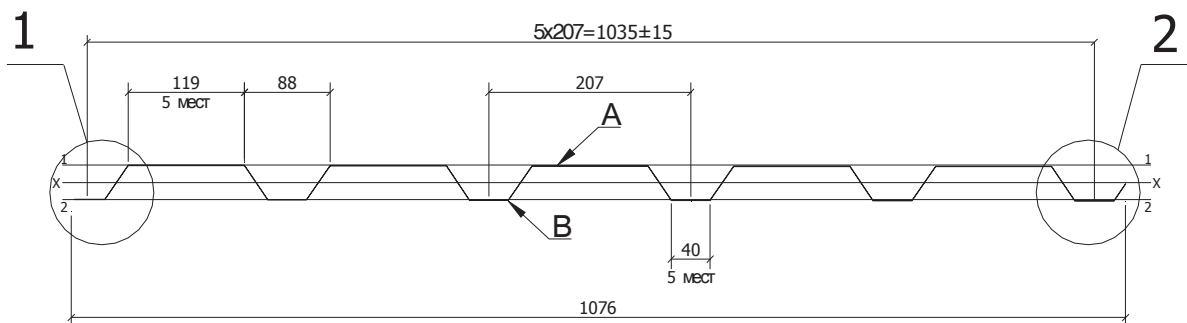


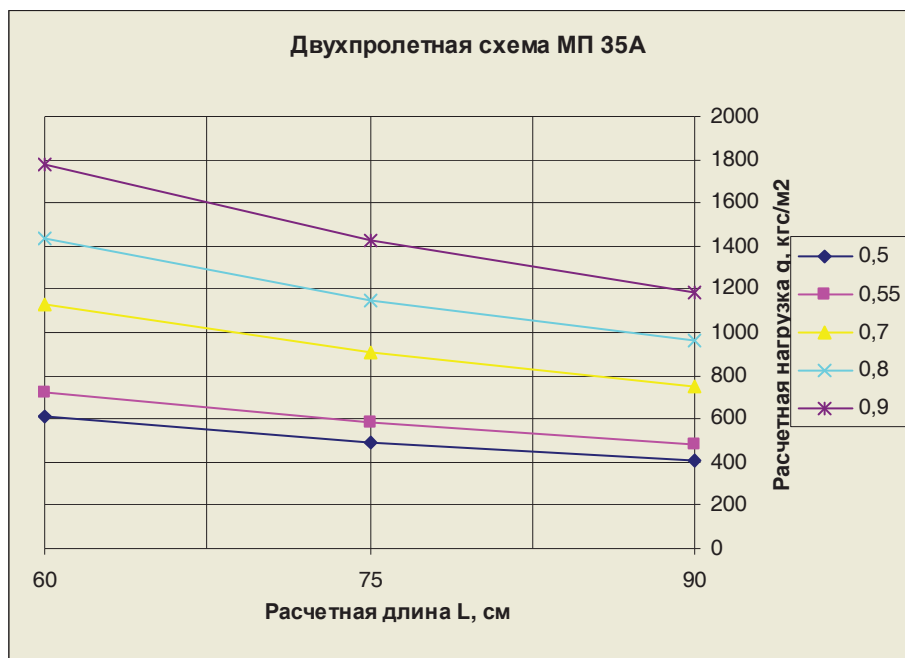
Рисунок 41

Таблица 54

Обозначение	t, мм	Площадь сечения A, см²	Масса 1м длины, кг	Оправочные величины 1м ширины						Масса 1м2 полной ширины, кг	Масса 1м2 полезной ширины, кг	Ширина заготовки, мм		
				скаты по оси 1-1		скаты по оси 2-2		Момент инерции Ix, см⁴	Момент сопротивления, см³	Момент инерции Ix, см⁴	Момент сопротивления, см³			
				Wx1	Wx2	Wx1	Wx2							
МП-35x1035-А,В	0,5	6,25	5,4	5,61	2,07	2,79	20,01	8,51	21,92	5,02	5,2			
МП-35x1035-А,В	0,55	6,88	5,9	6,68	2,38	3,31	21,52	9,28	23,15	5,48	5,7			
МП-35x1035-А,В	0,7	8,75	7,4	10,55	3,45	5,25	26,15	11,52	26,27	6,88	7,1			
МП-35x1035-А,В	0,8	10,00	8,4	13,72	4,28	6,90	29,70	12,98	28,00	7,81	8,1			
МП-35x1035-А,В	0,9	11,25	9,3	17,39	5,22	8,86	33,20	14,42	29,51	8,64	9,0			

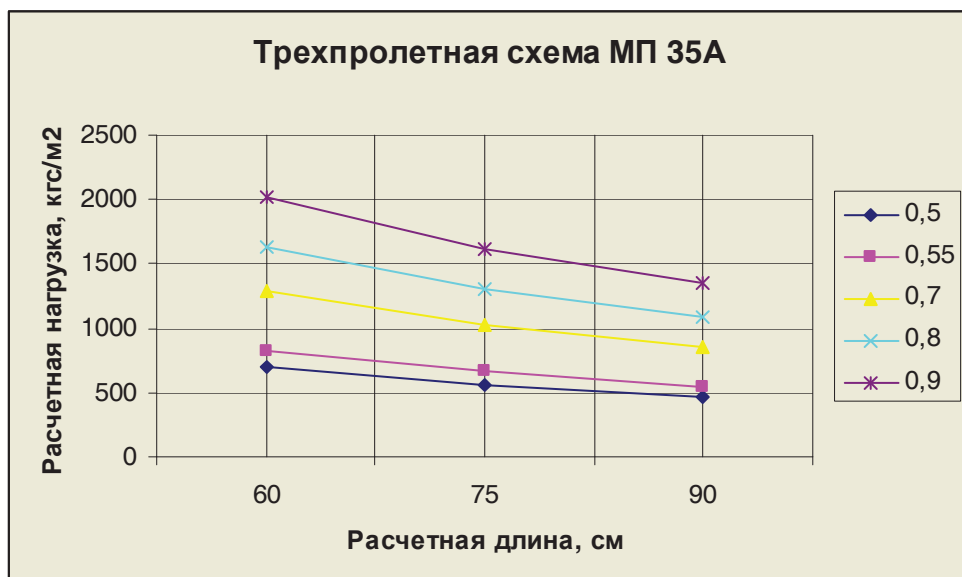
Расчетная нагрузка q , кгс/м²
Таблица 55

Тип профиля	Толщина, мм	двуяпролетная схема		
		Расчетная длина L , см		
		60	75	90
МП 35А	0,5	609	487	406
	0,55	726	581	484
	0,7	1129	903	753
	0,8	1439	1151	959
	0,9	1780	1424	1187



Расчетная нагрузка q , кгс/м²
Таблица 56

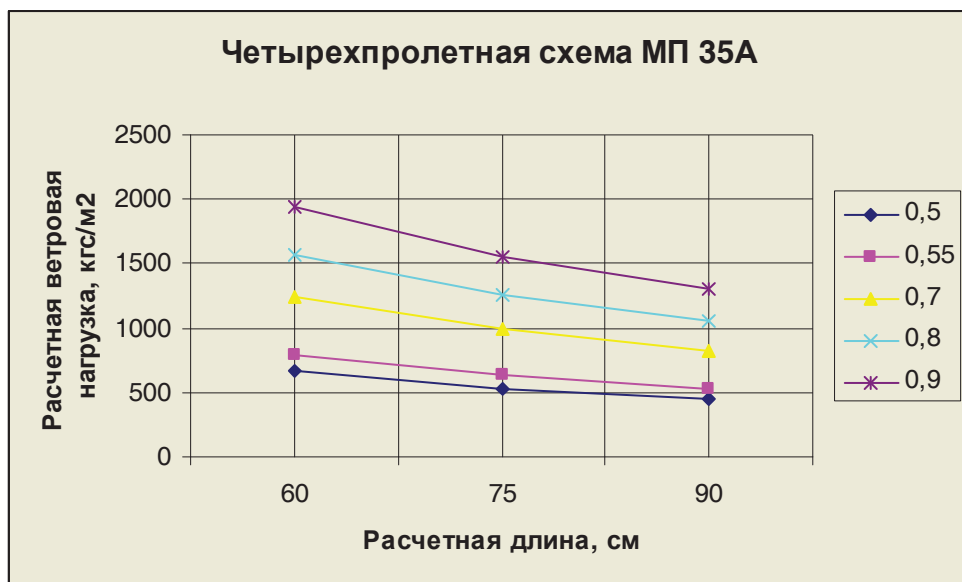
Тип профиля	Толщина, мм	трехпролетная схема		
		Расчетная длина L , см		
		60	75	90
МП 35А	0,5	692	553	461
	0,55	825	660	550
	0,7	1283	1026	855
	0,8	1635	1308	1090
	0,9	2023	1618	1349



Расчетная нагрузка q , кгс/м²

Т а б л и ц а 57

Тип профиля	четырехпролетная схема			
	Толщина, мм	Расчетная длина L , см		
		60	75	90
МП 35А	0,5	666	533	444
	0,55	794	635	529
	0,7	1235	988	823
	0,8	1573	1259	1049
	0,9	1947	1558	1298



6.1.8 Профилированный лист С-44x1000-А,В

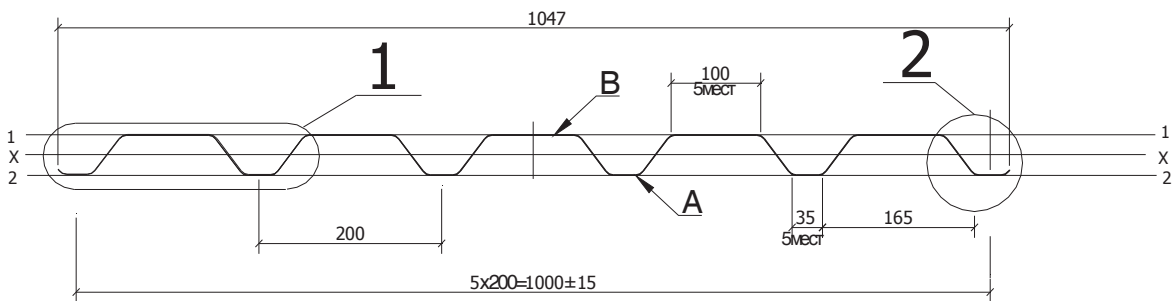


Рисунок 4

Таблица 58

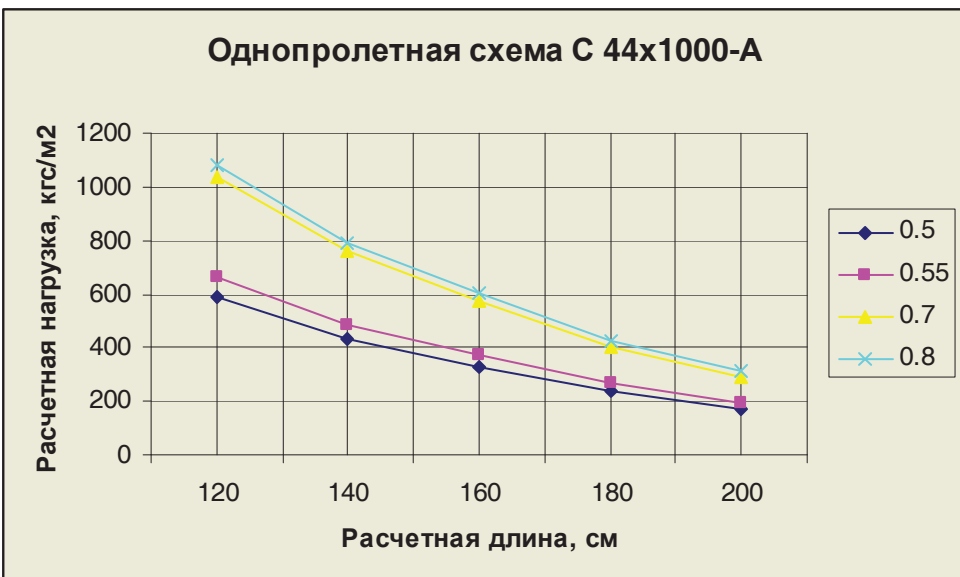
Обозначение	t, мм	Площадь сечения А, см ²	Масса 1м длины, кг	Строительные величины 1м ширины						Масса 1м ² полной ширины, кг	Масса 1м ² полезной ширины, кг	Ширина загса тяжки, мм		
				при скатке узких полках		при скатке широких полках		момент инерции Ix, см ⁴	момент сопротивления Wx1	момент инерции Ix, см ⁴	момент сопротивления Wx2			
				момент инерции Ix, см ⁴	момент сопротивления Wx1	момент инерции Ix, см ⁴	момент сопротивления Wx2							
С 44x1000-А,В	0,5	6,25	5,4	22,5	6,1	17,6	12,2	5,2	4,7	5,16	5,4			
С 44x1000-А,В	0,55	6,88	5,9	24,6	6,9	19,5	13,7	5,8	5,3	5,64	5,9			
С 44x1000-А,В	0,7	8,75	7,4	25,4	9,3	15,2	20,7	8,3	8,5	7,07	7,4			
С 44x1000-А,В	0,8	10,0	8,4	30,6	11,4	17,8	22,1	8,63	8,85	8,02	8,4			

Расчетная нагрузка q, кгс/м²

Т а б л и ц а 59

Тип профиля	Толщина,мм	однопролетная схема				
		Расчетная длина L,см				
		120	140	160	180	200
C44A	0.5	588	432	330	236	172
	0.55	663	487	373	265	193
	0.7	1038	762	571	401	292
	0.8	1079	793	607	428	312

Расчетные усилия для L=120;140;160 по прочности L=180;200 - по деформациям

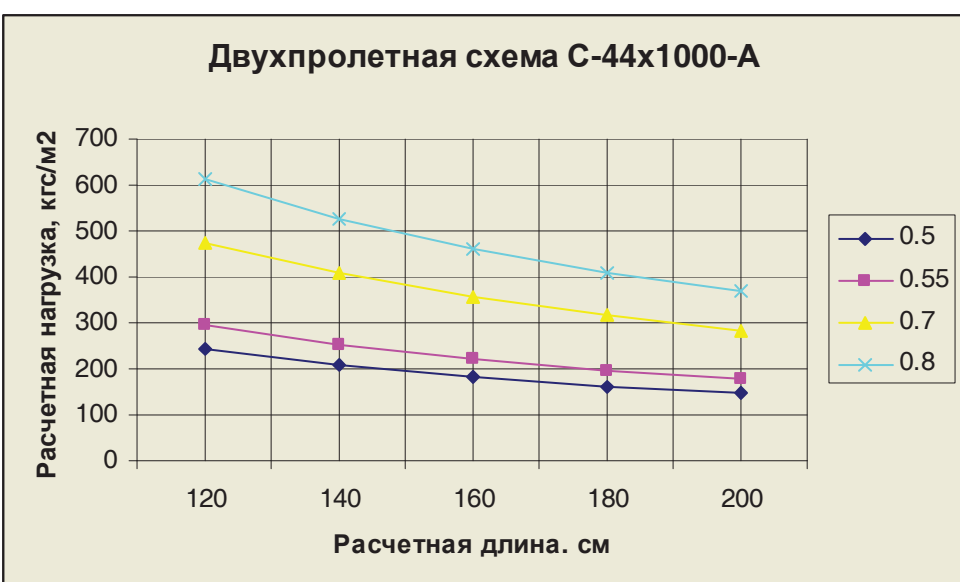


Расчетная нагрузка q , кгс/м²

Т а б ли ц а 60

Тип профиля	Толщина, мм	двуихпролетная схема				
		Расчетная длина L , см				
		120	140	160	180	200
C44A	0.5	244	209	183	162	146
	0.55	295	253	221	197	177
	0.7	475	407	356	316	285
	0.8	614	526	461	409	368

Расчетные усилия приняты по устойчивости
стенки

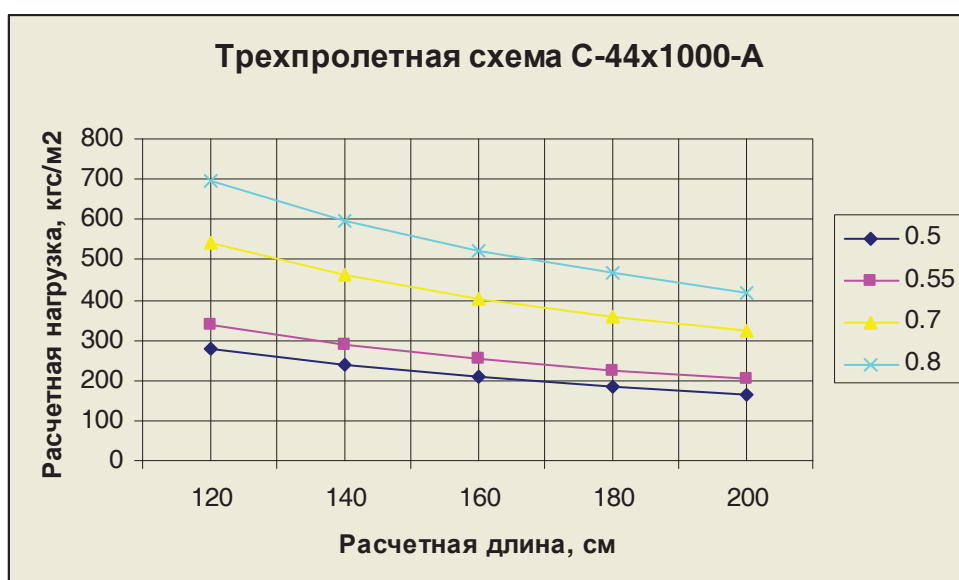


Расчетная нагрузка q , кгс/м²

Т а б л и ц а 61

Тип профиля	трехпролетная схема					
	Толщина,мм	Расчетная длина L,см				
		120	140	160	180	200
C44A	0.5	277	237	208	185	166
	0.55	335	288	252	224	201
	0.7	539	462	404	359	324
	0.8	698	598	523	465	419

Расчетные усилия приняты по устойчивости
стенки

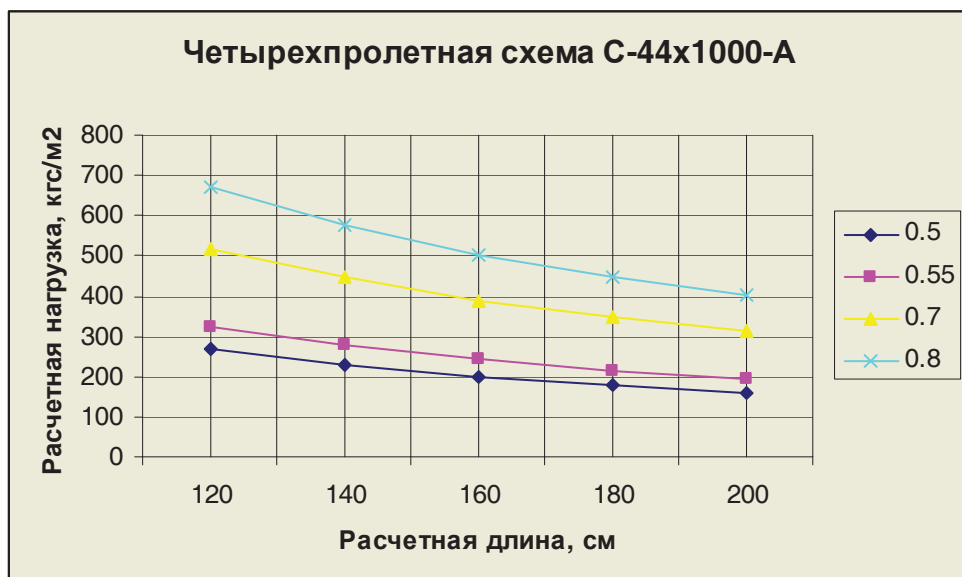


Расчетная нагрузка q , кгс/м²

Т а б л и ц а 62

Тип профиля	четырехпролетная схема					
	Толщина,мм	Расчетная длина L,см				
		120	140	160	180	200
C44A	0.5	266	228	200	178	160
	0.55	323	277	242	215	194
	0.7	519	445	389	346	311
	0.8	672	576	504	448	403

Расчетные усилия приняты по устойчивости стенки



6.1.9 Профилированный лист МП-18x1100-А,В

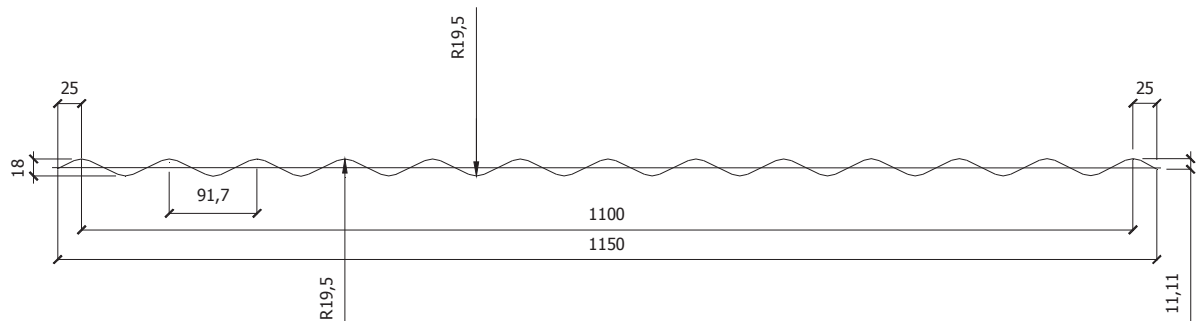


Рисунок 43

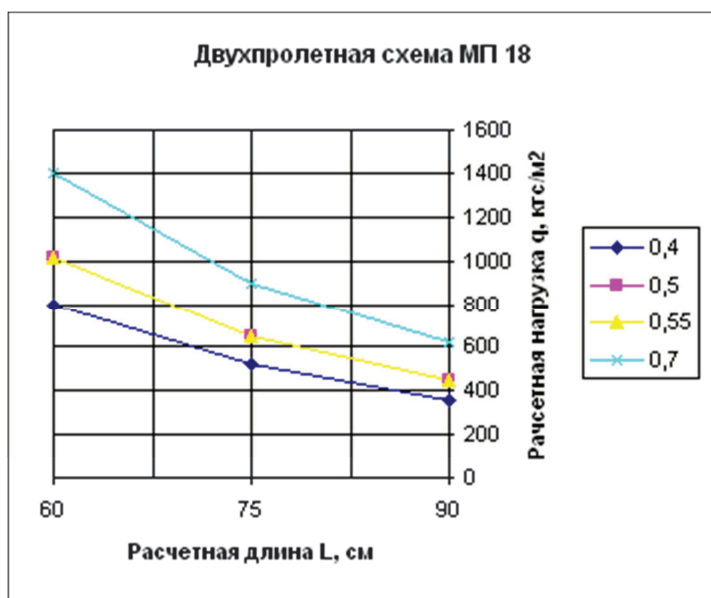
Таблица 63

Обозначение	t, мм	Площадь сечения A, см ²	Масса 1м длины, кг	Строящие величины 1м ширины		Масса 1м ² полной ширины, кг	Масса 1м ² полезной ширины, кг	Ширина заготовки, мм
				момент инерции Ix, см ⁴	момент сопротивления, см ³			
					Wx1			
МП-18x1100-А,В	0,4	5,00	4,4	1,49	1,62	1,62	4,19	4,4
МП-18x1100-А,В	0,5	6,25	5,4	1,86	2,03	2,03	5,14	5,4
МП-18x1100-А,В	0,55	6,88	5,9	2,05	2,03	2,03	5,61	5,9
МП-18x1100-А,В	0,7	8,75	7,4	2,62	2,8	2,8	7,04	7,4

Расчетная нагрузка q, кгс/м²

Т а б л и ц а 64

Тип профиля	Двухпролетная схема			
	Толщина,мм	Расчетная длина L, см		
		60	75	90
МП 18	0,4	796	518	360
	0,5	1015	650	451
	0,55	1015	650	451
	0,7	1400	896	622

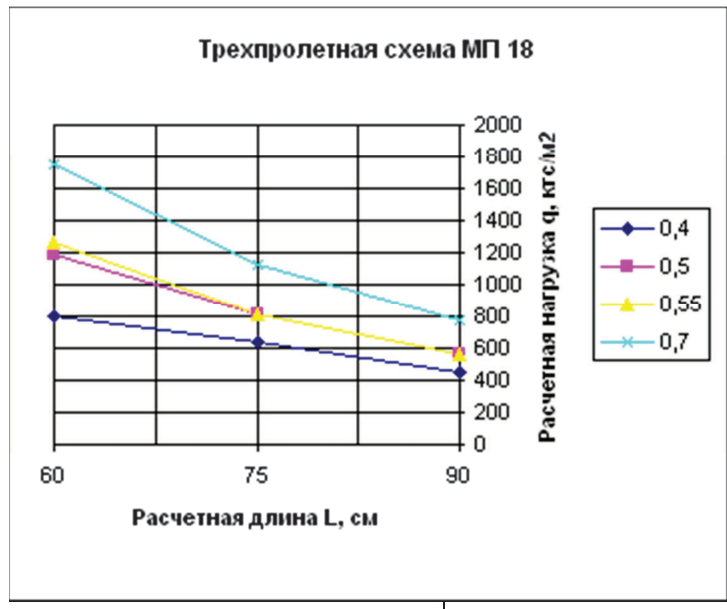


Расчетная нагрузка q , кгс/м²

Т а б л и ц а 65

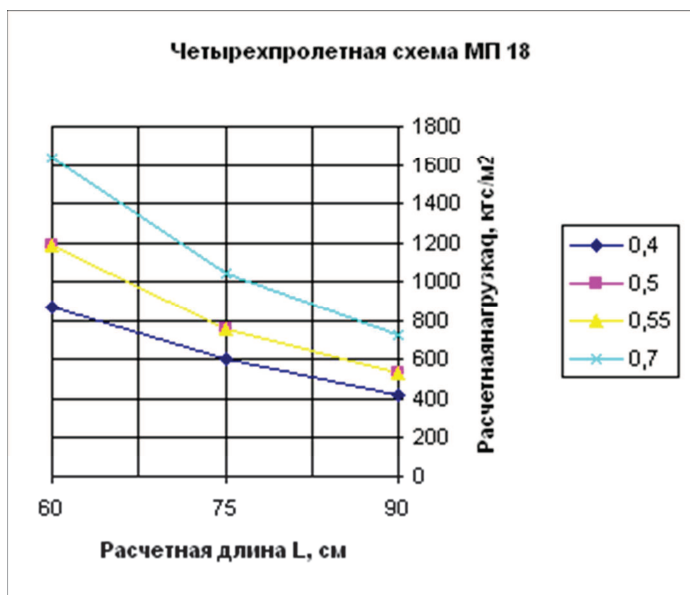
Тип профиля	трехпролетная схема			
	Толщина,мм	Расчетная длина L, см		
		60	75	90
МП 18	0,4	796	637	450
	0,5	1193	812	564
	0,55	1269	812	564
	0,7	1750	1120	778

Расчетная нагрузка принята по деформации



Расчетная нагрузка q , кгс/м²
Т а б л и ц а 66

четырехпролетная схема				
Тип профиля	Толщина, мм	Расчетная длина L, см		
		60	75	90
МП 18	0,4	871	606	421
	0,5	1186	759	527
	0,55	1186	759	527
	0,7	1636	1047	727



**6.1.10 Угловой элемент
МП-18x1100-90°**

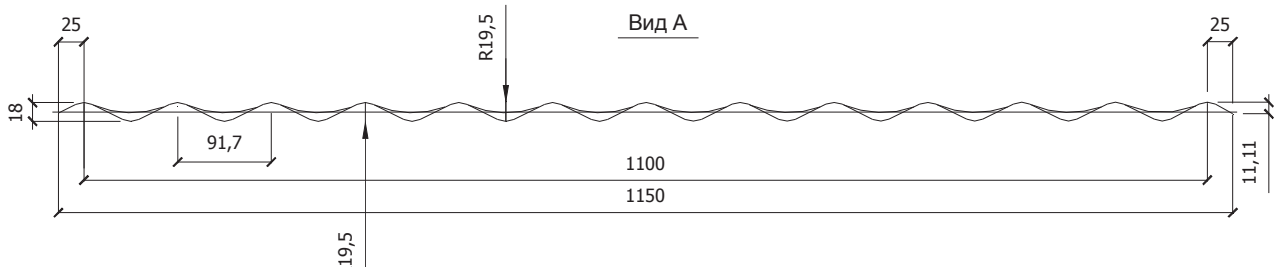


Рисунок 44

Таблица 67

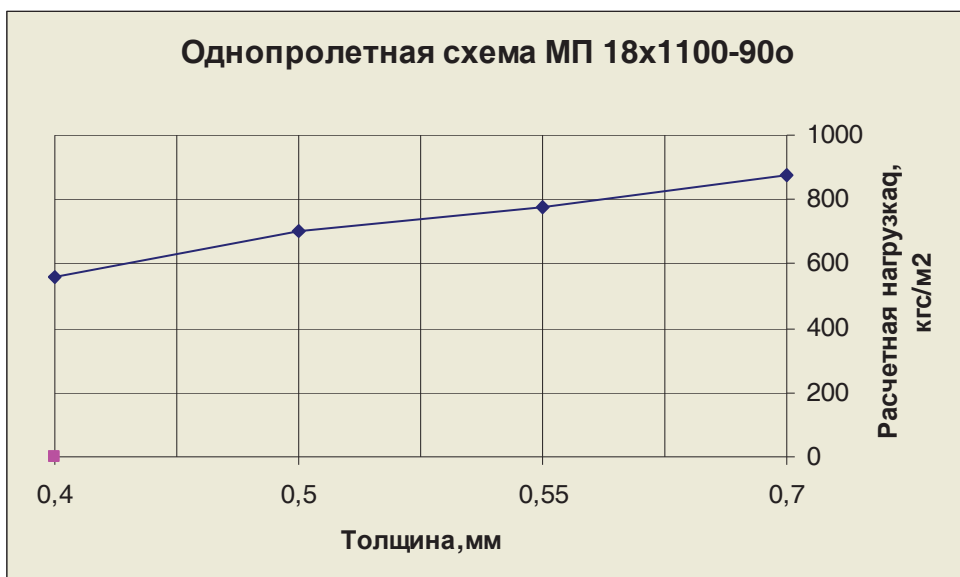
Обозначение	t, мм	Площадь сечения A, см ²	Масса 1м длины, кг	Справочные величины 1м ширины		Масса 1м ² полной ширины, кг	Масса 1м ² полезной ширины, кг	Ширина заготовки, мм			
				момент инерции Ix, см ⁴	момент сопротивления, см ³						
МП-18x1100-A,B	0,4	5,00	4,4	0,62	0,9	1,65	4,19	4,4			
МП-18x1100-A,B	0,5	6,25	5,4	0,78	1,11	2,04	5,14	5,4			
МП-18x1100-A,B	0,55	6,88	5,9	0,86	1,22	2,22	5,61	5,9			
МП-18x1100-A,B	0,7	8,75	7,4	0,97	1,46	2,35	7,04	7,4			

Расчетная нагрузка q, кгс/м²

Т а б л и ц а 68

однопролетная схема				
Тип профиля	Расчетная длина, см	Толщина, мм		
		0,4	0,5	0,55
МП 18x1100-900	50	560	704	777
				876

Однопролетная схема МП 18x1100-900



6.1.11 Профилированный лист МП-40x1000-А,В

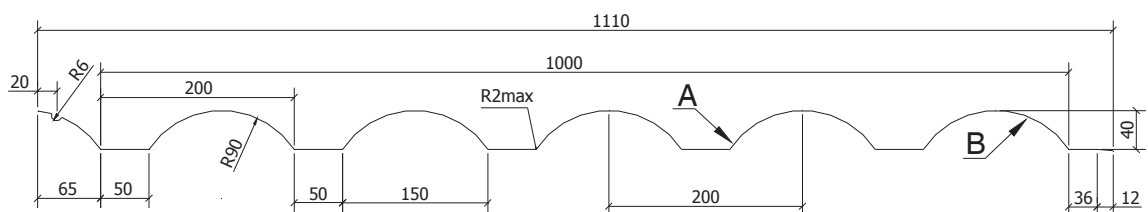


Рисунок 45

Таблица 69

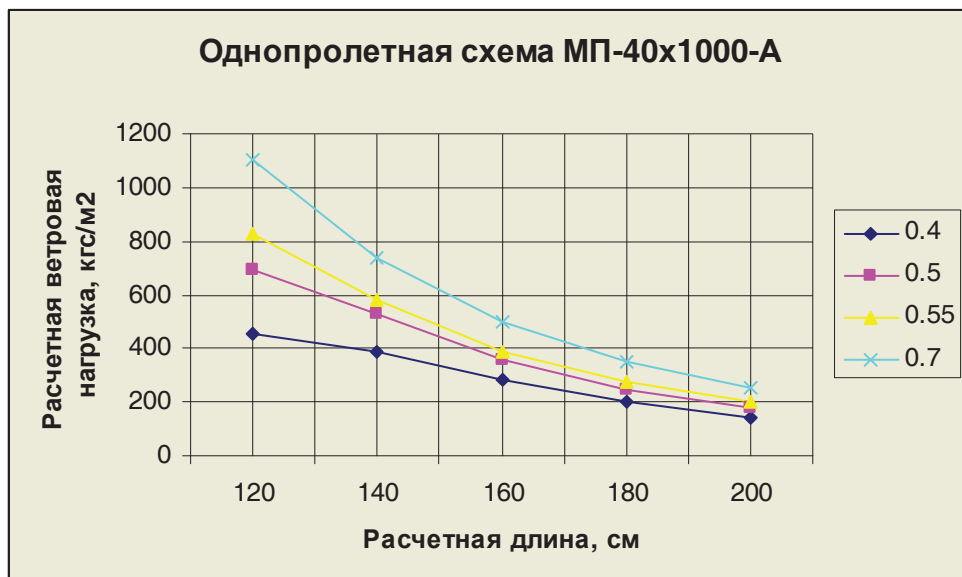
Обозначение	t, мм	Площадь сечения А, см ²	Масса 1м длины, кг	Справочные величины 1м ширины						Масса 1м ² полной ширины, кг	Масса 1м ² полезной ширины, кг	Ширина заготовки, мм				
				при сжатии узких полках		при сжатии широких полках										
				момент инерции Ix, см ⁴	момент сопротивления Wx1	момент инерции Ix, см ⁴	момент сопротивления Wx2	момент инерции Ix, см ⁴	момент сопротивления Wx1							
МП-40x1000-А,В	0,4	5,00	4,4	7,9	3,0	4,45	10,25	5,1	5,3	4,19	4,4	1250				
МП-40x1000-А,В	0,5	6,25	5,4	10,65	4,05	5,75	12,85	6,35	6,6	5,14	5,4					
МП-40x1000-А,В	0,55	6,88	5,9	12,1	4,6	6,4	14,1	7,0	7,25	5,61	5,9					
МП-40x1000-А,В	0,7	8,75	7,4	16,8	6,5	6,72	18,0	8,85	9,2	7,04	7,4					

Расчетная нагрузка q , кгс/м²

Т а б л и ц а 70

Тип профиля	Толщина,мм	однопролетная схема				
		Расчетная длина L,см				
		120	140	160	180	200
МП-40x1000-А	0.4	453	388	283	198	145
	0.5	693	529	354	249	181
	0.55	829	580	389	273	199
	0.7	1106	741	496	348	254

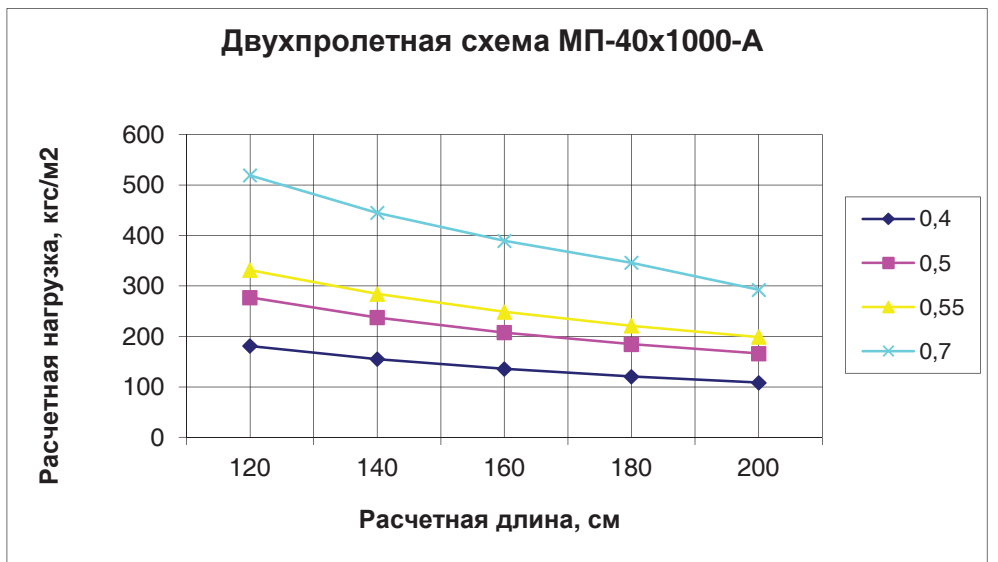
Расчетные усилия для $L=120(t=0,4-0,55);140(t=0,4)$ по устойчивости стенки
 $L=120$ ($t=0,7$)приняты по прочности; $L=140$ ($t=0,5-0,7$); $L=160, L=180,L=200$ принята по деформациям



Расчетная нагрузка q , кгс/м²

Т а б л и ц а 71

Тип профиля	Толщина,мм	двухпролетная схема				
		Расчетная длина L,см				
		120	140	160	180	200
МП-40x1000-А	0.4	181	155	136	121	109
	0.5	277	238	208	185	166
	0.55	332	284	249	221	199
	0.7	519	445	389	346	293



Расчетная нагрузка q , кгс/м²

Т а б л и ц а 72

Тип профиля	трехпролетная схема					
	Толщина,мм	Расчетная длина L ,см				
		120	140	160	180	200
МП-40x1000-А	0.4	206	176	154	137	124
	0.5	315	270	236	210	189
	0.55	377	323	283	251	226
	0.7	590	506	442	393	354

Расчетные усилия получены по устойчивости стенки

Трехпролетная схема МП-40x1000-А



Расчетные усилия получены по устойчивости стенки

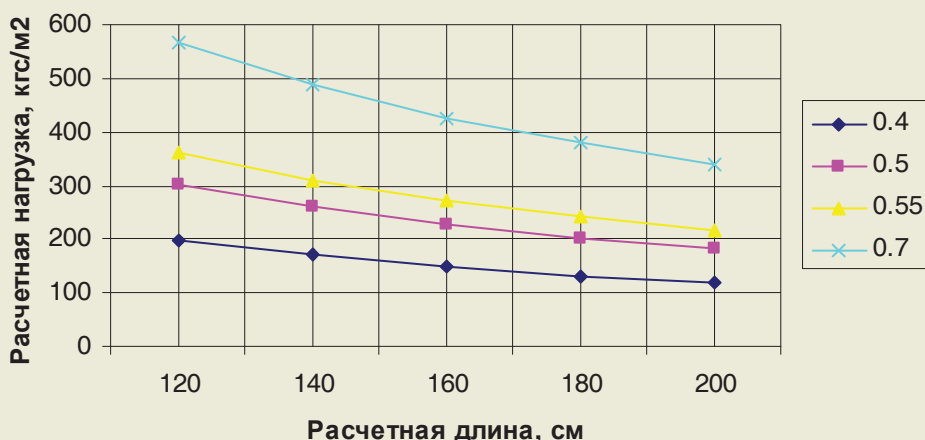
Расчетная нагрузка q , кгс/м²

Т а б л и ц а 73

Тип профиля	четырехпролетная схема					
	Толщина, мм	Расчетная длина L, см				
		120	140	160	180	200
МП-40x1000-А	0.4	198	170	149	132	119
	0.5	303	260	227	202	182
	0.55	363	311	272	242	218
	0.7	568	487	426	378	341

Расчетные усилия получены по устойчивости стенки

Четырехпролетная схема МП-40x1000-А



6.2 Облицовочный материал -фасадная кассета является в системе несущей конструкцией. Она представляет собой прямоугольную плиту, защемленную по контуру горизонтальными и вертикальными ребрами.

Кассета представлена 2-мя типами:

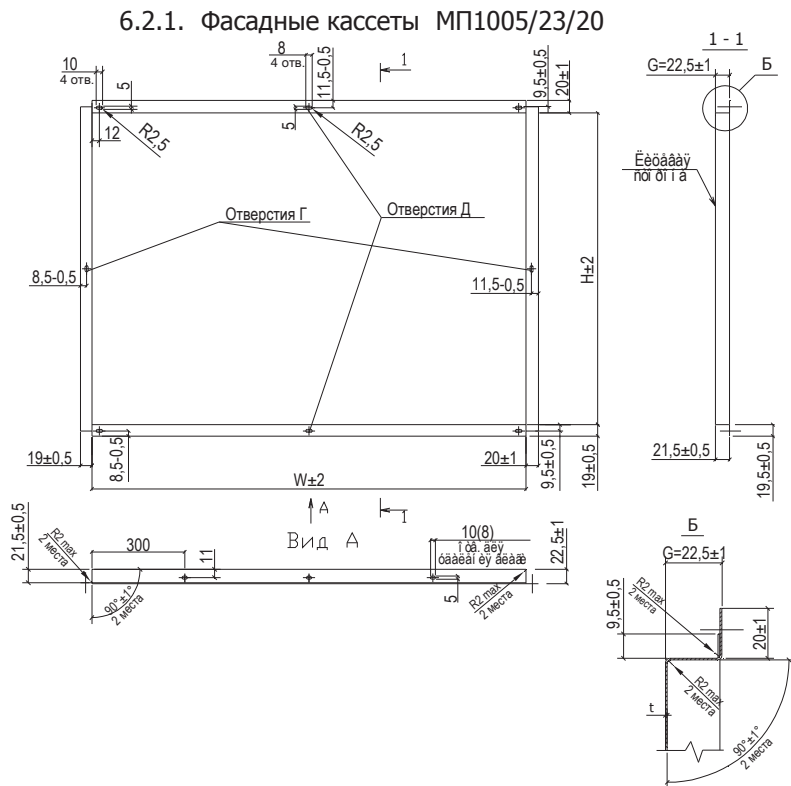


Рисунок 46

горизонтальное ребро $h_p=22,0\text{мм}$ с отгибом 20 мм

вертикальное ребро $h_p=22,0\text{мм}$ с отгибом 20 мм

Толщина металла $t=1\text{ мм}; t=1,2\text{ мм}$

Размеры кассет МП 1005 приведены в таблице 74

Т а б л и ц а 74

Высота H,мм	600	600	700	700	823	823	1200	1200	1400	1400	1700	1900
Ширина W,мм	1400	1700	1200	1400	823	1200	700	823	600	700	600	500

6.2.2. Фасадные кассеты

МП2005/25/30

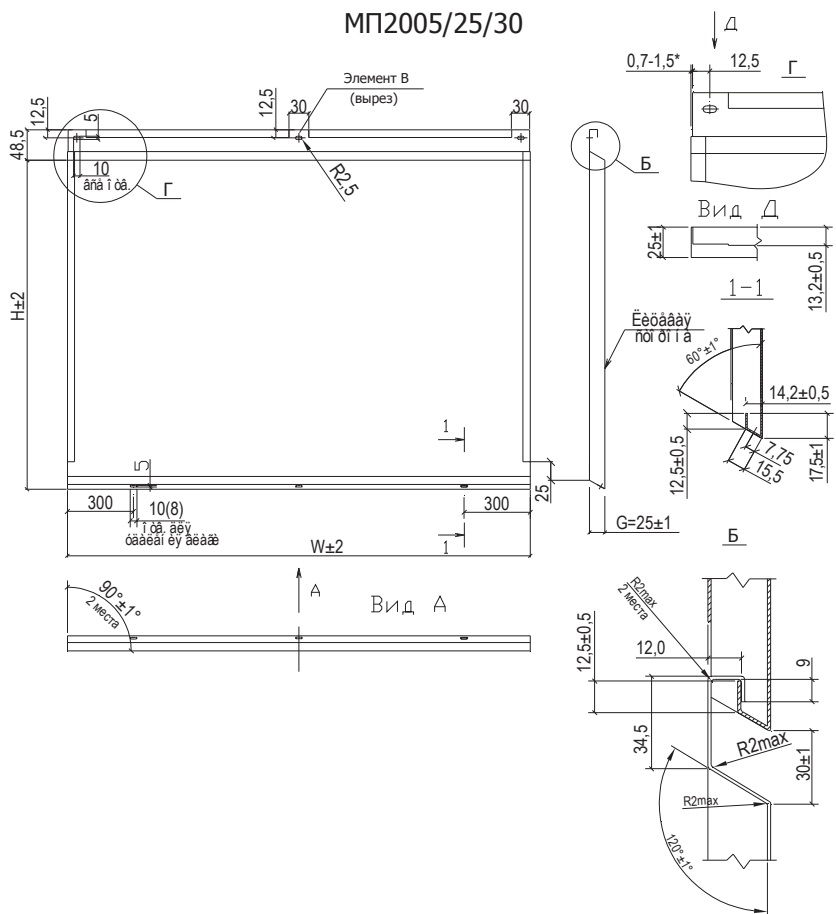


Рисунок 47

горизонтальное ребро $h_p=25\text{мм}$ с подгибом 12мм

вертикальное ребро $h_p=25\text{мм}$ с подгибом 12мм

Толщина металла $t=1 \text{ мм}; t=1,2 \text{ мм}$

Размеры кассет МП 2005 приведены в таблице 75

Т а б л и ц а 75

Высота H,мм	500	600	700	700	797	797	797	831	847	847
Ширина W,мм	1900	1700	1200	1400	831	1200	1400	831	700	831

Несущая способность элементов кассет приведена в таблицах 77, 78, 79, 80, 81, 82.

6.2.3 Расчетные схемы кассеты

5. 2 Расчетные схемы кассеты

а) панель кассеты

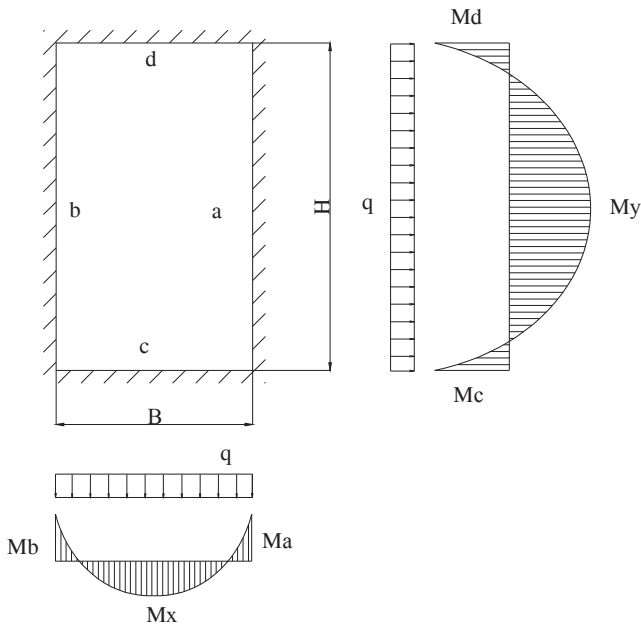


Рисунок 48

Расчетные усилия:

$$M_x = C_4 \times q_w \times B^2; \quad (262)$$

$$M_y = C_5 \times q_w \times B^2; \quad (263)$$

$$M_a = M_b = C_2 \times q_w \times B^2; \quad (264)$$

$$M_c = M_d = C_3 \times q_w \times B^2; \quad (265)$$

где :

- M_x ; M_y –пролетные изгибающие моменты;
- M_a ; M_b ; M_c ; M_d – опорные изгибающие моменты;
- q_w - расчетная ветровая нагрузка, кгс/м²;
- коэффициенты C_2 ; C_3 ; C_4 ; C_5 заимствованы из таблиц плит опертых по контуру с коэффициентом пусона $\nu=0,3$, приведенных в расчетно - теоретическом справочнике (см. таблицу 76).

Проверка прочности сечения панели кассеты:

$$\sigma = \frac{M_{\max}}{W_x} = \frac{M_a}{W_x} = R_y, \text{ кгс/см}^2 \quad (266)$$

где:

- R_y - расчетное сопротивление при изгибе стальных листов (см. таблицу 1);
- W_x –момент сопротивления сечения облицовок панели шириной 1м .

Проверка сечения панели кассеты по деформациям:

$$f = C_1 \times \frac{q_w B^4}{EI}, c_m \leq \frac{B}{125} \quad (267)$$

Коэффициент «С₁» заимствован из таблиц плит опертых по контуру приведенных в расчетно-теоретическом справочнике (см. таблицу 76).

$$q_w = \frac{q_w}{[1 + \zeta] \times \gamma_f} \quad (268)$$

$$D = EI = 2,1 * 10^6 * J \quad (269)$$

где:

- $\zeta (z_e)$ – коэффициент пульсации давления ветра, принимаемый по таблице 6;

- γ_f - коэффициент надежности по нагрузке $\gamma_f = 1.4$;

- E – модуль упругости $E=2,1 * 10^6$, кгс/см²;

- J – момент инерции сечения см⁴;

- f прогиб, см.

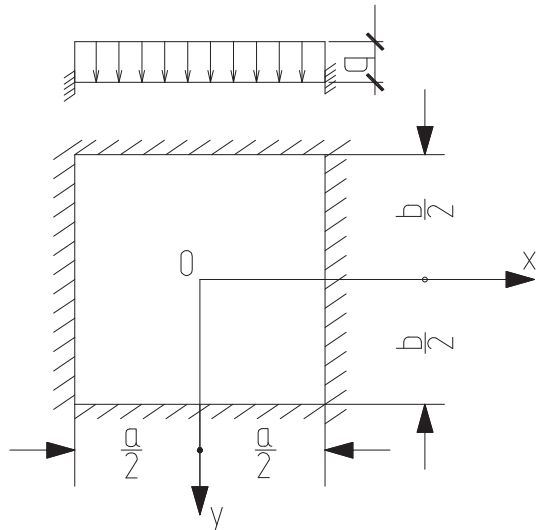


Рисунок 49

Прогибы и изгибающие моменты равномерно нагруженной прямоугольной пластинки,
зашемленной по контору ($v=0,3$)

Т а б л и ц а 76

$\frac{b}{a}$	$x=0; y=0$	$x=\frac{a}{2}; y=0$	$x=0; y=\frac{b}{2}$	$x=0; y=0$	
	$(\omega)=C_1q \frac{a^4}{D};$	$(M_x)=C_2qa^2;$	$(M_y)=C_3qa^2;$	$(M_x)=C_4qa^2;$	$(M_y)=C_5qa^2;$
	C_1	C_2	C_3	C_4	C_5
1,0	0,00126	-0,0513	-0,0513	0,0231	0,0231
1,1	0,00150	-0,0581	-0,0538	0,0264	0,0231
1,2	0,00172	-0,0639	-0,0554	0,0299	0,0228
1,3	0,00191	-0,0687	-0,0563	0,0327	0,0222
1,4	0,00207	-0,0726	-0,0568	0,0349	0,0212
1,5	0,00220	-0,0757	-0,0570	0,0368	0,0203
1,6	0,00230	-0,0780	-0,0571	0,0381	0,0193
1,7	0,00238	-0,0799	-0,0571	0,0392	0,0182
1,8	0,00245	-0,0812	-0,0571	0,0401	0,0174
1,9	0,00249	-0,0822	-0,0571	0,0407	0,0165
2,0	0,00254	-0,0829	-0,0571	0,0412	0,0158
∞	0,00260	-0,0833	-0,0571	0,0417	0,0125

Определение расчетных усилий возможно при помощи существующих статических программ.

Расчетное значение ветровой нагрузки [q_w], воспринимаемое панелью кассеты толщиной металла $t=1$ приведено в таблицах 77, 79.

Таблица 77

W_m	H_m	q_w krc/m ²	$n = \frac{H}{W}$	C_2	C_3	C_4	C_5	$M_x = C_4 q_w W^2$ krc m	$M_y = C_5 q_w W^2$ krc m	$M_a = C_2 q_x W^2$ krc m	$M_c = C_3 q_x W^2$ krc m	W_{x_3} cm ³	$\sigma = \frac{M}{W_x} =$ krc/cm ²	$\sigma = \frac{[q_w]}{W_m} =$ krc/m ²
0.6	1.4	2.3	-0.0833	-0.0571	0.0417	0.0125	0.015q _w	0.005q _w	-0.03q _w	-0.02q _w	17.96q _w	1.25		
	1.7	2.8	-0.0833	-0.0571	0.0417	0.0125	0.015q _w	0.005q _w	-0.03q _w	-0.02q _w	17.96q _w	1.25		
	1.2	1.71	-0.0799	-0.0571	0.0392	0.0182	0.019q _w	0.009q _w	-0.0391q _w	-0.028q _w	23.4q _w	96		
0.7	1.4	2.0	-0.0829	-0.0571	0.0412	0.0158	0.020q _w	0.008q _w	-0.0406q _w	-0.028q _w	24.3q _w	92		
	0.823	1.0	-0.0513	-0.0513	0.0231	0.0231	0.015q _w	0.015q _w	-0.0347q _w	-0.0347q _w	20.8q _w	108		
0.823	1.2	1.46	-0.0757	-0.0570	0.0368	0.0203	0.025q _w	0.0371q _w	-0.051q _w	-0.025q _w	30.5q _w	74		
	0.7	0.58	-0.0799	-0.0571	0.0392	0.0182	0.019q _w	0.009q _w	-0.039q _w	-0.028q _w	23.3q _w	96		
1.2	0.823	0.686	-0.0757	-0.0570	0.0368	0.0203	0.025q _w	0.0371q _w	-0.051q _w	-0.025q _w	30.5q _w	74		
	0.6	0.43	-0.0833	-0.0571	0.0417	0.0125	0.015q _w	0.005q _w	-0.03q _w	-0.02q _w	17.96q _w	1.25		
	1.4	0.5	-0.0829	-0.0571	0.0412	0.0158	0.02q _w	0.008q _w	-0.0406q _w	-0.028q _w	16.92q _w	92		
	1.7	0.6	0.35	-0.0833	-0.0571	0.0417	0.0125	0.015q _w	0.005q _w	-0.03q _w	-0.02q _w	17.96q _w	1.25	
	1.9	0.5	0.26	-0.0833	-0.0571	0.0417	0.0125	0.0104q _w	0.003q _w	-0.0208q _w	-0.014q _w	12.46q _w	180	
	0.831	1.04	-0.0547	-0.0525	0.0247	0.0231	0.0156q _w	0.0146q _w	-0.0347q _w	-0.0333q _w	20.78q _w	108		
0.797	1.2	1.505	-0.0757	-0.0570	0.0368	0.0203	0.023q _w	0.0105q _w	-0.048q _w	-0.036q _w	28.74q _w	79		
	1.4	1.756	-0.0805	-0.0571	0.0396	0.0178	0.025q _w	0.011q _w	-0.051q _w	-0.036q _w	30.54q _w	74		
	0.7	0.826	-0.0639	-0.0554	0.0299	0.0228	0.014q _w	0.011q _w	-0.031q _w	-0.027q _w	18.56q _w	121		
0.847	0.831	0.98	-0.0513	-0.0513	0.0231	0.0231	0.0159q _w	0.0159q _w	-0.035q _w	-0.035q _w	21.2q _w	106		
0.831	0.831	1.0	-0.0513	-0.0513	0.0231	0.0231	0.0159q _w	0.0159q _w	-0.035q _w	-0.035q _w	21.2q _w	106		

W – ширина кассеты

H – высота кассеты

q_w - расчетная ветровая нагрузка

Коэффициенты C_2, C_3, C_4, C_5 , приведены в таблице 76.

$$\sigma = \frac{M}{W_x} = R \text{ кгс/см}^2 = 2250 \text{ кгс/см}^2 \quad (270)$$

Где R-расчетное сопротивление металла ;

W_x –момент сопротивления сечения:

$$\text{Для } t=1,0 \text{ мм } W = \frac{t^2 * b}{6} = \frac{0,1^2 * 100}{6} = 0,167 \text{ см}^3; \quad (271)$$

$$\text{Для } t=1,2 \text{ мм } W = \frac{t^2 * b}{6} = \frac{0,12^2 * 100}{6} = 0,24 \text{ см}^3 \quad (272)$$

Расчетное значение ветровой нагрузки [q_w], воспринимаемое панелью кассеты толщиной металла $t=1,2$ приведено в таблицах 78,80.

Таблица 78

H, M	$q_w, KTC/M^2$	$n = \frac{H}{W}$	C_2	C_3	C_4	C_5	$M_x = C_4 q_w W^2, KTC M$	$M_y = C_5 q_w W^2, KTC M$	$M_a = C_2 q_x W^2, KTC M$	$M_c = C_3 q_x W^2, KTC M$	W_x^3, CM^3	$\sigma = \frac{M}{W_x} = 2250, KTC/CM^2$	$\frac{[q_w]}{= W_m} = 12.5 q_w, 180$
1.4		2.3	-0,0833	-0,0571	0,0417	0,0125	0,015q _w	0,005q _w	-0,03q _w	-0,02q _w			
1.7		2.8	-0,0833	-0,0571	0,0417	0,0125	0,015q _w	0,005q _w	-0,03q _w	-0,02q _w			12.5 q _w , 180
1.2		1.71	-0,0799	-0,0571	0,0392	0,0182	0,019q _w	0,009q _w	-0,0391q _w	-0,028q _w			16.3 q _w , 138
1.4		2.0	-0,0829	-0,0571	0,0412	0,0158	0,020q _w	0,008q _w	-0,0406q _w	-0,028q _w			16.9 q _w , 133
0.823		1.0	-0,0513	-0,0513	0,0231	0,0231	0,015q _w	0,015q _w	-0,0347q _w	-0,0347q _w			14.46q _w , 156
1.2		1.46	-0,0757	-0,0570	0,0368	0,0203	0,025q _w	0,0371q _w	-0,051q _w	-0,025q _w			21.25 q _w , 106
0.7		0.58	-0,0799	-0,0571	0,0392	0,0182	0,019q _w	0,009q _w	-0,039q _w	-0,028q _w			16. 25q _w , 138
0.823		0.686	-0,0757	-0,0570	0,0368	0,0203	0,025q _w	0,0371q _w	-0,051q _w	-0,025q _w			21.25 q _w , 106
0.6		0.43	-0,0833	-0,0571	0,0417	0,0125	0,015q _w	0,005q _w	-0,03q _w	-0,02q _w			12.5 q _w , 180
0.7		0.5	-0,0829	-0,0571	0,0412	0,0158	0,005q _w	0,018q _w	-0,0406q _w	-0,0278q _w			16.9 q _w , 133
0.6		0.35	-0,0833	-0,0571	0,0417	0,0125	0,015q _w	0,005q _w	-0,03q _w	-0,02q _w			12.5 q _w , 180
0.5		0.26	-0,0833	-0,0571	0,0417	0,0125	0,0104q _w	0,003q _w	-0,0208q _w	-0,014q _w			8.67q _w , 260
0.831		1.04	-0,0547	-0,0525	0,0247	0,0231	0,0156q _w	0,0146q _w	-0,0347q _w	-0,0333q _w			14.46 q _w , 188
1.2		1.505	-0,0757	-0,0570	0,0368	0,0203	0,023q _w	0,0105q _w	-0,048q _w	-0,036q _w			20.0 q _w , 112
1.4		1.756	-0,0805	-0,0571	0,0396	0,0178	0,025q _w	0,011q _w	-0,051q _w	-0,036q _w			21.25 q _w , 106
0.7		0.826	-0,0639	-0,0554	0,0299	0,0228	0,014q _w	0,011q _w	-0,031q _w	-0,027q _w			12.92 q _w , 174
0.831		0.98	-0,0513	-0,0513	0,0231	0,0231	0,0159q _w	0,0159q _w	-0,035q _w	-0,035q _w			14.58 q _w , 154
0.831		1.0	-0,0513	-0,0513	0,0231	0,0231	0,0159q _w	0,0159q _w	-0,035q _w	-0,035q _w			14.58 q _w , 154

Таблица 79

H, M	W, M	$n_1 = \frac{H}{W}$	C_1	$f = \frac{C_1 * q^n * W^4 (H^4)}{E * J}$	J, cm^4	f	$\frac{q^n}{W_m^m} = \frac{q^n}{KTC/M^2}$
1,4	0,6	2,3	0,0026	1,93*q ⁿ			31
1,7	0,6	2,8	0,0026	1,93*q ⁿ			31
1,2	0,7	1,71	0,00238	3,28*q ⁿ			21
1,4	0,7	2,0	0,00254	3,5*q ⁿ			20
0,823	0,823	1,0	0,00126	3,31*q ⁿ			25
1,2	0,823	1,46	0,00213	5,6*q ⁿ			15
0,7	1,2	1,71	0,00238	3,28*q ⁿ			21
0,823	1,2	1,46	0,00213	5,6*q ⁿ			15
0,6	1,4	2,3	0,0026	1,93*q ⁿ			31
0,7	1,4	2,0	0,00254	3,5*q ⁿ			20
0,6	1,7	2,8	0,0026	1,93*q ⁿ			31
0,5	1,9	3,8	0,0026	0,93*q ⁿ			54
0,797	0,831	1,04	0,00138	3,2*q ⁿ			25
0,797	1,2	1,505	0,0022	5,1*q ⁿ			16
0,797	1,4	1,756	0,00241	5,58*q ⁿ			14
0,847	0,7	1,02	0,00126	1,74*q ⁿ			40
0,847	0,831	1,02	0,00126	3,36*q ⁿ			25
0,831	0,831	1,0	0,00126	3,36*q ⁿ			25

Таблица 80

H, M	W, M	$n_1 = \frac{H}{W}$	C_1	$f = \frac{C_1 * q^n * W^4 (H^4)}{E * J}$	J, cm^4	f	$q^h = \frac{W^h}{W_m} \frac{1}{kTC/M^2}$
1,4	0,6	2,3	0,0026	1,11*q ⁿ			43
1,7	0,6	2,8	0,0026	1,11*q ⁿ			43
1,2	0,7	1,71	0,00238	1,89*q ⁿ			30
1,4	0,7	2,0	0,00254	2,02*q ⁿ			28
0,823	0,823	1,0	0,00126	1,91*q ⁿ			34
1,2	0,823	1,46	0,00213	3,22*q ⁿ			20
0,7	1,2	1,71	0,00238	1,89*q ⁿ			30
0,823	1,2	1,46	0,00213	3,22*q ⁿ			20
0,6	1,4	2,3	0,0026	1,11*q ⁿ			43
0,7	1,4	2,0	0,00254	2,01*q ⁿ			28
0,6	1,7	2,8	0,0026	1,11*q ⁿ			43
0,5	1,9	3,8	0,0026	0,53*q ⁿ			75
0,797	0,831	1,04	0,00138	1,84*q ⁿ			35
0,797	1,2	1,505	0,0022	2,94*q ⁿ			22
0,797	1,4	1,756	0,00241	3,21*q ⁿ			20
0,847	0,7	1,02	0,00126	1,0*q ⁿ			56
0,847	0,831	1,02	0,00126	1,94*q ⁿ			34
0,831	0,831	1,0	0,00126	1,94*q ⁿ			34

Б) Ребра кассеты

Распределение ветровой нагрузки на ребра кассеты

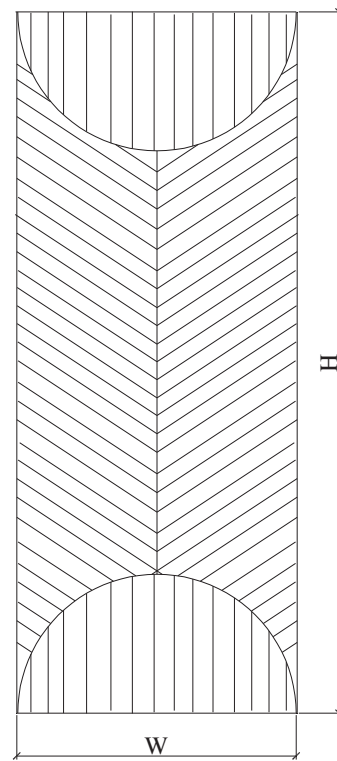


Рисунок 50

1. Горизонтальное ребро кассеты

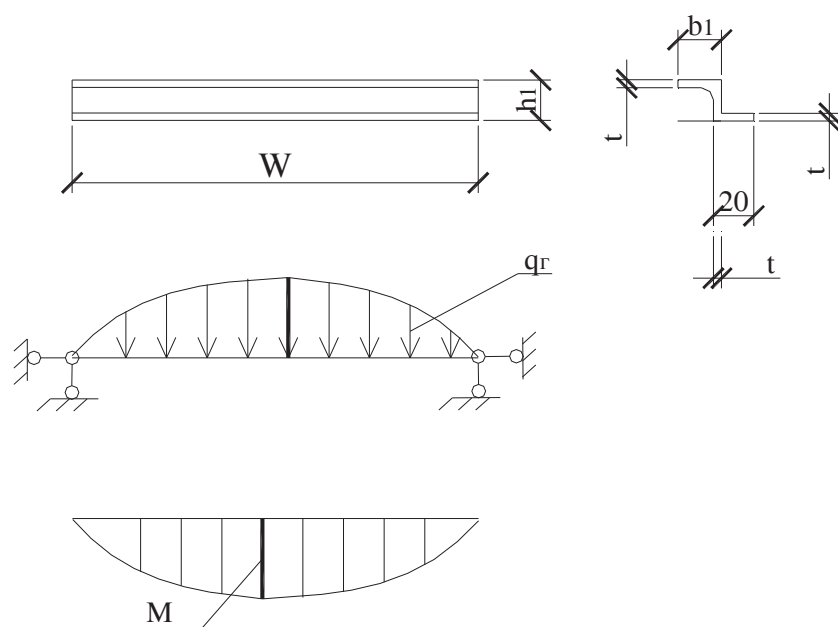


Рисунок 51

При расчете горизонтальных и вертикальных ребер включена часть плиты, равная:

$$b_1 = 1,16 * t * \sqrt{\frac{E}{R}} \quad (\text{см.п.7.2. СНиП 2.03.06-85*}); \quad (273)$$

$$\text{Для } t=1,0 \text{ мм} - b_1 = 1,16 * t * \sqrt{\frac{E}{R}} = 1,16 * 0,1 * \sqrt{\frac{2,1 * 10^6}{2250}} = 3,5 \text{ см}; \quad (274)$$

$$\text{Для } t=1,2 \text{ мм} - b_1 = 1,16 * t * \sqrt{\frac{E}{R}} = 1,16 * 0,12 * \sqrt{\frac{2,1 * 10^6}{2250}} = 4,3 \text{ см} \quad (275)$$

Геометрические характеристики сечения горизонтального ребра приведены в таблице 5
(определенны по программе SCAD Soft - см. приложение 3)

Т а б л и ц а 81

Тип кассеты	$b_1, \text{мм}$	$h_1, \text{мм}$	$A, \text{см}^2$	$J_x, \text{см}^4$	$W_x^b, \text{см}^3$
МП 1005	35	22	0,74	0,624	0,49
МП 1005	43	22	0,98	0,8	0,58
МП 2005	35	25	0,686	0,647	0,39
МП 2005	43	25	0,911	0,807	0,465

Несущая способность горизонтальных ребер определена из условия: прочности сечения:

$$\sigma = \frac{M}{W_o} = R \text{ кгс/см}^2, \quad (276)$$

Где:

$$M = \frac{5 \times q_r \times W^2}{48} \quad (277), \quad \text{где } q_r = \frac{q_w \times W}{2} \quad (278)$$

R-расчетное сопротивление принимаемое – R=2250 кгс/см²:

Несущая способность горизонтальных ребер t=1,0 мм без опирания на дополнительную направляющую приведена в таблице 82

Таблица 82

Тип кассеты	W, м	h _{lp} , см	b _{lp} , см	t _p , см	W _x ^h , см ³	$q_{\bar{A}} = \frac{q_w \times W}{2}$, кгс/м	$M = \frac{5 \times q_{\bar{A}} \times W^2}{48}$, кгс.м	$\sigma = \frac{M}{W_x}$, кгс/см ²	[q _w] = $= W_m$ кгс/м ²
МП 1005	0.5	2.2	3.5	0.1	0.48	0.25q _w	0.007q _w	1.45q _w	1550
	0.6					0.3q _w	0.011q _w	2.3q _w	980
	0.7					0.35q _w	0.018q _w	3.75q _w	600
	0.823					0.411q _w	0.029q _w	6.04q _w	372
МП 2005	0.7	2.5	3.5	0.1	0.39 изменено	0.35q _w	0.018q _w	4.35q _w	520
	0.831					0.415q _w	0.029q _w	7.2q _w	312
	1.2					0.6q _w	0.09q _w	21.7q _w	103
	1.4					0.7q _w	0.143q _w	34.5q _w	65
	1.2*					0.6q _w	0.027q _w	6.5q _w	354
	1.4*					0.7q _w	0.043q _w	10.35q _w	217

* - с учетом опирания горизонтального ребра на направляющую

Несущая способность горизонтальных ребер t=1,2 мм без опирания на дополнительную направляющую приведена в таблице 83.

Таблица 83

Тип кассеты	W, м	h _{lp} , см	b _{lp} , см	t _p , см	W _x ^h , см ³	$q_{\bar{A}} = \frac{q_w \times W}{2}$, кгс/м	$M = \frac{5 \times q_{\bar{A}} \times W^2}{48}$, кгс.м	$\sigma = \frac{M}{W_x}$, кгс/см ²	[q _w] = $= W_m$ кгс/м ²
МП 1005	0.5	2.2	4.3	0.12	0.58	0.25q _w	0.007q _w	1.2q _w	1864
	0.6					0.3q _w	0.011q _w	1.9q _w	1186
	0.7					0.35q _w	0.018q _w	3.1q _w	725
	0.823					0.411q _w	0.029q _w	5.0q _w	450
МП 2005	0.7	2.5	4.3	0.12	0.465	0.35q _w	0.018q _w	3.87q _w	580
	0.831					0.415q _w	0.029q _w	6.24q _w	360
	1.2					0.6q _w	0.09q _w	19.4q _w	116
	1.4					0.7q _w	0.143q _w	30.75q _w	73

в) Вертикальное ребро кассеты

Геометрические характеристики сечения вертикального ребра приведены в таблице 5 (определенны по программе SCAD Soft - см. приложение 3)

Расчетная схема для кассет типа 2.

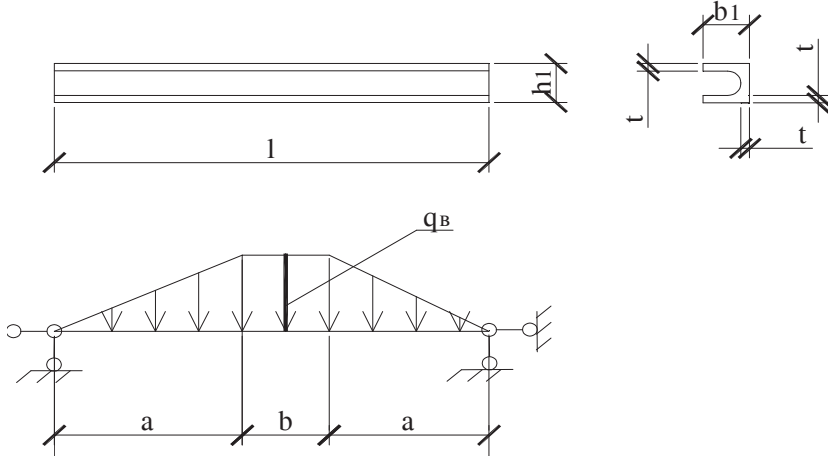


Рисунок 5

Несущая способность вертикальных ребер определена из условия: прочности сечения:

$$\sigma = \frac{M}{W_p} = R \text{ кгс/см}^2, \quad (279)$$

где: R-расчетное сопротивление принимаемое R =2250кгс/см²:

Несущая способность вертикальных ребер приведена в таблице 84.

Т а б л и ц а 84

Тип рассе- ты	W, м	H м	l _p =H м	a=0.5W или 0.5*H, м	h ₁ см	b ₁ см	t _p см	W _x ^H см ³	$q_B = \frac{q_w \times W}{2}$, кгс/м	$M = \frac{q_B l^2}{8} - \frac{q_B a}{6}$ $= \frac{q_B}{24} \times (3l^2 - 4a)$ КГС.М	$\sigma = \frac{M}{W_x^H}$ кгс/ м ²	[q _v =V] кгс/ м ²
МП 2005	0.7	0.8 47	0.847	0.35	2.5	3.5	0.1	0.39	0.35q _w	0.024q _w	6.15q _w	36
	0.831	0.831	0.831	0.416					0.416q _w	0.024q _w	6.15q _w	36
	0.831	0.8 47	0.847	0.416					0.416q _w	0.032q _w	8.2q _w	27
	0.831	0.797	0.797	0.4					0.4q _w	0.029q _w	7.48q _w	30
	1.2	0.7	0.7	0.35					0.35q _w	0.018q _w	4.58q _w	49
	1.2	0.797	0.797	0.4					0.4q _w	0.026q _w	6.79q _w	33
	1.4	0.7	0.7	0.35					0.35q _w	0.024q _w	6.15q _w	36
	1.4	0.797	0.797	0.4					0.4q _w	0.026q _w	6.79q _w	33
	1.7	0.6	0.6	0.3					0.3q _w	0.011q _w	2.88q _w	78
	1.9	0.5	0.5	0.25					0.25q _w	0.0065q _w	1.67q _w	13
МП 2005	0.7	0.8 47	0.847	0.35	2.5	4.3	0.12	0.465	0.35q _w	0.024q _w	5.16q _w	43
	0.831	0.831	0.831	0.416					0.416q _w	0.024q _w	5.16q _w	43
	0.831	0.8 47	0.847	0.416					0.416q _w	0.032q _w	6.88q _w	32
	0.831	0.797	0.797	0.4					0.4q _w	0.029q _w	6.24q _w	36
	1.2	0.7	0.7	0.35					0.35q _w	0.018q _w	3.87q _w	58
	1.2	0.797	0.797	0.4					0.4q _w	0.026q _w	5.59q _w	40
	1.4	0.7	0.7	0.35					0.35q _w	0.024q _w	5.16q _w	43
	1.4	0.797	0.797	0.4					0.4q _w	0.026q _w	5.6q _w	40
	1.7	0.6	0.6	0.3					0.3q _w	0.011q _w	2.37q _w	95

1.9	0.5	0.5	0.25				0.25q _w	0.0065q _w	1.4q _w	16
-----	-----	-----	------	--	--	--	--------------------	----------------------	-------------------	----

в) вертикальное ребро кассеты МП 1005

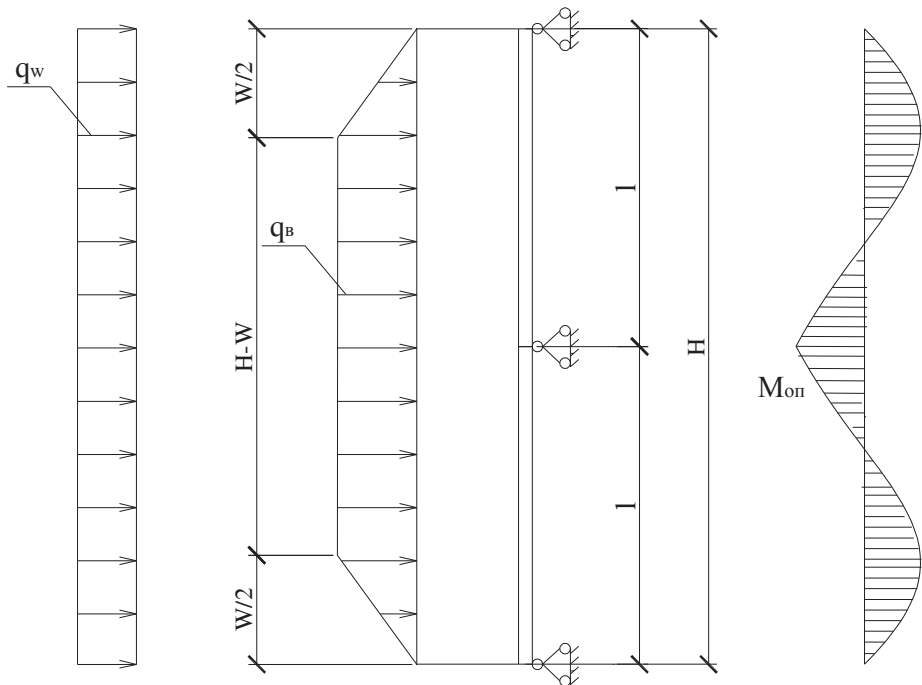


Рисунок 53

Расчетное усилие:

$$M_{on}=0.125q_B \times l^2 \quad (280)$$

$$M_{np}=0.077q_B \times l^2 \quad (281)$$

$$q_{\hat{a}} = \frac{q_w \times W}{2} \quad (282)$$

Несущая способность вертикальных ребер приведена в таблице 85.

Таблица 85

Тип кассеты	W, м	H, м	$l_p=H$, м	a= 0.5W или 0.5*H, м	h_1 , см	b_1 , см	t_p , см	W_x^H , см ³	$q_b = \frac{q_w \times W}{2}$, кгс/м	$M_{on} = 0.125q_b xl^2$, кгс.м	$\sigma = \frac{M}{W_x^H}$, кгс/см ²	$[q_v = V]$, кгс/м ²
МП 1005	0.5	1.9	0.7	0.25	2.5	3.5	0.1	0.49	0.25q _w	0.0123q _w	2.5q _w	90
	0.6	1.4	0.7	0.3					0.3q _w	0.0147q _w	3.0q _w	75
	0.6	1.7	0.6	0.3					0.3q _w	0.0108q _w	2.2q _w	10
	0.7	1.2	0.6	0.35					0.35q _w	0.0158q _w	3.21q _w	70
	0.7	1.4	0.7	0.35					0.35q _w	0.021q _w	4.38q _w	51
	0.823	0.823	0.797	0.41					0.41q _w	0.032q _w	6.64q _w	33
	0.823	1.2	0.6	0.41					0.41q _w	0.0185q _w	3.76q _w	59
	1.2	0.7	0.7	0.35					0.35q _w	0.021q _w	4.38q _w	51
	1.4	0.6	0.6	0.3					0.3q _w	0.0108q _w	2.2q _w	10
	1.7	0.6	0.6	0.3					0.3q _w	0.0078q _w	1.60q _w	14
МП 1005	0.5	1.9	0.7	0.25	2.5	4.3	0.12	0.58	0.25q _w	0.0123q _w	2.12q _w	10
	0.6	1.4	0.7	0.3					0.3q _w	0.0147q _w	2.53q _w	88
	0.6	1.7	0.6	0.3					0.3q _w	0.0108q _w	1.86q _w	12
	0.7	1.2	0.6	0.35					0.35q _w	0.0158q _w	2.72q _w	82
	0.7	1.4	0.7	0.35					0.35q _w	0.021q _w	3.62q _w	62
	0.823	0.823	0.797	0.41					0.41q _w	0.032q _w	5.52q _w	41
	0.823	1.2	0.6	0.41					0.41q _w	0.0185q _w	3.19q _w	70
	1.2	0.7	0.7	0.35					0.35q _w	0.021q _w	3.6q _w	62
	1.4	0.6	0.6	0.3					0.3q _w	0.0108q _w	1.86q _w	12
	1.7	0.6	0.6	0.3					0.3q _w	0.0078q _w	1.34q _w	16

W – ширина кассеты

H – высота кассеты

l_p – H–расчетная длина вертикального ребра

h_1 – высота сечения ребра

b_1 – ширина сечения ребра

t_p – толщина сечения ребра

q_v –расчетная равномерно распределенная нагрузка на вертикальное ребро кассеты

M – пролетный изгибающий момент

W_x^H – минимальный момент сопротивления сечения вертикального ребра

Допускаемая ветровая нагрузка па кассеты толщиной $t=1,0$ мм

Т а б л и ц а 86

Тип кассеты	HxW, мм	Расчетная ветровая нагрузка, кгс/м ²		Допускаемая ветровая нагрузка, кгс/м ²
		по прочности панели	по деформациям	
МП 1005	600x1400	125	87	87
	600x1700	125	87	87
	700x1200	96	61	61
	700x1400	92	57	57
	823x823	108	67	67
	823x1200	74	41	41
	1200x700	96	61	61
	1200x823	74	41	41
	1400x600	125	87	87
	1400x700	92	57	57
	1700x600	125	87	87
	1900x500	180	150	150
МП 2005	500x1900	180	150	150
	600x1700	125	87	87
	700x1200	96	61	61
	700x1400	92	57	57
	797x831	108	70	70
	797x1200	79	44	44
	797x1400	74	41	41
	847x700	121	83	83
	847x831	106	64	64
	831x831	106	65	65

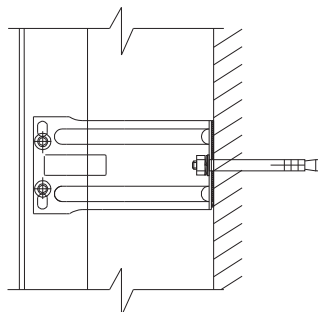
Допускаемая ветровая нагрузка па кассеты толщиной $t=1,2$ мм

Т а б л и ц а 87

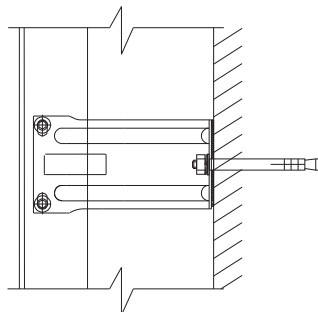
Тип кассеты	HxW, мм	Расчетная ветровая нагрузка, кгс/м ²		Допускаемая ветровая нагрузка, кгс/м ²
		по прочности панели	по деформациям	
МП 1005	600x1400	180	151	151
	600x1700	180	151	151
	700x1200	138	106	106
	700x1400	133	99	99
	823x823	156	117	117
	823x1200	106	71	71
	1200x700	138	106	106
	1200x823	106	71	71
	1400x600	180	151	151
	1400x700	132	99	99
	1700x600	180	151	151
	1900x500	259	260	259
МП 2005	500x1900	259	260	259
	600x1700	180	151	151
	700x1200	138	106	106
	700x1400	133	99	99
	797x831	188	121	121
	797x1200	112	77	77
	797x1400	106	71	71
	847x700	174	144	144
	847x831	154	110	110
	831x831	154	113	113

7. Применение систем «Металл Профиль» при материале стены с плотностью менее 600 кгс/м³

7.1. При стенах с малой плотностью возможно применение выше приведенных систем при условии переноса нагрузки от веса облицовки и гололеда на кронштейны, опирающиеся на железобетонные пояса (плиты перекрытия), эти кронштейны называются несущими и направляющая к кронштейну прикрепляется через тело кронштейна.



7.2. Кронштейны промежуточные, которые воспринимают только ветровую нагрузку, называются опорными – направляющая к ним прикрепляется через овальные отверстия в кронштейне.

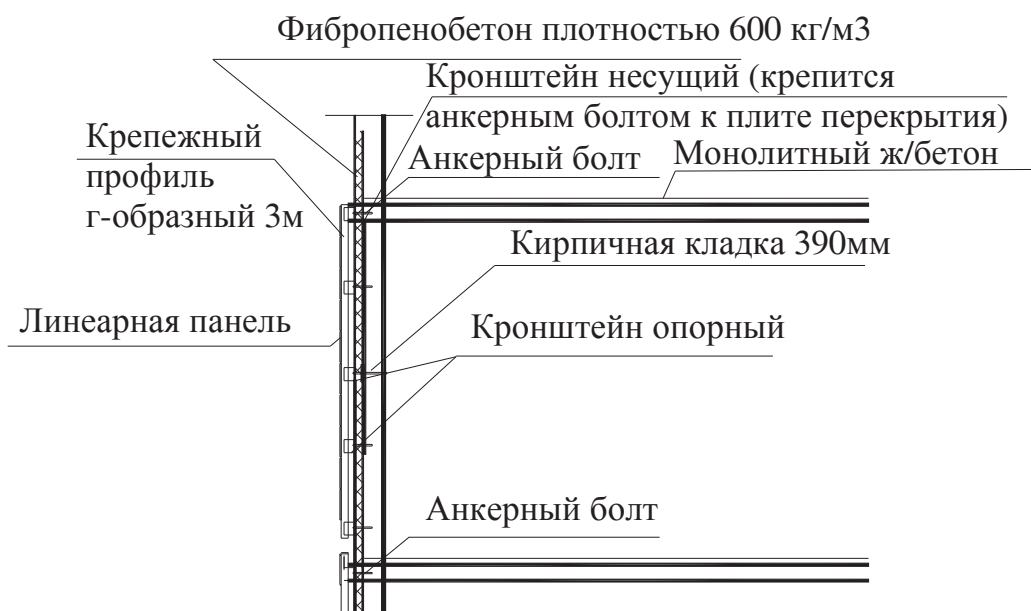


7.3 Анкерные болты, закрепляющие несущий кронштейн к бетонному основанию должны быть рассчитаны по формулам приведенным выше (раздел 4) на вертикальные нагрузки от веса облицовки и гололедной нагрузки полученные с площади равной шагу направляющей умноженной на половину длины направляющей (при опирании направляющей на два бетонных перекрытия) или на длину направляющей при опирании на одно перекрытие, и ветровой нагрузки полученной с площади равной: шагу направляющей умноженной на половину пролета направляющей (расстояния между кронштейнами).

7.4 Анкерные болты, закрепляющие опорный кронштейн к стене должны быть рассчитаны на максимальную опорную реакцию от ветровой нагрузки.

7.5 Направляющая и кронштейны рассчитываются по формулам приведенным выше (раздел 4), с учетом распределения нагрузок полученных из условия п.п. 7.3; 7.4.

7.6. Пример подбора каркаса системы 1 «Металл Профиль»



Общие данные

5. Район строительства г. Ростов на Дону
6. Высота здания 60м
7. Ветровой район III $W_o=38 \text{ кгс/м}^2$ (Тип местности B)
8. Гололедный район III (толщина стенки гололеда с двух сторон по 10мм)
9. Стена строящегося здания – кирпич
10. перекрытие строящегося здания - бетон B25.
11. Вылет подконструкции от стены здания – 230мм.

Принимаем для расчета систему 1

Составляющие системы:

1. Направляющие КПГ-60*44 ($t=1.2\text{мм}$). Расположение вертикальное.
2. Кронштейны – ККУ-230 ($t=1.2\text{мм}$), расположенные полкой вертикально.
3. Облицовка – линеарные панели
4. Анкерный дюбель HILTI 10мм L=120 мм либо MUNGO10мм L=120 мм

Расчетные нагрузки:

1. Собственный вес облицовки:

$$G_n = G_n^H * \gamma_n$$

$$G_n = 7,0 * 1,05 = 7,4 \text{ кгс/м}^2$$

$$2. \text{ Собственный вес направляющей } G_{\text{нап}} = G^H_{\text{нап}} * \gamma_n = 0,74 * 1,05 = 0,78 \text{ кгс/м};$$

Расчетная нагрузка от собственного веса облицовки и направляющей
 $P = G_n * a * b + G_{\text{нап}} * b = 7,4 * 0,6 * 3,15 + 0,78 * 3,15 = 16,5 \text{ кгс}$

Где:

- G_n – вес м^2 облицовки

- a – шаг направляющих равный 0,6м;

- b – общая длина направляющей (расстояние между плитами перекрытия), м

3. Ветровая нагрузка:

А) Расчетная ветровая нагрузка

Угол здания (полоса шириной $0,1 * b_{\min}$, где: b_{\min} – минимальная ширина здания)

$$w_{+(-)} = w_0 * k(z_e) * [1 + \zeta(z_e)] c_{p,+(-)} * v_{+(-)} * \gamma_f = 38 * 1,3 * (1 + 0,74) * (-2,2) * 1 * 1,4 = -264,7 \text{ кгс/м}^2$$

Рядовая часть здания

$$w_{+(-)} = w_0 * k(z_e) * [1 + \zeta(z_e)] c_{p,+(-)} * v_{+(-)} * \gamma_f = 38 * 1,3 * (1 + 0,74) * (-1,2) * 1 * 1,4 = -144,4 \text{ кгс/м}^2$$

4 Гололедная нагрузка

Расчетная нагрузка от гололеда

$$P_{\text{гол.}} = 2 * i * a * b = 2 * 11,9 * 0,6 * 3,15 = 45,0 \text{ кгс}$$

Где:

i – расчетная нагрузка от гололеда

$$i = \gamma_f * b * k * \mu_2 * \rho, \text{ кгс/м}^2$$

$$i = 1,3 * 0,01 * 1,7 * 0,6 * 900 = 11,9 \text{ кг/м}^2$$

- a – шаг направляющих, м

- b – общая длина направляющей (расстояние между плитами перекрытия), м

- 2 – количество плоскостей обледенения

Подбор пролета (расстояние между кронштейнами) направляющей.

1. Определяем требуемый пролет направляющей из условия несущей способности опорного кронштейна .

Для угловой части здания:

$$Q_{\text{оп}} = 1,143 * q_w * l = 1,143 * 148,1 * 1 = 169,2 \text{ кгс*м}$$

$$q_w = W_m * a * k_{\text{неп}} = 246,7 * 0,6 * 1,0 = 148,1 \text{ кг/м}$$

$$-\frac{R_y}{\gamma_n} = \frac{Q_w}{A} + \frac{M_2}{W_2}; \frac{R_y}{\gamma_n} = \frac{Q_w}{A} + \frac{Q_w * e_2}{W_2}$$

$$R_y = 2250 \text{ кгс/м}^2; \gamma_n = 1,0;$$

- $e_1 = 205 \text{мм} = 20,5 \text{см}$;

- $e_2 = 20,2 \text{мм} = 2,02 \text{см}$

$$W_2 = 0,118 \text{ см}^3; A = 1,124 \text{ см}^2$$

$$\frac{2250}{1} = \frac{169,2 \times l}{1,124} + \frac{169,2 \times l \times 2,02}{0,118};$$

$$2250 = 150,5 \times l + 2896,5 \times l;$$

$$l = \frac{2250}{3047,0} = 0,74 \text{м} = 700 \text{мм}$$

$$\sigma_2 = \frac{M_3}{W_3} \leq \frac{R_y}{\gamma_n}$$

$$\frac{R_y}{\gamma_n} = \frac{M_3}{W_3}; \frac{R_y}{\gamma_n} = \frac{Q_w \times e_3}{W_3}$$

$$R_y = 2250 \text{kгс/м}^2; \gamma_n = 1,0;$$

- $e_1 = 205 \text{мм} = 20,5 \text{см}$;

- $e_3 = 19,2 \text{мм} = 1,92 \text{см}$

$$Q_W = 1,143 \times q_w \times l = 1,143 \times 148,1 \times l = 169,2 \text{kгс*м}$$

$$q_w = W_m \times a \times k_{\text{неп}} = 246,8 \times 0,6 \times 1,0 = 148,1 \text{kг/м}$$

$$W_2 = 0,106 \text{ см}^3; A = 0,992 \text{ см}^2$$

$$\frac{2250}{1} = \frac{169,2 \times l \times 1,92}{0,106};$$

$$2250 = 3064,8 \times l;$$

$$l = \frac{2250}{3064,8} = 0,73 \text{м} = 700 \text{мм}$$

3. Определяем требуемый пролет направляющей из условия несущей способности анкера на вырыв .

3.1. Опорный кронштейн

$$Q_W = 1,143 \times q_w \times l = 1,143 \times 148,1 \times l = 169,3 \text{kгс*м}$$

$$q_w = W_m \times a \times k_{\text{неп}} = 246,8 \times 0,6 \times 1,0 = 148,1 \text{kг/м}$$

$$-e_2 = 20,2 \text{мм} = 2,02 \text{см}$$

$$-e_5 = 40,0 \text{мм} = 4,0 \text{см}$$

$$-e_3 = (20,2 + 0,6) - 40 = 19,2 \text{мм} = 1,92 \text{см}$$

$$N_2 = \frac{169,3 \times l \times (4 + 1,92)}{3,9} = 257,0 \times l, \text{ кгс} \times \text{м}$$

Кирпичная кладка

N_{отр.}= 150 кгс для дюбеля фасадного MB-SS 10мм L=120 мм (MUNGO).

Пенобетон

N_{отр.}= 60 кгс для дюбеля фасадного MB-SS 10мм L=120 мм (MUNGO)

Кирпичная кладка

$$N_2 = N_{omp.}$$

$$257,0 \times l = 150$$

$$l = \frac{150}{257,0} = 0,58\text{м}$$

Пенобетон

$$N_2 = N_{omp.}$$

$$257,0 \times l = 60$$

$$l = \frac{60}{257,0} = 0,23\text{м}$$

3.2.Несущий кронштейн:

$$N_1 = \frac{P^*(e_1 + 1)}{e_4} - \text{усилие вырыва от вертикальной нагрузки } P;$$

Где: P_{пол.}=i*a*b = 11,9*0,6*3,15=22,5кгс

$$P = G_{\pi} * a * b + G_{\text{нап.}} * b + \psi * 2 * i * a * b = 7,4 * 0,6 * 3,15 + 0,78 * 3,15 + 0,9 * 2 * 11,9 * 0,6 * 3,15 = 57,0 \text{ кгс}$$

-e₁=205мм=20,5 см;

-e₄=40,0мм= 4,0 см

$$N_1 = \frac{57,0 \times (20,5 + 1,5)}{4,0} = 313,5 \cdot \text{кгс}$$

$$Q_W = 0,25 * 0,5 * q_w * l = 0,25 * 0,5 * 148,1 * l = 18,5 * l \text{ кгс} * \text{м}$$

$$q_w = W_m \times a \times k_{\text{неп.}} = 246,8 * 0,6 * 1,0 = 148,1 \text{ кг/м}$$

-e₂=20,2мм= 2,02 см

-e₅=40,0мм= 4,0 см

-e₃=19,2мм= 1,92 см

$$N_2 = \frac{18,5 \times l \times (4 + 1,92)}{4,0} = 27,4 \times l, \text{ кгс} \times \text{м}$$

Анкер дюбель HRL UGS 10x100/30U по данным ТС для бетона

N_д =180кгс

$$N_1 + N_2 = N_{\text{omp.}}$$

313,5 + 27,4 × l > 180, т.к. **N_{отр}>N_д**, то **необходимо устанавливать 2 опорных**

кронштейна на одно крепление.

Вывод: пролет направляющей (шаг кронштейнов) для угловой части здания определяется несущей способностью вырыва анкера и равен:

- для кирпичной кладки 600 мм, при этом грузовая площадь $A=a*l=0,6*0,6=0,36 \text{ м}^2$;

Принимаем расчетную схему направляющей – пятипролетная схема с пролетами

$$\text{(расстояние между кронштейнами) } l=570\text{мм, тогда } a = \frac{A}{l \times k_{\text{нep}}} = \frac{0,36}{0,57 \times 1,0} = 0,63m$$

(максимальный шаг направляющих)

- для пеноблоков - 240 мм, при этом грузовая площадь $A=a*l=0,6*0,24=0,144 \text{ м}^2$;

Принимаем расчетную схему направляющей – пятипролетная схема с пролетами

$$\text{(расстояние между кронштейнами) } l=570\text{мм, тогда } a = \frac{A}{l \times k_{\text{нep}}} = \frac{0,144}{0,57 \times 1,0} = 0,25m$$

7.6 При стенах с малой плотностью возможно применение выше приведенных систем при условии переноса нагрузки от веса облицовки и гололеда на кронштейны, а также ветровой нагрузки только на кронштейны, закрепленные на бетонных поясах (плитах перекрытия)

7.7 При данном применении систем направляющая работает как разрезная однопролетная балка с опорами на железобетонных перекрытиях. Сечение направляющей, как однопролетной балки, необходимо увеличить по сравнению с выше принятыми. Возможно, применение тавровой направляющей состоящей из двух направляющих марки КПГ 60x44x3000, или коробчатого типа из двух марок КПШ 90x20, соединенных между собой самонарезающими винтами или заклепками по стенке.

7.8 Кронштейны и анкерные дюбеля подбираются по выше приведенным формулам (раздел 4) на вертикальные нагрузки от веса облицовки и гололедной нагрузки полученные с площади равной шагу направляющей умноженной на половину длины

направляющей (при опирании направляющей на два бетонных перекрытия), и ветровой нагрузки полученной с этой же площади.

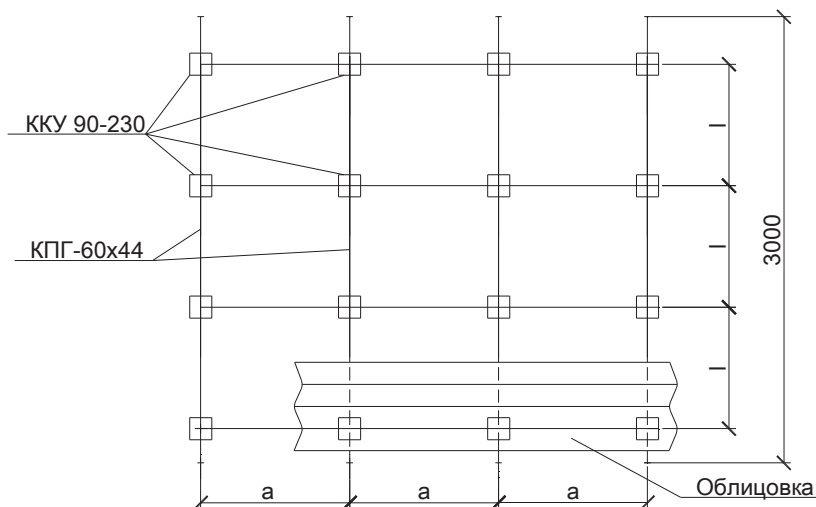
Список литературы

1. СП20.13330.2011 «СНиП 2.01.07-85*Нагрузки и воздействия»;
2. СП16.13330.2011 «СНиП II-23-81*Стальные конструкции»;
3. ISO 15983:2002(E) Вытяжные заклёпки с открытым торцом, отрывным стержнем и выступающим бортиком –A2/A2.
4. ISO 15979:2002(E) Вытяжные заклёпки с открытым торцом, отрывным стержнем и выступающим бортиком – St /St.
5. СТО 0065-2011 Винты самонарезающие и самосверлящие «HARPOON» для крепления стеновых и кровельных конструкций из стального оцинкованного холоднокатаного листа. Проектирование, изготовление, монтаж. ЗАО 2ЦНИИПСК им. Мельникова, Московский Государственный Строительный Университет, ООО «Глобал Ривет Инжиниринг».
6. Временные рекомендации по назначению нагрузок и воздействий, действующих на многофункциональные высотные здания и комплексы в Москве МДС 20-1.2006, Москва 2006г.

Приложение 1

к рекомендациям по расчету и проектированию несущих конструкций навесной системы « Металл Профиль»
(справочный материал для предварительного подбора шагов и пролетов элементов каркаса. Выбранное условие проверяется в соответствии с примерами, приведенными в данной методике. При этом , обратить внимание на вырывы дюбеля из стены строящегося здания.)

Область применения системы 1 (ВФ МП СК-ЛП-СВ-ПЛ- направляющая КПГ-60x44x3000 t=0,9мм; кронштейн ККУ-90 - ККУ-230 t=1,2мм направляющая и кронштейн расположены вертикально)



Допускаемые нагрузки в системе 1

Таблица 1.1

Шаг направл яющих, м	Пролет направ ляющи х, м	Расчетные ветровые нагрузки кгс/м ² для элементов каркаса и облицовки			Максимальные расчетные ветровые нагрузки, кгс/м ²	Усилие вырыва анкера из стены, кгс	
		Облицовка МП СВ- 16x307	КПГ- 60x44x3000 t=0,9мм	ККУ-90 -ККУ- 230 t=1,2мм		Для ККУ-150	Для ККУ-230
0,6	0,5	461	317	300	300	184	192
	0,6		367	250	250	191	210
	0,7		227	211	211	199	225
	0,9		114	169	114	156	187
0,75	0,5	295	252	239	239	186	202
	0,6		292	198	198	198	221
	0,7		180	168	168	206	240
	0,9		91	134	91	166	195
0,9	0,5	205	209	198	198	189	208
	0,6		242	164	164	202	232
	0,7		149	139	139	218	256
	0,9		75	111	75	176	220

Допускаемые нагрузки в системе1 с удлинителем t=1,2мм
Таблица 1.1.1

Шаг направляющих, м	Пролет направляющих x, м	Расчетные ветровые нагрузки кгс/м ² для элементов каркаса и облицовки				Допускаемые ветровые нагрузки, кгс/м ²	Усилие вырыва анкера из стены, кгс	
		Облицовка МП СВ-16x307	КПГ-60x44x3000 t=0,9мм	ККУ-90 - ККУ-230 t=1,2мм	Удлинитель t=1,2мм		Для ККУ-150	Для ККУ-23
0,6	0,5	461	317	297	658	297	193	203
	0,6		360	240	548	240	198	212
	0,7		221	208	465	208	213	232
	0,9		114	166	375	114	195	220
0,75	0,5	295	252	236	526	236	198	210
	0,6		292	195	438	195	214	233
	0,7		180	165	371	165	222	245
	0,9		91	130	299	91	211	240
0,9	0,5	205	209	196	438	196	207	223
	0,6		242	162	364	162	220	243
	0,7		149	136	309	149	235	263
	0,9		75	108	246	75	327	378

Расчетное усилие вырыва, полученное при испытании на стене строящегося здания должно превышать усилие, приведенное в таблице 1.1.

Максимальные расчетные нагрузки, приведенные в таблице 1.1, сравниваются с данными таблиц 9...11 данной методики и, таким образом, определяется область применения данной системы для ветрового района и высоты здания.

Например: здание возводимое в г. Москва (III ветровой район) высотой 65м, тип местности В.

Расчетная ветровая нагрузка (по табл. 10):

-в центральной части здания – 148,0 кгс/м²;

Шаг направляющих – 0,9 м , пролет направляющих (расстояние между кронштейнами)

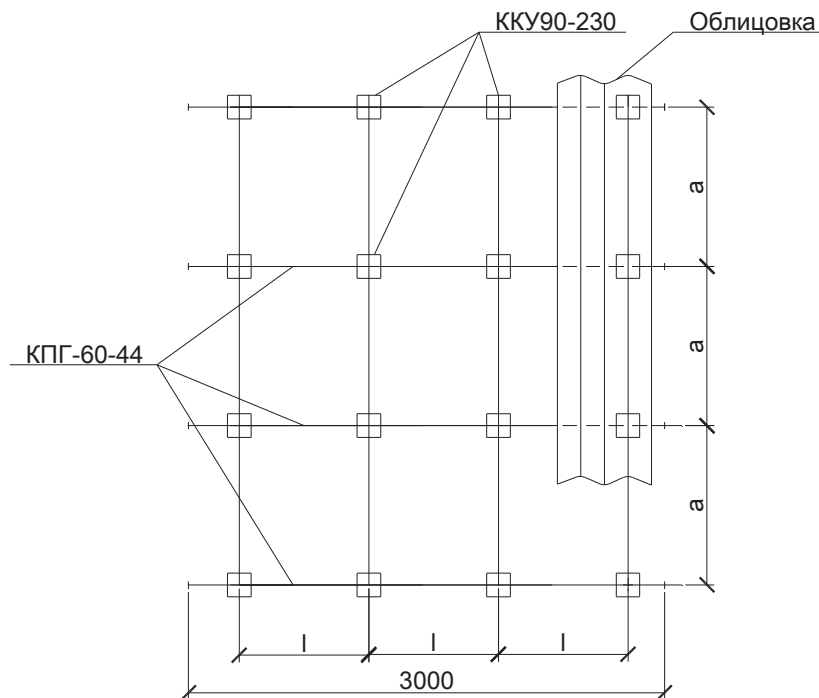
0,7м – четырехпролетная схема- расчетная ветровая нагрузка(по табл. 1.1):

- 149 кгс/м²> 148,0 кгс/м² (удовлетворяет).

- в угловой части здания – 271,0 кгс/м²

Шаг направляющих – 0,6 м , пролет направляющих (расстояние между кронштейнами) 0,5м – пятипролетная схема- расчетная ветровая нагрузка(по табл. 1.1):
- 297 кгс/м²> 271,0 кгс/м² (удовлетворяет)

Область применения системы 2 (ВФ МП СК-ЛП-СВ-ПЛ- направляющая КПГ-60x44x3000 t=1,2мм; кронштейн ККУ-90 - ККУ-230 t=1,2мм направляющая и кронштейн расположены горизонтально)



Допускаемые нагрузки в системе 2

Таблица 1.2

Шаг направляющих, м	Пролет направляющими x, м	Расчетные ветровые нагрузки кгс/м ² для элементов каркаса и облицовки			Допускаемые ветровые нагрузки, кгс/м ²	Усилие вырыва анкера из стены, кгс	
		Облицовка МП СВ-16x307	КПГ-60x44x3000 t=1,2мм	ККУ-90-ККУ-230 t=1,2мм		Для ККУ-150	Для ККУ-230
0,6	0,5	461	265	399	265	159	172
	0,6		181	269	181	140	156
	0,7		127	213	127	125	143
0,75	0,5	295	210	257	210	162	178
	0,6		143	197	143	145	164
	0,7		100	152	100	133	156
0,9	0,5	205	174	199	174	168	187
	0,6		118	150	118	151	174
	0,7		82	112	82	140	166

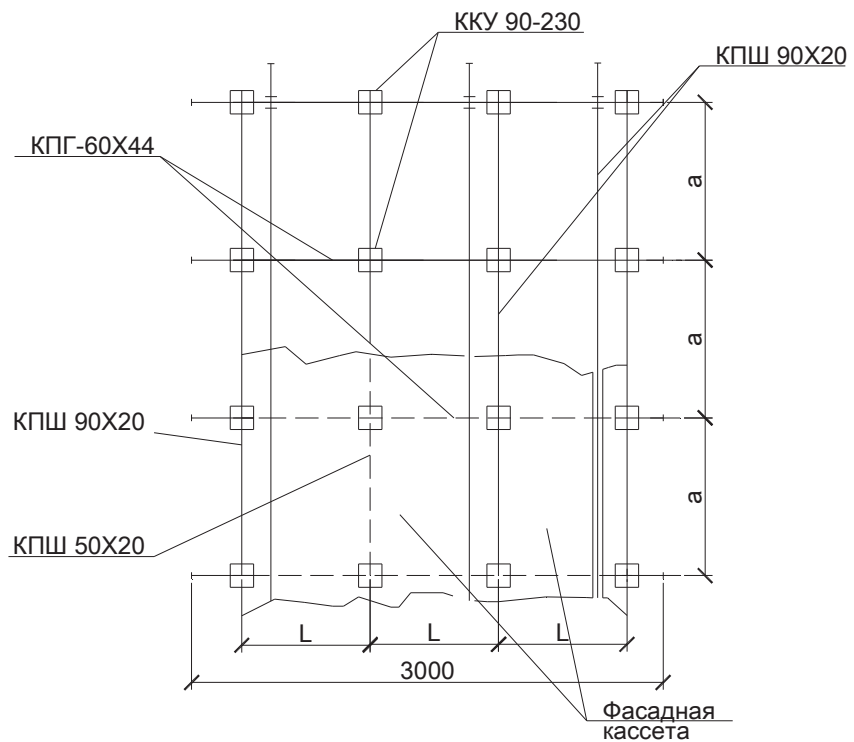
Расчетное усилие вырыва, полученное при испытании на стене строящегося здания должно превышать усилие, приведенное в таблице 1.2.

Допускаемые нагрузки в системе 2 с удлинителем t=1,2мм

Таблица 1.2.1

Шаг направляющих, м	Пролет направляющих, м	Расчетные ветровые нагрузки кгс/м ² для элементов каркаса и облицовки				Допускаемые ветровые нагрузки, кгс/м ²	Усилие вырыва анкера из стены, кгс		
		Облицовка МП СВ-16x307	КПГ-60x44x3000 t=1,2мм	ККУ-90 - ККУ-230 t=1,2мм	Удлинитель t=1,2мм		Для ККУ-150	Для ККУ-230	
0,6	0,5	461	265	297	568	265	178	194	
	0,6		181	217	462	181	162	180	
	0,7		127	161	382	127	153	176	
0,75	0,5	295	210	206	443	206	183	186	
	0,6		143	147	358	143	172	178	
	0,7		100	102	294	100	166	174	
0,9	0,5	205	174	149	360	149	167	173	
	0,6		118	100	296	100	156	166	
	0,7		82	63	225	63	137	145	

Область применения системы 3 (МП 1005; МП 2005 - направляющая КПГ-60x44x3000 t=1,2мм; кронштейн ККУ-90 - ККУ-230 t=1,2мм (направляющая и кронштейн расположены горизонтально); направляющая КПШ-90x20x3000 t=1,2мм; КПШ-50x20x3000 t=1,2мм – расположенные вертикально.

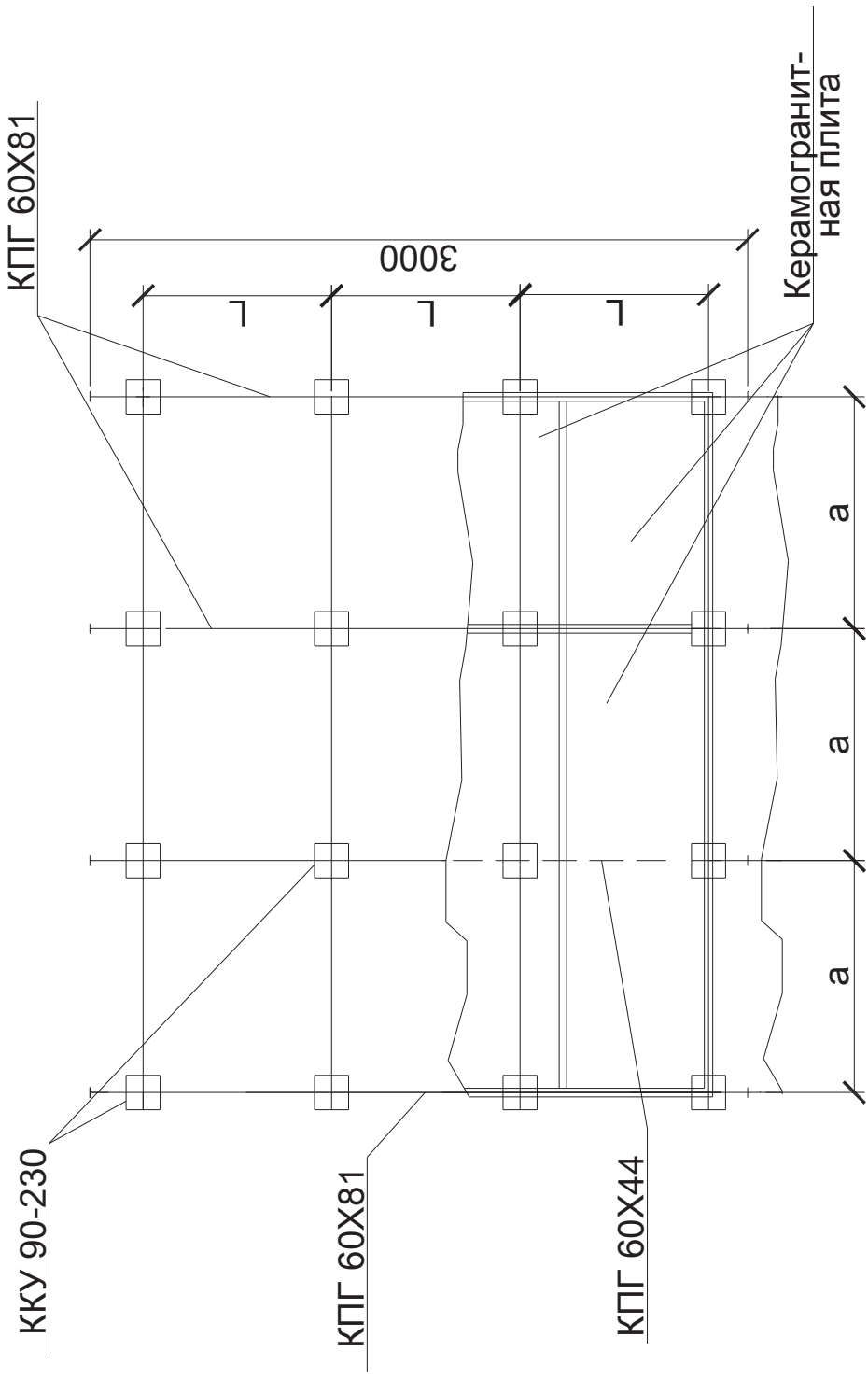


Допускаемые нагрузки в системе 3
Таблица 3

Горизонтальных направляющих, м	Шаг пролет направляющих, м	Пролет направляющих, м	Расчетные ветровые нагрузки кгс/м ² для элементов каркаса и облицовки				Допускаемые ветровые нагрузки, кгс/м ²	Усилие вырыва анкера из стены, кгс	
			Фасадная кассета		KПШ90x20 t=1,2мм	KПШ50x20 t=1,2мм			
			MП 1005 НxW	Нагрузка, кгс/м ²	60x44x3000 t=1,2мм	KПГ-90 ККУ-230 t=1,2мм			
0,6	0,5	1900x500	259	982	-	147	359	147	99
		700x1200	106	817	555	97	263	97	86
		700x1400	99	700	477	70	199	70	82
0,75	0,5	1900x500	259	617	-	116	195	116	101
		700x1200	106	513	350	76	132	76	91
		700x1400	99	439	300	55	90	55	84
0,9	0,5	1900x500	259	458	-	95	105	95	105
		700x1200	106	381	260	62	60	60	120
		700x1400	99	327	223	45	30	30	110
0,7	0,7	700x1400	99	-	-	-	-	-	-

Сечение кронштейна необходимо проверить на сочетание с гололедной нагрузкой.

Область применения системы 4 (Керамогранитная плитка - направляющая КПГ-60x44x3000 t=1,2мм; кронштейн ККУ-90 - ККУ-230 t=1,2мм (направляющая и кронштейн расположены вертикально).



Допускаемые нагрузки в системе 4
Таблица 4

Размер плитки HxW, мм	Шаг направляющих, м	Пролет направляющих, м	Расчетные ветровые нагрузки кгс/м ² для элементов каркаса			Допускаемое ветровое усилие на анкера из стены, кгс
			Кляммер t=1,0мм	КПГ-60x44x3000 t=1,2мм	ККУ-90 - ККУ-230 t=1,2мм	
600x600	0,5	0,6	427	318	166	126
	0,6		296	262	166	152
	0,7		221	220	166	178
	0,9		128	174	128	212
	0,5	0,6	342	253	133	173
	0,6		133	237	210	126
	0,7		177	176	133	152
	0,9		102	139	102	180
					173	205

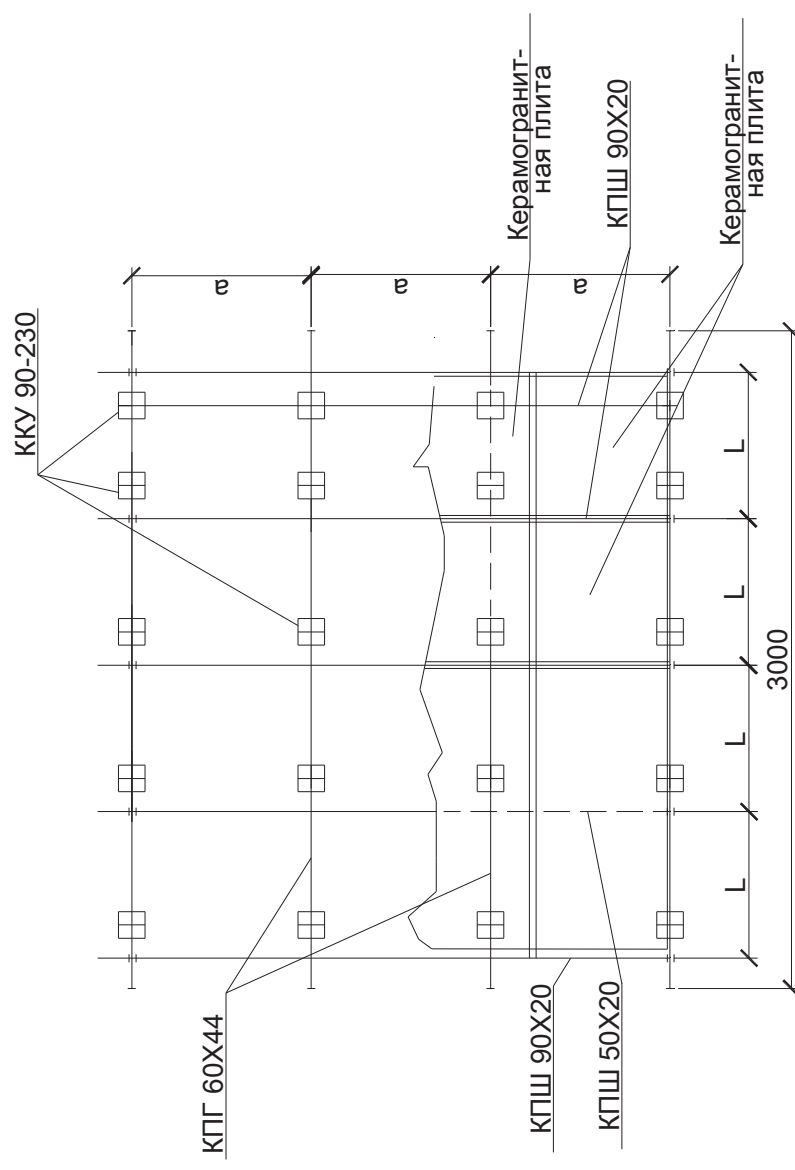
Допускаемые нагрузки в системе 4
Таблица 4

Размер плитки HxW, мм	Шаг направляющих, м	Пролет направляющих, м	Расчетные ветровые нагрузки кгс/м ² для элементов каркаса			Допускаемое ветровое усилие наружки, кгс/м ²	Усилие вырыва анкера из стены, кгс
			Кляммер t=1,2мм	КПГ-60x44x3000 t=1,2мм	ККУ-90 - ККУ-230 t=1,2мм		
600x600	0,5	0,6	427	318	261	269	326
	0,6		296	262	261	326	403
	0,7		261	221	220	307	388
	0,9		128	174	128	226	292
	0,5	0,6	342	253	210	272	330
	0,6		210	237	210	331	409
	0,7		177	176	177	311	393
	0,9		102	139	102	227	293

Допускаемые нагрузки в системе 4
Таблица 4.1

Размер плитки HxW, мм	Шаг направляющих, м	Пролет направляющих, м	Расчетные ветровые нагрузки кгс/м ² для элементов каркаса			Допускаемое ветровые нагрузки, кгс/м ²	Усилие вырыва анкера из стены, кгс
			Кляммер t=1,0мм	КПГ-60x44x3000 t=1,2мм	ККУ-90 ККУ-230 t=1,2мм		
600x600	0,5	0,5 0,6 0,7 0,9	486	318	68	70	85
	0,6		338	262	68	85	105
	0,7		251	220	68	95	120
	0,9		146	174	68	120	155
	0,6	0,5 0,6 0,7 0,9	389	253	54	70	85
	0,5		270	210	54	85	105
	0,6		201	176	54	95	120
	0,7		117	139	54	120	155

Область применения системы 5 (Керамогранитная плитка ;горизонтальная плитка ;направляющая КПГ-60x44x3000 t=1,2мм; кронштейн ККУ-90 - ККУ-230 t=2,0мм (направляющая и кронштейн расположены горизонтально); направляющая КПШ-90x20x3000 t=1,2мм; КПШ-50x20x3000 t=1,2мм – расположенные вертикально.



Допускаемые нагрузки в системе 5
Таблица 5

Размер плитки HxW, мм	Шаг направляющих, м	Пролет направляющих, м	Расчетные ветровые нагрузки кгс/м ² для элементов каркаса				Допускаемое ветровые нагрузки, кгс/м ²	Усилие вырыв анкера из стены, кгс	
			Кляммер t=1,2мм	КПШУ90х20 t=1,2мм	КПШУ50х20 t=1,2мм	КПГ-60х44х3000 t=1,2мм			
600x600	0,5	0,5	1177	-	427	510	261	207	24
		0,6	817	-	296	378	261	249	29
		0,7	589	-	221	198	198	238	28
		0,9	381	-	128	53	53	137	18
		0,6	1177	965	342	408	210	167	20
	0,9	0,5	817	558	237	302	210	200	23
		0,6	210	350	177	159	159	191	23
		0,7	589	381	260	102	43	43	18
		0,9	381	260	102	43	43	137	18

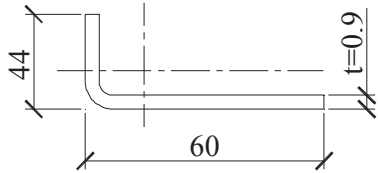
Сечение кронштейна необходимо проверить на сочетание с гололедной нагрузкой.

Допускаемые нагрузки в системе 5
Таблица 5.1

Размер плитки HxW,мм	Шаг направляющих, м	Пролет направляющих, м	Расчетные ветровые нагрузки кгс/м ² для элементов каркаса				Допускаемые ветровые нагрузки, кгс/м ²	Усилие вырывания анкера из стекла, кгс	
			Кляммер t=1,0мм	КПШУ90х20 t=1,2мм	КПШУ50х20 t=1,2мм	КПГ-60х44х3000 t=1,2мм			
600x600	0,5	0,5	1177	-	427	509	161	178	22*
			817	-	296	378	161	213	26(
			589	-	221	198	161	272	34(
			381	-	128	53	53	137	18(
			1177	965	342	408	133	185	232
	0,6	0,6	133	817	558	237	302	133	222
			589	350	177	159	133	285	35(
			381	260	102	43	43	137	18(
			0,9						

Приложение 2
(Геометрические характеристики сечений)

Сечение направляющей КПГ-60x44x3000x0,9



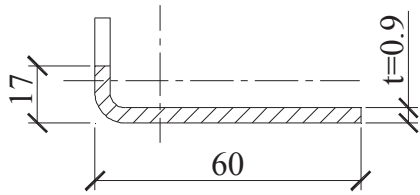
Материал: оцинкованная сталь 08пс.

$$R_y = 2250 \text{ кгс/см}^2$$

Принимаемое расчетное сечение

a) при отсосе

Сжатая зона на опоре



Эффективная ширина полки при расчете профиля по несущей способности:

$$b_{ef} = \rho * b_p ;$$

при относительной гибкости стенки $\bar{\lambda}_p \leq 0,673 \cdot \rho = 1$

$$\text{при относительной гибкости стенки } \bar{\lambda}_p > 0,673 \cdot \rho = \frac{1 - \frac{0,22}{\bar{\lambda}_p}}{\bar{\lambda}_p};$$

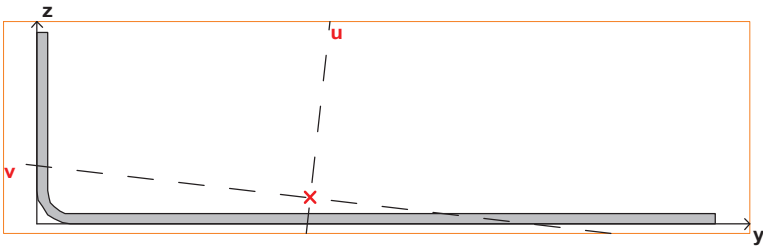
$$\text{где: } \bar{\lambda}_\delta = 0,75 * \frac{b_\delta}{t} * \sqrt{\frac{(3 + \psi) * R_\delta}{A}}$$

$$\psi = \frac{\sigma_2}{\sigma_1} = \frac{1,2}{3,2} = 0,375$$

$$\bar{\lambda}_p = 0,75 * \frac{4,4}{0,09} * \sqrt{\frac{3,75 * 2250}{2,1 * 10^6}} = 2,32$$

$$\rho = \frac{1 - \frac{0,22}{\bar{\lambda}_p}}{\bar{\lambda}_p} = \frac{1 - \frac{0,22}{2,32}}{2,32} = 0,39$$

$$b_{ef} = \rho * b = 0,39 * 4,4 = 1,7 \text{ см}$$

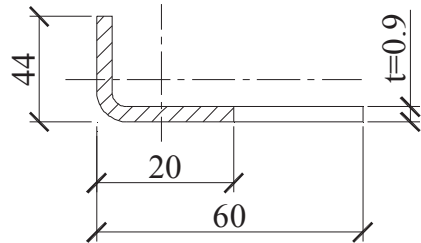


Геометрические характеристики сечения

	Параметр	Значение	
A	Площадь поперечного сечения	0,6750383	см ²
A _{v,y}	Условная площадь среза вдоль оси Y	0,0830313	см ²
A _{v,z}	Условная площадь среза вдоль оси Z	0,4606651	см ²
α	Угол наклона главных осей инерции	83,288	град
I _y	Момент инерции относительно центральной оси Y1 параллельной оси Y	0,1137509	см ⁴
I _z	Момент инерции относительно центральной оси Z1 параллельной оси Z	2,5614547	см ⁴
I _t	Момент инерции при свободном кручении	0,0017454	см ⁴
I _w	Секториальный момент инерции	0,004173	см ⁶
i _y	Радиус инерции относительно оси Y1	0,4105	см
i _z	Радиус инерции относительно оси Z1	1,947956	см
W _{u+}	Максимальный момент сопротивления относительно оси U	0,7225537	см ³
W _{u-}	Минимальный момент сопротивления относительно оси U	1,0120224	см ³
W _{v+}	Максимальный момент сопротивления относительно оси V	0,0666605	см ³
W _{v-}	Минимальный момент сопротивления относительно оси V	0,1673865	см ³
W _{pl,u}	Пластический момент сопротивления относительно оси U	1,1661886	см ³
W _{pl,v}	Пластический момент сопротивления относительно оси V	0,1714324	см ³
I _u	Максимальный момент инерции	2,5958289	см ⁴
I _v	Минимальный момент инерции	0,0793767	см ⁴
i _u	Максимальный радиус инерции	1,960983	см
i _v	Минимальный радиус инерции	0,3429118	см
a _{u+}	Ядровое расстояние вдоль положительного направления оси Y(U)	0,0987507	см
a _{u-}	Ядровое расстояние вдоль отрицательного направления оси Y(U)	0,2479659	см
a _{v+}	Ядровое расстояние вдоль положительного направления оси Z(V)	1,0703892	см
a _{v-}	Ядровое расстояние вдоль отрицательного направления оси Z(V)	1,4992074	см
y _M	Координата центра масс по оси Y	2,4094718	см
z _M	Координата центра масс по оси Z	0,2280622	см
S _w	Секториальный статический момент	0	см ⁴
Y _b	Координата центра изгиба по оси Y	0,0775649	см
Z _b	Координата центра изгиба по оси Z	0,0450706	см
P	Периметр	15,1874858	см
P _i	Внутренний периметр	0	см
P _e	Внешний периметр	15,1874858	см
I ₁	Момент инерции I _y в глобальной системе координат	4,0327224	см ⁴
I ₂	Момент инерции I _z в глобальной системе координат	2,5965651	см ⁴
I ₁₂	Момент инерции I _{yz} в глобальной системе координат	0,0788454	см ⁴
I _p	Полярный момент инерции	2,6752056	см ⁴
i _p	Полярный радиус инерции	1,9907393	см
W _p	Полярный радиус сопротивления	0,0020668	см

Габариты сечения 60x17 мм

Сжатая зона в пролете.



Эффективная ширина полки при расчете профиля по несущей способности:

$$b_{ef} = \frac{\rho}{1-\psi} * b_{\delta};$$

$$\psi = \frac{\sigma_2}{\sigma_1} = \frac{1,6}{4,4} = 0,364$$

при относительной гибкости стенки $\bar{\lambda}_p \leq 0,673 \cdot \rho = 1$

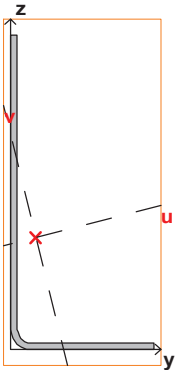
$$\text{при относительной гибкости стенки } \bar{\lambda}_p > 0,673 \cdot \rho = 1 - \frac{0,22}{\bar{\lambda}_p};$$

$$\text{где: } \bar{\lambda}_p = 1,3 * \frac{b_p}{t * (1-\psi)} * \sqrt{\frac{R_y}{E}}$$

$$\bar{\lambda}_p = 1,3 * \frac{6,0}{0,09 * (1-0,364)} * \sqrt{\frac{2250}{2,1 * 10^6}} = 4,45$$

$$\rho = \frac{1 - \frac{0,22}{\bar{\lambda}_p}}{1 - \frac{0,22}{4,45}} = \frac{1 - \frac{0,22}{4,45}}{4,45} = 0,214$$

$$b_{ef} = \frac{\rho}{1-\psi} * b_p = \frac{0,214}{1-0,364} * 6 = 2,0 \text{ см};$$



Геометрические характеристики сечения

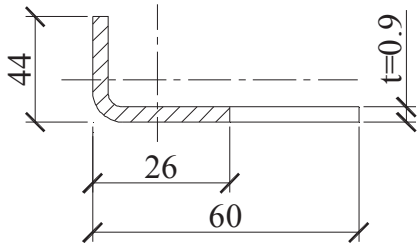
	Параметр	Значение	
A	Площадь поперечного сечения	0,5580383	см^2
A _{v,y}	Условная площадь среза вдоль оси Y	0,1243625	см^2
A _{v,z}	Условная площадь среза вдоль оси Z	0,3236901	см^2
α	Угол наклона главных осей инерции	13,89	град
I _y	Момент инерции относительно центральной оси Y1 параллельной оси Y	1,1717656	см^4
I _z	Момент инерции относительно центральной оси Z1 параллельной оси Z	0,1712396	см^4
I _t	Момент инерции при свободном кручении	0,0014408	см^4
I _w	Секториальный момент инерции	0,0020753	см^6
i _y	Радиус инерции относительно оси Y1	1,4490667	см
i _z	Радиус инерции относительно оси Z1	0,5539495	см
W _{u+}	Максимальный момент сопротивления относительно оси U	0,4374917	см^3
W _{u-}	Минимальный момент сопротивления относительно оси U	0,6428582	см^3
W _{v+}	Максимальный момент сопротивления относительно оси V	0,0854295	см^3
W _{v-}	Минимальный момент сопротивления относительно оси V	0,1606326	см^3
W _{pl,u}	Пластический момент сопротивления относительно оси U	0,7354672	см^3
W _{pl,v}	Пластический момент сопротивления относительно оси V	0,1943755	см^3
I _u	Максимальный момент инерции	1,236936	см^4
I _v	Минимальный момент инерции	0,1060693	см^4
i _u	Максимальный радиус инерции	1,488818	см
i _v	Минимальный радиус инерции	0,4359762	см
a _{u+}	Ядровое расстояние вдоль положительного направления оси Y(U)	0,1530889	см
a _{u-}	Ядровое расстояние вдоль отрицательного направления оси Y(U)	0,2878524	см
a _{v+}	Ядровое расстояние вдоль положительного направления оси Z(V)	0,7839816	см
a _{v-}	Ядровое расстояние вдоль отрицательного направления оси Z(V)	1,1519966	см
y _M	Координата центра масс по оси Y	0,3537763	см
z _M	Координата центра масс по оси Z	1,5749829	см
S _w	Секториальный статический момент	0	см^4
Y _b	Координата центра изгиба по оси Y	0,0467234	см
Z _b	Координата центра изгиба по оси Z	0,0657425	см
P	Периметр	12,5874858	см
P _i	Внутренний периметр	0	см
P _e	Внешний периметр	12,5874858	см
I ₁	Момент инерции I _y в глобальной системе координат	1,2416084	см^4
I ₂	Момент инерции I _z в глобальной системе координат	1,5554932	см^4
I ₁₂	Момент инерции I _{yz} в глобальной системе координат	0,0473971	см^4
I _p	Полярный момент инерции	1,3430053	см^4
i _p	Полярный радиус инерции	1,5513395	см
W _p	Полярный радиус сопротивления	0,0016568	см

Габариты сечения 20x44 мм

Эффективная ширина полки при расчете профиля по деформациям:

$$b_{ef} = \frac{\rho}{1 - \psi} * b_{\delta};$$

$$\psi = \frac{\sigma_2}{\sigma_1} = \frac{1,6}{4,4} = 0,364$$



при относительной гибкости стенки $\bar{\lambda}_p \leq 0,673 \cdot \rho = 1$

$$\text{при относительной гибкости стенки } \bar{\lambda}_p > 0,673 \cdot \rho = \frac{1 - \frac{0,22}{\bar{\lambda}_{pd}}}{\bar{\lambda}_{pd}} + 0,18 * \frac{\bar{\lambda}_p - \bar{\lambda}_{pd}}{\bar{\lambda}_p - 0,6} ;$$

$$\text{где: } \bar{\lambda}_p = 1,3 * \frac{b_p}{t * (1 - \psi)} * \sqrt{\frac{R_y}{E}}$$

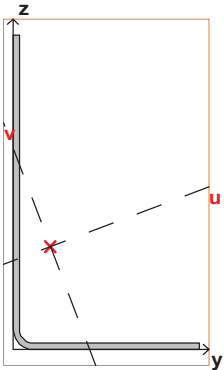
$$\bar{\lambda}_p = 1,3 * \frac{6,0}{0,09 * (1 - 0,364)} * \sqrt{\frac{2250}{2,1 * 10^6}} = 4,45$$

$$\bar{\lambda}_{pd} = 1,3 * \frac{b_p}{t * (1 - \psi)} * \sqrt{\frac{\sigma_{1d}}{E}}$$

$$\bar{\lambda}_{pd} = 1,3 * \frac{6,0}{0,09 * (1 - 0,364)} * \sqrt{\frac{1600}{2,1 * 10^6}} = 3,76$$

$$\rho = \frac{1 - \frac{0,22}{\bar{\lambda}_{pd}}}{\bar{\lambda}_{pd}} = 0,18 * \frac{\bar{\lambda}_p - \bar{\lambda}_{pd}}{\bar{\lambda}_p - 0,6} = \frac{1 - \frac{0,22}{3,76}}{3,76} = 0,18 * \frac{4,45 - 3,76}{4,45 - 0,6} = 0,282$$

$$b_{ef} = \frac{\rho}{1 - \psi} * b_p = \frac{0,282}{1 - 0,364} * 6 = 2,6 \text{ см};$$

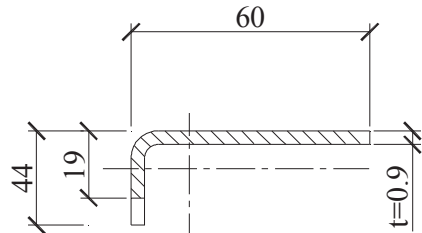


Геометрические характеристики сечения

	Параметр	Значение	
A	Площадь поперечного сечения	0,6120383	см^2
A _{v,y}	Условная площадь среза вдоль оси Y	0,1811826	см^2
A _{v,z}	Условная площадь среза вдоль оси Z	0,3145716	см^2
α	Угол наклона главных осей инерции	20,742	град
I _y	Момент инерции относительно центральной оси Y1 параллельной оси Y	1,2870551	см^4
I _z	Момент инерции относительно центральной оси Z1 параллельной оси Z	0,3593535	см^4
I _t	Момент инерции при свободном кручении	0,0015759	см^4
I _w	Секториальный момент инерции	0,0019938	см^6
i _y	Радиус инерции относительно оси Y1	1,4501378	см
i _z	Радиус инерции относительно оси Z1	0,7662521	см
W _{u+}	Максимальный момент сопротивления относительно оси U	0,4882364	см^3
W _{u-}	Минимальный момент сопротивления относительно оси U	0,6929966	см^3
W _{v+}	Максимальный момент сопротивления относительно оси V	0,1395612	см^3
W _{v-}	Минимальный момент сопротивления относительно оси V	0,222728	см^3
W _{pl,u}	Пластический момент сопротивления относительно оси U	0,8309002	см^3
W _{pl,v}	Пластический момент сопротивления относительно оси V	0,2925519	см^3
I _u	Максимальный момент инерции	1,4423786	см^4
I _v	Минимальный момент инерции	0,20403	см^4
i _u	Максимальный радиус инерции	1,5351483	см
i _v	Минимальный радиус инерции	0,5773747	см
a _{u+}	Ядровое расстояние вдоль положительного направления оси Y(U)	0,2280269	см
a _{u-}	Ядровое расстояние вдоль отрицательного направления оси Y(U)	0,3639119	см
a _{v+}	Ядровое расстояние вдоль положительного направления оси Z(V)	0,7977219	см
a _{v-}	Ядровое расстояние вдоль отрицательного направления оси Z(V)	1,1322766	см
y _M	Координата центра масс по оси Y	0,5254912	см
z _M	Координата центра масс по оси Z	1,4399928	см
S _w	Секториальный статический момент	0	см^4
Y _b	Координата центра изгиба по оси Y	0,047898	см
Z _b	Координата центра изгиба по оси Z	0,0577525	см
P	Периметр	13,7874858	см
P _i	Внутренний периметр	0	см
P _e	Внешний периметр	13,7874858	см
I ₁	Момент инерции I _y в глобальной системе координат	1,456064	см^4
I ₂	Момент инерции I _z в глобальной системе координат	1,6284635	см^4
I ₁₂	Момент инерции I _{yz} в глобальной системе координат	0,0529861	см^4
I _p	Полярный момент инерции	1,6464086	см^4
i _p	Полярный радиус инерции	1,6401347	см
W _p	Полярный радиус сопротивления	0,0018217	см

Габариты сечения 26x44 мм

Сжатая зона в пролете.



Эффективная ширина полки при расчете профиля по несущей способности:

$$b_{ef} = \frac{\rho}{1-\psi} * b_p;$$

$$\psi = \frac{\sigma_2}{\sigma_1} = \frac{1,2}{3,2} = 0,375$$

при относительной гибкости стенки $\bar{\lambda}_p \leq 0,673 \cdot \rho = 1$

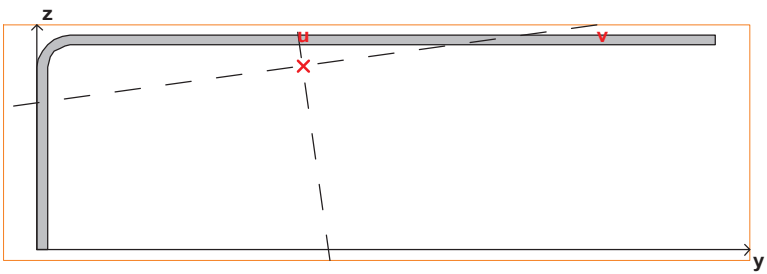
$$\text{при относительной гибкости стенки } \bar{\lambda}_p > 0,673 \cdot \rho = 1 - \frac{0,22}{\bar{\lambda}_p};$$

$$\text{где: } \bar{\lambda}_p = 1,3 * \frac{b_p}{t * (1-\psi)} * \sqrt{\frac{R_y}{E}}$$

$$\bar{\lambda}_p = 1,3 * \frac{4,4}{0,09 * (1-0,375)} * \sqrt{\frac{2250}{2,1 * 10^6}} = 3,32$$

$$\rho = \frac{1 - \frac{0,22}{\bar{\lambda}_p}}{1 - \frac{0,22}{3,32}} = \frac{1 - \frac{0,22}{3,32}}{3,32} = 0,281$$

$$b_{ef} = \frac{\rho}{1-\psi} * b_p = \frac{0,281}{1-0,375} * 4,4 = 1,9 \text{ см};$$



Геометрические характеристики сечения

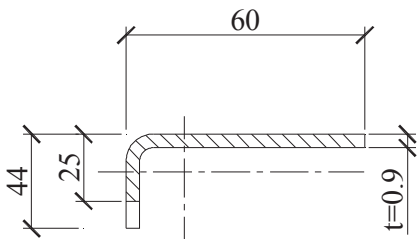
	Параметр	Значение
A	Площадь поперечного сечения	0,6930383
$A_{v,y}$	Условная площадь среза вдоль оси Y	0,0989629
$A_{v,z}$	Условная площадь среза вдоль оси Z	0,4569449
α	Угол наклона главных осей инерции	-82,032
I_y	Момент инерции относительно центральной оси Y1 параллельной оси Y	0,1571335
I_z	Момент инерции относительно центральной оси Z1 параллельной оси Z	2,6594863
I_t	Момент инерции при свободном кручении	0,0017951
I_w	Секториальный момент инерции	0,0027641
i_y	Радиус инерции относительно оси Y1	0,4761631
i_z	Радиус инерции относительно оси Z1	1,9589361
W_{u+}	Максимальный момент сопротивления относительно оси U	0,7415231
W_{u-}	Минимальный момент сопротивления относительно оси U	1,0619227
W_{v+}	Максимальный момент сопротивления относительно оси V	0,0822568
W_{v-}	Минимальный момент сопротивления относительно оси V	0,1940041
$W_{pl,u}$	Пластический момент сопротивления относительно оси U	1,2092014
$W_{pl,v}$	Пластический момент сопротивления относительно оси V	0,2056495
I_u	Максимальный момент инерции	2,7094927
I_v	Минимальный момент инерции	0,1071271
i_u	Максимальный радиус инерции	1,9772673
i_v	Минимальный радиус инерции	0,3931615
a_{u+}	Ядровое расстояние вдоль положительного направления оси Y(U)	0,1186902
a_{u-}	Ядровое расстояние вдоль отрицательного направления оси Y(U)	0,2799327
a_{v+}	Ядровое расстояние вдоль положительного направления оси Z(V)	1,0699598
a_{v-}	Ядровое расстояние вдоль отрицательного направления оси Z(V)	1,5322714
y_m	Координата центра масс по оси Y	2,3480604
z_m	Координата центра масс по оси Z	1,6311105
S_w	Секториальный статический момент	0
Y_b	Координата центра изгиба по оси Y	0,0719252
Z_b	Координата центра изгиба по оси Z	1,8547657
P	Периметр	15,5874858
P_i	Внутренний периметр	0
P_e	Внешний периметр	15,5874858
I_1	Момент инерции I_y в глобальной системе координат	3,9781221
I_2	Момент инерции I_z в глобальной системе координат	4,5033294
I_{12}	Момент инерции I_{yz} в глобальной системе координат	3,0115585
I_p	Полярный момент инерции	2,8166197
i_p	Полярный радиус инерции	2,0159766
W_p	Полярный радиус сопротивления	0,0021005

Габариты сечения 60x19 мм

Эффективная ширина полки при расчете профиля по деформациям:

$$b_{ef} = \frac{\rho}{1-\psi} * b_p;$$

$$\psi = \frac{\sigma_2}{\sigma_1} = \frac{1,6}{4,4} = 0,364$$



при относительной гибкости стенки $\bar{\lambda}_p \leq 0,673 \cdot \rho = 1$

$$\text{при относительной гибкости стенки } \bar{\lambda}_p > 0,673 \cdot \rho = \frac{1 - \frac{0,22}{\bar{\lambda}_{pd}}}{\bar{\lambda}_{pd}} + 0,18 * \frac{\bar{\lambda}_p - \bar{\lambda}_{pd}}{\bar{\lambda}_p - 0,6} ;$$

$$\text{где: } \bar{\lambda}_p = 1,3 * \frac{b_p}{t * (1 - \psi)} * \sqrt{\frac{R_y}{E}}$$

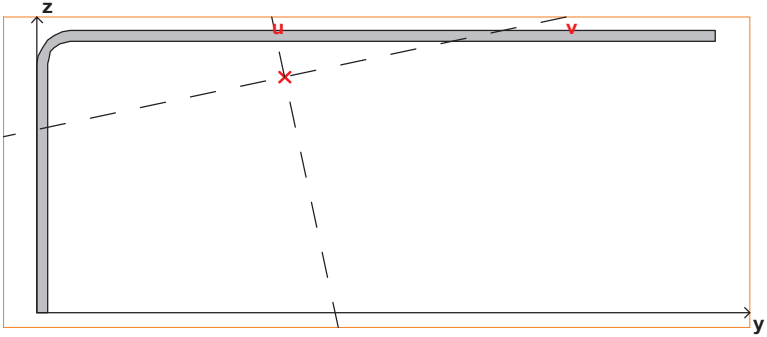
$$\bar{\lambda}_p = 1,3 * \frac{4,4}{0,09 * (1 - 0,375)} * \sqrt{\frac{2250}{2,1 * 10^6}} = 3,32$$

$$\bar{\lambda}_{pd} = 1,3 * \frac{b_p}{t * (1 - \psi)} * \sqrt{\frac{\sigma_{1d}}{E}}$$

$$\bar{\lambda}_{pd} = 1,3 * \frac{4,4}{0,09 * (1 - 0,375)} * \sqrt{\frac{1600}{2,1 * 10^6}} = 2,8$$

$$\rho = \frac{1 - \frac{0,22}{\bar{\lambda}_{pd}}}{\bar{\lambda}_{pd}} + 0,18 * \frac{\bar{\lambda}_p - \bar{\lambda}_{pd}}{\bar{\lambda}_p - 0,6} = \frac{1 - \frac{0,22}{2,8}}{2,8} + 0,18 * \frac{3,32 - 2,86}{3,32 - 0,6} = 0,36$$

$$b_{ef} = \frac{\rho}{1 - \psi} * b_p = \frac{0,36}{1 - 0,375} * 4,4 = 2,5 \text{ cm} ;$$

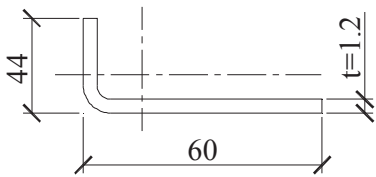


Геометрические характеристики сечения

	Параметр	Значение	
A	Площадь поперечного сечения	0,7470383	см ²
A _{v,y}	Условная площадь среза вдоль оси Y	0,1502992	см ²
A _{v,z}	Условная площадь среза вдоль оси Z	0,445027	см ²
α	Угол наклона главных осей инерции	-77,893	град
I _y	Момент инерции относительно центральной оси Y1 параллельной оси Y	0,345573	см ⁴
I _z	Момент инерции относительно центральной оси Z1 параллельной оси Z	2,9252394	см ⁴
I _t	Момент инерции при свободном кручении	0,0019297	см ⁴
I _w	Секториальный момент инерции	0,0022976	см ⁶
i _y	Радиус инерции относительно оси Y1	0,6801403	см
i _z	Радиус инерции относительно оси Z1	1,9788336	см
W _{u+}	Максимальный момент сопротивления относительно оси U	0,7985186	см ³
W _{u-}	Минимальный момент сопротивления относительно оси U	1,1858415	см ³
W _{v+}	Максимальный момент сопротивления относительно оси V	0,1376714	см ³
W _{v-}	Минимальный момент сопротивления относительно оси V	0,275667	см ³
W _{pl,u}	Пластический момент сопротивления относительно оси U	1,3359765	см ³
W _{pl,v}	Пластический момент сопротивления относительно оси V	0,3201567	см ³
I _u	Максимальный момент инерции	3,0496699	см ⁴
I _v	Минимальный момент инерции	0,2211425	см ⁴
i _u	Максимальный радиус инерции	2,020482	см
i _v	Минимальный радиус инерции	0,5440824	см
a _{u+}	Ядровое расстояние вдоль положительного направления оси Y(U)	0,1842896	см
a _{u-}	Ядровое расстояние вдоль отрицательного направления оси Y(U)	0,3690132	см
a _{v+}	Ядровое расстояние вдоль положительного направления оси Z(V)	1,0689126	см
a _{v-}	Ядровое расстояние вдоль отрицательного направления оси Z(V)	1,5873905	см
y _M	Координата центра масс по оси Y	2,1815826	см
z _M	Координата центра масс по оси Z	2,0915193	см
S _w	Секториальный статический момент	0	см ⁴
Y _b	Координата центра изгиба по оси Y	0,0603997	см
Z _b	Координата центра изгиба по оси Z	2,4536959	см
P	Периметр	16,7874858	см
P _i	Внутренний периметр	0	см
P _e	Внешний периметр	16,7874858	см
I ₁	Момент инерции I _y в глобальной системе координат	3,9009544	см ⁴
I ₂	Момент инерции I _z в глобальной системе координат	6,1931232	см ⁴
I ₁₂	Момент инерции I _{yz} в глобальной системе координат	3,988665	см ⁴
I _p	Полярный момент инерции	3,2708124	см ⁴
i _p	Полярный радиус инерции	2,0924563	см
W _p	Полярный радиус сопротивления	0,0022179	см

Габариты сечения 60x25 мм

Сечение направляющей КПГ-60x44x3000x1,2



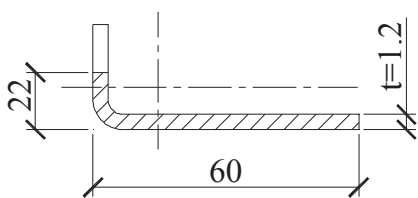
Материал: оцинкованная сталь 08пс.

$$R_y = 2250 \text{ кгс/см}^2$$

Принимаемое расчетное сечение

a) при отсосе

Сжатая зона на опоре



Эффективная ширина полки при расчете профиля по несущей способности:

$$b_{ef} = \rho * b_p;$$

при относительной гибкости стенки $\bar{\lambda}_p \leq 0,673 \cdot \rho = 1$

$$\text{при относительной гибкости стенки } \bar{\lambda}_p > 0,673 \cdot \rho = \frac{1 - \frac{0,22}{\bar{\lambda}_p}}{\bar{\lambda}_p};$$

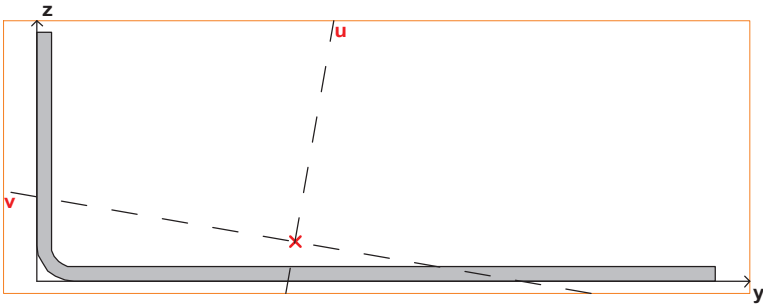
$$\text{где: } \bar{\lambda}_\delta = 0,75 * \frac{b_\delta}{t} * \sqrt{\frac{(3 + \psi) * R_\delta}{A}}$$

$$\psi = \frac{\sigma_2}{\sigma_1} = \frac{1,2}{3,2} = 0,375$$

$$\bar{\lambda}_p = 0,75 * \frac{4,4}{0,12} * \sqrt{\frac{3,75 * 2250}{2,1 * 10^6}} = 1,74$$

$$\rho = \frac{1 - \frac{0,22}{\bar{\lambda}_p}}{\bar{\lambda}_p} = \frac{1 - \frac{0,22}{1,74}}{1,74} = 0,5$$

$$b_{ef} = \rho * b = 0,5 * 4,4 = 2,2 \text{ см}$$

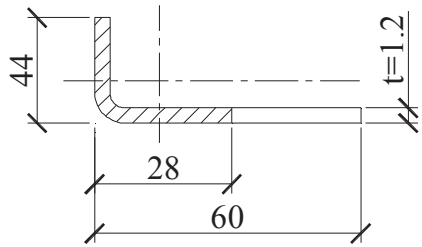


Геометрические характеристики сечения

	Параметр	Значение	
A	Площадь поперечного сечения	0,9556491	см^2
$A_{v,y}$	Условная площадь среза вдоль оси Y	0,1645539	см^2
$A_{v,z}$	Условная площадь среза вдоль оси Z	0,6006684	см^2
α	Угол наклона главных осей инерции	80,078	град
I_y	Момент инерции относительно центральной оси Y1 параллельной оси Y	0,3136383	см^4
I_z	Момент инерции относительно центральной оси Z1 параллельной оси Z	3,6920739	см^4
I_t	Момент инерции при свободном кручении	0,0043803	см^4
I_w	Секториальный момент инерции	0,0105753	см^6
i_y	Радиус инерции относительно оси Y1	0,5728822	см
i_z	Радиус инерции относительно оси Z1	1,9655584	см
W_{u+}	Максимальный момент сопротивления относительно оси U	1,0188193	см^3
W_{u-}	Минимальный момент сопротивления относительно оси U	1,4834128	см^3
W_{v+}	Максимальный момент сопротивления относительно оси V	0,1424754	см^3
W_{v-}	Минимальный момент сопротивления относительно оси V	0,3029475	см^3
$W_{pl,u}$	Пластический момент сопротивления относительно оси U	1,6842014	см^3
$W_{pl,v}$	Пластический момент сопротивления относительно оси V	0,3436043	см^3
I_u	Максимальный момент инерции	3,7987128	см^4
I_v	Минимальный момент инерции	0,2069994	см^4
i_u	Максимальный радиус инерции	1,9937422	см
i_v	Минимальный радиус инерции	0,4654096	см
a_{u+}	Яdroвое расстояние вдоль положительного направления оси Y(U)	0,1490876	см
a_{u-}	Яdroвое расстояние вдоль отрицательного направления оси Y(U)	0,317007	см
a_{v+}	Яdroвое расстояние вдоль положительного направления оси Z(V)	1,0661018	см
a_{v-}	Яdroвое расстояние вдоль отрицательного направления оси Z(V)	1,5522568	см
y_m	Координата центра масс по оси Y	2,2757104	см
z_m	Координата центра масс по оси Z	0,3479736	см
S_w	Секториальный статический момент	0	см^4
Y_b	Координата центра изгиба по оси Y	0,089111	см
Z_b	Координата центра изгиба по оси Z	0,0600664	см
P	Периметр	16,1744814	см
P_i	Внутренний периметр	0	см
P_e	Внешний периметр	16,1744814	см
I_1	Момент инерции I_y в глобальной системе координат	5,2628093	см^4
I_2	Момент инерции I_z в глобальной системе координат	3,8077893	см^4
I_{12}	Момент инерции I_{yz} в глобальной системе координат	0,1471397	см^4
I_p	Полярный момент инерции	4,0057122	см^4
i_p	Полярный радиус инерции	2,0473431	см
W_p	Полярный радиус сопротивления	0,002863	см

Габариты сечения 60x22 мм

Сжатая зона в пролете.



Эффективная ширина полки при расчете профиля по несущей способности:

$$b_{ef} = \frac{\rho}{1-\psi} * b_p;$$

$$\psi = \frac{\sigma_2}{\sigma_1} = \frac{1,6}{4,4} = 0,364$$

при относительной гибкости стенки $\bar{\lambda}_p \leq 0,673 \cdot \rho = 1$

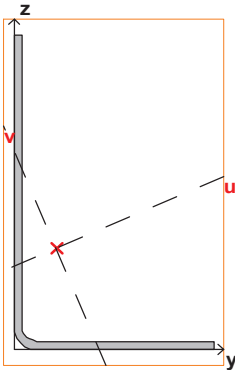
$$\text{при относительной гибкости стенки } \bar{\lambda}_p > 0,673 \cdot \rho = \frac{1 - \frac{0,22}{\bar{\lambda}_p}}{\bar{\lambda}_p};$$

$$\text{где: } \bar{\lambda}_p = 1,3 * \frac{b_p}{t * (1 - \psi)} * \sqrt{\frac{R_y}{E}}$$

$$\bar{\lambda}_p = 1,3 * \frac{6,0}{0,12 * (1 - 0,364)} * \sqrt{\frac{2250}{2,1 * 10^6}} = 3,08$$

$$\rho = \frac{1 - \frac{0,22}{\bar{\lambda}_p}}{\bar{\lambda}_p} = \frac{1 - \frac{0,22}{3,08}}{3,08} = 0,301$$

$$b_{ef} = \frac{\rho}{1 - \psi} * b_p = \frac{0,301}{1 - 0,364} * 6 = 2,8 \text{ см};$$



Геометрические характеристики сечения

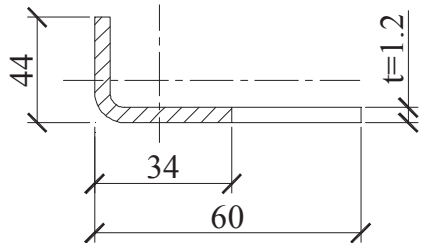
	Параметр	Значение	
A	Площадь поперечного сечения	0,8356491	см ²
A _{v,y}	Условная площадь среза вдоль оси Y	0,2662545	см ²
A _{v,z}	Условная площадь среза вдоль оси Z	0,416387	см ²
α	Угол наклона главных осей инерции	23,212	град
I _y	Момент инерции относительно центральной оси Y1 параллельной оси Y	1,7407216	см ⁴
I _z	Момент инерции относительно центральной оси Z1 параллельной оси Z	0,5802008	см ⁴
I _t	Момент инерции при свободном кручении	0,0038395	см ⁴
I _w	Секториальный момент инерции	0,0054288	см ⁶
i _y	Радиус инерции относительно оси Y1	1,4432869	см
i _z	Радиус инерции относительно оси Z1	0,8332536	см
W _{u+}	Максимальный момент сопротивления относительно оси U	0,6715428	см ³
W _{u-}	Минимальный момент сопротивления относительно оси U	0,9244825	см ³
W _{v+}	Максимальный момент сопротивления относительно оси V	0,2106506	см ³
W _{v-}	Минимальный момент сопротивления относительно оси V	0,3169376	см ³
W _{pl,u}	Пластический момент сопротивления относительно оси U	1,1424337	см ³
W _{pl,v}	Пластический момент сопротивления относительно оси V	0,4312352	см ³
I _u	Максимальный момент инерции	2,0022662	см ⁴
I _v	Минимальный момент инерции	0,3186562	см ⁴
i _u	Максимальный радиус инерции	1,5479215	см
i _v	Минимальный радиус инерции	0,6175174	см
a _{u+}	Ядровое расстояние вдоль положительного направления оси Y(U)	0,2520802	см
a _{u-}	Ядровое расстояние вдоль отрицательного направления оси Y(U)	0,3792711	см
a _{v+}	Ядровое расстояние вдоль положительного направления оси Z(V)	0,8036181	см
a _{v-}	Ядровое расстояние вдоль отрицательного направления оси Z(V)	1,1063046	см
y _M	Координата центра масс по оси Y	0,5995587	см
z _M	Координата центра масс по оси Z	1,4129144	см
S _w	Секториальный статический момент	0	см ⁴
Y _b	Координата центра изгиба по оси Y	0,0631264	см
Z _b	Координата центра изгиба по оси Z	0,0749216	см
P	Периметр	14,1744814	см
P _i	Внутренний периметр	0	см
P _e	Внешний периметр	14,1744814	см
I ₁	Момент инерции I _y в глобальной системе координат	2,0411128	см ⁴
I ₂	Момент инерции I _z в глобальной системе координат	2,2484298	см ⁴
I ₁₂	Момент инерции I _{yz} в глобальной системе координат	0,0980357	см ⁴
I _p	Полярный момент инерции	2,3209224	см ⁴
i _p	Полярный радиус инерции	1,6665499	см
W _p	Полярный радиус сопротивления	0,0025004	см

Габариты сечения 28x44 мм

Эффективная ширина полки при расчете профиля по деформациям:

$$b_{ef} = \frac{\rho}{1-\psi} * b_p;$$

$$\psi = \frac{\sigma_2}{\sigma_1} = \frac{1,6}{4,4} = 0,364$$



при относительной гибкости стенки $\bar{\lambda}_p \leq 0,673 \cdot \rho = 1$

$$\text{при относительной гибкости стенки } \bar{\lambda}_p > 0,673 \cdot \rho = \frac{1 - \frac{0,22}{\bar{\lambda}_{pd}}}{\bar{\lambda}_{pd}} + 0,18 * \frac{\bar{\lambda}_p - \bar{\lambda}_{pd}}{\bar{\lambda}_p - 0,6};$$

$$\text{где: } \bar{\lambda}_p = 1,3 * \frac{b_p}{t * (1 - \psi)} * \sqrt{\frac{R_y}{E}}$$

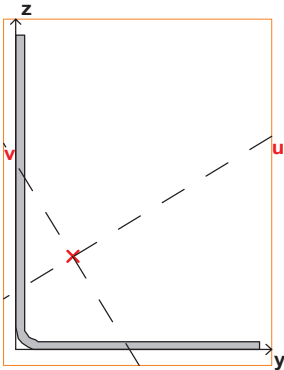
$$\bar{\lambda}_p = 1,3 * \frac{6,0}{0,12 * (1 - 0,364)} * \sqrt{\frac{2250}{2,1 * 10^6}} = 3,35$$

$$\bar{\lambda}_{pd} = 1,3 * \frac{b_p}{t * (1 - \psi)} * \sqrt{\frac{\sigma_{1d}}{E}}$$

$$\bar{\lambda}_{pd} = 1,3 * \frac{6,0}{0,12 * (1 - 0,364)} * \sqrt{\frac{1600}{2,1 * 10^6}} = 2,82$$

$$\rho = \frac{1 - \frac{0,22}{\bar{\lambda}_{pd}}}{\bar{\lambda}_{pd}} + 0,18 * \frac{\bar{\lambda}_p - \bar{\lambda}_{pd}}{\bar{\lambda}_p - 0,6} = \frac{1 - \frac{0,22}{2,82}}{2,82} + 0,18 * \frac{3,35 - 2,82}{3,35 - 0,6} = 0,362$$

$$b_{ef} = \frac{\rho}{1 - \psi} * b_p = \frac{0,362}{1 - 0,364} * 6 = 3,4 \text{ см};$$

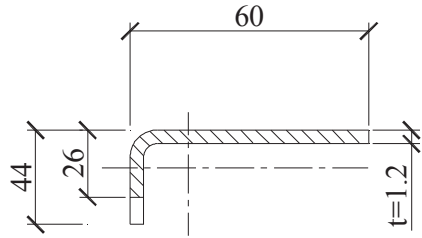


Геометрические характеристики сечения

	Параметр	Значение	
A	Площадь поперечного сечения	0,9076491	см^2
$A_{v,y}$	Условная площадь среза вдоль оси Y	0,3410544	см^2
$A_{v,z}$	Условная площадь среза вдоль оси Z	0,4158176	см^2
α	Угол наклона главных осей инерции	31,292	град
I_y	Момент инерции относительно центральной оси Y1 параллельной оси Y	1,862141	см^4
I_z	Момент инерции относительно центральной оси Z1 параллельной оси Z	0,9968105	см^4
I_t	Момент инерции при свободном кручении	0,0041699	см^4
I_w	Секториальный момент инерции	0,0065855	см^6
i_y	Радиус инерции относительно оси Y1	1,4323438	см
i_z	Радиус инерции относительно оси Z1	1,0479663	см
W_{u+}	Максимальный момент сопротивления относительно оси U	0,7745514	см^3
W_{u-}	Минимальный момент сопротивления относительно оси U	0,9602517	см^3
W_{v+}	Максимальный момент сопротивления относительно оси V	0,3046606	см^3
W_{v-}	Минимальный момент сопротивления относительно оси V	0,3949596	см^3
$W_{pl,u}$	Пластический момент сопротивления относительно оси U	1,2872044	см^3
$W_{pl,v}$	Пластический момент сопротивления относительно оси V	0,5696887	см^3
I_u	Максимальный момент инерции	2,3691239	см^4
I_v	Минимальный момент инерции	0,4898276	см^4
i_u	Максимальный радиус инерции	1,6156039	см
i_v	Минимальный радиус инерции	0,7346198	см
a_{u+}	Яdroвое расстояние вдоль положительного направления оси Y(U)	0,335659	см
a_{u-}	Яdroвое расстояние вдоль отрицательного направления оси Y(U)	0,4351457	см
a_{v+}	Яdroвое расстояние вдоль положительного направления оси Z(V)	0,85336	см
a_{v-}	Яdroвое расстояние вдоль отрицательного направления оси Z(V)	1,0579548	см
y_M	Координата центра масс по оси Y	0,7979082	см
z_M	Координата центра масс по оси Z	1,3055933	см
S_w	Секториальный статический момент	0	см^4
Y_b	Координата центра изгиба по оси Y	0,0648158	см
Z_b	Координата центра изгиба по оси Z	0,069642	см
P	Периметр	15,3744814	см
P_i	Внутренний периметр	0	см
P_e	Внешний периметр	15,3744814	см
I_1	Момент инерции I_y в глобальной системе координат	2,4400026	см^4
I_2	Момент инерции I_z в глобальной системе координат	2,5439656	см^4
I_{12}	Момент инерции I_{yz} в глобальной системе координат	0,1114277	см^4
I_p	Полярный момент инерции	2,8589515	см^4
i_p	Полярный радиус инерции	1,7747795	см
W_p	Полярный радиус сопротивления	0,0027996	см

Габариты сечения 34x44 мм

Сжатая зона в пролете.



Эффективная ширина полки при расчете профиля по несущей способности:

$$b_{ef} = \frac{\rho}{1-\psi} * b_p;$$

$$\psi = \frac{\sigma_2}{\sigma_1} = \frac{1,2}{3,2} = 0,375$$

при относительной гибкости стенки $\bar{\lambda}_p \leq 0,673 \cdot \rho = 1$

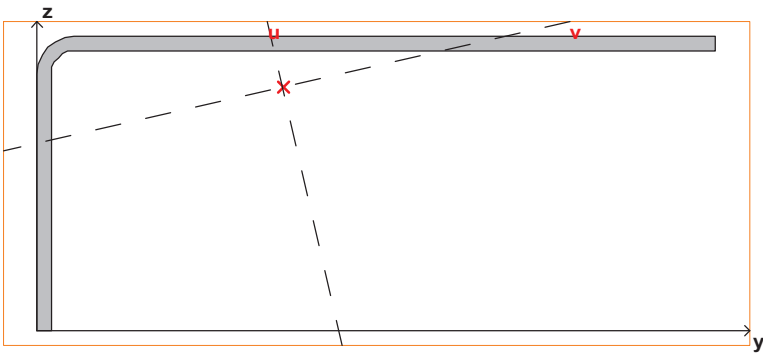
$$\text{при относительной гибкости стенки } \bar{\lambda}_p > 0,673 \cdot \rho = \frac{1 - \frac{0,22}{\bar{\lambda}_p}}{\bar{\lambda}_p};$$

$$\text{где: } \bar{\lambda}_p = 1,3 * \frac{b_p}{t * (1 - \psi)} * \sqrt{\frac{R_y}{E}}$$

$$\bar{\lambda}_p = 1,3 * \frac{4,4}{0,12 * (1 - 0,375)} * \sqrt{\frac{2250}{2,1 * 10^6}} = 2,49$$

$$\rho = \frac{1 - \frac{0,22}{\bar{\lambda}_p}}{\bar{\lambda}_p} = \frac{1 - \frac{0,22}{2,49}}{2,49} = 0,366$$

$$b_{ef} = \frac{\rho}{1-\psi} * b_p = \frac{0,366}{1-0,375} * 4,4 = 2,57 \text{ см};$$



Геометрические характеристики сечения

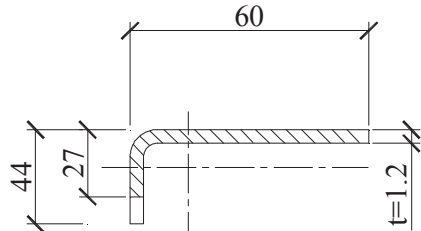
	Параметр	Значение	
A	Площадь поперечного сечения	1,0036491	см^2
$A_{v,y}$	Условная площадь среза вдоль оси Y	0,2114167	см^2
$A_{v,z}$	Условная площадь среза вдоль оси Z	0,5901547	см^2
α	Угол наклона главных осей инерции	-77,192	град
I_y	Момент инерции относительно центральной оси Y1 параллельной оси Y	0,5067309	см^4
I_z	Момент инерции относительно центральной оси Z1 параллельной оси Z	3,9165113	см^4
I_t	Момент инерции при свободном кручении	0,0046172	см^4
I_w	Секториальный момент инерции	0,0103861	см^6
i_y	Радиус инерции относительно оси Y1	0,7105551	см
i_z	Радиус инерции относительно оси Z1	1,9754168	см
W_{u+}	Максимальный момент сопротивления относительно оси U	1,070033	см^3
W_{u-}	Минимальный момент сопротивления относительно оси U	1,581939	см^3
W_{v+}	Максимальный момент сопротивления относительно оси V	0,1949667	см^3
W_{v-}	Минимальный момент сопротивления относительно оси V	0,3762853	см^3
$W_{pl,u}$	Пластический момент сопротивления относительно оси U	1,7962934	см^3
$W_{pl,v}$	Пластический момент сопротивления относительно оси V	0,4495347	см^3
I_u	Максимальный момент инерции	4,1023467	см^4
I_v	Минимальный момент инерции	0,3208955	см^4
i_u	Максимальный радиус инерции	2,0217396	см
i_v	Минимальный радиус инерции	0,5654457	см
a_{u+}	Ядровое расстояние вдоль положительного направления оси Y(U)	0,1942578	см
a_{u-}	Ядровое расстояние вдоль отрицательного направления оси Y(U)	0,3749172	см
a_{v+}	Ядровое расстояние вдоль положительного направления оси Z(V)	1,0661425	см
a_{v-}	Ядровое расстояние вдоль отрицательного направления оси Z(V)	1,5761873	см
y_m	Координата центра масс по оси Y	2,169743	см
z_m	Координата центра масс по оси Z	2,1538873	см
S_w	Секториальный статический момент	0	см^4
Y_b	Координата центра изгиба по оси Y	0,0795841	см
Z_b	Координата центра изгиба по оси Z	2,5388759	см
P	Периметр	16,9744814	см
P_i	Внутренний периметр	0	см
P_e	Внешний периметр	16,9744814	см
I_1	Момент инерции I_y в глобальной системе координат	5,2316949	см^4
I_2	Момент инерции I_z в глобальной системе координат	8,5726708	см^4
I_{12}	Момент инерции I_{yz} в глобальной системе координат	5,507866	см^4
I_p	Полярный момент инерции	4,4232422	см^4
i_p	Полярный радиус инерции	2,0993237	см
W_p	Полярный радиус сопротивления	0,0029746	см

Габариты сечения 60x26 мм

Эффективная ширина полки при расчете профиля по деформациям:

$$b_{ef} = \frac{\rho}{1-\psi} * b_p;$$

$$\psi = \frac{\sigma_2}{\sigma_1} = \frac{1,6}{4,4} = 0,364$$



при относительной гибкости стенки $\bar{\varnothing}_p \leq 0,673 \cdot \square = 1$

$$\text{при относительной гибкости стенки } \bar{\varnothing}_p > 0,673 \cdot \square = \frac{1 - \frac{0,22}{\bar{\varnothing}_{pd}}}{\bar{\varnothing}_{pd}} + 0,18 * \frac{\bar{\varnothing}_p - \bar{\varnothing}_{pd}}{\bar{\varnothing}_p - 0,6};$$

$$\text{где: } \bar{\varnothing}_p = 1,3 * \frac{b_p}{t * (1 - \square)} * \sqrt{\frac{R_y}{E}}$$

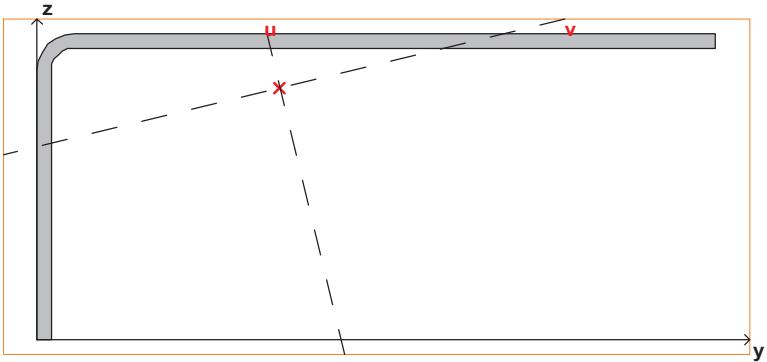
$$\bar{\varnothing}_p = 1,3 * \frac{4,4}{0,12 * (1 - 0,375)} * \sqrt{\frac{2250}{2,1 * 10^6}} = 2,49$$

$$\bar{\varnothing}_{pd} = 1,3 * \frac{b_p}{t * (1 - \square)} * \sqrt{\frac{\bar{\varnothing}_{1d}}{E}}$$

$$\bar{\varnothing}_{pd} = 1,3 * \frac{4,4}{0,12 * (1 - 0,375)} * \sqrt{\frac{1600}{2,1 * 10^6}} = 2,1$$

$$\square = \frac{1 - \frac{0,22}{\bar{\varnothing}_{pd}}}{\bar{\varnothing}_{pd}} + 0,18 * \frac{\bar{\varnothing}_p - \bar{\varnothing}_{pd}}{\bar{\varnothing}_p - 0,6} = \frac{1 - \frac{0,22}{2,1}}{2,1} + 0,18 * \frac{2,49 - 2,1}{2,49 - 0,6} = 0,39$$

$$b_{ef} = \frac{\square}{1 - \square} * b_p = \frac{0,39}{1 - 0,375} * 4,4 = 2,7 \text{ см};$$

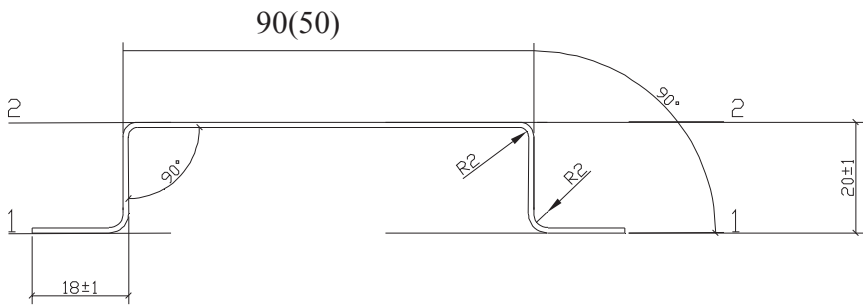


Геометрические характеристики сечения

	Параметр	Значение	
A	Площадь поперечного сечения	1,0156491	см^2
$A_{v,y}$	Условная площадь среза вдоль оси Y	0,2235185	см^2
$A_{v,z}$	Условная площадь среза вдоль оси Z	0,5876174	см^2
α	Угол наклона главных осей инерции	-76,432	град
I_y	Момент инерции относительно центральной оси Y1 параллельной оси Y	0,5643377	см^4
I_z	Момент инерции относительно центральной оси Z1 параллельной оси Z	3,9693068	см^4
I_t	Момент инерции при свободном кручении	0,0046596	см^4
I_w	Секториальный момент инерции	0,0129267	см^6
i_y	Радиус инерции относительно оси Y1	0,7454142	см
i_z	Радиус инерции относительно оси Z1	1,9769036	см
W_{u+}	Максимальный момент сопротивления относительно оси U	1,0833334	см^3
W_{u-}	Минимальный момент сопротивления относительно оси U	1,6029552	см^3
W_{v+}	Максимальный момент сопротивления относительно оси V	0,2092423	см^3
W_{v-}	Минимальный момент сопротивления относительно оси V	0,3948558	см^3
$W_{pl,u}$	Пластический момент сопротивления относительно оси U	1,8243442	см^3
$W_{pl,v}$	Пластический момент сопротивления относительно оси V	0,4773978	см^3
I_u	Максимальный момент инерции	4,1798896	см^4
I_v	Минимальный момент инерции	0,3537549	см^4
i_u	Максимальный радиус инерции	2,028666	см
i_v	Минимальный радиус инерции	0,5901731	см
a_{u+}	Яdroвое расстояние вдоль положительного направления оси Y(U)	0,2060183	см
a_{u-}	Яdroвое расстояние вдоль отрицательного направления оси Y(U)	0,3887718	см
a_{v+}	Яdroвое расстояние вдоль положительного направления оси Z(V)	1,0666414	см
a_{v-}	Яdroвое расстояние вдоль отрицательного направления оси Z(V)	1,5782568	см
y_M	Координата центра масс по оси Y	2,1448162	см
Z_M	Координата центра масс по оси Z	2,2278481	см
S_w	Секториальный статический момент	0	см^4
Y_b	Координата центра изгиба по оси Y	0,0792223	см
Z_b	Координата центра изгиба по оси Z	2,638729	см
P	Периметр	17,1744814	см
P_i	Внутренний периметр	0	см
P_e	Внешний периметр	17,1744814	см
I_1	Момент инерции I_y в глобальной системе координат	5,2365637	см^4
I_2	Момент инерции I_z в глобальной системе координат	9,0102854	см^4
I_{12}	Момент инерции I_{yz} в глобальной системе координат	5,7256681	см^4
I_p	Полярный момент инерции	4,5336445	см^4
i_p	Полярный радиус инерции	2,1127683	см
W_p	Полярный радиус сопротивления	0,0030053	см

Габариты сечения 60x27 мм

Сечение вертикальной направляющей КПШУ-90x20x3000; КПШУ-50x20x3000



Толщина $t = 1,2 \text{ мм}$

A) сжата верхняя полка $b_p=50 \text{ мм}$

Эффективная ширина полки при расчете профиля по несущей способности:

$$b_{ef} = \rho * b_p;$$

при относительной гибкости стенки $\bar{\lambda}_p \leq 0,673 \cdot \rho = 1$

$$\text{при относительной гибкости стенки } \bar{\lambda}_p > 0,673 \cdot \rho = \frac{1 - \frac{0,22}{\bar{\lambda}_p}}{\bar{\lambda}_p};$$

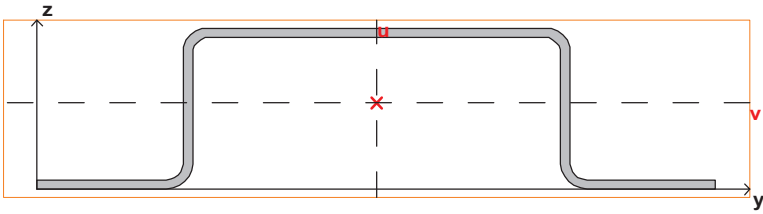
$$\text{где: } \bar{\lambda}_p = 1,052 * \frac{b_p}{t} * \sqrt{\frac{R_y}{E * k_\sigma}}$$

$$k_\sigma = 4$$

$$\bar{\lambda}_p = 1,052 * \frac{5}{0,12} * \sqrt{\frac{2250}{2,1 * 10^6 * 4}} = 0,717$$

$$\rho = \frac{1 - \frac{0,22}{\bar{\lambda}_p}}{\bar{\lambda}_p} = \frac{1 - \frac{0,22}{0,717}}{0,717} = 0,966$$

$$b_{ef} = \rho * b = 0,966 * 5 = 4,83 \text{ см}$$



Геометрические характеристики сечения

	Параметр	Значение	
A	Площадь поперечного сечения	1,4033965	см^2
$A_{v,y}$	Условная площадь среза вдоль оси Y	0,2938642	см^2
$A_{v,z}$	Условная площадь среза вдоль оси Z	0,5940028	см^2
α	Угол наклона главных осей инерции	-90	град
I_y	Момент инерции относительно центральной оси Y1 параллельной оси Y	0,963987	см^4
I_z	Момент инерции относительно центральной оси Z1 параллельной оси Z	8,0926948	см^4
I_t	Момент инерции при свободном кручении	0,0064575	см^4
I_w	Секториальный момент инерции	1,970919	см^6
i_y	Радиус инерции относительно оси Y1	0,8287917	см
i_z	Радиус инерции относительно оси Z1	2,4013551	см
W_{u+}	Максимальный момент сопротивления относительно оси U	1,9268321	см^3
W_{u-}	Минимальный момент сопротивления относительно оси U	1,9268321	см^3
W_{v+}	Максимальный момент сопротивления относительно оси V	0,8949327	см^3
W_{v-}	Минимальный момент сопротивления относительно оси V	1,0445889	см^3
$W_{pl,u}$	Пластический момент сопротивления относительно оси U	3,0420279	см^3
$W_{pl,v}$	Пластический момент сопротивления относительно оси V	1,0979658	см^3
I_u	Максимальный момент инерции	8,0926948	см^4
I_v	Минимальный момент инерции	0,963987	см^4
i_u	Максимальный радиус инерции	2,4013551	см
i_v	Минимальный радиус инерции	0,8287917	см
a_{u+}	Яdroвое расстояние вдоль положительного направления оси Y(U)	0,6376906	см
a_{u-}	Яdroвое расстояние вдоль отрицательного направления оси Y(U)	0,7443291	см
a_{v+}	Яdroвое расстояние вдоль положительного направления оси Z(V)	1,3729777	см
a_{v-}	Яdroвое расстояние вдоль отрицательного направления оси Z(V)	1,3729777	см
y_m	Координата центра масс по оси Y	4,2	см
z_m	Координата центра масс по оси Z	1,0771614	см
S_w	Секториальный статический момент	0	см^4
Y_b	Координата центра изгиба по оси Y	4,2020384	см
Z_b	Координата центра изгиба по оси Z	2,6355515	см
P	Периметр	23,6579257	см
P_i	Внутренний периметр	0	см
P_e	Внешний периметр	23,6579257	см
I_1	Момент инерции I_y в глобальной системе координат	25,7199016	см^4
I_2	Момент инерции I_z в глобальной системе координат	9,7210229	см^4
I_{12}	Момент инерции I_{yz} в глобальной системе координат	6,349075	см^4
I_p	Полярный момент инерции	9,0566818	см^4
i_p	Полярный радиус инерции	2,5403547	см
W_p	Полярный радиус сопротивления	0,0048173	см

Габариты сечения 84x20 мм

Эффективная ширина полки при расчете профиля по деформативности:

$$b_{ef} = \rho * b_p;$$

при относительной гибкости стенки $\bar{\lambda}_p \leq 0,673 \cdot \rho = 1$

$$\text{при относительной гибкости стенки } \bar{\lambda}_p > 0,673 \cdot \rho_e = \frac{1 - \frac{0,22}{\bar{\lambda}_p}}{\bar{\lambda}_p - 0,6} + 0,18 * \frac{\bar{\lambda}_p - \bar{\lambda}_{pe}}{\bar{\lambda}_p - 0,6};$$

$$\text{где: } \bar{\lambda}_p = 1,052 * \frac{b_p}{t} * \sqrt{\frac{R_y}{E * k_\sigma}}$$

$$k_\sigma = 4$$

$$\bar{\lambda}_{pd} = 1,052 * \frac{b_p}{t} * \sqrt{\frac{\sigma_d}{E * k_\sigma}}$$

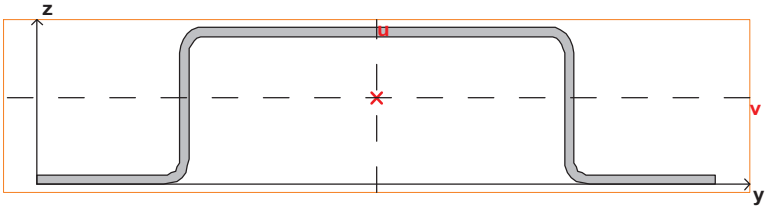
Где: σ_d – сжимающие напряжения в элементе от нормативной нагрузки

$$\bar{\lambda}_{pd} = 1,052 * \frac{5}{0,12} * \sqrt{\frac{1800}{2,1 * 10^6 * 4}} = 0,642$$

$$\bar{\lambda}_p = 1,052 * \frac{5}{0,12} * \sqrt{\frac{2250}{2,1 * 10^6 * 4}} = 0,717$$

$$\rho_e = \frac{1 - \frac{0,22}{0,717}}{0,717 - 0,6} + 0,18 * \frac{0,717 - 0,642}{0,717 - 0,6} = 1,08$$

$$b_{ef} = \rho * b = 1,08 * 5 = 5,4 \text{ см}$$



Геометрические характеристики сечения

	Параметр	Значение	
A	Площадь поперечного сечения	1,4273965	см ²
A _{v,y}	Условная площадь среза вдоль оси Y	0,2903536	см ²
A _{v,z}	Условная площадь среза вдоль оси Z	0,6176338	см ²
α	Угол наклона главных осей инерции	-90	град
I _y	Момент инерции относительно центральной оси Y1 параллельной оси Y	0,9815831	см ⁴
I _z	Момент инерции относительно центральной оси Z1 параллельной оси Z	8,7152143	см ⁴
I _t	Момент инерции при свободном кручении	0,0065812	см ⁴
I _w	Секториальный момент инерции	2,1201847	см ⁶
i _y	Радиус инерции относительно оси Y1	0,829261	см
i _z	Радиус инерции относительно оси Z1	2,4709657	см
W _{u+}	Максимальный момент сопротивления относительно оси U	2,026794	см ³
W _{u-}	Минимальный момент сопротивления относительно оси U	2,026794	см ³
W _{v+}	Максимальный момент сопротивления относительно оси V	0,8991582	см ³
W _{v-}	Минимальный момент сопротивления относительно оси V	1,0806447	см ³
W _{pl,u}	Пластический момент сопротивления относительно оси U	3,1835675	см ³
W _{pl,v}	Пластический момент сопротивления относительно оси V	1,1172423	см ³
I _u	Максимальный момент инерции	8,7152143	см ⁴
I _v	Минимальный момент инерции	0,9815831	см ⁴
i _u	Максимальный радиус инерции	2,4709657	см
i _v	Минимальный радиус инерции	0,829261	см
a _{u+}	Ядровое расстояние вдоль положительного направления оси Y(U)	0,6299288	см
a _{u-}	Ядровое расстояние вдоль отрицательного направления оси Y(U)	0,757074	см
a _{v+}	Ядровое расстояние вдоль положительного направления оси Z(V)	1,4199236	см
a _{v-}	Ядровое расстояние вдоль отрицательного направления оси Z(V)	1,4199236	см
y _M	Координата центра масс по оси Y	4,3	см
z _M	Координата центра масс по оси Z	1,091669	см
S _w	Секториальный статический момент	0	см ⁴
Y _b	Координата центра изгиба по оси Y	4,2987098	см
Z _b	Координата центра изгиба по оси Z	2,652314	см
P	Периметр	24,0579257	см
P _i	Внутренний периметр	0	см
P _e	Внешний периметр	24,0579257	см
I ₁	Момент инерции I _y в глобальной системе координат	27,3741448	см ⁴
I ₂	Момент инерции I _z в глобальной системе координат	10,4163015	см ⁴
I ₁₂	Момент инерции I _{yz} в глобальной системе координат	6,7004514	см ⁴
I _p	Полярный момент инерции	9,6967974	см ⁴
i _p	Полярный радиус инерции	2,6064047	см
W _p	Полярный радиус сопротивления	0,0049268	см

Габариты сечения 86x20 мм

Эффективная ширина стенки при расчете профиля по прочности:

$$b_{ef1} = 0,76 * t * \sqrt{\frac{E}{R_y}} = 0,76 * 0,12 * \sqrt{\frac{2,1 * 10^6}{2250}} = 2,78 \text{ см} > 2 \text{ см (высота профиля)}$$

Профиль работает полным сечением

Б) ската нижняя полка $b_p=18 \text{ мм}$

Эффективная ширина полки при расчете профиля по несущей способности:

$$b_{ef} = \rho * b_p;$$

при относительной гибкости стенки $\bar{\lambda}_p \leq 0,673 \cdot \rho = 1$

$$\text{при относительной гибкости стенки } \bar{\lambda}_p > 0,673 \cdot \rho = \frac{1 - \frac{0,22}{\bar{\lambda}_p}}{\bar{\lambda}_p};$$

$$\text{где: } \bar{\lambda}_\delta = 0,75 * \frac{b_\delta}{t} * \sqrt{\frac{(3 + \psi) * R_\delta}{A}}$$

$$\psi = \frac{\sigma_2}{\sigma_1} = \frac{0,5}{1,3} = 0,385$$

$$\bar{\lambda}_p = 0,75 * \frac{1,8}{0,12} * \sqrt{\frac{3,85 * 2250}{2,1 * 10^6}} = 0,723$$

$$\rho = \frac{1 - \frac{0,22}{\bar{\lambda}_p}}{\bar{\lambda}_p} = \frac{1 - \frac{0,22}{0,723}}{0,723} = 0,962$$

$$b_{ef} = \rho * b = 0,962 * 1,8 = 1,73 \text{ см}$$

Профиль работает полным сечением

Толщина $t = 1,2 \text{ мм}$

В) ската верхняя полка $b_p=90 \text{ мм}$

Эффективная ширина полки при расчете профиля по несущей способности:

$$b_{ef} = \rho * b_p;$$

при относительной гибкости стенки $\bar{\lambda}_p \leq 0,673 \cdot \rho = 1$

$$\text{при относительной гибкости стенки } \bar{\lambda}_p > 0,673 \cdot \rho = \frac{1 - \frac{0,22}{\bar{\lambda}_p}}{\bar{\lambda}_p};$$

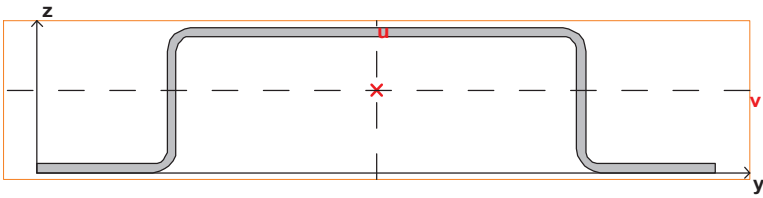
$$\text{где: } \bar{\lambda}_p = 1,052 * \frac{b_p}{t} * \sqrt{\frac{R_y}{E * k_\sigma}}$$

$k_\sigma=4$

$$\bar{\lambda}_p = 1,052 * \frac{9}{0,12} * \sqrt{\frac{2250}{2,1 * 10^6 * 4}} = 1,291$$

$$\square = \frac{1 - \frac{0,22}{\bar{\lambda}_p}}{1 - \frac{0,22}{1,291}} = \frac{1 - \frac{0,22}{1,291}}{1,291} = 0,64$$

$$b_{ef} = \square * b = 0,64 * 9 = 5,78 \text{ см}$$



Геометрические характеристики сечения

	Параметр	Значение	
A	Площадь поперечного сечения	1,5233965	см^2
$A_{v,y}$	Условная площадь среза вдоль оси Y	0,276662	см^2
$A_{v,z}$	Условная площадь среза вдоль оси Z	0,7125113	см^2
α	Угол наклона главных осей инерции	-90	град
I_y	Момент инерции относительно центральной оси Y1 параллельной оси Y	1,0464325	см^4
I_z	Момент инерции относительно центральной оси Z1 параллельной оси Z	11,4955718	см^4
I_t	Момент инерции при свободном кручении	0,0070023	см^4
I_w	Секториальный момент инерции	2,9291236	см^6
i_y	Радиус инерции относительно оси Y1	0,8287988	см
i_z	Радиус инерции относительно оси Z1	2,7470009	см
W_{u+}	Максимальный момент сопротивления относительно оси U	2,4458663	см^3
W_{u-}	Минимальный момент сопротивления относительно оси U	2,4458663	см^3
W_{v+}	Максимальный момент сопротивления относительно оси V	0,9138124	см^3
W_{v-}	Минимальный момент сопротивления относительно оси V	1,2240814	см^3
$W_{pl,u}$	Пластический момент сопротивления относительно оси U	3,7737261	см^3
$W_{pl,v}$	Пластический момент сопротивления относительно оси V	1,1891466	см^3
I_u	Максимальный момент инерции	11,4955718	см^4
I_v	Минимальный момент инерции	1,0464325	см^4
i_u	Максимальный радиус инерции	2,7470009	см
i_v	Минимальный радиус инерции	0,8287988	см
a_{u+}	Яdroвое расстояние вдоль положительного направления оси Y(U)	0,599852	см
a_{u-}	Яdroвое расстояние вдоль отрицательного направления оси Y(U)	0,8035212	см
a_{v+}	Яdroвое расстояние вдоль положительного направления оси Z(V)	1,6055349	см
a_{v-}	Яdroвое расстояние вдоль отрицательного направления оси Z(V)	1,6055349	см
y_m	Координата центра масс по оси Y	4,7	см
z_m	Координата центра масс по оси Z	1,1451283	см
S_w	Секториальный статический момент	0	см^4
Y_b	Координата центра изгиба по оси Y	4,7004071	см
Z_b	Координата центра изгиба по оси Z	2,7018714	см
P	Периметр	25,6579257	см
P_i	Внутренний периметр	0	см
P_e	Внешний периметр	25,6579257	см
I_1	Момент инерции I_y в глобальной системе координат	34,6982616	см^4
I_2	Момент инерции I_z в глобальной системе координат	13,4932304	см^4
I_{12}	Момент инерции I_{yz} в глобальной системе координат	8,1990772	см^4
I_p	Полярный момент инерции	12,5420043	см^4
i_p	Полярный радиус инерции	2,8693068	см
W_p	Полярный радиус сопротивления	0,0053595	см

Габариты сечения 94x20 мм

Эффективная ширина полки при расчете профиля по деформативности:

$$b_{ef} = \rho * b_p ;$$

при относительной гибкости стенки $\bar{\lambda}_p \leq 0,673 \cdot \rho = 1$

$$\text{при относительной гибкости стенки } \bar{\lambda}_p > 0,673 \cdot \rho_e = \frac{1 - \frac{0,22}{\bar{\lambda}_p}}{\bar{\lambda}_p - 0,6} + 0,18 * \frac{\bar{\lambda}_p - \bar{\lambda}_{pe}}{\bar{\lambda}_p - 0,6} ;$$

$$\text{где: } \bar{\lambda}_p = 1,052 * \frac{b_p}{t} * \sqrt{\frac{R_y}{E * k_\sigma}}$$

$$k_\sigma = 4$$

$$\bar{\lambda}_{pd} = 1,052 * \frac{b_p}{t} * \sqrt{\frac{\sigma_d}{E * k_\sigma}}$$

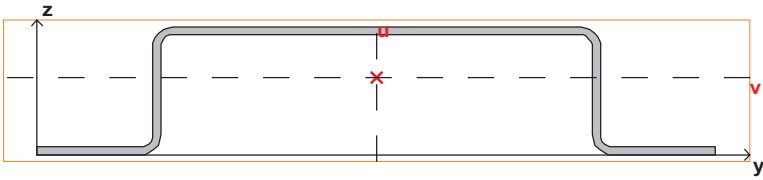
Где: σ_d – сжимающие напряжения в элементе от нормативной нагрузки

$$\bar{\lambda}_{pd} = 1,052 * \frac{9}{0,12} * \sqrt{\frac{1800}{2,1 * 10^6 * 4}} = 1,156$$

$$\bar{\lambda}_p = 1,052 * \frac{9}{0,12} * \sqrt{\frac{2250}{2,1 * 10^6 * 4}} = 1,29$$

$$\rho_e = \frac{1 - \frac{0,22}{1,29}}{\frac{1,29}{1,29} - 0,6} + 0,18 * \frac{1,29 - 1,156}{1,29 - 0,6} = 0,675$$

$$b_{ef} = \rho * b = 0,675 * 9 = 7,1 \text{ см}$$



Геометрические характеристики сечения

	Параметр	Значение	
A	Площадь поперечного сечения	1,6673965	см ²
A _{v,y}	Условная площадь среза вдоль оси Y	0,2575662	см ²
A _{v,z}	Условная площадь среза вдоль оси Z	0,8550992	см ²
α	Угол наклона главных осей инерции	-90	град
I _y	Момент инерции относительно центральной оси Y1 параллельной оси Y	1,1297301	см ⁴
I _z	Момент инерции относительно центральной оси Z1 параллельной оси Z	16,5897458	см ⁴
I _t	Момент инерции при свободном кручении	0,007641	см ⁴
I _w	Секториальный момент инерции	4,7138259	см ⁶
i _y	Радиус инерции относительно оси Y1	0,823129	см
i _z	Радиус инерции относительно оси Z1	3,1542813	см
W _{u+}	Максимальный момент сопротивления относительно оси U3,1301407		см ³
W _{u-}	Минимальный момент сопротивления относительно оси U	3,1301407	см ³
W _{v+}	Максимальный момент сопротивления относительно оси V0,9307573		см ³
W _{v-}	Минимальный момент сопротивления относительно оси V	1,4369047	см ³
W _{pl,u}	Пластический момент сопротивления относительно оси U	4,730964	см ³
W _{pl,v}	Пластический момент сопротивления относительно оси V	1,2834903	см ³
I _u	Максимальный момент инерции	16,5897458	см ⁴
I _v	Минимальный момент инерции	1,1297301	см ⁴
i _u	Максимальный радиус инерции	3,1542813	см
i _v	Минимальный радиус инерции	0,823129	см
a _{u+}	Ядровое расстояние вдоль положительного направления оси Y(U)	0,5582099	см
a _{u-}	Ядровое расстояние вдоль отрицательного направления оси Y(U)	0,8617654	см
a _{v+}	Ядровое расстояние вдоль положительного направления оси Z(V)	1,8772624	см
a _{v-}	Ядровое расстояние вдоль отрицательного направления оси Z(V)	1,8772624	см
y _M	Координата центра масс по оси Y	5,3	см
z _M	Координата центра масс по оси Z	1,2137752	см
S _w	Секториальный статический момент	0	см ⁴
Y _b	Координата центра изгиба по оси Y	5,3015942	см
Z _b	Координата центра изгиба по оси Z	2,7423961	см
P	Периметр	28,0579257	см
P _i	Внутренний периметр	0	см
P _e	Внешний периметр	28,0579257	см
I ₁	Момент инерции I _y в глобальной системе координат	47,9668983	см ⁴
I ₂	Момент инерции I _z в глобальной системе координат	19,0462381	см ⁴
I ₁₂	Момент инерции I _{yz} в глобальной системе координат	10,726376	см ⁴
I _p	Полярный момент инерции	17,7194759	см ⁴
i _p	Полярный радиус инерции	3,2599129	см
W _p	Полярный радиус сопротивления	0,0059938	см

Габариты сечения 106x20 мм

Эффективная ширина стенки при расчете профиля по прочности:

$$b_{ef1} = 0,76 * t * \sqrt{\frac{E}{R_y}} = 0,76 * 0,12 * \sqrt{\frac{2,1 * 10^6}{2250}} = 2,78 \text{ см} > 2 \text{ см (высота профиля)}$$

г) сжата нижняя полка $b_p=18 \text{ мм}$

Эффективная ширина полки при расчете профиля по несущей способности:

$$b_{ef} = \rho * b_p;$$

при относительной гибкости стенки $\bar{\lambda}_p \leq 0,673 \cdot \rho = 1$

$$\text{при относительной гибкости стенки } \bar{\lambda}_p > 0,673 \cdot \rho = \frac{1 - \frac{0,22}{\bar{\lambda}_\delta}}{\bar{\lambda}_\delta};$$

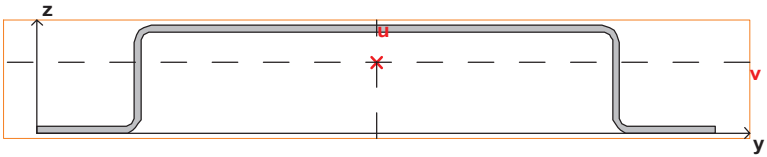
$$\text{где: } \bar{\lambda}_\delta = 0,75 * \frac{b_\delta}{t} * \sqrt{\frac{(3 + \psi) * R_\delta}{A}}$$

$$\psi = \frac{\sigma_2}{\sigma_1} = \frac{0,5}{1,3} = 0,385$$

$$\bar{\lambda}_p = 0,75 * \frac{1,8}{0,12} * \sqrt{\frac{3,85 * 2250}{2,1 * 10^6}} = 0,723$$

$$\rho = \frac{1 - \frac{0,22}{\bar{\lambda}_p}}{\bar{\lambda}_p} = \frac{1 - \frac{0,22}{0,723}}{0,723} = 0,962$$

$$b_{ef} = \rho * b = 0,962 * 1,8 = 1,73 \text{ см}$$



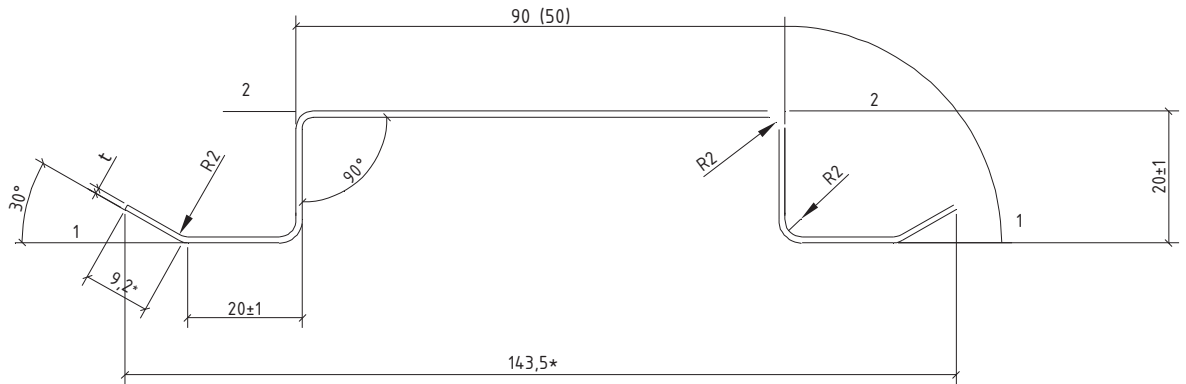
Геометрические характеристики сечения

	Параметр	Значение	
A	Площадь поперечного сечения	1,9073965	см ²
A _{v,y}	Условная площадь среза вдоль оси Y	0,2299874	см ²
A _{v,z}	Условная площадь среза вдоль оси Z	1,0913875	см ²
α	Угол наклона главных осей инерции	-90	град
I _y	Момент инерции относительно центральной оси Y1 параллельной оси Y	1,2406681	см ⁴
I _z	Момент инерции относительно центральной оси Z1 параллельной оси Z	27,7990704	см ⁴
I _t	Момент инерции при свободном кручении	0,0088023	см ⁴
I _w	Секториальный момент инерции	9,49059	см ⁶
i _y	Радиус инерции относительно оси Y1	0,8065055	см
i _z	Радиус инерции относительно оси Z1	3,8176371	см
W _{u+}	Максимальный момент сопротивления относительно оси U	4,4125509	см ³
W _{u-}	Минимальный момент сопротивления относительно оси U	4,4125509	см ³
W _{v+}	Максимальный момент сопротивления относительно оси V	0,950592	см ³
W _{v-}	Минимальный момент сопротивления относительно оси V	1,7855273	см ³
W _{pl,u}	Пластический момент сопротивления относительно оси U	6,5183605	см ³
W _{pl,v}	Пластический момент сопротивления относительно оси V	1,4125835	см ³
I _u	Максимальный момент инерции	27,7990704	см ⁴
I _v	Минимальный момент инерции	1,2406681	см ⁴
i _u	Максимальный радиус инерции	3,8176371	см
i _v	Минимальный радиус инерции	0,8065055	см
a _{u+}	Ядровое расстояние вдоль положительного направления оси Y(U)	0,4983714	см
a _{u-}	Ядровое расстояние вдоль отрицательного направления оси Y(U)	0,936107	см
a _{v+}	Ядровое расстояние вдоль положительного направления оси Z(V)	2,3133894	см
a _{v-}	Ядровое расстояние вдоль отрицательного направления оси Z(V)	2,3133894	см
y _M	Координата центра масс по оси Y	6,3	см
z _M	Координата центра масс по оси Z	1,3051531	см
S _w	Секториальный статический момент	0	см ⁴
Y _b	Координата центра изгиба по оси Y	6,2981252	см
Z _b	Координата центра изгиба по оси Z	2,7617055	см
P	Периметр	32,0579257	см
P _i	Внутренний периметр	0	см
P _e	Внешний периметр	32,0579257	см
I ₁	Момент инерции I _y в глобальной системе координат	76,9452359	см ⁴
I ₂	Момент инерции I _z в глобальной системе координат	31,0481767	см ⁴
I ₁₂	Момент инерции I _{yz} в глобальной системе координат	15,6835005	см ⁴
I _p	Полярный момент инерции	29,0397385	см ⁴
i _p	Полярный радиус инерции	3,9018975	см
W _p	Полярный радиус сопротивления	0,0070155	см

Габариты сечения 126x20 мм

Профиль при сжатой нижней полки работает полным сечением

Сечение вертикальной направляющей КПШ-90x20x3000; КПШ-50x20x3000



Толщина $t = 1,2 \text{ мм}$

При сжатой верхней полки сечение работает так же как для сечения КПШУ-90x20x3000; КПШУ-50x20x3000

г) сжата нижняя полка $b_p=20 \text{ мм}$

Эффективная ширина полки при расчете профиля по несущей способности:

$$b_{ef} = \rho * b_p;$$

при относительной гибкости стенки $\bar{\lambda}_p \leq 0,673 \cdot \rho = 1$

$$\text{при относительной гибкости стенки } \bar{\lambda}_p > 0,673 \cdot \rho = \frac{1 - \frac{0,22}{\bar{\lambda}_p}}{\bar{\lambda}_p};$$

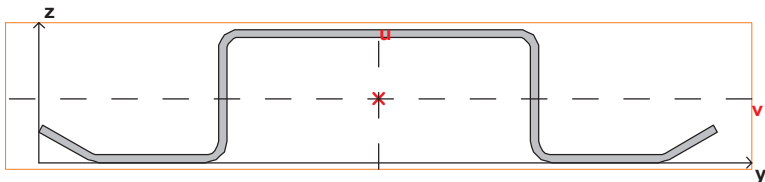
$$\text{где: } \bar{\lambda}_p = 1,052 * \frac{b_p}{t} * \sqrt{\frac{R_y}{E * k_\sigma}}$$

$$k_\sigma = 4$$

$$\bar{\lambda}_p = 1,052 * \frac{2}{0,12} * \sqrt{\frac{2250}{2,1 * 10^6 * 4}} = 0,573$$

$$\rho = \frac{1 - \frac{0,22}{\bar{\lambda}_p}}{1 - \frac{0,22}{0,573}} = \frac{1 - \frac{0,22}{0,573}}{0,573} = 1,076$$

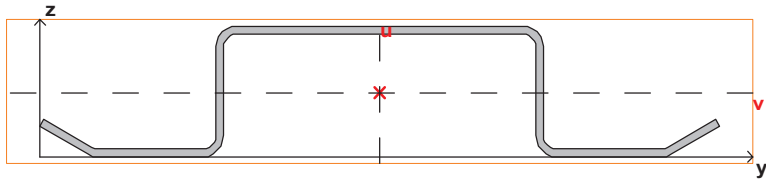
$$b_{ef} = \rho * b = 1,076 * 2 = 2,15 \text{ см} > 2 \text{ см}$$



Геометрические характеристики сечения

	Параметр	Значение	
A	Площадь поперечного сечения	1,6345142	см ²
A _{v,y}	Условная площадь среза вдоль оси Y	0,2584055	см ²
A _{v,z}	Условная площадь среза вдоль оси Z	0,7102696	см ²
α	Угол наклона главных осей инерции	-90	град
I _y	Момент инерции относительно центральной оси Y1 параллельной оси Y	1,0972013	см ⁴
I _z	Момент инерции относительно центральной оси Z1 параллельной оси Z	13,0587309	см ⁴
I _t	Момент инерции при свободном кручении	0,0075261	см ⁴
I _w	Секториальный момент инерции	4,5851285	см ⁶
i _y	Радиус инерции относительно оси Y1	0,819311	см
i _z	Радиус инерции относительно оси Z1	2,8265465	см
W _{u+}	Максимальный момент сопротивления относительно оси U	2,5722562	см ³
W _{u-}	Минимальный момент сопротивления относительно оси U	2,5722677	см ³
W _{v+}	Максимальный момент сопротивления относительно оси V	1,058387	см ³
W _{v-}	Минимальный момент сопротивления относительно оси V	1,1389709	см ³
W _{pl,u}	Пластический момент сопротивления относительно оси U	4,1118828	см ³
W _{pl,v}	Пластический момент сопротивления относительно оси V	1,269738	см ³
I _u	Максимальный момент инерции	13,0587309	см ⁴
I _v	Минимальный момент инерции	1,0972013	см ⁴
i _u	Максимальный радиус инерции	2,8265465	см
i _v	Минимальный радиус инерции	0,819311	см
a _{u+}	Ядровое расстояние вдоль положительного направления оси Y(U)	0,6475239	см
a _{u-}	Ядровое расстояние вдоль отрицательного направления оси Y(U)	0,6968253	см
a _{v+}	Ядровое расстояние вдоль положительного направления оси Z(V)	1,573713	см
a _{v-}	Ядровое расстояние вдоль отрицательного направления оси Z(V)	1,57372	см
y _M	Координата центра масс по оси Y	5,0767386	см
z _M	Координата центра масс по оси Z	0,9633269	см
S _w	Секториальный статический момент	0	см ⁴
Y _b	Координата центра изгиба по оси Y	5,0768156	см
Z _b	Координата центра изгиба по оси Z	2,3005576	см
P	Периметр	27,5149199	см
P _i	Внутренний периметр	0	см
P _e	Внешний периметр	27,5149199	см
I ₁	Момент инерции I _y в глобальной системе координат	43,2239854	см ⁴
I ₂	Момент инерции I _z в глобальной системе координат	14,5755581	см ⁴
I ₁₂	Момент инерции I _{yz} в глобальной системе координат	7,9936609	см ⁴
I _p	Полярный момент инерции	14,1559322	см ⁴
i _p	Полярный радиус инерции	2,9428958	см
W _p	Полярный радиус сопротивления	0,005439	см

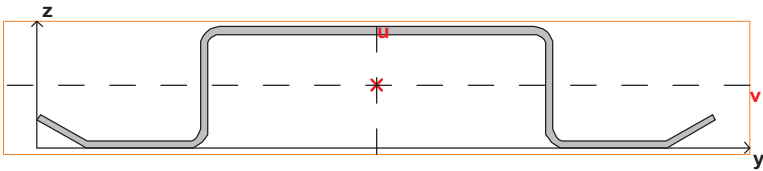
Габариты сечения 101,535x20 мм



Геометрические характеристики сечения

	Параметр	Значение	
A	Площадь поперечного сечения	1,6585142	см^2
$A_{v,y}$	Условная площадь среза вдоль оси Y	0,2557665	см^2
$A_{v,z}$	Условная площадь среза вдоль оси Z	0,7332572	см^2
α	Угол наклона главных осей инерции	-90	град
I_y	Момент инерции относительно центральной оси Y1 параллельной оси Y	1,1197922	см^4
I_z	Момент инерции относительно центральной оси Z1 параллельной оси Z	13,8975326	см^4
I_t	Момент инерции при свободном кручении	0,0076508	см^4
I_w	Секториальный момент инерции	4,7664998	см^6
i_y	Радиус инерции относительно оси Y1	0,8216921	см
i_z	Радиус инерции относительно оси Z1	2,8947379	см
W_{u+}	Максимальный момент сопротивления относительно оси U	2,6845999	см^3
W_{u-}	Минимальный момент сопротивления относительно оси U	2,6846115	см^3
W_{v+}	Максимальный момент сопротивления относительно оси V	1,0951086	см^3
W_{v-}	Минимальный момент сопротивления относительно оси V	1,1456141	см^3
$W_{pl,u}$	Пластический момент сопротивления относительно оси U	4,2765342	см^3
$W_{pl,v}$	Пластический момент сопротивления относительно оси V	1,2942762	см^3
I_u	Максимальный момент инерции	13,8975326	см^4
I_v	Минимальный момент инерции	1,1197922	см^4
i_u	Максимальный радиус инерции	2,8947379	см
i_v	Минимальный радиус инерции	0,8216921	см
a_{u+}	Яdroвое расстояние вдоль положительного направления оси Y(U)	0,660295	см
a_{u-}	Яdroвое расстояние вдоль отрицательного направления оси Y(U)	0,6907473	см
a_{v+}	Яdroвое расстояние вдоль положительного направления оси Z(V)	1,6186777	см
a_{v-}	Яdroвое расстояние вдоль отрицательного направления оси Z(V)	1,6186847	см
y_m	Координата центра масс по оси Y	5,1767388	см
z_m	Координата центра масс по оси Z	0,9774602	см
S_w	Секториальный статический момент	0	см^4
Y_b	Координата центра изгиба по оси Y	5,1767267	см
Z_b	Координата центра изгиба по оси Z	2,3319855	см
P	Периметр	27,9149199	см
P_i	Внутренний периметр	0	см
P_e	Внешний периметр	27,9149199	см
I_1	Момент инерции I_y в глобальной системе координат	45,5656915	см^4
I_2	Момент инерции I_z в глобальной системе координат	15,4821241	см^4
I_{12}	Момент инерции I_{yz} в глобальной системе координат	8,3921464	см^4
I_p	Полярный момент инерции	15,0173248	см^4
i_p	Полярный радиус инерции	3,0091005	см
W_p	Полярный радиус сопротивления	0,0055483	см

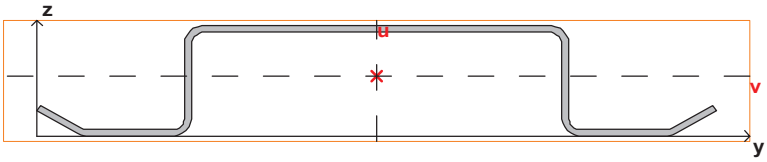
Габариты сечения 103,535x20 мм



Геометрические характеристики сечения

	Параметр	Значение	
A	Площадь поперечного сечения	1,7545142	см^2
$A_{v,y}$	Условная площадь среза вдоль оси Y	0,2453438	см^2
$A_{v,z}$	Условная площадь среза вдоль оси Z	0,8258381	см^2
α	Угол наклона главных осей инерции	-90	град
I_y	Момент инерции относительно центральной оси Y1 параллельной оси Y	1,2039832	см^4
I_z	Момент инерции относительно центральной оси Z1 параллельной оси Z	17,5892422	см^4
I_t	Момент инерции при свободном кручении	0,0080726	см^4
I_w	Секториальный момент инерции	5,5597814	см^6
i_y	Радиус инерции относительно оси Y1	0,8283841	см
i_z	Радиус инерции относительно оси Z1	3,1662494	см
W_{u+}	Максимальный момент сопротивления относительно оси U3,154025		см^3
W_{u-}	Минимальный момент сопротивления относительно оси U	3,154037	см^3
W_{v+}	Максимальный момент сопротивления относительно оси V1,1687722		см^3
W_{v-}	Минимальный момент сопротивления относительно оси V	1,2413817	см^3
$W_{pl,u}$	Пластический момент сопротивления относительно оси U	4,9591399	см^3
$W_{pl,v}$	Пластический момент сопротивления относительно оси V	1,3865603	см^3
I_u	Максимальный момент инерции	17,5892422	см^4
I_v	Минимальный момент инерции	1,2039832	см^4
i_u	Максимальный радиус инерции	3,1662494	см
i_v	Минимальный радиус инерции	0,8283841	см
a_{u+}	Ядровое расстояние вдоль положительного направления оси Y(U)	0,6661515	см
a_{u-}	Ядровое расстояние вдоль отрицательного направления оси Y(U)	0,7075358	см
a_{v+}	Ядровое расстояние вдоль положительного направления оси Z(V)	1,7976629	см
a_{v-}	Ядровое расстояние вдоль отрицательного направления оси Z(V)	1,7976697	см
y_m	Координата центра масс по оси Y	5,5767394	см
z_m	Координата центра масс по оси Z	1,0301265	см
S_w	Секториальный статический момент	0	см^4
Y_b	Координата центра изгиба по оси Y	5,5782756	см
Z_b	Координата центра изгиба по оси Z	2,4361149	см
P	Периметр	29,5149199	см
P_i	Внутренний периметр	0	см
P_e	Внешний периметр	29,5149199	см
I_1	Момент инерции I_y в глобальной системе координат	55,7694141	см^4
I_2	Момент инерции I_z в глобальной системе координат	19,4510636	см^4
I_{12}	Момент инерции I_{yz} в глобальной системе координат	10,0792083	см^4
I_p	Полярный момент инерции	18,7932254	см^4
i_p	Полярный радиус инерции	3,2728207	см
W_p	Полярный радиус сопротивления	0,0059803	см

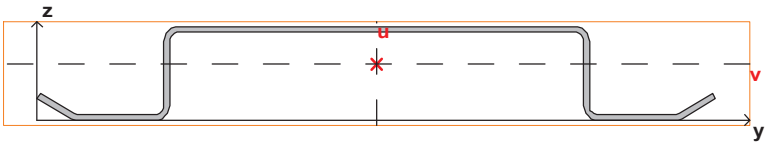
Габариты сечения 111,535x20 мм



Геометрические характеристики сечения

	Параметр	Значение	
A	Площадь поперечного сечения	1,8985142	см ²
A _{v,y}	Условная площадь среза вдоль оси Y	0,2304906	см ²
A _{v,z}	Условная площадь среза вдоль оси Z	0,9657685	см ²
α	Угол наклона главных осей инерции	-90	град
I _y	Момент инерции относительно центральной оси Y1 параллельной оси Y	1,3143271	см ⁴
I _z	Момент инерции относительно центральной оси Z1 параллельной оси Z	24,1891152	см ⁴
I _t	Момент инерции при свободном кручении	0,0087204	см ⁴
I _w	Секториальный момент инерции	7,139638	см ⁶
i _y	Радиус инерции относительно оси Y1	0,8320411	см
i _z	Радиус инерции относительно оси Z1	3,5694645	см
W _{u+}	Максимальный момент сопротивления относительно оси U	3,9161496	см ³
W _{u-}	Минимальный момент сопротивления относительно оси U	3,916162	см ³
W _{v+}	Максимальный момент сопротивления относительно оси V	1,1957784	см ³
W _{v-}	Минимальный момент сопротивления относительно оси V	1,4589681	см ³
W _{pl,u}	Пластический момент сопротивления относительно оси U	6,0550484	см ³
W _{pl,v}	Пластический момент сопротивления относительно оси V	1,5095027	см ³
I _u	Максимальный момент инерции	24,1891152	см ⁴
I _v	Минимальный момент инерции	1,3143271	см ⁴
i _u	Максимальный радиус инерции	3,5694645	см
i _v	Минимальный радиус инерции	0,8320411	см
a _{u+}	Ядровое расстояние вдоль положительного направления оси Y(U)	0,6298496	см
a _{u-}	Ядровое расстояние вдоль отрицательного направления оси Y(U)	0,7684789	см
a _{v+}	Ядровое расстояние вдоль положительного направления оси Z(V)	2,0627444	см
a _{v-}	Ядровое расстояние вдоль отрицательного направления оси Z(V)	2,062751	см
y _M	Координата центра масс по оси Y	6,1767402	см
z _M	Координата центра масс по оси Z	1,0991393	см
S _w	Секториальный статический момент	0	см ⁴
Y _b	Координата центра изгиба по оси Y	6,1761478	см
Z _b	Координата центра изгиба по оси Z	2,5438829	см
P	Периметр	31,9149199	см
P _i	Внутренний периметр	0	см
P _e	Внешний периметр	31,9149199	см
I ₁	Момент инерции I _y в глобальной системе координат	73,7466678	см ⁴
I ₂	Момент инерции I _z в глобальной системе координат	26,4827239	см ⁴
I ₁₂	Момент инерции I _{yz} в глобальной системе координат	12,8891613	см ⁴
I _p	Полярный момент инерции	25,5034423	см ⁴
i _p	Полярный радиус инерции	3,6651561	см
W _p	Полярный радиус сопротивления	0,0066138	см

Габариты сечения 123,535x20 мм

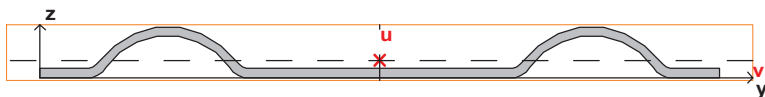


Геометрические характеристики сечения

	Параметр	Значение	
A	Площадь поперечного сечения	2,1385142	см^2
$A_{v,y}$	Условная площадь среза вдоль оси Y	0,2084546	см^2
$A_{v,z}$	Условная площадь среза вдоль оси Z	1,1993845	см^2
α	Угол наклона главных осей инерции	-90	град
I_y	Момент инерции относительно центральной оси Y1 параллельной оси Y	1,4652623	см^4
I_z	Момент инерции относительно центральной оси Z1 параллельной оси Z	38,2777263	см^4
I_t	Момент инерции при свободном кручении	0,0098717	см^4
I_w	Секториальный момент инерции	11,3639355	см^6
i_y	Радиус инерции относительно оси Y1	0,8277546	см
i_z	Радиус инерции относительно оси Z1	4,2307464	см
W_{u+}	Максимальный момент сопротивления относительно оси U	5,3335674	см^3
W_{u-}	Минимальный момент сопротивления относительно оси U	5,3335803	см^3
W_{v+}	Максимальный момент сопротивления относительно оси V	1,2276948	см^3
W_{v-}	Минимальный момент сопротивления относительно оси V	1,8168319	см^3
$W_{pl,u}$	Пластический момент сопротивления относительно оси U	8,0735626	см^3
$W_{pl,v}$	Пластический момент сопротивления относительно оси V	1,6813136	см^3
I_u	Максимальный момент инерции	38,2777263	см^4
I_v	Минимальный момент инерции	1,4652623	см^4
i_u	Максимальный радиус инерции	4,2307464	см
i_v	Минимальный радиус инерции	0,8277546	см
a_{u+}	Яdroвое расстояние вдоль положительного направления оси Y(U)	0,5740877	см
a_{u-}	Яdroвое расстояние вдоль отрицательного направления оси Y(U)	0,8495767	см
a_{v+}	Яdroвое расстояние вдоль положительного направления оси Z(V)	2,4940529	см
a_{v-}	Яdroвое расстояние вдоль отрицательного направления оси Z(V)	2,4940589	см
y_M	Координата центра масс по оси Y	7,1767413	см
z_M	Координата центра масс по оси Z	1,193507	см
S_w	Секториальный статический момент	0	см^4
Y_b	Координата центра изгиба по оси Y	7,1761545	см
Z_b	Координата центра изгиба по оси Z	2,6442667	см
P	Периметр	35,9149199	см
P_i	Внутренний периметр	0	см
P_e	Внешний периметр	35,9149199	см
I_1	Момент инерции I_y в глобальной системе координат	111,6107529	см^4
I_2	Момент инерции I_z в глобальной системе координат	41,3239518	см^4
I_{12}	Момент инерции I_{yz} в глобальной системе координат	18,3173762	см^4
I_p	Полярный момент инерции	39,7429886	см^4
i_p	Полярный радиус инерции	4,310962	см
W_p	Полярный радиус сопротивления	0,0076364	см

Габариты сечения 143,535x20 мм

Профиль работает полным сечением

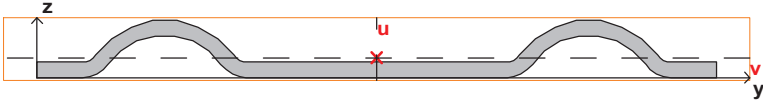


ККУ-1,2

Геометрические характеристики сечения

	Параметр	Значение	
A	Площадь поперечного сечения	1,1357011	см ²
A _{v,y}	Условная площадь среза вдоль оси Y	0,075379	см ²
A _{v,z}	Условная площадь среза вдоль оси Z	0,8264564	см ²
α	Угол наклона главных осей инерции	-90	град
I _y	Момент инерции относительно центральной оси Y1 параллельной оси Y	0,0511413	см ⁴
I _z	Момент инерции относительно центральной оси Z1 параллельной оси Z	7,4600002	см ⁴
I _t	Момент инерции при свободном кручении	0,0051898	см ⁴
I _w	Секториальный момент инерции	0,5077477	см ⁶
i _y	Радиус инерции относительно оси Y1	0,2122042	см
i _z	Радиус инерции относительно оси Z1	2,5629338	см
W _{u+}	Максимальный момент сопротивления относительно оси U	1,6954546	см ³
W _{u-}	Минимальный момент сопротивления относительно оси U	1,6954546	см ³
W _{v+}	Максимальный момент сопротивления относительно оси V	0,1182201	см ³
W _{v-}	Минимальный момент сопротивления относительно оси V	0,2250884	см ³
W _{pl,u}	Пластический момент сопротивления относительно оси U	2,542378	см ³
W _{pl,v}	Пластический момент сопротивления относительно оси V	0,2163244	см ³
I _u	Максимальный момент инерции	7,4600002	см ⁴
I _v	Минимальный момент инерции	0,0511413	см ⁴
i _u	Максимальный радиус инерции	2,5629338	см
i _v	Минимальный радиус инерции	0,2122042	см
a _{u+}	Яdroвое расстояние вдоль положительного направления оси Y(U)	0,1040944	см
a _{u-}	Яdroвое расстояние вдоль отрицательного направления оси Y(U)	0,1981933	см
a _{v+}	Яdroвое расстояние вдоль положительного направления оси Z(V)	1,4928704	см
a _{v-}	Яdroвое расстояние вдоль отрицательного направления оси Z(V)	1,4928704	см
y _M	Координата центра масс по оси Y	4,4	см
z _M	Координата центра масс по оси Z	0,2272056	см
S _w	Секториальный статический момент	0	см ⁴
Y _b	Координата центра изгиба по оси Y	4,397797	см
Z _b	Координата центра изгиба по оси Z	0,1543277	см
P	Периметр	19,2565092	см
P _i	Внутренний периметр	0	см
P _e	Внешний периметр	19,2565092	см
I ₁	Момент инерции I _y в глобальной системе координат	22,0383146	см ⁴
I ₂	Момент инерции I _z в глобальной системе координат	7,5186278	см ⁴
I ₁₂	Момент инерции I _{yz} в глобальной системе координат	1,1353657	см ⁴
I _p	Полярный момент инерции	7,5111415	см ⁴
i _p	Полярный радиус инерции	2,5717038	см
W _p	Полярный радиус сопротивления	0,0038694	см

Габариты сечения 88x6,598 мм

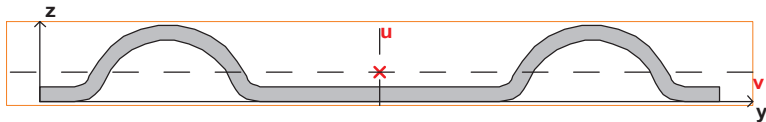


ККУ-2,0 h5.5

Геометрические характеристики сечения

	Параметр	Значение	
A	Площадь поперечного сечения	1,8929946	см ²
A _{v,y}	Условная площадь среза вдоль оси Y	0,1363167	см ²
A _{v,z}	Условная площадь среза вдоль оси Z	1,3797352	см ²
α	Угол наклона главных осей инерции	-90	град
I _y	Момент инерции относительно центральной оси Y1 параллельной оси Y	0,0890517	см ⁴
I _z	Момент инерции относительно центральной оси Z1 параллельной оси Z	12,4311175	см ⁴
I _t	Момент инерции при свободном кручении	0,0241113	см ⁴
I _w	Секториальный момент инерции	0,8704675	см ⁶
i _y	Радиус инерции относительно оси Y1	0,2168935	см
i _z	Радиус инерции относительно оси Z1	2,5625975	см
W _{u+}	Максимальный момент сопротивления относительно оси U	2,825254	см ³
W _{u-}	Минимальный момент сопротивления относительно оси U	2,825254	см ³
W _{v+}	Максимальный момент сопротивления относительно оси V	0,1874228	см ³
W _{v-}	Минимальный момент сопротивления относительно оси V	0,3364734	см ³
W _{pl,u}	Пластический момент сопротивления относительно оси U	4,2377352	см ³
W _{pl,v}	Пластический момент сопротивления относительно оси V	0,3613387	см ³
I _u	Максимальный момент инерции	12,4311175	см ⁴
I _v	Минимальный момент инерции	0,0890517	см ⁴
i _u	Максимальный радиус инерции	2,5625975	см
i _v	Минимальный радиус инерции	0,2168935	см
a _{u+}	Яdroвое расстояние вдоль положительного направления оси Y(U)	0,0990086	см
a _{u-}	Яdroвое расстояние вдоль отрицательного направления оси Y(U)	0,1777466	см
a _{v+}	Яdroвое расстояние вдоль положительного направления оси Z(V)	1,4924786	см
a _{v-}	Яdroвое расстояние вдоль отрицательного направления оси Z(V)	1,4924786	см
y _M	Координата центра масс по оси Y	4,4	см
z _M	Координата центра масс по оси Z	0,2646619	см
S _w	Секториальный статический момент	0	см ⁴
Y _b	Координата центра изгиба по оси Y	4,3904677	см
Z _b	Координата центра изгиба по оси Z	0,1921544	см
P	Периметр	19,4167648	см
P _i	Внутренний периметр	0	см
P _e	Внешний периметр	19,4167648	см
I ₁	Момент инерции I _y в глобальной системе координат	36,7374272	см ⁴
I ₂	Момент инерции I _z в глобальной системе координат	12,5637141	см ⁴
I ₁₂	Момент инерции I _{yz} в глобальной системе координат	2,2044159	см ⁴
I _p	Полярный момент инерции	12,5201693	см ⁴
i _p	Полярный радиус инерции	2,5717599	см
W _p	Полярный радиус сопротивления	0,0064437	см

Габариты сечения 88x7,398 мм

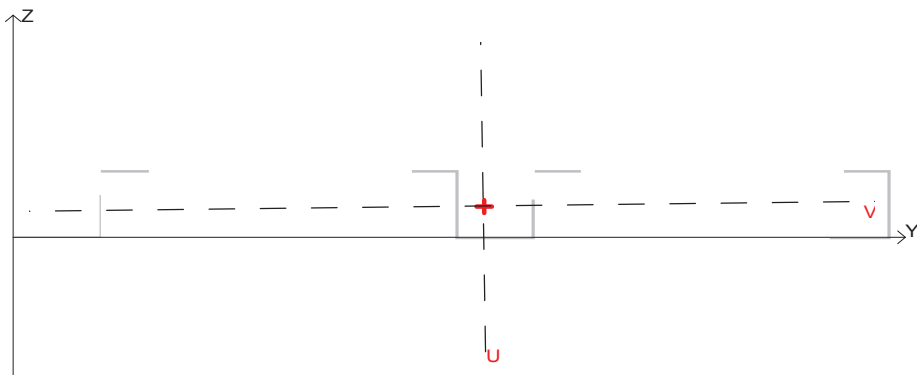


ККУ-2,0 h8.0

Геометрические характеристики сечения

	Параметр	Значение	
A	Площадь поперечного сечения	2,0133083	см^2
$A_{v,y}$	Условная площадь среза вдоль оси Y	0,2465878	см^2
$A_{v,z}$	Условная площадь среза вдоль оси Z	1,3200294	см^2
α	Угол наклона главных осей инерции	-90	град
I_y	Момент инерции относительно центральной оси Y1 параллельной оси Y	0,2019002	см^4
I_z	Момент инерции относительно центральной оси Z1 параллельной оси Z	13,4430171	см^4
I_t	Момент инерции при свободном кручении	0,0257857	см^4
I_w	Секториальный момент инерции	2,0629552	см^6
i_y	Радиус инерции относительно оси Y1	0,3166746	см
i_z	Радиус инерции относительно оси Z1	2,5840043	см
W_{u+}	Максимальный момент сопротивления относительно оси U	3,0552312	см^3
W_{u-}	Минимальный момент сопротивления относительно оси U	3,0552312	см^3
W_{v+}	Максимальный момент сопротивления относительно оси V	0,3284384	см^3
W_{v-}	Минимальный момент сопротивления относительно оси V	0,5327576	см^3
$W_{pl,u}$	Пластический момент сопротивления относительно оси U	4,5685978	см^3
$W_{pl,v}$	Пластический момент сопротивления относительно оси V	0,5790819	см^3
I_u	Максимальный момент инерции	13,4430171	см^4
I_v	Минимальный момент инерции	0,2019002	см^4
i_u	Максимальный радиус инерции	2,5840043	см
i_v	Минимальный радиус инерции	0,3166746	см
a_{u+}	Яdroвое расстояние вдоль положительного направления оси Y(U)	0,1631337	см
a_{u-}	Яdroвое расстояние вдоль отрицательного направления оси Y(U)	0,264618	см
a_{v+}	Яdroвое расстояние вдоль положительного направления оси Z(V)	1,5175178	см
a_{v-}	Яdroвое расстояние вдоль отрицательного направления оси Z(V)	1,5175178	см
Y_M	Координата центра масс по оси Y	4,4	см
Z_M	Координата центра масс по оси Z	0,3789721	см
S_w	Секториальный статический момент	0	см^4
Y_b	Координата центра изгиба по оси Y	4,3906401	см
Z_b	Координата центра изгиба по оси Z	0,2565784	см
P	Периметр	20,6060276	см
P_i	Внутренний периметр	0	см
P_e	Внешний периметр	20,6060276	см
I_1	Момент инерции I_y в глобальной системе координат	39,1795489	см^4
I_2	Момент инерции I_z в глобальной системе координат	13,7321681	см^4
I_{12}	Момент инерции I_{yz} в глобальной системе координат	3,3571456	см^4
I_p	Полярный момент инерции	13,6449174	см^4
i_p	Полярный радиус инерции	2,6033365	см
W_p	Полярный радиус сопротивления	0,0069961	см

Габариты сечения 88x9,937 мм

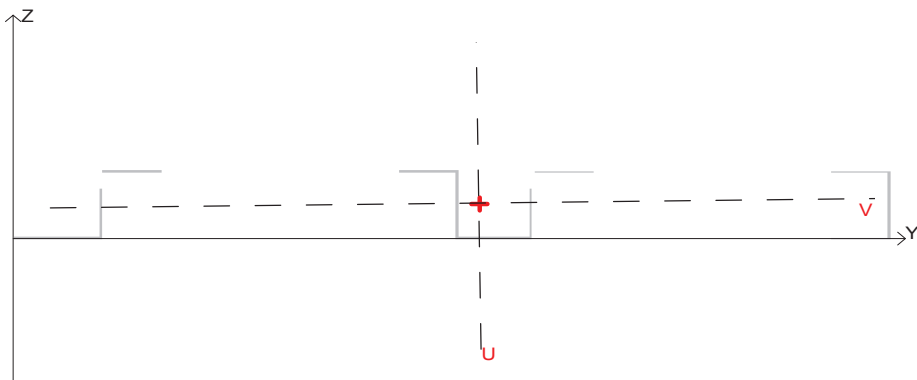


	Элемент сечения	Угол поворота	Зеркально
Лист 15 x 0.4			
Лист 8 x 0.4		90,0	
Лист 8 x 0.4			
Лист 8 x 0.4			
Лист 13.4 x 0.4		90,0	
Лист 12.6 x 0.4			
Лист 8 x 0.4		90,0	
Лист 8 x 0.4			
Лист 8 x 0.4			
Лист 13.4 x 0.4		90,0	
Лист 10 x 0.4			

Габариты сечения 150,0 x 13,8 мм

Геометрические характеристики сечения

	Параметр	Значение	
A	Площадь поперечного сечения	0.4496	см ²
α	Угол наклона главных осей инерции	-89,2	град
I_y	Момент инерции относительно центральной оси Y1 параллельной оси Y	0.144945	см ⁴
I_z	Момент инерции относительно центральной оси Z1 параллельной оси Z	11,516	см ⁴
I_t	Момент инерции при свободном кручении	0.000225411	см ⁴
i_y	Радиус инерции относительно оси Y1	0.567791	см
i_z	Радиус инерции относительно оси Z1	5,061	см
W_{u+}	Максимальный момент сопротивления относительно оси U	1,423	см ³
W_{u-}	Минимальный момент сопротивления относительно оси U	1,663	см ³
W_{v+}	Максимальный момент сопротивления относительно оси V	0.167053	см ³
W_{v-}	Минимальный момент сопротивления относительно оси V	0.19989	см ³
$W_{pl,u}$	Пластический момент сопротивления относительно оси U	1,992	см ³
$W_{pl,v}$	Пластический момент сопротивления относительно оси V	0.209012	см ³
I_u	Максимальный момент инерции	11,518	см ⁴
I_v	Минимальный момент инерции	0.142727	см ⁴
i_u	Максимальный радиус инерции	5,061	см
i_v	Минимальный радиус инерции	0.563429	см
a_{u+}	Яdroвое расстояние вдоль положительного направления оси Y(U)	0.371559	см
a_{u-}	Яdroвое расстояние вдоль отрицательного направления оси Y(U)	0.444596	см
a_{v+}	Яdroвое расстояние вдоль положительного направления оси Z(V)	3,166	см
a_{v-}	Яdroвое расстояние вдоль отрицательного направления оси Z(V)	3,699	см
y_M	Координата центра масс по оси Y	8,085	см
z_M	Координата центра масс по оси Z	0.597509	см



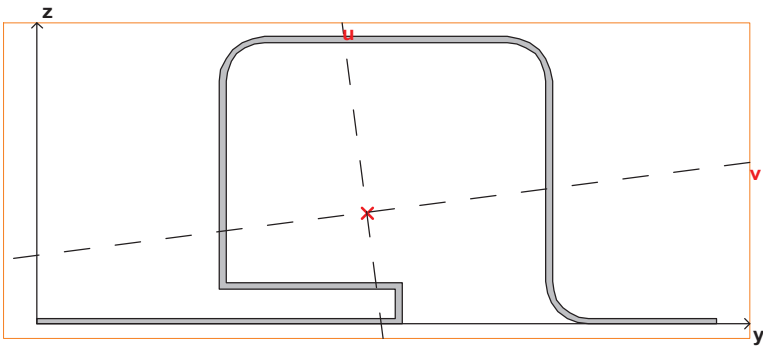
МП СК-14x226x0,5

	Элемент сечения	Угол поворота	Зеркально
Лист 15 x 0,5			
Лист 9,5 x 0,5		90,0	
Лист 10 x 0,5			
Лист 10 x 0,5			
Лист 13,1 x 0,5		90,0	
Лист 12,5 x 0,5			
Лист 9,5 x 0,5		90,0	
Лист 10 x 0,5			
Лист 10 x 0,5			
Лист 13,1 x 0,5		90,0	
Лист 9,5 x 0,5			

Габариты сечения 148,0 x 13,7 мм

Геометрические характеристики сечения

	Параметр	Значение	
A	Площадь поперечного сечения	0,611	см ²
α	Угол наклона главных осей инерции	-89,235	град
I_y	Момент инерции относительно центральной оси Y1 параллельной оси Y	0,19269	см ⁴
I_z	Момент инерции относительно центральной оси Z1 параллельной оси Z	14,838	см ⁴
I_t	Момент инерции при свободном кручении	0,000478504	см ⁴
i_y	Радиус инерции относительно оси Y1	0,561577	см
i_z	Радиус инерции относительно оси Z1	4,928	см
W_{u+}	Максимальный момент сопротивления относительно оси U	1,882	см ³
W_{u-}	Минимальный момент сопротивления относительно оси U	2,142	см ³
W_{v+}	Максимальный момент сопротивления относительно оси V	0,243098	см ³
W_{v-}	Минимальный момент сопротивления относительно оси V	0,248337	см ³
$W_{pl,u}$	Пластический момент сопротивления относительно оси U	2,292	см ³
$W_{pl,v}$	Пластический момент сопротивления относительно оси V	0,302022	см ³
I_u	Максимальный момент инерции	14,84	см ⁴
I_v	Минимальный момент инерции	0,190082	см ⁴
i_u	Максимальный радиус инерции	4,928	см
i_v	Минимальный радиус инерции	0,557764	см
a_{u+}	Яdroвое расстояние вдоль положительного направления оси Y(U)	0,397869	см
a_{u-}	Яdroвое расстояние вдоль отрицательного направления оси Y(U)	0,406443	см
a_{v+}	Яdroвое расстояние вдоль положительного направления оси Z(V)	3,08	см
a_{v-}	Яdroвое расстояние вдоль отрицательного направления оси Z(V)	3,505	см
y_M	Координата центра масс по оси Y	7,879	см
z_M	Координата центра масс по оси Z	0,663134	см

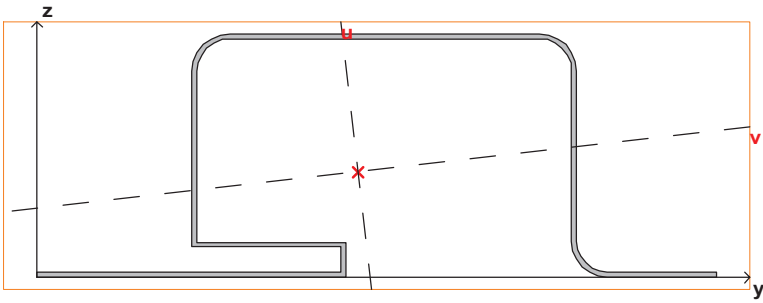


МП ЛП-Т-24х0,5 20т

Геометрические характеристики сечения

Параметр	Значение	
A Площадь поперечного сечения	0,6338102	см ²
$A_{v,y}$ Условная площадь среза вдоль оси Y	0,1305808	см ²
$A_{v,z}$ Условная площадь среза вдоль оси Z	0,0913541	см ²
α Угол наклона главных осей инерции	-82,509	град
I_y Момент инерции относительно центральной оси Y1 параллельной оси Y	0,5543521	см ⁴
I_z Момент инерции относительно центральной оси Z1 параллельной оси Z	1,1465785	см ⁴
I_t Момент инерции при свободном кручении	0,0005086	см ⁴
I_w Секториальный момент инерции	2,4060828	см ⁶
i_y Радиус инерции относительно оси Y1	0,9352188	см
i_z Радиус инерции относительно оси Z1	1,345	см
W_{u+} Максимальный момент сопротивления относительно оси U	0,4117497	см ³
W_{u-} Минимальный момент сопротивления относительно оси U	0,4224374	см ³
W_{v+} Максимальный момент сопротивления относительно оси V	0,3509951	см ³
W_{v-} Минимальный момент сопротивления относительно оси V	0,4232811	см ³
$W_{pl,u}$ Пластический момент сопротивления относительно оси U	0,7389034	см ³
$W_{pl,v}$ Пластический момент сопротивления относительно оси V	0,5297261	см ³
I_u Максимальный момент инерции	1,1569974	см ⁴
I_v Минимальный момент инерции	0,5439333	см ⁴
i_u Максимальный радиус инерции	1,3510971	см
i_v Минимальный радиус инерции	0,9263886	см
a_{u+} Ядровое расстояние вдоль положительного направления оси Y(U)	0,5537858	см
a_{u-} Ядровое расстояние вдоль отрицательного направления оси Y(U)	0,6678357	см
a_{v+} Ядровое расстояние вдоль положительного направления оси Z(V)	0,6496419	см
a_{v-} Ядровое расстояние вдоль отрицательного направления оси Z(V)	0,66665046	см
y_m Координата центра масс по оси Y	2,7134515	см
z_m Координата центра масс по оси Z	0,9178747	см
S_w Секториальный статический момент	0	см ⁴
Y_b Координата центра изгиба по оси Y	2,2008221	см
Z_b Координата центра изгиба по оси Z	3,0128238	см
P Периметр	25,4795841	см
P_i Внутренний периметр	0	см
P_e Внешний периметр	25,4795841	см
I_1 Момент инерции I_y в глобальной системе координат	5,2209821	см ⁴
I_2 Момент инерции I_z в глобальной системе координат	1,6805598	см ⁴
I_{12} Момент инерции I_{yz} в глобальной системе координат	1,6578126	см ⁴
I_p Полярный момент инерции	1,7009307	см ⁴
i_p Полярный радиус инерции	1,6381878	см
W_p Полярный радиус сопротивления	0,0018657	см

Габариты сечения 55,9x23,7 мм

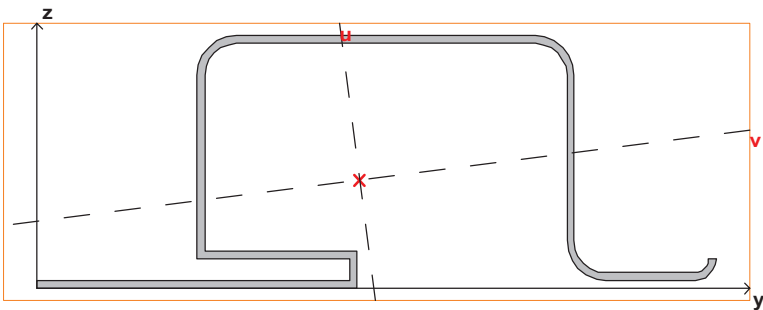


МП ЛП-Т-24х0,5 30т

Геометрические характеристики сечения

Параметр	Значение	
A Площадь поперечного сечения	0,6838102	см ²
A _{v,y} Условная площадь среза вдоль оси Y	0,129759	см ²
A _{v,z} Условная площадь среза вдоль оси Z	0,1277161	см ²
α Угол наклона главных осей инерции	-83,468	град
I _y Момент инерции относительно центральной оси Y1 параллельной оси Y	0,6487508	см ⁴
I _z Момент инерции относительно центральной оси Z1 параллельной оси Z	2,0186342	см ⁴
I _t Момент инерции при свободном кручении	0,0005472	см ⁴
I _w Секториальный момент инерции	3,0730531	см ⁶
i _y Радиус инерции относительно оси Y1	0,9740274	см
i _z Радиус инерции относительно оси Z1	1,7181498	см
W _{u+} Максимальный момент сопротивления относительно оси U	0,6082405	см ³
W _{u-} Минимальный момент сопротивления относительно оси U	0,6356772	см ³
W _{v+} Максимальный момент сопротивления относительно оси V	0,4260913	см ³
W _{v-} Минимальный момент сопротивления относительно оси V	0,4466767	см ³
W _{pl,u} Пластический момент сопротивления относительно оси U	1,0459614	см ³
W _{pl,v} Пластический момент сопротивления относительно оси V	0,6031635	см ³
I _u Максимальный момент инерции	2,0368301	см ⁴
I _v Минимальный момент инерции	0,6305549	см ⁴
i _u Максимальный радиус инерции	1,7258761	см
i _v Минимальный радиус инерции	0,9602707	см
a _{u+} Ядровое расстояние вдоль положительного направления оси Y(U)	0,6231134	см
a _{u-} Ядровое расстояние вдоль отрицательного направления оси Y(U)	0,6532173	см
a _{v+} Ядровое расстояние вдоль положительного направления оси Z(V)	0,8894872	см
a _{v-} Ядровое расстояние вдоль отрицательного направления оси Z(V)	0,9296105	см
Y _M Координата центра масс по оси Y	3,1080846	см
Z _M Координата центра масс по оси Z	1,0222257	см
S _w Секториальный статический момент	0	см ⁴
Y _b Координата центра изгиба по оси Y	2,6249643	см
Z _b Координата центра изгиба по оси Z	3,3151371	см
P Периметр	27,4795841	см
P _i Внутренний периметр	0	см
P _e Внешний периметр	27,4795841	см
I ₁ Момент инерции I _y в глобальной системе координат	7,2544875	см ⁴
I ₂ Момент инерции I _z в глобальной системе координат	2,7331785	см ⁴
I ₁₂ Момент инерции I _{yz} в глобальной системе координат	2,3315026	см ⁴
I _p Полярный момент инерции	2,667385	см ⁴
i _p Полярный радиус инерции	1,9750362	см
W _p Полярный радиус сопротивления	0,0020256	см

Габариты сечения 65,9x23,7 мм

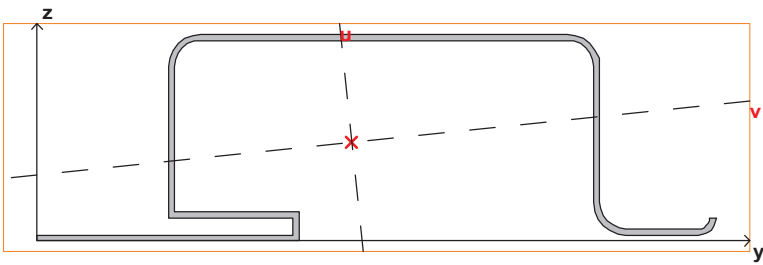


МП ЛП-Т-24x0,7 20т

Геометрические характеристики сечения

	Параметр	Значение	
A	Площадь поперечного сечения	0,9356753	см ²
$A_{v,y}$	Условная площадь среза вдоль оси Y	0,1782824	см ²
$A_{v,z}$	Условная площадь среза вдоль оси Z	0,1697053	см ²
α	Угол наклона главных осей инерции	-82,681	град
I_y	Момент инерции относительно центральной оси Y1 параллельной оси Y	0,8520217	см ⁴
I_z	Момент инерции относительно центральной оси Z1 параллельной оси Z	2,5365469	см ⁴
I_t	Момент инерции при свободном кручении	0,0014765	см ⁴
I_w	Секториальный момент инерции	3,8415295	см ⁶
i_y	Радиус инерции относительно оси Y1	0,9542513	см
i_z	Радиус инерции относительно оси Z1	1,6464891	см
W_{u+}	Максимальный момент сопротивления относительно оси U	0,7957211	см ³
W_{u-}	Минимальный момент сопротивления относительно оси U	0,8196251	см ³
W_{v+}	Максимальный момент сопротивления относительно оси V	0,5514134	см ³
W_{v-}	Минимальный момент сопротивления относительно оси V	0,6169699	см ³
$W_{pl,u}$	Пластический момент сопротивления относительно оси U	1,366334	см ³
$W_{pl,v}$	Пластический момент сопротивления относительно оси V	0,8048924	см ³
I_u	Максимальный момент инерции	2,5648062	см ⁴
I_v	Минимальный момент инерции	0,8237624	см ⁴
i_u	Максимальный радиус инерции	1,6556354	см
i_v	Минимальный радиус инерции	0,9382929	см
a_{u+}	Ядровое расстояние вдоль положительного направления оси Y(U)	0,5893213	см
a_{u-}	Ядровое расстояние вдоль отрицательного направления оси Y(U)	0,6593846	см
a_{v+}	Ядровое расстояние вдоль положительного направления оси Z(V)	0,8504244	см
a_{v-}	Ядровое расстояние вдоль отрицательного направления оси Z(V)	0,8759717	см
y_m	Координата центра масс по оси Y	3,024941	см
z_m	Координата центра масс по оси Z	1,0121659	см
S_w	Секториальный статический момент	0	см ⁴
Y_b	Координата центра изгиба по оси Y	2,4830126	см
Z_b	Координата центра изгиба по оси Z	3,2178255	см
P	Периметр	26,9051083	см
P_i	Внутренний периметр	0	см
P_e	Внешний периметр	26,9051083	см
I_1	Момент инерции I_y в глобальной системе координат	9,4137017	см ⁴
I_2	Момент инерции I_z в глобальной системе координат	3,4951274	см ⁴
I_{12}	Момент инерции I_{yz} в глобальной системе координат	3,0848011	см ⁴
i_p	Полярный момент инерции	3,3885686	см ⁴
i_p	Полярный радиус инерции	1,9030297	см
W_p	Полярный радиус сопротивления	0,0028779	см

Габариты сечения 63,7x23,7 мм

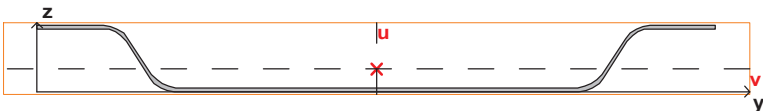


МП ЛП-Т-24x0,7 30т

Геометрические характеристики сечения

Параметр	Значение	
A Площадь поперечного сечения	1,0336753	см ²
$A_{v,y}$ Условная площадь среза вдоль оси Y	0,1710141	см ²
$A_{v,z}$ Условная площадь среза вдоль оси Z	0,2509814	см ²
α Угол наклона главных осей инерции	-84,048	град
I_y Момент инерции относительно центральной оси Y1 параллельной оси Y	1,0072925	см ⁴
I_z Момент инерции относительно центральной оси Z1 параллельной оси Z	4,8758459	см ⁴
I_t Момент инерции при свободном кручении	0,0016249	см ⁴
I_w Секториальный момент инерции	5,3574308	см ⁶
i_y Радиус инерции относительно оси Y1	0,9871559	см
i_z Радиус инерции относительно оси Z1	2,1718655	см
W_{u+} Максимальный момент сопротивления относительно оси U,2111938		см ³
W_{u-} Минимальный момент сопротивления относительно оси U 1,3309555		см ³
W_{v+} Максимальный момент сопротивления относительно оси V 0,6546085		см ³
W_{v-} Минимальный момент сопротивления относительно оси V 0,6867571		см ³
$W_{pl,u}$ Пластический момент сопротивления относительно оси U 2,0305931		см ³
$W_{pl,v}$ Пластический момент сопротивления относительно оси V 0,9310672		см ³
I_u Максимальный момент инерции	4,9183576	см ⁴
I_v Минимальный момент инерции	0,9647808	см ⁴
i_u Максимальный радиус инерции	2,181313	см
i_v Минимальный радиус инерции	0,9661004	см
a_{u+} Ядровое расстояние вдоль положительного направления оси Y(U)	0,6332825	см
a_{u-} Ядровое расстояние вдоль отрицательного направления оси Y(U)	0,6643838	см
a_{v+} Ядровое расстояние вдоль положительного направления оси Z(V)	1,1717353	см
a_{v-} Ядровое расстояние вдоль отрицательного направления оси Z(V)	1,2875953	см
y_m Координата центра масс по оси Y	3,5967867	см
z_m Координата центра масс по оси Z	1,1375803	см
S_w Секториальный статический момент	0	см ⁴
Y_b Координата центра изгиба по оси Y	3,0698884	см
Z_b Координата центра изгиба по оси Z	3,4133526	см
P Периметр	29,7051083	см
P_i Внутренний периметр	0	см
P_e Внешний периметр	29,7051083	см
I_1 Момент инерции I_y в глобальной системе координат	14,3798199	см ⁴
I_2 Момент инерции I_z в глобальной системе координат	6,2135137	см ⁴
I_{12} Момент инерции I_{yz} в глобальной системе координат	4,6371779	см ⁴
i_p Полярный момент инерции	5,8831384	см ⁴
i_p Полярный радиус инерции	2,3856815	см
W_p Полярный радиус сопротивления	0,0032317	см

Габариты сечения 77,7x23,7 мм

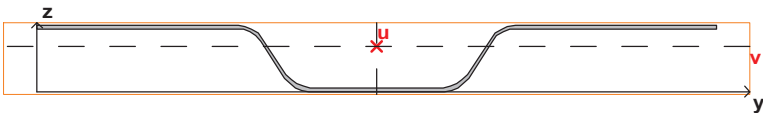


C8-1500-0,4 20t vsp

Геометрические характеристики сечения

Параметр	Значение	
A Площадь поперечного сечения	0,3618862	см ²
A _{v,y} Условная площадь среза вдоль оси Y	0,0235207	см ²
A _{v,z} Условная площадь среза вдоль оси Z	0,2624043	см ²
α Угол наклона главных осей инерции	-90	град
I _y Момент инерции относительно центральной оси Y1 параллельной оси Y	0,0376155	см ⁴
I _z Момент инерции относительно центральной оси Z1 параллельной оси Z	2,1304033	см ⁴
I _t Момент инерции при свободном кручении	0,0001921	см ⁴
I _w Секториальный момент инерции	0,090755	см ⁶
i _y Радиус инерции относительно оси Y1	0,3224016	см
i _z Радиус инерции относительно оси Z1	2,4263023	см
W _{U+} Максимальный момент сопротивления относительно оси U	0,517869	см ³
W _{U-} Минимальный момент сопротивления относительно оси U	0,5178912	см ³
W _{V+} Максимальный момент сопротивления относительно оси V	0,0697518	см ³
W _{V-} Минимальный момент сопротивления относительно оси V	0,144273	см ³
W _{pl,u} Пластический момент сопротивления относительно оси U	0,7715247	см ³
W _{pl,v} Пластический момент сопротивления относительно оси V	0,1061222	см ³
I _u Максимальный момент инерции	2,1304033	см ⁴
I _v Минимальный момент инерции	0,0376155	см ⁴
i _u Максимальный радиус инерции	2,4263023	см
i _v Минимальный радиус инерции	0,3224016	см
a _{u+} Яdroвое расстояние вдоль положительного направления оси Y(U)	0,1927451	см
a _{u-} Яdroвое расстояние вдоль отрицательного направления оси Y(U)	0,3986694	см
a _{v+} Яdroвое расстояние вдоль положительного направления оси Z(V)	1,4310272	см
a _{v-} Яdroвое расстояние вдоль отрицательного направления оси Z(V)	1,4310887	см
Y _M Координата центра масс по оси Y	4,1136116	см
Z _M Координата центра масс по оси Z	0,2607242	см
S _w Секториальный статический момент	0	см ⁴
Y _b Координата центра изгиба по оси Y	4,1138108	см
Z _b Координата центра изгиба по оси Z	-0,294581	см
P Периметр	17,9167076	см
P _i Внутренний периметр	0	см
P _e Внешний периметр	17,9167076	см
I ₁ Момент инерции I _y в глобальной системе координат	6,1613811	см ⁴
I ₂ Момент инерции I _z в глобальной системе координат	2,1550033	см ⁴
I ₁₂ Момент инерции I _{yz} в глобальной системе координат	0,3881206	см ⁴
I _p Полярный момент инерции	2,1680188	см ⁴
i _p Полярный радиус инерции	2,4476286	см
W _p Полярный радиус сопротивления	0,0012594	см

Габариты сечения 82,274x8 мм

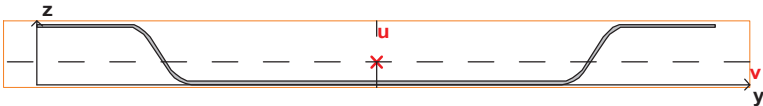


C8-1150-0,4 20t hп

Геометрические характеристики сечения

	Параметр	Значение	
A	Площадь поперечного сечения	0,3618884	см ²
A _{v,y}	Условная площадь среза вдоль оси Y	0,0235879	см ²
A _{v,z}	Условная площадь среза вдоль оси Z	0,2446721	см ²
α	Угол наклона главных осей инерции	-90	град
I _y	Момент инерции относительно центральной оси Y1 параллельной оси Y	0,0379828	см ⁴
I _z	Момент инерции относительно центральной оси Z1 параллельной оси Z	1,9089979	см ⁴
I _t	Момент инерции при свободном кручении	0,0001922	см ⁴
I _w	Секториальный момент инерции	0,0731636	см ⁶
i _y	Радиус инерции относительно оси Y1	0,3239712	см
i _z	Радиус инерции относительно оси Z1	2,2967588	см
W _{u+}	Максимальный момент сопротивления относительно оси U	0,4639989	см ³
W _{u-}	Минимальный момент сопротивления относительно оси U	0,4640393	см ³
W _{v+}	Максимальный момент сопротивления относительно оси V	0,0709145	см ³
W _{v-}	Минимальный момент сопротивления относительно оси V	0,1436645	см ³
W _{pl,u}	Пластический момент сопротивления относительно оси U	0,7179657	см ³
W _{pl,v}	Пластический момент сопротивления относительно оси V	0,1069913	см ³
I _u	Максимальный момент инерции	1,9089979	см ⁴
I _v	Минимальный момент инерции	0,0379828	см ⁴
i _u	Максимальный радиус инерции	2,2967588	см
i _v	Минимальный радиус инерции	0,3239712	см
a _{u+}	Ядровое расстояние вдоль положительного направления оси Y(U)	0,1959569	см
a _{u-}	Ядровое расстояние вдоль отрицательного направления оси Y(U)	0,3969856	см
a _{v+}	Ядровое расстояние вдоль положительного направления оси Z(V)	1,2821602	см
a _{v-}	Ядровое расстояние вдоль отрицательного направления оси Z(V)	1,2822719	см
y _M	Координата центра масс по оси Y	4,1138708	см
z _M	Координата центра масс по оси Z	0,5356143	см
S _w	Секториальный статический момент	0	см ⁴
Y _b	Координата центра изгиба по оси Y	4,1141758	см
Z _b	Координата центра изгиба по оси Z	0,1209423	см
P	Периметр	17,9180871	см
P _i	Внутренний периметр	0	см
P _e	Внешний периметр	17,9180871	см
I ₁	Момент инерции I _y в глобальной системе координат	6,1625581	см ⁴
I ₂	Момент инерции I _z в глобальной системе координат	2,0128174	см ⁴
I ₁₂	Момент инерции I _{yz} в глобальной системе координат	0,7974132	см ⁴
I _p	Полярный момент инерции	1,9469807	см ⁴
i _p	Полярный радиус инерции	2,3194953	см
W _p	Полярный радиус сопротивления	0,0011455	см

Габариты сечения 82,281x8 мм

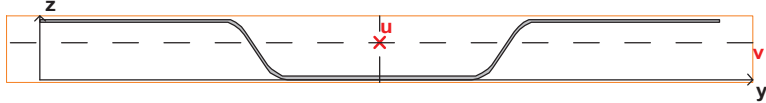


C8-1150-0,4 30твп

Геометрические характеристики сечения

Параметр	Значение	
A Площадь поперечного сечения	0,3938582	см ²
A _{v,y} Условная площадь среза вдоль оси Y	0,0226774	см ²
A _{v,z} Условная площадь среза вдоль оси Z	0,2845987	см ²
α Угол наклона главных осей инерции	89,999	град
I _y Момент инерции относительно центральной оси Y1 параллельной оси Y	0,045541	см ⁴
I _z Момент инерции относительно центральной оси Z1 параллельной оси Z	2,7257158	см ⁴
I _t Момент инерции при свободном кручении	0,0002087	см ⁴
I _w Секториальный момент инерции	0,0927472	см ⁶
i _y Радиус инерции относительно оси Y1	0,3400412	см
i _z Радиус инерции относительно оси Z1	2,6306941	см
W _{u+} Максимальный момент сопротивления относительно оси U	0,6039176	см ³
W _{u-} Минимальный момент сопротивления относительно оси U	0,6039283	см ³
W _{v+} Максимальный момент сопротивления относительно оси V	0,0915882	см ³
W _{v-} Минимальный момент сопротивления относительно оси V	0,1503305	см ³
W _{pl,u} Пластический момент сопротивления относительно оси U	0,9094367	см ³
W _{pl,v} Пластический момент сопротивления относительно оси V	0,1260137	см ³
I _u Максимальный момент инерции	2,7257158	см ⁴
I _v Минимальный момент инерции	0,045541	см ⁴
i _u Максимальный радиус инерции	2,6306941	см
i _v Минимальный радиус инерции	0,3400412	см
a _{u+} Яdroвое расстояние вдоль положительного направления оси Y(U)	0,232541	см
a _{u-} Яdroвое расстояние вдоль отрицательного направления оси Y(U)	0,381687	см
a _{v+} Яdroвое расстояние вдоль положительного направления оси Z(V)	1,5333376	см
a _{v-} Яdroвое расстояние вдоль отрицательного направления оси Z(V)	1,5333648	см
y _M Координата центра масс по оси Y	4,5132979	см
z _M Координата центра масс по оси Z	0,3028772	см
S _w Секториальный статический момент	0	см ⁴
Y _b Координата центра изгиба по оси Y	4,5133506	см
Z _b Координата центра изгиба по оси Z	-0,2818499	см
P Периметр	19,5153076	см
P _i Внутренний периметр	0	см
P _e Внешний периметр	19,5153076	см
I ₁ Момент инерции I _y в глобальной системе координат	8,0683763	см ⁴
I ₂ Момент инерции I _z в глобальной системе координат	2,7618462	см ⁴
I ₁₂ Момент инерции I _{yz} в глобальной системе координат	0,5383264	см ⁴
I _p Полярный момент инерции	2,7712569	см ⁴
i _p Полярный радиус инерции	2,6525798	см
W _p Полярный радиус сопротивления	0,0013441	см

Габариты сечения 90,267x8 мм

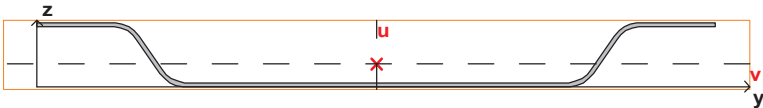


C8-1150-0,4 30t hп

Геометрические характеристики сечения

	Параметр	Значение	
A	Площадь поперечного сечения	0,3938859	см ²
$A_{v,y}$	Условная площадь среза вдоль оси Y	0,0227103	см ²
$A_{v,z}$	Условная площадь среза вдоль оси Z	0,2725494	см ²
α	Угол наклона главных осей инерции	-90	град
I_y	Момент инерции относительно центральной оси Y1 параллельной оси Y	0,0457986	см ⁴
I_z	Момент инерции относительно центральной оси Z1 параллельной оси Z	2,5424348	см ⁴
I_t	Момент инерции при свободном кручении	0,0002086	см ⁴
I_w	Секториальный момент инерции	0,0943909	см ⁶
i_y	Радиус инерции относительно оси Y1	0,3409896	см
i_z	Радиус инерции относительно оси Z1	2,5406198	см
W_{u+}	Максимальный момент сопротивления относительно оси U	0,5632563	см ³
W_{u-}	Минимальный момент сопротивления относительно оси U	0,563285	см ³
W_{v+}	Максимальный момент сопротивления относительно оси V	0,0927579	см ³
W_{v-}	Минимальный момент сопротивления относительно оси V	0,1495438	см ³
$W_{pl,u}$	Пластический момент сопротивления относительно оси U	0,8690236	см ³
$W_{pl,v}$	Пластический момент сопротивления относительно оси V	0,1266316	см ³
I_u	Максимальный момент инерции	2,5424348	см ⁴
I_v	Минимальный момент инерции	0,0457986	см ⁴
i_u	Максимальный радиус инерции	2,5406198	см
i_v	Минимальный радиус инерции	0,3409896	см
a_{u+}	Ядровое расстояние вдоль положительного направления оси Y(U)	0,2354942	см
a_{u-}	Ядровое расстояние вдоль отрицательного направления оси Y(U)	0,3796626	см
a_{v+}	Ядровое расстояние вдоль положительного направления оси Z(V)	1,4299986	см
a_{v-}	Ядровое расстояние вдоль отрицательного направления оси Z(V)	1,4300714	см
y_m	Координата центра масс по оси Y	4,5135852	см
z_m	Координата центра масс по оси Z	0,4937442	см
S_w	Секториальный статический момент	0	см ⁴
Y_b	Координата центра изгиба по оси Y	4,5135206	см
Z_b	Координата центра изгиба по оси Z	0,0116708	см
P	Периметр	19,516697	см
P_i	Внутренний периметр	0	см
P_e	Внешний периметр	19,516697	см
I_1	Момент инерции I_y в глобальной системе координат	8,0702206	см ⁴
I_2	Момент инерции I_z в глобальной системе координат	2,6384576	см ⁴
I_{12}	Момент инерции I_{yz} в глобальной системе координат	0,8777991	см ⁴
I_p	Полярный момент инерции	2,5882334	см ⁴
i_p	Полярный радиус инерции	2,5634006	см
W_p	Полярный радиус сопротивления	0,0012645	см

Габариты сечения 90,274x8 мм

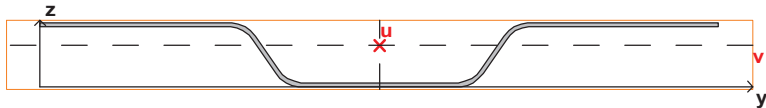


C8-1150-0,5 20t bp

Геометрические характеристики сечения

	Параметр	Значение	
A	Площадь поперечного сечения	0,4713576	см ²
A _{v,y}	Условная площадь среза вдоль оси Y	0,0283085	см ²
A _{v,z}	Условная площадь среза вдоль оси Z	0,3419909	см ²
α	Угол наклона главных осей инерции	-90	град
I _y	Момент инерции относительно центральной оси Y1 параллельной оси Y	0,0507385	см ⁴
I _z	Момент инерции относительно центральной оси Z1 параллельной оси Z	3,0089798	см ⁴
I _t	Момент инерции при свободном кручении	0,0003909	см ⁴
I _w	Секториальный момент инерции	0,1112424	см ⁶
i _y	Радиус инерции относительно оси Y1	0,3280904	см
i _z	Радиус инерции относительно оси Z1	2,5265877	см
W _{u+}	Максимальный момент сопротивления относительно оси U	0,6977219	см ³
W _{u-}	Минимальный момент сопротивления относительно оси U	0,6978118	см ³
W _{v+}	Максимальный момент сопротивления относительно оси V	0,0982322	см ³
W _{v-}	Минимальный момент сопротивления относительно оси V	0,1789818	см ³
W _{pl,u}	Пластический момент сопротивления относительно оси U	1,0456973	см ³
W _{pl,v}	Пластический момент сопротивления относительно оси V	0,1432801	см ³
I _u	Максимальный момент инерции	3,0089798	см ⁴
I _v	Минимальный момент инерции	0,0507385	см ⁴
i _u	Максимальный радиус инерции	2,5265877	см
i _v	Минимальный радиус инерции	0,3280904	см
a _{u+}	Ядровое расстояние вдоль положительного направления оси Y(U)	0,2084027	см
a _{u-}	Ядровое расстояние вдоль отрицательного направления оси Y(U)	0,3797155	см
a _{v+}	Ядровое расстояние вдоль положительного направления оси Z(V)	1,480239	см
a _{v-}	Ядровое расстояние вдоль отрицательного направления оси Z(V)	1,4804297	см
y _M	Координата центра масс по оси Y	4,3125777	см
z _M	Координата центра масс по оси Z	0,283484	см
S _w	Секториальный статический момент	0	см ⁴
Y _b	Координата центра изгиба по оси Y	4,3114369	см
Z _b	Координата центра изгиба по оси Z	-0,281611	см
P	Периметр	18,7025723	см
P _i	Внутренний периметр	0	см
P _e	Внешний периметр	18,7025723	см
I ₁	Момент инерции I _y в глобальной системе координат	8,8172011	см ⁴
I ₂	Момент инерции I _z в глобальной системе координат	3,0468597	см ⁴
I ₁₂	Момент инерции I _{yz} в глобальной системе координат	0,5762696	см ⁴
I _p	Полярный момент инерции	3,0597183	см ⁴
i _p	Полярный радиус инерции	2,5478008	см
W _p	Полярный радиус сопротивления	0,0016219	см

Габариты сечения 86,246x8 мм

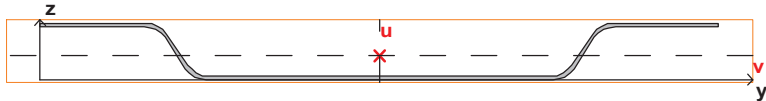


C8-1150-0,5 20t hп

Геометрические характеристики сечения

	Параметр	Значение	
A	Площадь поперечного сечения	0,4714079	см ²
A _{v,y}	Условная площадь среза вдоль оси Y	0,0283907	см ²
A _{v,z}	Условная площадь среза вдоль оси Z	0,3239205	см ²
α	Угол наклона главных осей инерции	-90	град
I _y	Момент инерции относительно центральной оси Y1 параллельной оси Y	0,0512005	см ⁴
I _z	Момент инерции относительно центральной оси Z1 параллельной оси Z	2,7587776	см ⁴
I _t	Момент инерции при свободном кручении	0,0003912	см ⁴
I _w	Секториальный момент инерции	0,1024683	см ⁶
i _y	Радиус инерции относительно оси Y1	0,3295631	см
i _z	Радиус инерции относительно оси Z1	2,4191339	см
W _{u+}	Максимальный момент сопротивления относительно оси U	0,6397434	см ³
W _{u-}	Минимальный момент сопротивления относительно оси U	0,6397491	см ³
W _{v+}	Максимальный момент сопротивления относительно оси V	0,0999551	см ³
W _{v-}	Минимальный момент сопротивления относительно оси V	0,1779243	см ³
W _{pl,u}	Пластический момент сопротивления относительно оси U	0,9880821	см ³
W _{pl,v}	Пластический момент сопротивления относительно оси V	0,1443995	см ³
I _u	Максимальный момент инерции	2,7587776	см ⁴
I _v	Минимальный момент инерции	0,0512005	см ⁴
i _u	Максимальный радиус инерции	2,4191339	см
i _v	Минимальный радиус инерции	0,3295631	см
a _{u+}	Ядровое расстояние вдоль положительного направления оси Y(U)	0,2120353	см
a _{u-}	Ядровое расстояние вдоль отрицательного направления оси Y(U)	0,3774317	см
a _{v+}	Ядровое расстояние вдоль положительного направления оси Z(V)	1,3570909	см
a _{v-}	Ядровое расстояние вдоль отрицательного направления оси Z(V)	1,3571029	см
y _M	Координата центра масс по оси Y	4,3123191	см
z _M	Координата центра масс по оси Z	0,5122346	см
S _w	Секториальный статический момент	0	см ⁴
Y _b	Координата центра изгиба по оси Y	4,3124001	см
Z _b	Координата центра изгиба по оси Z	0,0661662	см
P	Периметр	18,702549	см
P _i	Внутренний периметр	0	см
P _e	Внешний периметр	18,702549	см
I ₁	Момент инерции I _y в глобальной системе координат	8,8175474	см ⁴
I ₂	Момент инерции I _z в глобальной системе координат	2,8824676	см ⁴
I ₁₂	Момент инерции I _{yz} в глобальной системе координат	1,0413096	см ⁴
I _p	Полярный момент инерции	2,8099781	см ⁴
i _p	Полярный радиус инерции	2,4414792	см
W _p	Полярный радиус сопротивления	0,0015044	см

Габариты сечения 86,246x8 мм

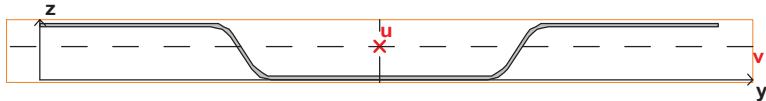


C8-1150-0,5 30t bп

Геометрические характеристики сечения

	Параметр	Значение	
A	Площадь поперечного сечения	0,5213576	см ²
A _{v,y}	Условная площадь среза вдоль оси Y	0,0267247	см ²
A _{v,z}	Условная площадь среза вдоль оси Z	0,3780146	см ²
α	Угол наклона главных осей инерции	-90	град
I _y	Момент инерции относительно центральной оси Y1 параллельной оси Y	0,0616698	см ⁴
I _z	Момент инерции относительно центральной оси Z1 параллельной оси Z	4,0507506	см ⁴
I _t	Момент инерции при свободном кручении	0,0004307	см ⁴
I _w	Секториальный момент инерции	0,120858	см ⁶
i _y	Радиус инерции относительно оси Y1	0,3439288	см
i _z	Радиус инерции относительно оси Z1	2,7874039	см
W _{u+}	Максимальный момент сопротивления относительно оси U	0,8417055	см ³
W _{u-}	Минимальный момент сопротивления относительно оси U	0,8417933	см ³
W _{v+}	Максимальный момент сопротивления относительно оси V	0,1313863	см ³
W _{v-}	Минимальный момент сопротивления относительно оси V	0,1865267	см ³
W _{pl,u}	Пластический момент сопротивления относительно оси U	1,2738123	см ³
W _{pl,v}	Пластический момент сопротивления относительно оси V	0,1713496	см ³
I _u	Максимальный момент инерции	4,0507506	см ⁴
I _v	Минимальный момент инерции	0,0616698	см ⁴
i _u	Максимальный радиус инерции	2,7874039	см
i _v	Минимальный радиус инерции	0,3439288	см
a _{u+}	Ядровое расстояние вдоль положительного направления оси Y(U)	0,2520081	см
a _{u-}	Ядровое расстояние вдоль отрицательного направления оси Y(U)	0,3577711	см
a _{v+}	Ядровое расстояние вдоль положительного направления оси Z(V)	1,6144494	см
a _{v-}	Ядровое расстояние вдоль отрицательного направления оси Z(V)	1,6146179	см
y _M	Координата центра масс по оси Y	4,8125511	см
z _M	Координата центра масс по оси Z	0,3306221	см
S _w	Секториальный статический момент	0	см ⁴
Y _b	Координата центра изгиба по оси Y	4,8109533	см
Z _b	Координата центра изгиба по оси Z	-0,2539732	см
P	Периметр	20,7025723	см
P _i	Внутренний периметр	0	см
P _e	Внешний периметр	20,7025723	см
I ₁	Момент инерции I _y в глобальной системе координат	12,1366497	см ⁴
I ₂	Момент инерции I _z в глобальной системе координат	4,1077407	см ⁴
I ₁₂	Момент инерции I _{yz} в глобальной системе координат	0,8295574	см ⁴
I _p	Полярный момент инерции	4,1124204	см ⁴
i _p	Полярный радиус инерции	2,8085419	см
W _p	Полярный радиус сопротивления	0,0017589	см

Габариты сечения 96,246x8 мм

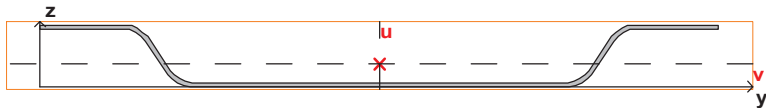


C8-1150-0,5 30t hп

Геометрические характеристики сечения

	Параметр	Значение	
A	Площадь поперечного сечения	0,5214079	см ²
A _{v,y}	Условная площадь среза вдоль оси Y	0,0267609	см ²
A _{v,z}	Условная площадь среза вдоль оси Z	0,3675718	см ²
α	Угол наклона главных осей инерции	-90	град
I _y	Момент инерции относительно центральной оси Y1 параллельной оси Y	0,0619425	см ⁴
I _z	Момент инерции относительно центральной оси Z1 параллельной оси Z	3,8688784	см ⁴
I _t	Момент инерции при свободном кручении	0,0004309	см ⁴
I _w	Секториальный момент инерции	0,1321274	см ⁶
i _y	Радиус инерции относительно оси Y1	0,3446717	см
i _z	Радиус инерции относительно оси Z1	2,7239788	см
W _{u+}	Максимальный момент сопротивления относительно оси U	0,8039529	см ³
W _{u-}	Минимальный момент сопротивления относительно оси U	0,8039595	см ³
W _{v+}	Максимальный момент сопротивления относительно оси V	0,1330633	см ³
W _{v-}	Минимальный момент сопротивления относительно оси V	0,1851858	см ³
W _{pl,u}	Пластический момент сопротивления относительно оси U	1,2362861	см ³
W _{pl,v}	Пластический момент сопротивления относительно оси V	0,1720183	см ³
I _u	Максимальный момент инерции	3,8688784	см ⁴
I _v	Минимальный момент инерции	0,0619425	см ⁴
i _u	Максимальный радиус инерции	2,7239788	см
i _v	Минимальный радиус инерции	0,3446717	см
a _{u+}	Ядровое расстояние вдоль положительного направления оси Y(U)	0,2552	см
a _{u-}	Ядровое расстояние вдоль отрицательного направления оси Y(U)	0,3551649	см
a _{v+}	Ядровое расстояние вдоль положительного направления оси Z(V)	1,5418886	см
a _{v-}	Ядровое расстояние вдоль отрицательного направления оси Z(V)	1,5419012	см
y _M	Координата центра масс по оси Y	4,8123198	см
z _M	Координата центра масс по оси Z	0,4655116	см
S _w	Секториальный статический момент	0	см ⁴
Y _b	Координата центра изгиба по оси Y	4,8123998	см
Z _b	Координата центра изгиба по оси Z	-0,0456077	см
P	Периметр	20,702549	см
P _i	Внутренний периметр	0	см
P _e	Внешний периметр	20,702549	см
I ₁	Момент инерции I _y в глобальной системе координат	12,1369268	см ⁴
I ₂	Момент инерции I _z в глобальной системе координат	3,9818681	см ⁴
I ₁₂	Момент инерции I _{yz} в глобальной системе координат	1,1680642	см ⁴
I _p	Полярный момент инерции	3,9308209	см ⁴
i _p	Полярный радиус инерции	2,7456983	см
W _p	Полярный радиус сопротивления	0,0016892	см

Габариты сечения 96,246x8 мм

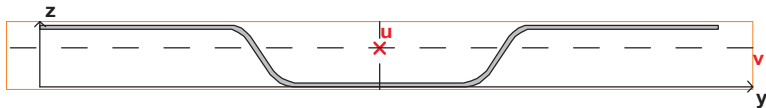


C8-1150-0,55 20t bp

Геометрические характеристики сечения

	Параметр	Значение	
A	Площадь поперечного сечения	0,5289513	см ²
A _{v,y}	Условная площадь среза вдоль оси Y	0,0304908	см ²
A _{v,z}	Условная площадь среза вдоль оси Z	0,3841018	см ²
α	Угол наклона главных осей инерции	-90	град
I _y	Момент инерции относительно центральной оси Y1 параллельной оси Y	0,057607	см ⁴
I _z	Момент инерции относительно центральной оси Z1 параллельной оси Z	3,5141561	см ⁴
I _t	Момент инерции при свободном кручении	0,0005308	см ⁴
I _w	Секториальный момент инерции	0,1217487	см ⁶
i _y	Радиус инерции относительно оси Y1	0,3300122	см
i _z	Радиус инерции относительно оси Z1	2,5775237	см
W _{U+}	Максимальный момент сопротивления относительно оси U	0,7965657	см ³
W _{U-}	Минимальный момент сопротивления относительно оси U	0,7965778	см ³
W _{V+}	Максимальный момент сопротивления относительно оси V	0,1138587	см ³
W _{V-}	Минимальный момент сопротивления относительно оси V	0,1959103	см ³
W _{pl,u}	Пластический момент сопротивления относительно оси U	1,1966275	см ³
W _{pl,v}	Пластический момент сопротивления относительно оси V	0,1629668	см ³
I _u	Максимальный момент инерции	3,5141561	см ⁴
I _v	Минимальный момент инерции	0,057607	см ⁴
i _u	Максимальный радиус инерции	2,5775237	см
i _v	Минимальный радиус инерции	0,3300122	см
a _{u+}	Яdroвое расстояние вдоль положительного направления оси Y(U)	0,2152537	см
a _{u-}	Яdroвое расстояние вдоль отрицательного направления оси Y(U)	0,3703749	см
a _{v+}	Яdroвое расстояние вдоль положительного направления оси Z(V)	1,5059339	см
a _{v-}	Яdroвое расстояние вдоль отрицательного направления оси Z(V)	1,5059568	см
y _M	Координата центра масс по оси Y	4,4115665	см
z _M	Координата центра масс по оси Z	0,2940481	см
S _w	Секториальный статический момент	0	см ⁴
Y _b	Координата центра изгиба по оси Y	4,4108192	см
Z _b	Координата центра изгиба по оси Z	-0,2734267	см
P	Периметр	19,0957167	см
P _i	Внутренний периметр	0	см
P _e	Внешний периметр	19,0957167	см
I ₁	Момент инерции I _y в глобальной системе координат	10,3520148	см ⁴
I ₂	Момент инерции I _z в глобальной системе координат	3,5598915	см ⁴
I ₁₂	Момент инерции I _{yz} в глобальной системе координат	0,6861543	см ⁴
I _p	Полярный момент инерции	3,5717631	см ⁴
i _p	Полярный радиус инерции	2,5985643	см
W _p	Полярный радиус сопротивления	0,0018114	см

Габариты сечения 88,232x8 мм

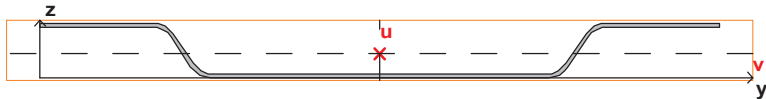


C8-1150-0,55 20t нп

Геометрические характеристики сечения

	Параметр	Значение	
A	Площадь поперечного сечения	0,5289947	см ²
$A_{v,y}$	Условная площадь среза вдоль оси Y	0,0305712	см ²
$A_{v,z}$	Условная площадь среза вдоль оси Z	0,3662257	см ²
α	Угол наклона главных осей инерции	-90	град
I_y	Момент инерции относительно центральной оси Y1 параллельной оси Y	0,0581068	см ⁴
I_z	Момент инерции относительно центральной оси Z1 параллельной оси Z	3,2546769	см ⁴
I_t	Момент инерции при свободном кручении	0,0005306	см ⁴
I_w	Секториальный момент инерции	0,1179911	см ⁶
i_y	Радиус инерции относительно оси Y1	0,3314269	см
i_z	Радиус инерции относительно оси Z1	2,4804374	см
W_{u+}	Максимальный момент сопротивления относительно оси U	0,7377355	см ³
W_{u-}	Минимальный момент сопротивления относительно оси U	0,7377732	см ³
W_{v+}	Максимальный момент сопротивления относительно оси V	0,1158898	см ³
W_{v-}	Минимальный момент сопротивления относительно оси V	0,1945954	см ³
$W_{pl,u}$	Пластический момент сопротивления относительно оси U	1,1382423	см ³
$W_{pl,v}$	Пластический момент сопротивления относительно оси V	0,1641873	см ³
I_u	Максимальный момент инерции	3,2546769	см ⁴
I_v	Минимальный момент инерции	0,0581068	см ⁴
i_u	Максимальный радиус инерции	2,4804374	см
i_v	Минимальный радиус инерции	0,3314269	см
a_{u+}	Ядровое расстояние вдоль положительного направления оси Y(U)	0,2190755	см
a_{u-}	Ядровое расстояние вдоль отрицательного направления оси Y(U)	0,3678589	см
a_{v+}	Ядровое расстояние вдоль положительного направления оси Z(V)	1,394599	см
a_{v-}	Ядровое расстояние вдоль отрицательного направления оси Z(V)	1,3946702	см
y_m	Координата центра масс по оси Y	4,4117127	см
z_m	Координата центра масс по оси Z	0,501397	см
S_w	Секториальный статический момент	0	см ⁴
Y_b	Координата центра изгиба по оси Y	4,4118349	см
Z_b	Координата центра изгиба по оси Z	0,0425234	см
P	Периметр	19,0957663	см
P_i	Внутренний периметр	0	см
P_e	Внешний периметр	19,0957663	см
I_1	Момент инерции I_y в глобальной системе координат	10,3540413	см ⁴
I_2	Момент инерции I_z в глобальной системе координат	3,3876656	см ⁴
I_{12}	Момент инерции I_{yz} в глобальной системе координат	1,1701369	см ⁴
i_p	Полярный момент инерции	3,3127837	см ⁴
i_p	Полярный радиус инерции	2,5024815	см
W_p	Полярный радиус сопротивления	0,0016943	см

Габариты сечения 88,232x8 мм

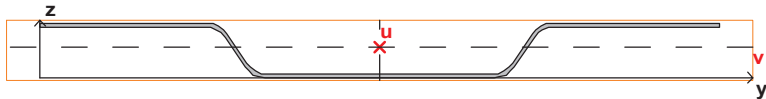


C8-1150-0,55 30t wp

Геометрические характеристики сечения

	Параметр	Значение	
A	Площадь поперечного сечения	0,5894513	см ²
A _{v,y}	Условная площадь среза вдоль оси Y	0,0285033	см ²
A _{v,z}	Условная площадь среза вдоль оси Z	0,4283479	см ²
α	Угол наклона главных осей инерции	-90	град
I _y	Момент инерции относительно центральной оси Y1 параллельной оси Y	0,0700503	см ⁴
I _z	Момент инерции относительно центральной оси Z1 параллельной оси Z	4,8445165	см ⁴
I _t	Момент инерции при свободном кручении	0,0005888	см ⁴
I _w	Секториальный момент инерции	0,1392212	см ⁶
i _y	Радиус инерции относительно оси Y1	0,3447314	см
i _z	Радиус инерции относительно оси Z1	2,8668254	см
W _{u+}	Максимальный момент сопротивления относительно оси U	0,9763961	см ³
W _{u-}	Минимальный момент сопротивления относительно оси U	0,976408	см ³
W _{v+}	Максимальный момент сопротивления относительно оси V	0,153335	см ³
W _{v-}	Минимальный момент сопротивления относительно оси V	0,2041357	см ³
W _{pl,u}	Пластический момент сопротивления относительно оси U	1,4801668	см ³
W _{pl,v}	Пластический момент сопротивления относительно оси V	0,1952717	см ³
I _u	Максимальный момент инерции	4,8445165	см ⁴
I _v	Минимальный момент инерции	0,0700503	см ⁴
i _u	Максимальный радиус инерции	2,8668254	см
i _v	Минимальный радиус инерции	0,3447314	см
a _{u+}	Ядровое расстояние вдоль положительного направления оси Y(U)	0,2601317	см
a _{u-}	Ядровое расстояние вдоль отрицательного направления оси Y(U)	0,3463147	см
a _{v+}	Ядровое расстояние вдоль положительного направления оси Z(V)	1,6564492	см
a _{v-}	Ядровое расстояние вдоль отрицательного направления оси Z(V)	1,6564692	см
y _M	Координата центра масс по оси Y	4,9615699	см
z _M	Координата центра масс по оси Z	0,3431554	см
S _w	Секториальный статический момент	0	см ⁴
Y _b	Координата центра изгиба по оси Y	4,9608973	см
Z _b	Координата центра изгиба по оси Z	-0,2382007	см
P	Периметр	21,2957167	см
P _i	Внутренний периметр	0	см
P _e	Внешний периметр	21,2957167	см
I ₁	Момент инерции I _y в глобальной системе координат	14,5806773	см ⁴
I ₂	Момент инерции I _z в глобальной системе координат	4,9139277	см ⁴
I ₁₂	Момент инерции I _{yz} в глобальной системе координат	1,0035863	см ⁴
I _p	Полярный момент инерции	4,9145667	см ⁴
i _p	Полярный радиус инерции	2,8874777	см
W _p	Полярный радиус сопротивления	0,0019796	см

Габариты сечения 99,232x8 мм

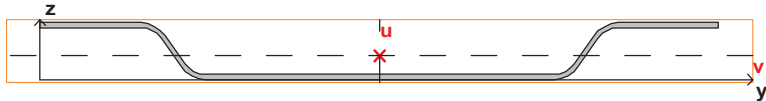


C8-1150-0,55 30t нп

Геометрические характеристики сечения

	Параметр	Значение	
A	Площадь поперечного сечения	0,5894947	см ²
A _{v,y}	Условная площадь среза вдоль оси Y	0,0285345	см ²
A _{v,z}	Условная площадь среза вдоль оси Z	0,4190805	см ²
α	Угол наклона главных осей инерции	-90	град
I _y	Момент инерции относительно центральной оси Y1 параллельной оси Y	0,0703146	см ⁴
I _z	Момент инерции относительно центральной оси Z1 параллельной оси Z	4,6728648	см ⁴
I _t	Момент инерции при свободном кручении	0,0005892	см ⁴
I _w	Секториальный момент инерции	0,1525761	см ⁶
i _y	Радиус инерции относительно оси Y1	0,3453685	см
i _z	Радиус инерции относительно оси Z1	2,8154748	см
W _{u+}	Максимальный момент сопротивления относительно оси U	0,9417801	см ³
W _{u-}	Минимальный момент сопротивления относительно оси U	0,941832	см ³
W _{v+}	Максимальный момент сопротивления относительно оси V	0,1553019	см ³
W _{v-}	Минимальный момент сопротивления относительно оси V	0,2024961	см ³
W _{pl,u}	Пластический момент сопротивления относительно оси U	1,4458269	см ³
W _{pl,v}	Пластический момент сопротивления относительно оси V	0,1959253	см ³
I _u	Максимальный момент инерции	4,6728648	см ⁴
I _v	Минимальный момент инерции	0,0703146	см ⁴
i _u	Максимальный радиус инерции	2,8154748	см
i _v	Минимальный радиус инерции	0,3453685	см
a _{u+}	Ядровое расстояние вдоль положительного направления оси Y(U)	0,2634491	см
a _{u-}	Ядровое расстояние вдоль отрицательного направления оси Y(U)	0,3435079	см
a _{v+}	Ядровое расстояние вдоль положительного направления оси Z(V)	1,5976056	см
a _{v-}	Ядровое расстояние вдоль отрицательного направления оси Z(V)	1,5976937	см
y _M	Координата центра масс по оси Y	4,9617368	см
z _M	Координата центра масс по оси Z	0,4527608	см
S _w	Секториальный статический момент	0	см ⁴
Y _b	Координата центра изгиба по оси Y	4,9622347	см
Z _b	Координата центра изгиба по оси Z	-0,0688605	см
P	Периметр	21,2957663	см
P _i	Внутренний периметр	0	см
P _e	Внешний периметр	21,2957663	см
I ₁	Момент инерции I _y в глобальной системе координат	14,5829858	см ⁴
I ₂	Момент инерции I _z в глобальной системе координат	4,7937067	см ⁴
I ₁₂	Момент инерции I _{yz} в глобальной системе координат	1,3242789	см ⁴
I _p	Полярный момент инерции	4,7431794	см ⁴
i _p	Полярный радиус инерции	2,8365786	см
W _p	Полярный радиус сопротивления	0,0019173	см

Габариты сечения 99,232x8 мм

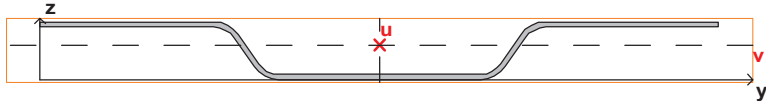


C8-1150-0,7 20t vп

Геометрические характеристики сечения

	Параметр	Значение	
A	Площадь поперечного сечения	0,7082038	см ²
A _{v,y}	Условная площадь среза вдоль оси Y	0,0346732	см ²
A _{v,z}	Условная площадь среза вдоль оси Z	0,5209392	см ²
α	Угол наклона главных осей инерции	-90	град
I _y	Момент инерции относительно центральной оси Y1 параллельной оси Y	0,0787716	см ⁴
I _z	Момент инерции относительно центральной оси Z1 параллельной оси Z	5,3567415	см ⁴
I _t	Момент инерции при свободном кручении	0,0011147	см ⁴
I _w	Секториальный момент инерции	0,1521854	см ⁶
i _y	Радиус инерции относительно оси Y1	0,3335076	см
i _z	Радиус инерции относительно оси Z1	2,7502439	см
W _{u+}	Максимальный момент сопротивления относительно оси U	1,1285904	см ³
W _{u-}	Минимальный момент сопротивления относительно оси U	1,1285904	см ³
W _{v+}	Максимальный момент сопротивления относительно оси V	0,1658082	см ³
W _{v-}	Минимальный момент сопротивления относительно оси V	0,2424313	см ³
W _{pl,u}	Пластический момент сопротивления относительно оси U	1,7034483	см ³
W _{pl,v}	Пластический момент сопротивления относительно оси V	0,2246638	см ³
I _u	Максимальный момент инерции	5,3567415	см ⁴
I _v	Минимальный момент инерции	0,0787716	см ⁴
i _u	Максимальный радиус инерции	2,7502439	см
i _v	Минимальный радиус инерции	0,3335076	см
a _{u+}	Ядровое расстояние вдоль положительного направления оси Y(U)	0,234125	см
a _{u-}	Ядровое расстояние вдоль отрицательного направления оси Y(U)	0,3423186	см
a _{v+}	Ядровое расстояние вдоль положительного направления оси Z(V)	1,5935955	см
a _{v-}	Ядровое расстояние вдоль отрицательного направления оси Z(V)	1,5935955	см
y _M	Координата центра масс по оси Y	4,7464	см
z _M	Координата центра масс по оси Z	0,3249234	см
S _w	Секториальный статический момент	0	см ⁴
Y _b	Координата центра изгиба по оси Y	4,7471305	см
Z _b	Координата центра изгиба по оси Z	-0,2399937	см
P	Периметр	20,3987159	см
P _i	Внутренний периметр	0	см
P _e	Внешний периметр	20,3987159	см
I ₁	Момент инерции I _y в глобальной системе координат	16,0334089	см ⁴
I ₂	Момент инерции I _z в глобальной системе координат	5,4315102	см ⁴
I ₁₂	Момент инерции I _{yz} в глобальной системе координат	1,0922035	см ⁴
I _p	Полярный момент инерции	5,4355131	см ⁴
i _p	Полярный радиус инерции	2,7703915	см
W _p	Полярный радиус сопротивления	0,0023888	см

Габариты сечения 94,928x8 мм

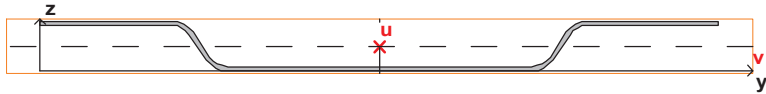


C8-1150-0,7 20t нп

Геометрические характеристики сечения

	Параметр	Значение	
A	Площадь поперечного сечения	0,7030378	см ²
A _{v,y}	Условная площадь среза вдоль оси Y	0,0348912	см ²
A _{v,z}	Условная площадь среза вдоль оси Z	0,498133	см ²
α	Угол наклона главных осей инерции	-90	град
I _y	Момент инерции относительно центральной оси Y1 параллельной оси Y	0,0783321	см ⁴
I _z	Момент инерции относительно центральной оси Z1 параллельной оси Z	5,0254059	см ⁴
I _t	Момент инерции при свободном кручении	0,0011054	см ⁴
I _w	Секториальный момент инерции	0,1622428	см ⁶
i _y	Радиус инерции относительно оси Y1	0,3337955	см
i _z	Радиус инерции относительно оси Z1	2,6735988	см
W _{u+}	Максимальный момент сопротивления относительно оси U	1,0670784	см ³
W _{u-}	Минимальный момент сопротивления относительно оси U	1,0670784	см ³
W _{v+}	Максимальный момент сопротивления относительно оси V	0,1656257	см ³
W _{v-}	Минимальный момент сопротивления относительно оси V	0,2395082	см ³
W _{pl,u}	Пластический момент сопротивления относительно оси U	1,6335457	см ³
W _{pl,v}	Пластический момент сопротивления относительно оси V	0,2234119	см ³
I _u	Максимальный момент инерции	5,0254059	см ⁴
I _v	Минимальный момент инерции	0,0783321	см ⁴
i _u	Максимальный радиус инерции	2,6735988	см
i _v	Минимальный радиус инерции	0,3337955	см
a _{u+}	Ядровое расстояние вдоль положительного направления оси Y(U)	0,2355858	см
a _{u-}	Ядровое расстояние вдоль отрицательного направления оси Y(U)	0,3406762	см
a _{v+}	Ядровое расстояние вдоль положительного направления оси Z(V)	1,5178109	см
a _{v-}	Ядровое расстояние вдоль отрицательного направления оси Z(V)	1,5178109	см
y _M	Координата центра масс по оси Y	4,7095	см
z _M	Координата центра масс по оси Z	0,4729462	см
S _w	Секториальный статический момент	0	см ⁴
Y _b	Координата центра изгиба по оси Y	4,709683	см
Z _b	Координата центра изгиба по оси Z	-0,0135633	см
P	Периметр	20,2511159	см
P _i	Внутренний периметр	0	см
P _e	Внешний периметр	20,2511159	см
I ₁	Момент инерции I _y в глобальной системе координат	15,6712822	см ⁴
I ₂	Момент инерции I _z в глобальной системе координат	5,1826601	см ⁴
I ₁₂	Момент инерции I _{yz} в глобальной системе координат	1,5659045	см ⁴
I _p	Полярный момент инерции	5,103738	см ⁴
i _p	Полярный радиус инерции	2,6943552	см
W _p	Полярный радиус сопротивления	0,0022901	см

Габариты сечения 94,19x8 мм

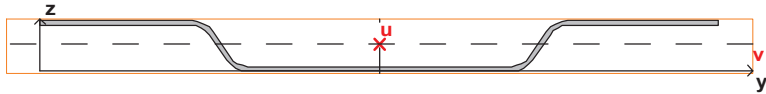


C8-1150-0,7 30t bп

Геометрические характеристики сечения

	Параметр	Значение	
A	Площадь поперечного сечения	0,8062038	см ²
A _{v,y}	Условная площадь среза вдоль оси Y	0,0316284	см ²
A _{v,z}	Условная площадь среза вдоль оси Z	0,594322	см ²
α	Угол наклона главных осей инерции	-90	град
I _y	Момент инерции относительно центральной оси Y1 параллельной оси Y	0,0954839	см ⁴
I _z	Момент инерции относительно центральной оси Z1 параллельной оси Z	7,9061258	см ⁴
I _t	Момент инерции при свободном кручении	0,0012649	см ⁴
I _w	Секториальный момент инерции	0,2099795	см ⁶
i _y	Радиус инерции относительно оси Y1	0,344146	см
i _z	Радиус инерции относительно оси Z1	3,1315506	см
W _{u+}	Максимальный момент сопротивления относительно оси U	1,4516242	см ³
W _{u-}	Минимальный момент сопротивления относительно оси U	1,4516242	см ³
W _{v+}	Максимальный момент сопротивления относительно оси V	0,2264896	см ³
W _{v-}	Минимальный момент сопротивления относительно оси V	0,252324	см ³
W _{pl,u}	Пластический момент сопротивления относительно оси U	2,2028955	см ³
W _{pl,v}	Пластический момент сопротивления относительно оси V	0,2694649	см ³
I _u	Максимальный момент инерции	7,9061258	см ⁴
I _v	Минимальный момент инерции	0,0954839	см ⁴
i _u	Максимальный радиус инерции	3,1315506	см
i _v	Минимальный радиус инерции	0,344146	см
a _{u+}	Ядровое расстояние вдоль положительного направления оси Y(U)	0,2809334	см
a _{u-}	Ядровое расстояние вдоль отрицательного направления оси Y(U)	0,312978	см
a _{v+}	Ядровое расстояние вдоль положительного направления оси Z(V)	1,8005672	см
a _{v-}	Ядровое расстояние вдоль отрицательного направления оси Z(V)	1,8005672	см
y _M	Координата центра масс по оси Y	5,4464	см
z _M	Координата центра масс по оси Z	0,3784179	см
S _w	Секториальный статический момент	0	см ⁴
Y _b	Координата центра изгиба по оси Y	5,4466451	см
Z _b	Координата центра изгиба по оси Z	-0,182834	см
P	Периметр	23,1987159	см
P _i	Внутренний периметр	0	см
P _e	Внешний периметр	23,1987159	см
I ₁	Момент инерции I _y в глобальной системе координат	24,0101279	см ⁴
I ₂	Момент инерции I _z в глобальной системе координат	8,0215743	см ⁴
I ₁₂	Момент инерции I _{yz} в глобальной системе координат	1,6615985	см ⁴
I _p	Полярный момент инерции	8,0016098	см ⁴
i _p	Полярный радиус инерции	3,1504041	см
W _p	Полярный радиус сопротивления	0,0026814	см

Габариты сечения 108,928x8 мм

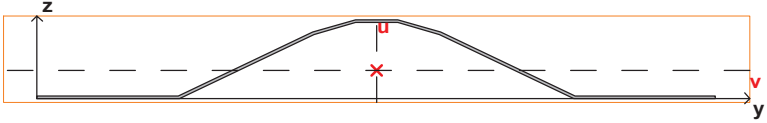


C8-1150-0,7 30t нп

Геометрические характеристики сечения

Параметр	Значение	
A Площадь поперечного сечения	0,8010378	см ²
A _{v,y} Условная площадь среза вдоль оси Y	0,031796	см ²
A _{v,z} Условная площадь среза вдоль оси Z	0,5848914	см ²
α Угол наклона главных осей инерции	-90	град
I _y Момент инерции относительно центральной оси Y1 параллельной оси Y	0,0948686	см ⁴
I _z Момент инерции относительно центральной оси Z1 параллельной оси Z	7,6728651	см ⁴
I _t Момент инерции при свободном кручении	0,0012538	см ⁴
I _w Секториальный момент инерции	0,2170101	см ⁶
i _y Радиус инерции относительно оси Y1	0,3441397	см
i _z Радиус инерции относительно оси Z1	3,0949403	см
W _{U+} Максимальный момент сопротивления относительно оси U 1,4184056		см ³
W _{U-} Минимальный момент сопротивления относительно оси U 1,4184056		см ³
W _{V+} Максимальный момент сопротивления относительно оси V 0,2262185		см ³
W _{V-} Минимальный момент сопротивления относительно оси V 0,2492394		см ³
W _{pl,u} Пластический момент сопротивления относительно оси U 2,1599722		см ³
W _{pl,v} Пластический момент сопротивления относительно оси V 0,2677696		см ³
I _u Максимальный момент инерции	7,6728651	см ⁴
I _v Минимальный момент инерции	0,0948686	см ⁴
i _u Максимальный радиус инерции	3,0949403	см
i _v Минимальный радиус инерции	0,3441397	см
a _{u+} Яdroвое расстояние вдоль положительного направления оси Y(U)	0,2824068	см
a _{u-} Яdroвое расстояние вдоль отрицательного направления оси Y(U)	0,3111456	см
a _{v+} Яdroвое расстояние вдоль положительного направления оси Z(V)	1,7707099	см
a _{v-} Яdroвое расстояние вдоль отрицательного направления оси Z(V)	1,7707099	см
y _M Координата центра масс по оси Y	5,4095	см
z _M Координата центра масс по оси Z	0,4193673	см
S _w Секториальный статический момент	0	см ⁴
Y _b Координата центра изгиба по оси Y	5,4080566	см
Z _b Координата центра изгиба по оси Z	-0,1197062	см
P Периметр	23,0511159	см
P _i Внутренний периметр	0	см
P _e Внешний периметр	23,0511159	см
I ₁ Момент инерции I _y в глобальной системе координат	23,5353902	см ⁴
I ₂ Момент инерции I _z в глобальной системе координат	7,8137428	см ⁴
I ₁₂ Момент инерции I _{yz} в глобальной системе координат	1,8172084	см ⁴
I _p Полярный момент инерции	7,7677338	см ⁴
i _p Полярный радиус инерции	3,1140147	см
W _p Полярный радиус сопротивления	0,0026414	см

Габариты сечения 108,19x8 мм

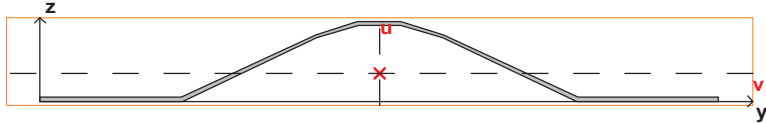


МП-18x1100x0,4

Геометрические характеристики сечения

	Параметр	Значение	
A	Площадь поперечного сечения	0,3834497	см^2
$A_{v,y}$	Условная площадь среза вдоль оси Y	0,0263576	см^2
$A_{v,z}$	Условная площадь среза вдоль оси Z	0,2837234	см^2
α	Угол наклона главных осей инерции	-90	град
I_y	Момент инерции относительно центральной оси Y1 параллельной оси Y	0,0572109	см^4
I_z	Момент инерции относительно центральной оси Z1 параллельной оси Z	2,6223414	см^4
I_t	Момент инерции при свободном кручении	0,0001961	см^4
I_w	Секториальный момент инерции	0,0804106	см^6
i_y	Радиус инерции относительно оси Y1	0,3862649	см
i_z	Радиус инерции относительно оси Z1	2,6151127	см
W_{u+}	Максимальный момент сопротивления относительно оси U	0,5719392	см^3
W_{u-}	Минимальный момент сопротивления относительно оси U	0,5719392	см^3
W_{v+}	Максимальный момент сопротивления относительно оси V	0,0824291	см^3
W_{v-}	Минимальный момент сопротивления относительно оси V	0,1514166	см^3
$W_{pl,u}$	Пластический момент сопротивления относительно оси U	0,8686548	см^3
$W_{pl,v}$	Пластический момент сопротивления относительно оси V	0,1333948	см^3
I_u	Максимальный момент инерции	2,6223414	см^4
I_v	Минимальный момент инерции	0,0572109	см^4
i_u	Максимальный радиус инерции	2,6151127	см
i_v	Минимальный радиус инерции	0,3862649	см
a_{u+}	Яdroвое расстояние вдоль положительного направления оси Y(U)	0,2149672	см
a_{u-}	Яdroвое расстояние вдоль отрицательного направления оси Y(U)	0,3948799	см
a_{v+}	Яdroвое расстояние вдоль положительного направления оси Z(V)	1,4915626	см
a_{v-}	Яdroвое расстояние вдоль отрицательного направления оси Z(V)	1,4915626	см
y_M	Координата центра масс по оси Y	4,585	см
Z_M	Координата центра масс по оси Z	0,3778378	см
S_w	Секториальный статический момент	0	см^4
Y_b	Координата центра изгиба по оси Y	4,5849858	см
Z_b	Координата центра изгиба по оси Z	0,9579144	см
P	Периметр	19,2961718	см
P_i	Внутренний периметр	0	см
P_e	Внешний периметр	19,2961718	см
I_1	Момент инерции I_y в глобальной системе координат	8,1181768	см^4
I_2	Момент инерции I_z в глобальной системе координат	2,6770833	см^4
I_{12}	Момент инерции I_{yz} в глобальной системе координат	0,664283	см^4
I_p	Полярный момент инерции	2,6795523	см^4
i_p	Полярный радиус инерции	2,6434854	см
W_p	Полярный радиус сопротивления	0,001266	см

Габариты сечения 91,7x10,719 мм

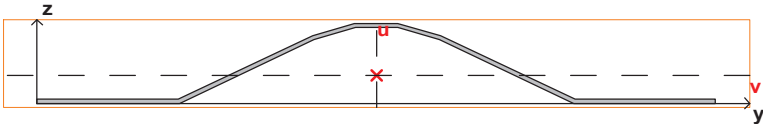


МП-18x1100x0,5

Геометрические характеристики сечения

	Параметр	Значение	
A	Площадь поперечного сечения	0,4794962	см^2
$A_{v,y}$	Условная площадь среза вдоль оси Y	0,0330148	см^2
$A_{v,z}$	Условная площадь среза вдоль оси Z	0,3547983	см^2
α	Угол наклона главных осей инерции	-90	град
I_y	Момент инерции относительно центральной оси Y1 параллельной оси Y	0,0715735	см^4
I_z	Момент инерции относительно центральной оси Z1 параллельной оси Z	3,2790801	см^4
I_t	Момент инерции при свободном кручении	0,0003842	см^4
I_w	Секториальный момент инерции	0,100712	см^6
i_y	Радиус инерции относительно оси Y1	0,3863524	см
i_z	Радиус инерции относительно оси Z1	2,6150706	см
W_{u+}	Максимальный момент сопротивления относительно оси U	0,7151756	см^3
W_{u-}	Минимальный момент сопротивления относительно оси U	0,7151756	см^3
W_{v+}	Максимальный момент сопротивления относительно оси V	0,1024179	см^3
W_{v-}	Минимальный момент сопротивления относительно оси V	0,1868945	см^3
$W_{pl,u}$	Пластический момент сопротивления относительно оси U	1,0863	см^3
$W_{pl,v}$	Пластический момент сопротивления относительно оси V	0,1668144	см^3
I_u	Максимальный момент инерции	3,2790801	см^4
I_v	Минимальный момент инерции	0,0715735	см^4
i_u	Максимальный радиус инерции	2,6150706	см
i_v	Минимальный радиус инерции	0,3863524	см
a_{u+}	Яdroвое расстояние вдоль положительного направления оси Y(U)	0,2135948	см
a_{u-}	Яdroвое расстояние вдоль отрицательного направления оси Y(U)	0,3897727	см
a_{v+}	Яdroвое расстояние вдоль положительного направления оси Z(V)	1,4915146	см
a_{v-}	Яdroвое расстояние вдоль отрицательного направления оси Z(V)	1,4915146	см
y_M	Координата центра масс по оси Y	4,585	см
Z_M	Координата центра масс по оси Z	0,3829621	см
S_w	Секториальный статический момент	0	см^4
Y_b	Координата центра изгиба по оси Y	4,5841813	см
Z_b	Координата центра изгиба по оси Z	0,9635019	см
P	Периметр	19,3159436	см
P_i	Внутренний периметр	0	см
P_e	Внешний периметр	19,3159436	см
I_1	Момент инерции I_y в глобальной системе координат	10,1516507	см^4
I_2	Момент инерции I_z в глобальной системе координат	3,349403	см^4
I_{12}	Момент инерции I_{yz} в глобальной системе координат	0,8419383	см^4
I_p	Полярный момент инерции	3,3506536	см^4
i_p	Полярный радиус инерции	2,6434565	см
W_p	Полярный радиус сопротивления	0,0015828	см

Габариты сечения 91,7x10,818 мм

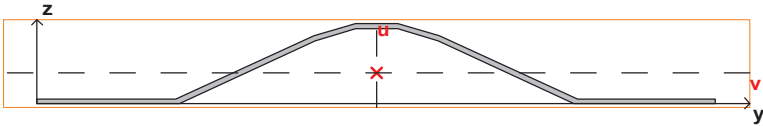


МП-18x1100x0,55

Геометрические характеристики сечения

	Параметр	Значение	
A	Площадь поперечного сечения	0,5273569	см ²
$A_{v,y}$	Условная площадь среза вдоль оси Y	0,0363359	см ²
$A_{v,z}$	Условная площадь среза вдоль оси Z	0,3901685	см ²
α	Угол наклона главных осей инерции	-90	град
I_y	Момент инерции относительно центральной оси Y1 параллельной оси Y	0,0787281	см ⁴
I_z	Момент инерции относительно центральной оси Z1 параллельной оси Z	3,6071531	см ⁴
I_t	Момент инерции при свободном кручении	0,0005126	см ⁴
I_w	Секториальный момент инерции	0,1113115	см ⁶
i_y	Радиус инерции относительно оси Y1	0,3863781	см
i_z	Радиус инерции относительно оси Z1	2,6153509	см
W_{u+}	Максимальный момент сопротивления относительно оси U	0,7867291	см ³
W_{u-}	Минимальный момент сопротивления относительно оси U	0,7867291	см ³
W_{v+}	Максимальный момент сопротивления относительно оси V	0,1122644	см ³
W_{v-}	Минимальный момент сопротивления относительно оси V	0,2042622	см ³
$W_{pl,u}$	Пластический момент сопротивления относительно оси U	1,1949446	см ³
$W_{pl,v}$	Пластический момент сопротивления относительно оси V	0,1834565	см ³
I_u	Максимальный момент инерции	3,6071531	см ⁴
I_v	Минимальный момент инерции	0,0787281	см ⁴
i_u	Максимальный радиус инерции	2,6153509	см
i_v	Минимальный радиус инерции	0,3863781	см
a_{u+}	Ядровое расстояние вдоль положительного направления оси Y(U)	0,2128813	см
a_{u-}	Ядровое расстояние вдоль отрицательного направления оси Y(U)	0,387332	см
a_{v+}	Ядровое расстояние вдоль положительного направления оси Z(V)	1,4918343	см
a_{v-}	Ядровое расстояние вдоль отрицательного направления оси Z(V)	1,4918343	см
y_m	Координата центра масс по оси Y	4,585	см
z_m	Координата центра масс по оси Z	0,3854265	см
S_w	Секториальный статический момент	0	см ⁴
Y_b	Координата центра изгиба по оси Y	4,5862867	см
Z_b	Координата центра изгиба по оси Z	0,9661549	см
P	Периметр	19,3258004	см
P_i	Внутренний периметр	0	см
P_e	Внешний периметр	19,3258004	см
I_1	Момент инерции I_y в глобальной системе координат	11,1649437	см ⁴
I_2	Момент инерции I_z в глобальной системе координат	3,6854938	см ⁴
I_{12}	Момент инерции I_{yz} в глобальной системе координат	0,9319348	см ⁴
i_p	Полярный момент инерции	3,6858811	см ⁴
i_p	Полярный радиус инерции	2,6437376	см
W_p	Полярный радиус сопротивления	0,001741	см

Габариты сечения 91,7x10,867 мм

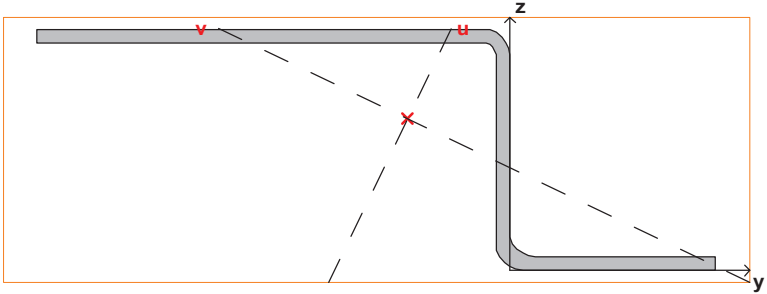


МП-18x1100x0,7

Геометрические характеристики сечения

	Параметр	Значение	
A	Площадь поперечного сечения	0,61344	см ²
A _{v,y}	Условная площадь среза вдоль оси Y	0,04399	см ²
A _{v,z}	Условная площадь среза вдоль оси Z	0,4756621	см ²
α	Угол наклона главных осей инерции	-90	град
I _y	Момент инерции относительно центральной оси Y1 параллельной оси Y	0,0891184	см ⁴
I _z	Момент инерции относительно центральной оси Z1 параллельной оси Z	3,819389	см ⁴
I _t	Момент инерции при свободном кручении	0,0008333	см ⁴
I _w	Секториальный момент инерции	0,1171613	см ⁶
i _y	Радиус инерции относительно оси Y1	0,3811515	см
i _z	Радиус инерции относительно оси Z1	2,4952318	см
W _{u+}	Максимальный момент сопротивления относительно оси U	0,8330183	см ³
W _{u-}	Минимальный момент сопротивления относительно оси U	0,8330183	см ³
W _{v+}	Максимальный момент сопротивления относительно оси V	0,1340125	см ³
W _{v-}	Минимальный момент сопротивления относительно оси V	0,2153662	см ³
W _{pl,u}	Пластический момент сопротивления относительно оси U	1,3125857	см ³
W _{pl,v}	Пластический момент сопротивления относительно оси V	0,2109343	см ³
I _u	Максимальный момент инерции	3,819389	см ⁴
I _v	Минимальный момент инерции	0,0891184	см ⁴
i _u	Максимальный радиус инерции	2,4952318	см
i _v	Минимальный радиус инерции	0,3811515	см
a _{u+}	Ядровое расстояние вдоль положительного направления оси Y(U)	0,2184606	см
a _{u-}	Ядровое расстояние вдоль отрицательного направления оси Y(U)	0,3510795	см
a _{v+}	Ядровое расстояние вдоль положительного направления оси Z(V)	1,3579459	см
a _{v-}	Ядровое расстояние вдоль отрицательного направления оси Z(V)	1,3579459	см
y _M	Координата центра масс по оси Y	4,585	см
z _M	Координата центра масс по оси Z	0,4137993	см
S _w	Секториальный статический момент	0	см ⁴
Y _b	Координата центра изгиба по оси Y	4,5844361	см
Z _b	Координата центра изгиба по оси Z	0,9667913	см
P	Периметр	19,2928417	см
P _i	Внутренний периметр	0	см
P _e	Внешний периметр	19,2928417	см
I ₁	Момент инерции I _y в глобальной системе координат	12,9849923	см ⁴
I ₂	Момент инерции I _z в глобальной системе координат	3,9244283	см ⁴
I ₁₂	Момент инерции I _{yz} в глобальной системе координат	1,1638612	см ⁴
I _p	Полярный момент инерции	3,9085074	см ⁴
i _p	Полярный радиус инерции	2,5241748	см
W _p	Полярный радиус сопротивления	0,0018442	см

Габариты сечения 91,7x10,788 ММ



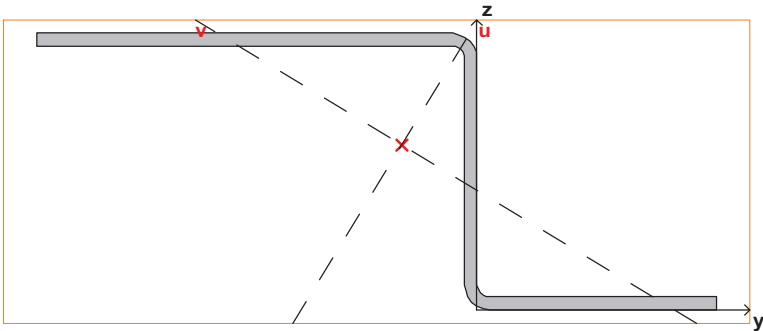
Ребро кассеты МП 1005; МП 2005 t=1,2мм

Геометрические характеристики сечения

Параметр	Значение	
A Площадь поперечного сечения	0,9815335	см^2
A _{v,y} Условная площадь среза вдоль оси Y	0,1937036	см^2
A _{v,z} Условная площадь среза вдоль оси Z	0,4876874	см^2
α Угол наклона главных осей инерции	64,449	град
I _y Момент инерции относительно центральной оси Y1 параллельной оси Y	0,8008247	см^4
I _z Момент инерции относительно центральной оси Z1 параллельной оси Z	2,6025873	см^4
I _t Момент инерции при свободном кручении	0,0046961	см^4
I _w Секториальный момент инерции	0,520836	см^6
i _y Радиус инерции относительно оси Y1	0,903267	см
i _z Радиус инерции относительно оси Z1	1,6283588	см
W _{u+} Максимальный момент сопротивления относительно оси U	0,9239046	см^3
W _{u-} Минимальный момент сопротивления относительно оси U	1,00212	см^3
W _{v+} Максимальный момент сопротивления относительно оси V	0,2528432	см^3
W _{v-} Минимальный момент сопротивления относительно оси V	0,3232143	см^3
W _{pl,u} Пластический момент сопротивления относительно оси U	1,5095589	см^3
W _{pl,v} Пластический момент сопротивления относительно оси V	0,4391189	см^3
I _u Максимальный момент инерции	3,1364025	см^4
I _v Минимальный момент инерции	0,2670094	см^4
i _u Максимальный радиус инерции	1,7875712	см
i _v Минимальный радиус инерции	0,5215677	см
a _{u+} Яdroвое расстояние вдоль положительного направления оси Y(U)	0,2576002	см
a _{u-} Яdroвое расстояние вдоль отрицательного направления оси Y(U)	0,3292952	см
a _{v+} Яdroвое расстояние вдоль положительного направления оси Z(V)	0,9412869	см
a _{v-} Яdroвое расстояние вдоль отрицательного направления оси Z(V)	1,0209738	см
y _M Координата центра масс по оси Y	-0,9276627	см
z _M Координата центра масс по оси Z	1,3834206	см
S _w Секториальный статический момент	0	см^4
Y _b Координата центра изгиба по оси Y	-0,6393991	см
Z _b Координата центра изгиба по оси Z	1,9986633	см
P Периметр	16,3956023	см
P _i Внутренний периметр	0	см
P _e Внешний периметр	16,3956023	см
I ₁ Момент инерции I _y в глобальной системе координат	1,6454912	см^4
I ₂ Момент инерции I _z в глобальной системе координат	4,4810977	см^4
I ₁₂ Момент инерции I _{yz} в глобальной системе координат	-2,376236	см^4
I _p Полярный момент инерции	3,403412	см^4
i _p Полярный радиус инерции	1,8621073	см
W _p Полярный радиус сопротивления	0,0028269	см

Габариты сечения 61,8x22 мм

Имя файла: C:\Documents and Settings\User\Рабочий стол\ФАСАДНЫЕ КАССЕТЫ\Untitled.cns



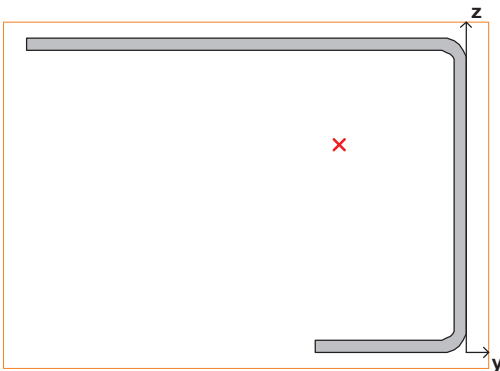
Ребро кассеты МП 1005 МП 2005 t=1,0мм

Геометрические характеристики сечения

Параметр	Значение	
A Площадь поперечного сечения	0,7365881	см ²
A _{v,y} Условная площадь среза вдоль оси Y	0,1737145	см ²
A _{v,z} Условная площадь среза вдоль оси Z	0,3445258	см ²
α Угол наклона главных осей инерции	58,763	град
I _y Момент инерции относительно центральной оси Y1 параллельной оси Y	0,6241918	см ⁴
I _z Момент инерции относительно центральной оси Z1 параллельной оси Z	1,3934407	см ⁴
I _t Момент инерции при свободном кручении	0,0023604	см ⁴
I _w Секториальный момент инерции	0,423641	см ⁶
i _y Радиус инерции относительно оси Y1	0,9205485	см
i _z Радиус инерции относительно оси Z1	1,3754091	см
W _{u+} Максимальный момент сопротивления относительно оси U	0,6263638	см ³
W _{u-} Минимальный момент сопротивления относительно оси U	0,6531472	см ³
W _{v+} Максимальный момент сопротивления относительно оси V	0,177639	см ³
W _{v-} Минимальный момент сопротивления относительно оси V	0,2122878	см ³
W _{pl,u} Пластический момент сопротивления относительно оси U	0,9925961	см ³
W _{pl,v} Пластический момент сопротивления относительно оси V	0,3054607	см ³
I _u Максимальный момент инерции	1,8410602	см ⁴
I _v Минимальный момент инерции	0,1765723	см ⁴
i _u Максимальный радиус инерции	1,5809628	см
i _v Минимальный радиус инерции	0,4896084	см
a _{u+} Ядровое расстояние вдоль положительного направления оси Y(U)	0,2411647	см
a _{u-} Ядровое расстояние вдоль отрицательного направления оси Y(U)	0,2882042	см
a _{v+} Ядровое расстояние вдоль положительного направления оси Z(V)	0,8503583	см
a _{v-} Ядровое расстояние вдоль отрицательного направления оси Z(V)	0,8867197	см
y _M Координата центра масс по оси Y	-0,5998324	см
z _M Координата центра масс по оси Z	1,3138237	см
S _w Секториальный статический момент	0	см ⁴
Y _b Координата центра изгиба по оси Y	-0,5359466	см
Z _b Координата центра изгиба по оси Z	1,8764004	см
P Периметр	14,9397953	см
P _i Внутренний периметр	0	см
P _e Внешний периметр	14,9397953	см
I ₁ Момент инерции I _y в глобальной системе координат	0,8892154	см ⁴
I ₂ Момент инерции I _z в глобальной системе координат	2,6648895	см ⁴
I ₁₂ Момент инерции I _{yz} в глобальной системе координат	-1,3185199	см ⁴
I _p Полярный момент инерции	2,0176325	см ⁴
i _p Полярный радиус инерции	1,6550407	см
W _p Полярный радиус сопротивления	0,002194	см

Габариты сечения 54x22 мм

Имя файла: C:\Documents and Settings\User\Рабочий стол\ФАСАДНЫЕ КАССЕТЫ\Untitled.cns



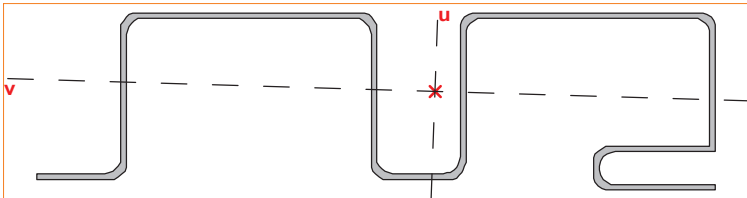
Ребро кассеты МП 1005; МП 2005 $t=1,0\text{мм}$

Геометрические характеристики сечения

	Параметр	Значение	
A	Площадь поперечного сечения	0,6865881	см^2
$A_{v,y}$	Условная площадь среза вдоль оси Y	0,2603247	см^2
$A_{v,z}$	Условная площадь среза вдоль оси Z	0,2384238	см^2
α	Угол наклона главных осей инерции	50,191	град
I_y	Момент инерции относительно центральной оси Y1 параллельной оси Y	0,6473569	см^4
I_z	Момент инерции относительно центральной оси Z1 параллельной оси Z	0,7825432	см^4
I_t	Момент инерции при свободном кручении	0,0021969	см^4
I_w	Секториальный момент инерции	0,1329602	см^6
i_y	Радиус инерции относительно оси Y1	0,9710101	см
i_z	Радиус инерции относительно оси Z1	1,0675938	см
W_{u+}	Максимальный момент сопротивления относительно оси U	0,4443323	см^3
W_{u-}	Минимальный момент сопротивления относительно оси U	0,6216126	см^3
W_{v+}	Максимальный момент сопротивления относительно оси V	0,2447758	см^3
W_{v-}	Минимальный момент сопротивления относительно оси V	0,2791312	см^3
$W_{pl,u}$	Пластический момент сопротивления относительно оси U	0,7631335	см^3
$W_{pl,v}$	Пластический момент сопротивления относительно оси V	0,4164991	см^3
I_u	Максимальный момент инерции	1,0900159	см^4
I_v	Минимальный момент инерции	0,3398842	см^4
i_u	Максимальный радиус инерции	1,2599935	см
i_v	Минимальный радиус инерции	0,7035863	см
a_{u+}	Яdroвое расстояние вдоль положительного направления оси Y(U)	0,3565105	см
a_{u-}	Яdroвое расстояние вдоль отрицательного направления оси Y(U)	0,4065483	см
a_{v+}	Яdroвое расстояние вдоль положительного направления оси Z(V)	0,6471599	см
a_{v-}	Яdroвое расстояние вдоль отрицательного направления оси Z(V)	0,9053646	см
y_m	Координата центра масс по оси Y	-1,0133156	см
z_m	Координата центра масс по оси Z	1,6519878	см
S_w	Секториальный статический момент	0	см^4
Y_b	Координата центра изгиба по оси Y	0,4488131	см
Z_b	Координата центра изгиба по оси Z	2,2499265	см
P	Периметр	13,9397953	см
P_i	Внутренний периметр	0	см
P_e	Внешний периметр	13,9397953	см
I_1	Момент инерции I_y в глобальной системе координат	1,3523514	см^4
I_2	Момент инерции I_z в глобальной системе координат	2,6562857	см^4
I_{12}	Момент инерции I_{yz} в глобальной системе координат	-1,518263	см^4
I_p	Полярный момент инерции	1,4299002	см^4
i_p	Полярный радиус инерции	1,4431276	см
W_p	Полярный радиус сопротивления	0,0020715	см

Габариты сечения 35x25 мм

Имя файла: C:\Documents and Settings\User\Рабочий стол\ФАСАДНЫЕ КАССЕТЫ\Untitled.cns



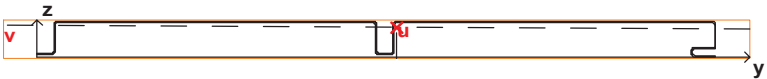
Сайдинг МП СВ-16х307 (сжаты верхние полки)

Геометрические характеристики сечения

Параметр	Значение	
A Площадь поперечного сечения	0,7050815	см ²
A _{v,y} Условная площадь среза вдоль оси Y	0,1467717	см ²
A _{v,z} Условная площадь среза вдоль оси Z	0,1398683	см ²
α Угол наклона главных осей инерции	88,269	град
I _y Момент инерции относительно центральной оси Y1 параллельной оси Y	0,258137	см ⁴
I _z Момент инерции относительно центральной оси Z1 параллельной оси Z	2,4563596	см ⁴
I _t Момент инерции при свободном кручении	0,000644	см ⁴
I _w Секториальный момент инерции	1,4870483	см ⁶
i _y Радиус инерции относительно оси Y1	0,6050698	см
i _z Радиус инерции относительно оси Z1	1,8664928	см
W _{u+} Максимальный момент сопротивления относительно оси U	0,6928196	см ³
W _{u-} Минимальный момент сопротивления относительно оси U	0,9627849	см ³
W _{v+} Максимальный момент сопротивления относительно оси V	0,2834094	см ³
W _{v-} Минимальный момент сопротивления относительно оси V	0,3303591	см ³
W _{pl,u} Пластический момент сопротивления относительно оси U	1,1238203	см ³
W _{pl,v} Пластический момент сопротивления относительно оси V	0,3929984	см ³
I _u Максимальный момент инерции	2,4583689	см ⁴
I _v Минимальный момент инерции	0,2561278	см ⁴
i _u Максимальный радиус инерции	1,867256	см
i _v Минимальный радиус инерции	0,6027104	см
a _{u+} Яdroвое расстояние вдоль положительного направления оси Y(U)	0,4019527	см
a _{u-} Яdroвое расстояние вдоль отрицательного направления оси Y(U)	0,4685403	см
a _{v+} Яdroвое расстояние вдоль положительного направления оси Z(V)	0,9826092	см
a _{v-} Яdroвое расстояние вдоль отрицательного направления оси Z(V)	1,3654944	см
y _M Координата центра масс по оси Y	28,1725229	см
z _M Координата центра масс по оси Z	0,8961908	см
S _w Секториальный статический момент	0	см ⁴
Y _b Координата центра изгиба по оси Y	28,63593	см
Z _b Координата центра изгиба по оси Z	1,8431052	см
P Периметр	27,1292736	см
P _i Внутренний периметр	0	см
P _e Внешний периметр	27,1292736	см
I ₁ Момент инерции I _y в глобальной системе координат	559,8750174	см ⁴
I ₂ Момент инерции I _z в глобальной системе координат	3,0226514	см ⁴
I ₁₂ Момент инерции I _{yz} в глобальной системе координат	17,7353771	см ⁴
I _p Полярный момент инерции	2,7144966	см ⁴
i _p Полярный радиус инерции	1,9621174	см
W _p Полярный радиус сопротивления	0,0020262	см

Габариты сечения 61x16 мм

Имя файла: F:\Untitled.cns



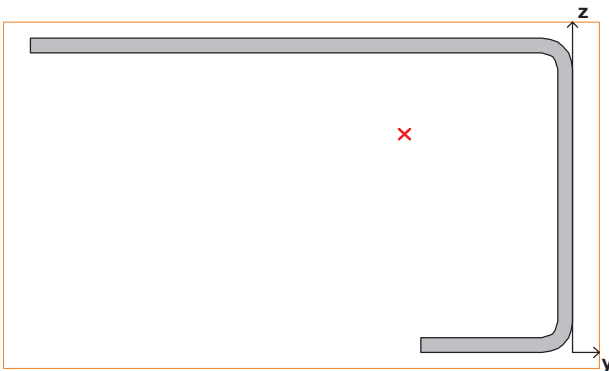
Сайдинг МП СВ-16х307 (Сжаты нижние полки)

Геометрические характеристики сечения

Параметр	Значение	
A Площадь поперечного сечения	1,9350815	см^2
A _{v,y} Условная площадь среза вдоль оси Y	0,0665031	см^2
A _{v,z} Условная площадь среза вдоль оси Z	1,2034428	см^2
α Угол наклона главных осей инерции	89,641	град
I _y Момент инерции относительно центральной оси Y1 параллельной оси Y	0,4649031	см^4
I _z Момент инерции относительно центральной оси Z1 параллельной оси Z	175,1618423	см^4
I _t Момент инерции при свободном кручении	0,0016405	см^4
I _w Секториальный момент инерции	61,945052	см^6
i _y Радиус инерции относительно оси Y1	0,4901529	см
i _z Радиус инерции относительно оси Z1	9,5141528	см
W _{u+} Максимальный момент сопротивления относительно оси U	10,7913025	см^3
W _{u-} Минимальный момент сопротивления относительно оси U	12,1073717	см^3
W _{v+} Максимальный момент сопротивления относительно оси V	0,344512	см^3
W _{v-} Минимальный момент сопротивления относительно оси V	1,2649713	см^3
W _{pl,u} Пластический момент сопротивления относительно оси U	15,5783513	см^3
W _{pl,v} Пластический момент сопротивления относительно оси V	0,7212442	см^3
I _u Максимальный момент инерции	175,1687158	см^4
I _v Минимальный момент инерции	0,4580296	см^4
i _u Максимальный радиус инерции	9,5143394	см
i _v Минимальный радиус инерции	0,486516	см
a _{u+} Яdroвое расстояние вдоль положительного направления оси Y(U)	0,1780349	см
a _{u-} Яdroвое расстояние вдоль отрицательного направления оси Y(U)	0,6537044	см
a _{v+} Яdroвое расстояние вдоль положительного направления оси Z(V)	5,5766656	см
a _{v-} Яdroвое расстояние вдоль отрицательного направления оси Z(V)	6,2567761	см
y _M Координата центра масс по оси Y	16,240104	см
z _M Координата центра масс по оси Z	1,3276637	см
S _w Секториальный статический момент	0	см^4
Y _b Координата центра изгиба по оси Y	18,6326615	см
Z _b Координата центра изгиба по оси Z	1,8475815	см
P Периметр	76,3292736	см
P _i Внутренний периметр	0	см
P _e Внешний периметр	76,3292736	см
I ₁ Момент инерции I _y в глобальной системе координат	510,8251927	см^4
I ₂ Момент инерции I _z в глобальной системе координат	178,5727931	см^4
I ₁₂ Момент инерции I _{yz} в глобальной системе координат	40,6272436	см^4
I _p Полярный момент инерции	175,6267454	см^4
i _p Полярный радиус инерции	9,5267703	см
W _p Полярный радиус сопротивления	0,0066212	см

Габариты сечения 307x16 мм

Имя файла: F:\Untitled.cns



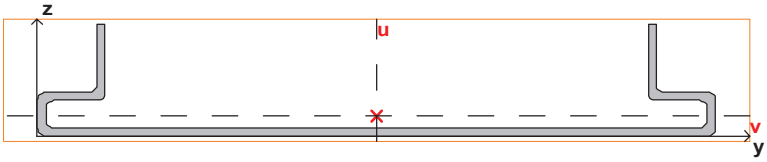
Ребро кассеты МП 1005; МП 2005 t=1,2мм

Геометрические характеристики сечения

	Параметр	Значение	
A	Площадь поперечного сечения	0,9118669	см^2
$A_{v,y}$	Условная площадь среза вдоль оси Y	0,2778099	см^2
$A_{v,z}$	Условная площадь среза вдоль оси Z	0,3593677	см^2
α	Угол наклона главных осей инерции	61,766	град
I_y	Момент инерции относительно центральной оси Y1 параллельной оси Y	0,806914	см^4
I_z	Момент инерции относительно центральной оси Z1 параллельной оси Z	1,640843	см^4
I_t	Момент инерции при свободном кручении	0,0041976	см^4
I_w	Секториальный момент инерции	0,1624062	см^6
i_y	Радиус инерции относительно оси Y1	0,940693	см
i_z	Радиус инерции относительно оси Z1	1,3414293	см
W_{u+}	Максимальный момент сопротивления относительно оси U	0,6641058	см^3
W_{u-}	Минимальный момент сопротивления относительно оси U	1,0378704	см^3
W_{v+}	Максимальный момент сопротивления относительно оси V	0,3195125	см^3
W_{v-}	Минимальный момент сопротивления относительно оси V	0,3854362	см^3
$W_{pl,u}$	Пластический момент сопротивления относительно оси U	1,1862261	см^3
$W_{pl,v}$	Пластический момент сопротивления относительно оси V	0,5574507	см^3
I_u	Максимальный момент инерции	1,9786792	см^4
I_v	Минимальный момент инерции	0,4690778	см^4
i_u	Максимальный радиус инерции	1,4730652	см
i_v	Минимальный радиус инерции	0,7172271	см
a_{u+}	Яdroвое расстояние вдоль положительного направления оси Y(U)	0,3503938	см
a_{u-}	Яdroвое расстояние вдоль отрицательного направления оси Y(U)	0,4226891	см
a_{v+}	Яdroвое расстояние вдоль положительного направления оси Z(V)	0,7282924	см
a_{v-}	Яdroвое расстояние вдоль отрицательного направления оси Z(V)	1,1381819	см
y_m	Координата центра масс по оси Y	-1,3287074	см
z_m	Координата центра масс по оси Z	1,7354656	см
S_w	Секториальный статический момент	0	см^4
Y_b	Координата центра изгиба по оси Y	0,4150336	см
Z_b	Координата центра изгиба по оси Z	2,3097366	см
P	Периметр	15,4476882	см
P_i	Внутренний периметр	0	см
P_e	Внешний периметр	15,4476882	см
I_1	Момент инерции I_y в глобальной системе координат	2,4167816	см^4
I_2	Момент инерции I_z в глобальной системе координат	4,387241	см^4
I_{12}	Момент инерции I_{yz} в глобальной системе координат	-2,7318754	см^4
i_p	Полярный момент инерции	2,447757	см^4
i_p	Полярный радиус инерции	1,6383943	см
W_p	Полярный радиус сопротивления	0,0026004	см

Габариты сечения 43x25 мм

Имя файла: C:\Documents and Settings\User\Рабочий стол\ФАСАДНЫЕ КАССЕТЫ\Untitled.cns



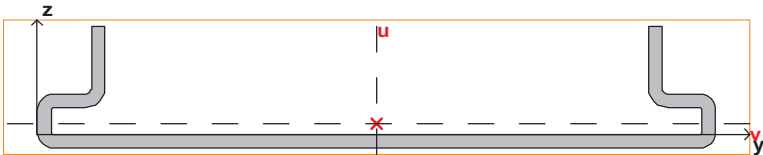
Удлинитель УК-159х96х1,2

Геометрические характеристики сечения

Параметр	Значение	
A Площадь поперечного сечения	1,7759678	см ²
A _{v,y} Условная площадь среза вдоль оси Y	0,0881258	см ²
A _{v,z} Условная площадь среза вдоль оси Z	0,9784718	см ²
α Угол наклона главных осей инерции	-90	град
I _y Момент инерции относительно центральной оси Y1 параллельной оси Y	0,279929	см ⁴
I _z Момент инерции относительно центральной оси Z1 параллельной оси Z	21,1695967	см ⁴
I _t Момент инерции при свободном кручении	0,0087358	см ⁴
I _w Секториальный момент инерции	5,4826604	см ⁶
i _y Радиус инерции относительно оси Y1	0,3970146	см
i _z Радиус инерции относительно оси Z1	3,4525402	см
W _{u+} Максимальный момент сопротивления относительно оси U	4,2338451	см ³
W _{u-} Минимальный момент сопротивления относительно оси U	4,2339936	см ³
W _{v+} Максимальный момент сопротивления относительно оси V	0,2074636	см ³
W _{v-} Минимальный момент сопротивления относительно оси V	0,9629235	см ³
W _{pl,u} Пластический момент сопротивления относительно оси U	5,5277119	см ³
W _{pl,v} Пластический момент сопротивления относительно оси V	0,5591389	см ³
I _u Максимальный момент инерции	21,1695967	см ⁴
I _v Минимальный момент инерции	0,279929	см ⁴
i _u Максимальный радиус инерции	3,4525402	см
i _v Минимальный радиус инерции	0,3970146	см
a _{u+} Ядровое расстояние вдоль положительного направления оси Y(U)	0,1168172	см
a _{u-} Ядровое расстояние вдоль отрицательного направления оси Y(U)	0,5421965	см
a _{v+} Ядровое расстояние вдоль положительного направления оси Z(V)	2,383965	см
a _{v-} Ядровое расстояние вдоль отрицательного направления оси Z(V)	2,3840486	см
y _M Координата центра масс по оси Y	4,9999123	см
z _M Координата центра масс по оси Z	0,2907074	см
S _w Секториальный статический момент	0	см ⁴
Y _b Координата центра изгиба по оси Y	5,0006047	см
Z _b Координата центра изгиба по оси Z	-0,3536808	см
P Периметр	29,2157068	см
P _i Внутренний периметр	0	см
P _e Внешний периметр	29,2157068	см
I ₁ Момент инерции I _y в глобальной системе координат	44,6775663	см ⁴
I ₂ Момент инерции I _z в глобальной системе координат	21,3196852	см ⁴
I ₁₂ Момент инерции I _{yz} в глобальной системе координат	2,5814096	см ⁴
I _p Полярный момент инерции	21,4495257	см ⁴
i _p Полярный радиус инерции	3,475292	см
W _p Полярный радиус сопротивления	0,0085615	см

Габариты сечения 100x16,4 мм

Имя файла: F:\Н.Ю\Металл профиль\2008г\Металл.проф\Untitled.cns



Удлинитель кронштейна УК 150x96 x2

Геометрические характеристики сечения

	Параметр	Значение	
A	Площадь поперечного сечения	2,8705884	см ²
A _{v,y}	Условная площадь среза вдоль оси Y	0,1771579	см ²
A _{v,z}	Условная площадь среза вдоль оси Z	1,6248557	см ²
α	Угол наклона главных осей инерции	-90	град
I _y	Момент инерции относительно центральной оси Y1 параллельной оси Y	0,5688159	см ⁴
I _z	Момент инерции относительно центральной оси Z1 параллельной оси Z	33,46693	см ⁴
I _t	Момент инерции при свободном кручении	0,0367434	см ⁴
I _w	Секториальный момент инерции	10,9296198	см ⁶
i _y	Радиус инерции относительно оси Y1	0,4451439	см
i _z	Радиус инерции относительно оси Z1	3,4144635	см
W _{U+}	Максимальный момент сопротивления относительно оси U	6,693386	см ³
W _{U-}	Минимальный момент сопротивления относительно оси U	6,693386	см ³
W _{V+}	Максимальный момент сопротивления относительно оси V	0,3936683	см ³
W _{V-}	Минимальный момент сопротивления относительно оси V	1,6019002	см ³
W _{pl,u}	Пластический момент сопротивления относительно оси U	8,8136731	см ³
W _{pl,v}	Пластический момент сопротивления относительно оси V	1,0136539	см ³
I _u	Максимальный момент инерции	33,46693	см ⁴
I _v	Минимальный момент инерции	0,5688159	см ⁴
i _u	Максимальный радиус инерции	3,4144635	см
i _v	Минимальный радиус инерции	0,4451439	см
a _{u+}	Яdroвое расстояние вдоль положительного направления оси Y(U)	0,1371385	см
a _{u-}	Яdroвое расстояние вдоль отрицательного направления оси Y(U)	0,558039	см
a _{v+}	Яdroвое расстояние вдоль положительного направления оси Z(V)	2,3317122	см
a _{v-}	Яdroвое расстояние вдоль отрицательного направления оси Z(V)	2,3317122	см
y _M	Координата центра масс по оси Y	5	см
z _M	Координата центра масс по оси Z	0,1550882	см
S _w	Секториальный статический момент	0	см ⁴
Y _b	Координата центра изгиба по оси Y	5,000651	см
Z _b	Координата центра изгиба по оси Z	-0,565239	см
P	Периметр	29,1327186	см
P _i	Внутренний периметр	0	см
P _e	Внешний периметр	29,1327186	см
I ₁	Момент инерции I _y в глобальной системе координат	72,3335269	см ⁴
I ₂	Момент инерции I _z в глобальной системе координат	33,5359744	см ⁴
I ₁₂	Момент инерции I _{yz} в глобальной системе координат	2,2259723	см ⁴
I _p	Полярный момент инерции	34,0357459	см ⁴
i _p	Полярный радиус инерции	3,4433579	см
W _p	Полярный радиус сопротивления	0,0135936	см

Габариты сечения 100x18 мм

Имя файла: D:\2008\Метал.проф\Untitled.cns